

Anwendung programmierbarer Taschenrechner 4

Harald Nahrstedt

Statik – Kinematik – Kinetik für AOS-Rechner

Vieweg

| | | | | | | | | | | |
|------------|----|------|------|------|------|------|------|------|-----|---|
| Ebene 3 | 0 | 0 | 0 | 0 | 0 | 0 | 0 | 10-(| 0 | 0 |
| Ebene 2 | 0 | 0 | 0 | 0 | 0 | 10-(| 10-(| 2x(| 0 | 0 |
| Ebene 1 | 0 | 0 | 0 | 10-(| 10-(| 2x(| 2x(| 3+(| 0 | 0 |
| | 0 | 10-(| 10-(| 2x(| 2x(| 3+(| 3+(| 8÷(| 8÷(| 0 |
| X-Register | 10 | 10 | 2 | 2 | 3 | 3 | 8 | 8 | 4 | 6 |
| Eingabe | 10 | - | 2 | x | 3 | + | 8 | ÷ | 4 | = |

Harald Nahrstedt

Statik – Kinematik –
Kinetik für AOS-Rechner

Anwendung programmierbarer Taschenrechner

- | | |
|-----------|--|
| Band 1 | Angewandte Mathematik – Finanzmathematik – Statistik – Informatik für UPN-Rechner, von H. Alt |
| Band 2 | Allgemeine Elektrotechnik – Nachrichtentechnik – Impulstechnik für UPN-Rechner, von H. Alt |
| Band 3/I | Mathematische Routinen der Physik, Chemie und Technik für AOS-Rechner Teil I, von P. Kahlig |
| Band 3/II | Mathematische Routinen für Physik, Chemie und Technik für AOS-Rechner Teil II, von P. Kahlig |
| Band 4 | Statik – Kinematik – Kinetik für AOS-Rechner, von H. Nahrstedt |
| Band 5 | Numerische Mathematik. Programme für den TI-59, von J. Kahmann |
| Band 6 | Elektrische Energietechnik – Steuerungstechnik – Elektrizitätswirtschaft für UPN-Rechner, von H. Alt |

Anwendung programmierbarer Taschenrechner

Band 4

Harald Nahrstedt

Statik – Kinematik – Kinetik für AOS-Rechner

Mit 30 vollständigen Programmen,
140 Abbildungen und 60 Tabellen



Friedr. Vieweg & Sohn Braunschweig/Wiesbaden

CIP-Kurztitelaufnahme der Deutschen Bibliothek

Nahrstedt, Harald:

Statik, Kinematik, Kinetik für AOS-Rechner/
Harald Nahrstedt. — Braunschweig, Wiesbaden:
Vieweg, 1980.

(Anwendung programmierbarer Taschenrechner;
Bd. 4)

ISBN 3-528-04169-2

1980

Alle Rechte vorbehalten

© Friedr. Vieweg & Sohn Verlagsgesellschaft mbH, Braunschweig 1980

Die Vervielfältigung und Übertragung einzelner Textabschnitte, Zeichnungen oder Bilder, auch für Zwecke der Unterrichtsgestaltung, gestattet das Urheberrecht nur, wenn sie mit dem Verlag vorher vereinbart wurden. Im Einzelfall muß über die Zahlung einer Gebühr für die Nutzung fremden geistigen Eigentums entschieden werden. Das gilt für die Vervielfältigung durch alle Verfahren einschließlich Speicherung und jede Übertragung auf Papier, Transparente, Filme, Bänder, Platten und andere Medien.

Satz: Friedr. Vieweg & Sohn, Braunschweig

Druck: E. Hunold, Braunschweig

Buchbinderische Verarbeitung: W. Langelüddecke, Braunschweig

Printed in Germany

ISBN 3-528-04169-2

Vorwort

Dieser Band ist Bestandteil einer Reihe über die Anwendung programmierbarer Taschenrechner in Naturwissenschaft und Technik. Er versteht sich nicht als Lehrbuch, sondern als Grundlage und Anregung zur Erstellung eigener Programme für den jeweils vorhandenen Rechnertyp (jeglicher Notation). Aus dieser Sicht ist auch das breite Spektrum der Anwendungsbeispiele zu sehen. Es ging mir bei den Programmen in erster Linie um eine klare, übersichtliche Form und nicht um die Ausnutzung bestimmter Typ-Eigenheiten.

Dieses Buch wendet sich an Ingenieure und Techniker, sowie auch an Studenten der Universitäten und Fachhochschulen. Weiterhin soll es als Anregung zum Einsatz des programmierbaren Taschenrechners beim praktischen Physikunterricht in allgemeinbildenden Schulen dienen und gewisse, noch herrschende Vorurteile abbauen. Es lassen sich Zusammenhänge demonstrieren, die auch experimentell nicht darstellbar sind (z.B. die Planetengesetze). Darüberhinaus zeigen sich auf natürliche Weise die Beziehungen zwischen Bewegung und mathematischem Gesetz. Aber auch dem interessierten Laien wird durch die kurze Einführung zum Themengebiet eine Einarbeitung ermöglicht. Es wird außerdem eine gewisse Kenntnis in der Taschenrechnerprogrammierung, insbesondere zu den Typen TI 58/59, vorausgesetzt. Eventuell ist das in der Literatur angegebene Einführungsbuch [1] zu lesen.

Der Inhalt dieses Bandes umfaßt die Technische Mechanik mit ihren Teilgebieten Kinematik, der Lehre von den allgemeinen Bewegungsvorgängen, und der Dynamik, der Lehre von den Kräften. Letzere unterteilt sich wiederum in die Statik, der Lehre vom Gleichgewicht der Körper, und der Kinetik, der Lehre von den Körperbewegungen durch Kräfte. Da die Kinematik Grundlagen der Kinetik behandelt, die Statik jedoch allgemeine Grundlagen betrachtet, ist in diesem Buch die Reihenfolge Statik/Kinematik/Kinetik gewählt worden. Die Programme sind so allgemein gehalten, daß sie ein möglichst umfassendes Teilgebiet dieser Gliederung erfassen.

Durch die Anregung von Herrn H. J. Niclas, Lektor im Vieweg Verlag, entstand dieser Band. Ihm und dem Verlag Vieweg möchte ich an dieser Stelle für die freundliche Aufnahme danken. Weiterer Dank gebührt Herrn K. Nielsen, Produkt Marketing Manager von Texas Instruments und Herrn K. H. Burkart, für ihre hilfreiche Unterstützung. Zuletzt gilt mein besonderer Dank all denjenigen, die direkt oder indirekt, zur Entstehung dieses Buches beigetragen haben und damit insbesondere meiner Frau (Ulrike) für ihre tatkräftige Unterstützung bei der Manuskriptbearbeitung.

Hamm, September 1979

Harald Nahrstedt

Inhaltsverzeichnis

| | |
|--|-----------|
| 1 Einführung | 1 |
| 1.1 Algorithmen und Flußdiagramme | 1 |
| 1.2 AOS-Technik | 4 |
| 1.3 Allgemeine Programmiergrundlagen | 5 |
| 1.4 Dokumentation | 6 |
| | |
| 2 Statik starrer Körper | 7 |
| 2.1 Kraft, Moment und Gleichgewicht | 7 |
| 2.1.1 Reduktion einer räumlichen Kräftegruppe | 7 |
| 2.1.2 Zerlegung einer Kraft | 14 |
| 2.1.3 Stützkkräfte in Tragwerken | 16 |
| 2.1.4 Biegeträger | 19 |
| 2.1.5 Anwendungsbeispiele | 23 |
| 2.2 Seiltheorie | 30 |
| 2.2.1 Seil unter Eigenlast | 30 |
| 2.2.2 Die Seilkurve als Variationsproblem | 31 |
| 2.2.3 Die exakte Lösung | 34 |
| 2.2.4 Straff gespanntes Seil unter vertikaler Einzellast | 37 |
| 2.2.5 Anwendungsbeispiele | 40 |
| 2.3 Reibung | 49 |
| 2.3.1 Keil und schiefe Ebene | 49 |
| 2.3.2 Gewindereibung | 50 |
| 2.3.3 Seilreibung | 52 |
| 2.3.4 Anwendungsbeispiele | 53 |
| | |
| 3 Kinematik | 55 |
| 3.1 Numerische Behandlung von Differentialgleichungen der Bewegung | 55 |
| 3.2 Bewegung des materiellen Punktes | 56 |
| 3.2.1 Bewegungsdiagramme | 58 |
| 3.2.2 Anwendungsbeispiele | 62 |

| | |
|---|----------------|
| 4 Kinetik | 66 |
| 4.1 Kinetik des Massenpunktes | 66 |
| 4.1.1 Freie Bewegungen eines Massenpunktes im widerstehenden Mittel | 66 |
| 4.1.2 Das mathematische Pendel als erzwungene Bewegung | 71 |
| 4.1.3 Gravitation und Planetenbewegung, als die Bewegung eines Massenpunktes unter Einfluß einer Zentralkraft | 73 |
| 4.1.4 Die Raketenbewegung, als die Bewegung eines Massenpunktes mit veränderlicher Masse | 78 |
| 4.1.5 Anwendungsbeispiele | 82 |
| 4.2 Kinetik starrer Körper | 92 |
| 4.2.1 Massenträgheitsmoment | 93 |
| 4.2.2 Das physikalische Pendel | 99 |
| 4.2.3 Reduzierte Masse und Schwungmoment | 100 |
| 4.2.4 Deviationsmomente | 102 |
| 4.2.5 Massenkräfte beim Kurbeltrieb und ihr Ausgleich | 104 |
| 4.2.6 Realer Stoß fester Körper | 107 |
| 4.2.7 Anwendungsbeispiele | 113 |
| 4.3 Mechanische Schwingungen | 123 |
| 4.3.1 Freie Schwingung | 123 |
| 4.3.2 Erzwungene Schwingung durch eine rotierende Masse | 126 |
| 4.3.3 Erzwungene Schwingung durch rotierende und oszillierende Massen | 127 |
| 4.3.4 Schwingung unter Berücksichtigung einer Federmasse | 129 |
| 4.3.5 Biegeschwingungen | 130 |
| 4.3.6 Drehschwingungen | 131 |
| 4.3.7 Anwendungsbeispiele | 133 |
| Literaturverzeichnis | 147 |
| Sachwortverzeichnis | 148 |

1 Einführung

Bei der Lösung naturwissenschaftlicher und technischer Probleme, gewinnen neben den analytischen Methoden die numerischen immer mehr an Bedeutung. Die Entwicklung einer exakten Lösung (sofern sie überhaupt existiert), ist in der Regel mit erheblich größerem Aufwand verbunden, als der Einsatz eines Näherungsverfahrens. Zumal die so erhaltene Näherungslösung der exakten Lösung beliebig angenähert werden kann. Die dabei auftretenden umfangreichen Rechnungen erledigt üblicherweise eine EDV-Anlage. Die zunehmenden Speicher- und Strukturweiterungen programmierbarer Taschenrechner lassen in dieser Hinsicht ihren Einsatz immer interessanter erscheinen. Durch ihre Ortsgebundenheit und den damit verbundenen direkten Einsatz nicht nur am Arbeitsplatz, bilden sie eine sinnvolle Ergänzung vorhandener größerer Anlagen.

1.1 Algorithmen und Flußdiagramme

Jedem automatisierten Prozeß liegt ein Algorithmus zugrunde. Umgekehrt ist auch bisher kein anderer Weg bekannt, einen Prozeß zu automatisieren, als ihn zu algorithmisieren. Das heißt endliche, linear folgende Regeln festzulegen, nach denen ein vorhandener oder zu konstruierender Automat durch Eingabewerte und sinnvolle Umformungen, Ausgabewerte (Ergebnisse) erzeugt. Da ein programmierbarer Taschenrechner ein ebensolcher Automat ist, bedarf es zu seiner Nutzung solcher Algorithmen. Die exakte Formulierung eines Algorithmus in der Weise, daß sie vom Rechner „verstanden“ und nachvollzogen werden kann, nennt man Programm. Damit haben wir alle Stufen der Programmentwicklung angedeutet.

Sie beginnt bei der Problemanalyse und der Feststellung durchzuführender Regeln. Den so, mitunter schriftlich fixierten Algorithmus, kann man mit Hilfe eines Flußdiagramms graphisch anschaulich wiedergeben. Wie immer, wenn die Umgangssprache unzureichend ist, bedient man sich einer speziellen Sprachform. So ist es in der Technik die Technische Zeichnung und in der Informatik das Flußdiagramm. Es besteht vorwiegend aus den in Bild 1.1 gezeigten einfachen Sprachsymbolen.

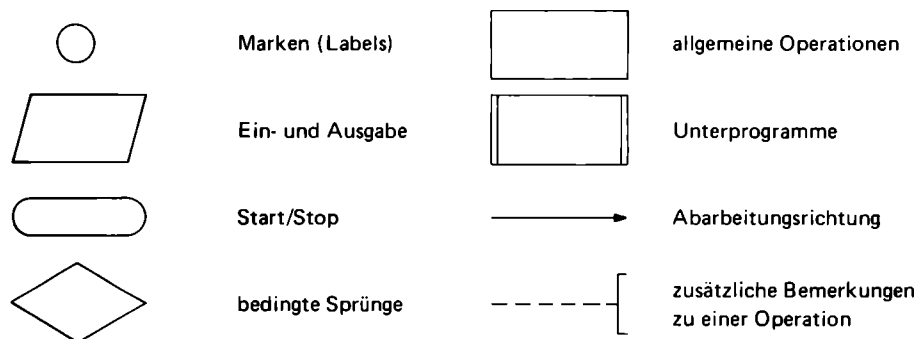


Bild 1.1

Das nachfolgende, sehr einfache Beispiel, zeigt die Schritte zur Programmentwicklung exemplarisch.

Gesucht ist ein Programm zum Wurzelziehen aus beliebig reellen Zahlen. Kurz

$$f(x) = \sqrt{x}, \quad x \in \mathbb{R}$$

Die Problemanalyse liefert einen Gültigkeitsbereich der Funktion für alle positiv reellen Zahlen. Ein möglicher Algorithmus ist damit:

1. Lies x ein
2. Ist $x < 0$, dann weiter bei 6.
3. Bilde $y = \sqrt{x}$
4. Gib y aus
5. Stop
6. ‚Fehlermeldung‘
7. Stop

Es gäbe auch z. B. noch die Möglichkeit, nach der Fehlermeldung $|x|$ zu bilden und nach 3. zu gehen, etc.

Das Flußdiagramm in Bild 1.2 macht den Algorithmus noch anschaulicher. Der für den TI58/59 modifizierte Algorithmus, also das Programm, hat dann die in Tabelle 1.1 wiedergegebene Form. Bild 1.3 zeigt die Programmanwendung an zwei Beispielen.

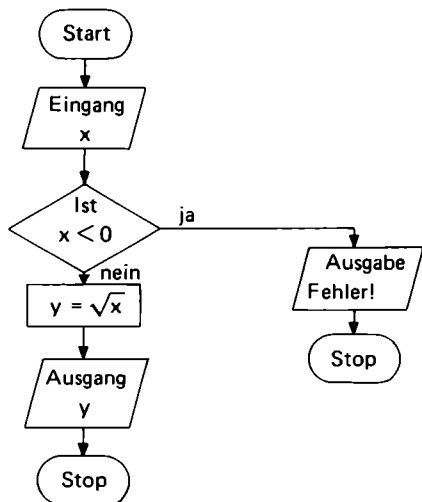


Bild 1.2
Flußdiagramm zum Problem Wurzelziehen

WURZELZIEHEN

17. x
4.123105626 √x

WURZELZIEHEN

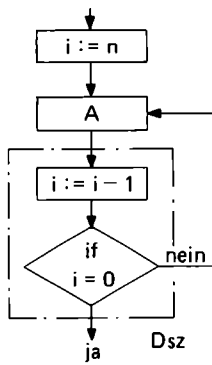
-17. x
FEHLER!

Bild 1.3
Anwendung des Wurzelprogramms
an zwei Beispielen

Mit Hilfe der in Bild 1.1 beschriebenen Symbole, läßt sich auch die Wirkung des Dsz-Befehls (decrement and skip on zero) in seiner hauptsächlichen Anwendung als Zähler erklären. Bild 1.4 zeigt diese Anwendung im Flußdiagramm.

Tabelle 1.1 Programm-Wurzelziehen

| Start und Ausdruck Wurzelziehen | Ausdruck – gestrichelte Linie – | Bedingte Abfrage, Berechnung und Ausdruck |
|--|--|--|
| 000 76 LBL | 043 69 DP | 075 32 X!T |
| 001 11 A | 044 00 00 | 076 05 5 |
| 002 25 CLR | 045 02 2 | 077 02 2 |
| 003 69 DP | 046 00 0 | 078 05 5 |
| 004 00 00 | 047 02 2 | 079 00 0 |
| 005 04 4 | 048 00 0 | 080 69 DP |
| 006 03 3 | 049 02 2 | 081 04 04 |
| 007 04 4 | 050 00 0 | 082 00 0 |
| 008 01 1 | 051 02 2 | 083 32 X!T |
| 009 03 3 | 052 00 0 | 084 22 INV |
| 010 05 5 | 053 02 2 | 085 77 GE |
| 011 04 4 | 054 00 0 | 086 16 A* |
| 012 06 6 | 055 69 DP | 087 34 FX |
| 013 01 1 | 056 01 01 | 088 69 DP |
| 014 07 7 | 057 69 DP | 089 06 06 |
| 015 69 DP | 058 02 02 | 090 98 ADV |
| 016 01 01 | 059 69 DP | 091 98 ADV |
| 017 02 2 | 060 03 03 | 092 98 ADV |
| 018 07 7 | 061 69 DP | 093 98 ADV |
| 019 04 4 | 062 04 04 | 094 91 R/S |
| 020 06 6 | 063 69 DP | |
| 021 02 2 | 064 05 05 | |
| 022 04 4 | 065 98 ADV | |
| 023 01 1 | 066 69 DP | Fehlermeldung bei negativem Eingabewert |
| 024 07 7 | 067 00 00 | |
| 025 02 2 | 068 05 5 | |
| 026 03 3 | 069 00 0 | 095 76 LBL |
| 027 69 DP | 070 69 DP | 096 16 A* |
| 028 02 02 | 071 04 04 | 097 69 DP |
| 029 01 1 | | 098 00 00 |
| 030 07 7 | | 099 02 2 |
| 031 03 3 | | 100 01 1 |
| 032 01 1 | | 101 01 1 |
| 033 00 0 | Eingabe und Aus- druck | 102 07 7 |
| 034 00 0 | | 103 69 DP |
| 035 00 0 | | 104 01 01 |
| 036 00 0 | 072 91 R/S | 105 02 2 |
| 037 00 0 | 073 69 DP | 106 03 3 |
| 038 00 0 | 074 06 06 | 107 02 2 |
| 039 69 DP | | 108 07 7 |
| 040 03 03 | | 109 01 1 |
| 041 69 DP | | 110 07 7 |
| 042 05 05 | | 111 03 3 |
| | | 112 05 5 |
| | | 113 07 7 |
| | | 114 03 3 |
| | | 115 69 DP |
| | | 116 02 02 |
| | | 117 69 DP |
| | | 118 05 05 |
| | | 119 98 ADV |
| | | 120 98 ADV |
| | | 121 98 ADV |
| | | 122 98 ADV |
| | | 123 91 R/S |



Ein Zähler i wird auf die Anzahl n gesetzt, die eine Befehlsfolge A abgearbeitet werden soll. In der Befehlsfolge A läßt sich der Zähler auch direkt oder indirekt als Adresse verwenden. Das in allen Flußdiagrammen auftretende Zuweisungszeichen ($:=$) ist nicht mit dem mathematischen Gleichheitszeichen zu verwechseln. Die in Bild 1.4 verwendete Zuweisung

$i := i - 1$

ist mathematisch wenig sinnvoll, bedeutet aber informatisch die Verminderung des Wertes i um 1. Damit ist die Funktion des Zuweisungszeichens beschrieben. Der rechts des Zeichens stehende Ausdruck wird als Ergebnis der links stehenden Variablen zugewiesen.

Bild 1.4 Die Anwendung des Dsz-Befehls als Zähler für Programmschleifen

1.2 AOS-Technik

Auf dem derzeitigen Markt für programmierbare Taschenrechner unterscheiden wir zwei Systeme, die mit algebraischer und die mit umgekehrter polnischer Notation. Mit den Wirkungsweisen und Zusammenhängen habe ich mich in [10] umfassend auseinandergesetzt. Da diesem Buch der TI58/59 zugrunde liegt, will ich auf das algebraische Organisationssystem (AOS) noch etwas eingehen. Eine umfangreiche Beschreibung finden Sie in [1].

Jedem Computer, auch einem programmierbaren Taschenrechner, liegt die in Bild 1.5 dargestellte Grundstruktur zugrunde.

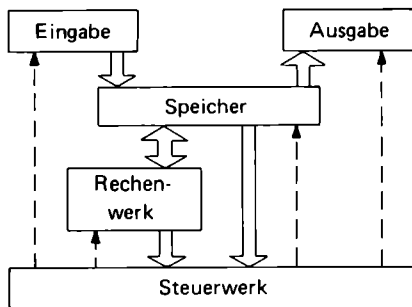


Bild 1.5

Grundstruktur eines Computers
(\Rightarrow Daten, $->$ Steuerbefehle)

Die darin enthaltene Speichereinheit läßt sich, wie in Bild 1.6 dargestellt, in 3 logische Einheiten aufteilen. Die Grenze zwischen DSE und PSE ist beim TI/58/59 variabel und man spricht von einer sogenannten dynamischen Speicherverwaltung. Die ASE hat bei der AOS-Technik einen Hauptspeicher, den sogenannten Akkumulator. Außerdem bedient sich die ASE einer Vielzahl von Hilfsp speichern, zur Speicherung von Zwischenergebnissen. Diese Speicherung ist, im Gegensatz zur umgekehrten polnischen Notation, ohne Einfluß vom Benutzer und geschied nach den Gesetzen der Algebra. Den graphischen Zusammenhang gibt Bild 1.7 wieder.

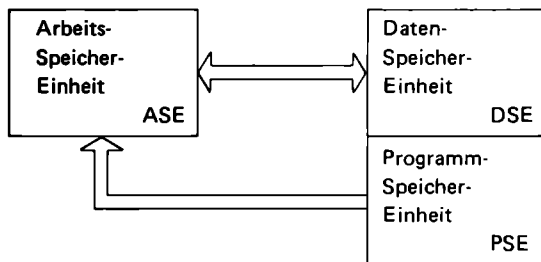


Bild 1.6
Gliederung der Speichereinheit

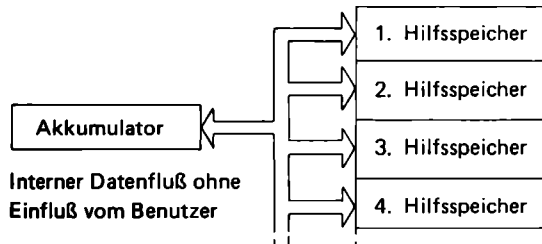


Bild 1.7
Arbeitsspeichereinheit (ASE)
bei algebraischer Notation

Wird nun ein geladenes Programm in der PSE aufgerufen, so veranlaßt dieses, über die Steuereinheit, den Transport von Werten, aus der DSE, der PSE oder über die Eingabe, in den Akkumulator. Das Rechenwerk, veranlaßt durch die Steuereinheit, verknüpft die Werte aus Akkumulator und Hilfsspeichern zu sinnvollen Ergebnissen. Das Endergebnis steht nach Abschluß aller Operationen im Akkumulator und kann dann an die DSE oder zur Ausgabe weitergegeben werden.

1.3 Allgemeine Programmiergrundlagen

Da dieses Buch als Anregung zum eigenen Programmieren gedacht ist, sollen an dieser Stelle helfende Grundlagen und Tips vermittelt werden.

Um den Algorithmus eines anstehenden Problems zu entwickeln, empfiehlt sich die Methode der strukturierten Programmierung. Dabei wird durch eine schrittweise Untergliederung des Problems (top-down-design) und deren Einzellösungen, das Gesamtproblem gelöst. Bild 1.8 zeigt ein Problem P und dessen Untergliederung in 3 Teilprobleme. Diese unterteilen sich je nach Möglichkeit wieder in Teilprobleme, usw., bis sich die Lösung eines Problems anschaulich aus der Summe der Einzellösungen ergibt.

Liegt ein umfassender Algorithmus in Flußdiagrammform vor, kann die Umsetzung zum Programm erfolgen. Dieser Vorgang dürfte bei Kenntnis des Rechners keine großen Schwierigkeiten bereiten. Nach der Programmerstellung empfiehlt sich jedoch eine kritische Betrachtung zwecks Optimierung des Programmschrittbedarfs. Auf folgende Punkte ist dabei zu achten:

1. Wiederholt gleiche Programmschritte lassen sich zu einem Unterprogramm zusammenfassen. Dies ist jedoch nur bei der Ersparnis von mehreren Programmschritten sinnvoll, da das Programm an Übersichtlichkeit verliert.
2. Wiederholt ähnliche Programmschritte mit wechselnden Daten lassen sich durch indirekte Programmierung im Programmschrittumfang vereinfachen. Diese komplexe Programmiermethode erfordert allerdings ein gewisses Maß an Verständnis und Übersicht.

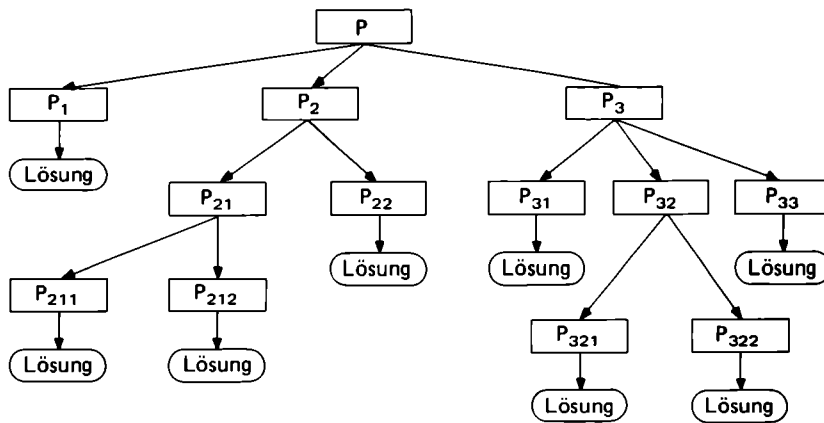


Bild 1.8 Aufteilung eines Problems in Teilprobleme

Man kann auch schon beim Aufstellen des Flußdiagramms auf gewisse Rechneigenheiten Rücksicht nehmen. Weiterhin sollten bestehende Programmrestriktionen und daraus resultierende Fehler notiert werden, um bei einer späteren Benutzung unnötige Fehler zu vermeiden. Dies gehört aber schon eigentlich ins nächste Kapitel.

1.4 Dokumentation

Um eine sinnvolle Programmpflege betreiben zu können, d.h. ständig neu gewonnene Erkenntnisse in alten Programmen zu verwerten, bedarf es einer gründlichen Programmdokumentation. Es empfiehlt sich also die Benutzung von Formblättern. Zu einer umfangreichen Programmdokumentation gehören, in der Reihenfolge ihres Entstehens:

1. Berechnungsgrundlagen
2. Flußdiagramm
3. Speicherplatzbelegung
4. Programmplatzbelegung
5. Programmbeschreibung (Eingaben, Ausgaben, etc.)
6. Testbeispiel
7. Angabe der Restriktionen und möglicher Fehler

In einer solchen Programmbibliothek lassen sich dann auch bei späteren Problemen Teillösungen finden. Schreiben Sie dazu Ihre Programme abschnittsweise, wie ich es in diesem Buch ebenfalls getan habe, auf und sparen Sie nicht mit Kommentaren.

2 Statik starrer Körper

Eine Kraft kann nicht unmittelbar, sondern nur anhand ihrer Wirkung beobachtet werden. Ihr Wirken zeigt sich in der Verformung eines Körpers oder der Änderung seines Bewegungszustandes. Aufgrund der fundamentalen Bedeutung der Kraft für die Mechanik, sollen im ersten Teil dieses Kapitels ein paar grundlegende Anschauungen und Programme behandelt werden.

2.1 Kraft, Moment und Gleichgewicht

Die Kraft hat, für ihre mathematische Behandlung am starren Körper, den Charakter eines linienflüchtigen Vektors. Sie unterliegt damit den Gesetzen der Vektoralgebra und ist durch Größe, Wirkrichtung und Angriffspunkt eindeutig bestimmt.

2.1.1 Reduktion einer räumlichen Kräftegruppe

Dieser allgemeinste Fall einer Kräftegruppe beinhaltet alle möglichen Besonderheiten, wie später noch nachfolgend dargestellt wird.

Wir betrachten die Anordnung von n Kräften F_j ; $j = 1 \dots n$; bezüglich eines beliebig rechtwinkligen Koordinatensystems (e_1, e_2, e_3), nach Bild 2.1, mit ihren Angriffspunkten a_j an einem imaginären starren Körper. Die Reduktion dieser Kräfte bezüglich des frei gewählten Ursprungs u ergibt die aus den Vektoren

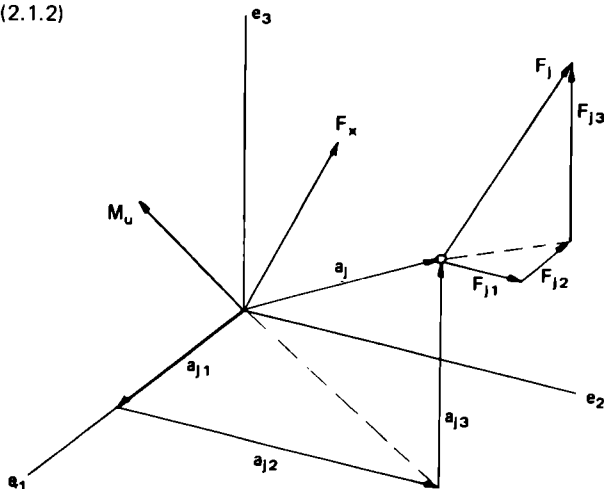
$$F_r = \sum_{j=1}^n F_j \quad (2.1.1)$$

und

$$M_u = \sum_{j=1}^n M_{uj} = \sum_{j=1}^n a_j \times F_j \quad (2.1.2)$$

resultierende Kraft und Moment.

Bild 2.1
Kräfte im Raum



Die für ein Programm wichtige Komponentendarstellung ergibt sich unter Einführung eines freien Zählers i und zweier davon abhängiger Zähler $p(i)$ und $q(i)$ mit der Zuordnung

| i | p | q |
|-----|-----|-----|
| 1 | 2 | 3 |
| 2 | 3 | 1 |
| 3 | 1 | 2 |

aus den Gleichungen

$$F_{ri} = \sum_{j=1}^n F_{ji}, \quad i = 1, 2, 3 \quad (2.1.3)$$

und

$$M_{ui} = \sum_{j=1}^n M_{uji} = \sum_{j=1}^n (a_{jp} F_{jq} - a_{jq} F_{jp}), \quad i = 1, 2, 3 \quad (2.1.4)$$

Diese Schreibweise ist gezielt auf eine indirekte Programmierung abgestimmt. Auf eine Anwendung des Matrix-Programms des Standard Software Moduls habe ich hier verzichtet, um das Prinzip der indirekten Programmierung anschaulich zu demonstrieren. Das Matrix-Programm findet unter 2.1.2 Verwendung.

Der funktionale Zusammenhang der Zähler i, p, q kann in einer Ringanordnung von 3 Speichern und dem darin Herumschieben der Werte 1, 2, 3, wie in Bild 2.2 dargestellt, erreicht werden.

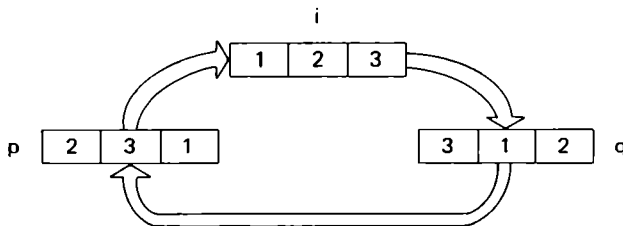


Bild 2.2
Ringspeicher und Zähler

Die betragsmäßigen Größen von resultierender Kraft und resultierendem Moment ergeben sich aus den berechneten Komponenten nach dem pythagoräischen Ansatz

$$|F_r| = \sqrt{\sum_{i=1}^3 F_{ri}^2} \quad (2.1.5)$$

und

$$|M_u| = \sqrt{\sum_{i=1}^3 M_{ui}^2} \quad (2.1.6)$$

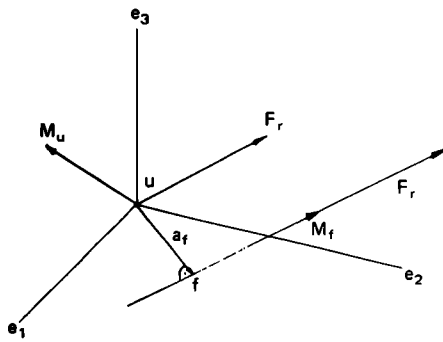


Bild 2.3

Darstellung der Dynamie

Wird die resultierende Kraft F_r senkrecht aus der Ebene, die F_r und M_u aufspannen, so um den Vektor a_f verschoben, daß resultierende Kraft und Moment die gleiche Richtung haben, so bezeichnet man dieses Vektorpaar (F_r, M_f) als Dynamie (Kraftschraube). Der Ortsvektor a_f des Fußpunktes f bezüglich des Ursprunges u (Bild 2.3) ergibt sich in seiner Komponentendarstellung aus

$$a_{fi} = \frac{1}{|F_r|^2} (F_{rp} M_{uq} - F_{rq} M_{up}), \quad i = 1, 2, 3 \quad (2.1.7)$$

Mit Hilfe des Parameters p

$$p = \frac{F_r M_u}{|F_r|^2} = \frac{1}{|F_r|^2} \sum_{i=1}^3 F_{ri} M_{ui} \quad (2.1.8)$$

läßt sich der auf den Fußpunkt f (Bild 2.3) bezogene Momentenvektor M_f berechnen

$$M_f = p F_r = p \sum_{i=1}^3 F_{ri} \quad (2.1.9)$$

Außer der Möglichkeit der Komponentenangabe, gibt es zur Richtungsangabe eines Vektors zum Ursprung und den Koordinaten, die Angabe der Richtungswinkel. Unter Betrachtung von Bild 2.4 ergeben sie sich aus den Gleichungen

$$\alpha_i = \arccos \frac{a_i}{|a|}, \quad i = 1, 2, 3 \quad (2.1.10)$$

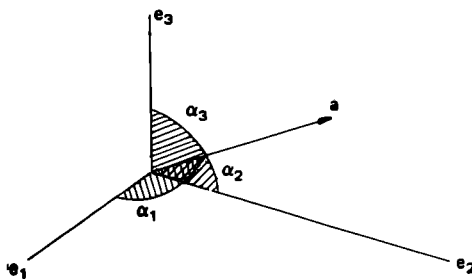


Bild 2.4

Richtungswinkel eines Vektors

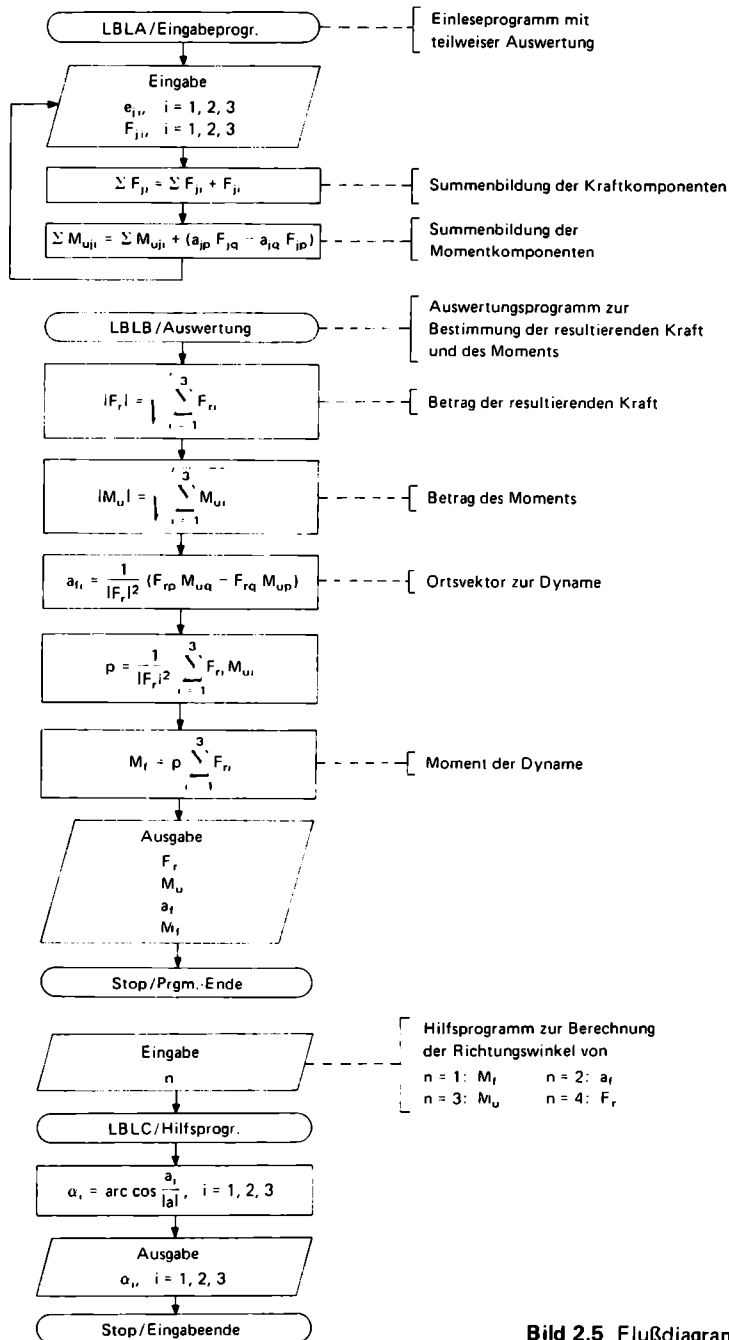


Bild 2.5 Flußdiagramm zur Kräfte- und Momentenreduktion

Die Programmanalyse ist damit abgeschlossen und wir kommen zur Darstellung des Algorithmus in Flußdiagrammform. Er ergibt sich zwangsläufig aus der Abfolge der aufgestellten Gleichungen. Bild 2.5 ist eine mögliche Form.

Zu Anschauungszwecken ist dieses erste Flußdiagramm etwas aufwendiger kommentiert als die nachfolgenden Diagramme. Das auf den TI 58/59 zugeschnittene Programm lautet, bei einer Speicherplatzbelegung nach Tabelle 2.1, wie unter Tabelle 2.2 wiedergegeben. Eine Kommentierung der Ein- und Ausgabedaten durch das Programm, habe ich aus Übersichtlichkeit unterlassen. Tabelle 2.2 gibt also das „nackte“ Programm wieder. Dies gilt gleichfalls für alle nachfolgenden Programme.

Tabelle 2.1 Speicherplatzbelegung zum Programm Kräfte- und Momentenreduktion

| | | | |
|----|---------------------------|--|---|
| 00 | Zähler und Ind. Adr. | | |
| 01 | F_{j3} | $\left. \begin{array}{l} \left\{ \begin{array}{l} pF_{r3} = M_{f3} \\ pF_{r2} = M_{f2} \\ pF_{r1} = M_{f1} \end{array} \right\} M_f$ | 10 $\Sigma F_{j3} = F_{r3}$ |
| 02 | F_{j2} | | 11 $\Sigma F_{j2} = F_{r2}$ |
| 03 | F_{j1} | | 12 $\Sigma F_{j1} = F_{r1}$ |
| 04 | e_{j3} | $\left. \begin{array}{l} \left\{ \begin{array}{l} a_{f3} \\ a_{f2} \\ a_{f1} \end{array} \right\} a_f$ | 13 $ M_f $ |
| 05 | e_{j2} | | 14 $ a_f $ |
| 06 | e_{j1} | | 15 $ M_u $ |
| 07 | $\Sigma M_{uj3} = M_{u3}$ | $\left. \begin{array}{l} \left\{ \begin{array}{l} M_u \end{array} \right\}$ | 16 $ F_r $ |
| 08 | $\Sigma M_{uj2} = M_{u2}$ | | 17 p |
| 09 | $\Sigma M_{uj1} = M_{u1}$ | | 18 $\left. \begin{array}{l} \text{Zähler + Ind. Adr.} \end{array} \right\}$ |
| | | | 20 $\left. \begin{array}{l} \text{1. Ringzähler} \end{array} \right\}$ |
| | | | 21 $\left. \begin{array}{l} \text{2. Ringzähler} \end{array} \right\}$ |
| | | | 22 $\left. \begin{array}{l} \text{1. Fall} \end{array} \right\}$ |
| | | | 23 $\left. \begin{array}{l} \text{2. Fall} \end{array} \right\}$ |
| | | | 24 $\left. \begin{array}{l} \text{1. Fall} \end{array} \right\}$ |
| | | | 25 $\left. \begin{array}{l} \text{2. Fall} \end{array} \right\}$ |
| | | | 26 $\left. \begin{array}{l} \text{1. Fall} \end{array} \right\}$ |
| | | | 27 $\left. \begin{array}{l} \text{2. Fall} \end{array} \right\}$ |

Eine ebene Kräftegruppe läßt sich mit diesem Programm ebenfalls behandeln. Dabei wird lediglich die 3. Komponente der Vektoren Null.

Haben alle Kräfte einen gemeinsamen Angriffspunkt, so ist es sinnvoll, den Koordinatenursprung in diesen zu legen. Die Koordinaten des Angriffspunktes werden dann mit Null eingegeben. Ein Moment tritt für dieses System nicht auf, erscheint also mit Null als Ausgabewert. Sind resultierende Kraft und Moment Null, gilt also

$$F_{ri} = 0 \quad \text{und} \quad M_{ui} = 0, \quad \text{für alle } i = 1, 2, 3 \quad (2.1.11)$$

so befindet sich der, diesen äußeren Kräften ausgesetzte, starre Körper im Gleichgewicht.

Tabelle 2.2 Programm Kräftereduktion zum TI 58/59

Eingabeprogramm:

Start

000 76 LBL
001 11 A
002 47 CMS
003 06 6
004 18 C*

Eingabe

005 76 LBL
006 85 +
007 06 6
008 42 STD
009 00 00
010 76 LBL
011 75 -

012 91 R/S
013 99 PRT
014 72 ST*
015 00 00
016 97 DSZ
017 00 00
018 75 -
019 98 ADV

**Berechnungsvor-
bereitung**

020 09 9
021 16 A*

**Berechnung zur
resultierenden Kraft**

022 76 LBL
023 65 x
024 73 RC*
025 00 00
026 74 SM*
027 19 19

**Berechnung zum
Moment**

028 19 D*
029 74 SM*
030 18 18

Ringshiften

031 10 E*

**Zählerverminderung
+ Rücksprung**

032 17 B*
033 97 DSZ
034 00 00
035 65 x
036 61 GTD
037 85 +

Auswertungsprogramm:

Start

038 76 LBL
039 12 B
040 98 ADV
041 98 ADV
042 01 1
043 02 2
044 18 C*

**Bestimmung des Orts-
vektors/1. Teil**

045 06 6
046 16 A*
047 76 LBL
048 55 +
049 19 D*
050 72 ST*
051 18 18

052 10 E*
053 17 B*
054 97 DSZ
055 00 00
056 55 +

**Bestimmung der
Vektorbeträge/1. Teil**

057 06 6
058 16 A*
059 76 LBL
060 89 +
061 73 RC*
062 20 20
063 33 X²
064 44 SUM
065 16 16

066 73 RC*
067 19 19
068 33 X²
069 44 SUM
070 15 15
071 73 RC*
072 18 18
073 33 X²
074 44 SUM
075 14 14
076 17 B*
077 97 DSZ
078 00 00
079 89 +

**Bestimmung des
Ortsvektors/2. Teil**

080 43 RCL
081 16 16
082 35 1/X
083 49 PRD
084 04 04
085 49 PRD
086 05 05
087 49 PRD
088 06 06
089 42 STD
090 17 17
091 33 X²
092 49 PRD
093 14 14

**Bestimmung des
Parameters**

094 09 9
095 16 A*
096 76 LBL
097 52 EE
098 73 RC*
099 18 18
100 65 x
101 73 RC*
102 19 19
103 85 +
104 17 B*
105 97 DSZ
106 00 00
107 52 EE
108 00 0
109 95 =

110 49 PRD
111 17 17

**Bestimmung des
Momentes M**

112 01 1
113 02 2
114 16 A*
115 76 LBL
116 44 SUM
117 73 RC*
118 18 18
119 65 x
120 43 RCL
121 17 17
122 95 =
123 72 ST*

124 00 00
125 33 X²
126 44 SUM
127 13 13
128 17 B*
129 97 DSZ
130 00 00
131 44 SUM

**Bestimmung der
Vektorbeträge/2. Teil**

132 01 1
133 06 6
134 16 A*
135 01 1
136 44 SUM
137 00 00

138 76 LBL
139 42 STD
140 73 RC*
141 18 18
142 34 FX
143 72 ST*
144 18 18
145 17 B*
146 97 DSZ
147 00 00
148 42 STD

Ausgabe + Ende

149 00 0
150 22 INV
151 90 LST
152 91 R/S

Unterprogramme:**Setzen der Zähler**

153 76 LBL
 154 16 R'
 155 42 STD
 156 18 18
 157 85 +
 158 03 3
 159 85 +
 160 42 STD
 161 19 19
 162 03 3
 163 95 =
 164 42 STD
 165 20 20
 166 03 3
 167 42 STD
 168 00 00
 169 92 RTN

Verminderung der Zähler um 1

170 76 LBL
 171 17 B'
 172 01 1
 173 94 +/-
 174 44 SUM

175 18 18
 176 44 SUM
 177 19 19
 178 44 SUM
 179 20 20
 180 92 RTN

Setzen der Ringzähler

181 76 LBL
 182 18 C'
 183 42 STD
 184 18 18
 185 06 6
 186 42 STD
 187 00 00
 188 02 2
 189 06 6
 190 42 STD
 191 19 19
 192 76 LBL
 193 38 SIN
 194 43 RCL
 195 18 18
 196 72 ST*

197 19 19
 198 17 B'
 199 97 DSZ
 200 00 00
 201 38 SIN
 202 92 RTN

Berechnung mit Ringzähler

203 76 LBL
 204 19 D'
 205 73 RC*
 206 25 25
 207 65 ×
 208 73 RC*
 209 21 21
 210 75 -
 211 73 RC*
 212 24 24
 213 65 ×
 214 73 RC*
 215 22 22
 216 95 =
 217 92 RTN

Ringzählervertauschung

218 76 LBL
 219 10 E'
 220 43 RCL
 221 26 26
 222 48 EXC
 223 24 24
 224 48 EXC
 225 25 25
 226 42 STD
 227 26 26
 228 43 RCL
 229 23 23
 230 48 EXC
 231 21 21
 232 48 EXC
 233 22 22
 234 42 STD
 235 23 23
 236 92 RTN

Hilfsprogramm:**Start**

237 76 LBL
 238 13 C
 239 99 PRT
 240 98 ADV
 241 65 ×
 242 03 3
 243 42 STD
 244 00 00
 245 95 =
 246 42 STD
 247 18 18
 248 02 2
 249 09 9
 250 42 STD
 251 19 19
 252 00 0
 253 42 STD
 254 20 20
 255 76 LBL
 256 34 FX

257 73 RC*
 258 18 18
 259 72 ST*
 260 19 19
 261 33 X²
 262 44 SUM
 263 20 20

Zählerverminderung um 1 + Rücksprung

264 01 1
 265 94 +/-
 266 44 SUM
 267 18 18
 268 44 SUM
 269 19 19
 270 97 DSZ
 271 00 00
 272 34 FX

Berechnungsvorbereitung

273 03 3
 274 42 STD
 275 00 00
 276 02 2
 277 09 9
 278 42 STD
 279 18 18
 280 43 RCL
 281 20 20
 282 34 FX
 283 42 STD
 284 20 20

Berechnung + Ausgabe

285 76 LBL
 286 45 YX
 287 73 RC*
 288 18 18
 289 55 -

290 43 RCL
 291 20 20
 292 95 =
 293 22 INV
 294 39 COS
 295 99 PRT

Zählerverminderung um 1 + Rücksprung

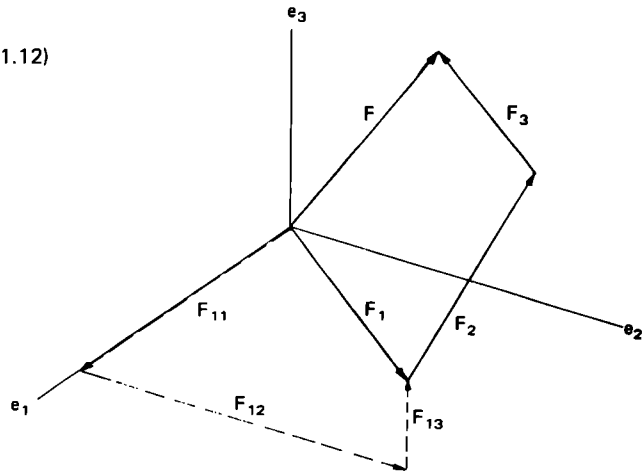
296 01 1
 297 94 +/-
 298 44 SUM
 299 18 18
 300 97 DSZ
 301 00 00
 302 45 YX
 303 91 R/S

2.1.2 Zerlegung einer Kraft

Der Vorgang der Kräfte-Reduktion ist ein umkehrbarer Prozeß. Aus diesem Grunde läßt sich eine Kraft wieder in Komponenten zerlegen. Eine Zerlegung ist eindeutig möglich, wenn 3 unabhängige Richtungen für die Komponenten gegeben sind. Es soll somit die Kraft F in die Komponenten F_j , $j = 1, 2, 3$, zerlegt werden. Diese Komponenten bilden bezüglich des Koordinatensystems die Summen

$$F_j = \sum_{i=1}^3 F_{ji}. \quad (2.1.12)$$

Bild 2.6
Kraftkomponenten



Unter Benutzung der Richtungswinkel (Bild 2.4) α_{ji} ergibt

$$\sum_{j=1}^3 F_j \cos \alpha_{ji} = F_i, \quad i = 1, 2, 3, \quad (2.1.13)$$

alle Komponenten längs der Koordinatenachsen. In abgekürzter Schreibweise für

$$\cos \alpha_{ji} = a_{ji} \quad (2.1.14)$$

wird damit

$$\sum_{j=1}^3 F_j a_{ji} = F_i, \quad i = 1, 2, 3. \quad (2.1.15)$$

Wie oben angedeutet, ist dieses Gleichungssystem unter bestimmten Bedingungen eindeutig lösbar, denn wir erhalten 3 Gleichungen mit 3 Unbekannten.

Zur Lösung dieses linearen Gleichungssystems

$$A F = F' \quad (2.1.16)$$

bietet sich das Solid-State-Softwareprogramm ML-02 an. Dabei entsteht eine Schwierigkeit, denn durch die Verwendung als Unterprogramm ist die Eingabe über R/S nicht möglich, da das Unterprogramm durch INV SBR ins Hauptprogramm zurückspringt. Listet man sich diese Programmteile aus, so ergibt sich für unser Problem folgende, durch ML-02 vorbestimmte und in Tabelle 2.3 wieder-gegebene, Speicherplatzbelegung. Unter Festlegung des Berechnungsalgorithmus in Flußdiagramm-form (Bild 2.7), ergibt sich das entsprechende Programm in Tabelle 2.4.

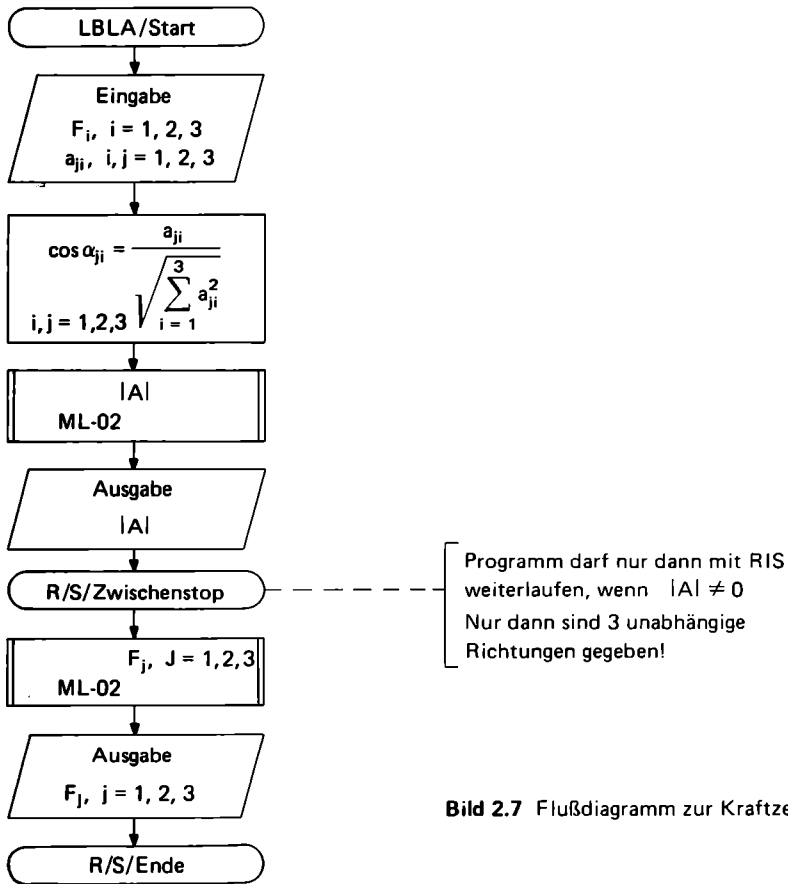


Bild 2.7 Flußdiagramm zur Kraftzerlegung

Tabelle 2.3 Speicherplatzbelegung

vorbestimmt:

| | | | | | | | | | | | |
|----|-----------------|-------------------|----|-----------------|-------------------|----|-----------------|-------------------|----|----------------|------------------|
| 08 | a ₁₁ | } a _{1i} | 11 | a ₂₁ | } a _{2i} | 14 | a ₃₁ | } a _{3i} | 21 | F ₁ | } F _i |
| 09 | a ₁₂ | | 12 | a ₂₂ | | 15 | a ₃₂ | | 20 | F ₂ | |
| 10 | a ₁₃ | | 13 | a ₂₃ | | 16 | a ₃₃ | | 22 | F ₃ | |

frei gewählt:

| | | | | |
|----|----------|----|----------------|------------------|
| 00 | } Zähler | 05 | F ₁ | } F _i |
| 01 | | 06 | F ₂ | |
| 02 | | 07 | F ₃ | |

Tabelle 2.4 Programm Kraftzerlegung zum T158/59

| Start/Einlesen | | | Determinantenbe- rechnung und Ausgabe | | |
|----------------------------------|----|-----|---|----|----------------|
| 000 | 72 | ST* | 027 | 03 | 3 |
| 001 | 00 | 00 | 028 | 42 | STD |
| 002 | 92 | RTN | 029 | 01 | 01 |
| 003 | 32 | XIT | 030 | 76 | LBL |
| 004 | 01 | 1 | 031 | 75 | - |
| 005 | 44 | SUM | 032 | 73 | RC* |
| 006 | 00 | 00 | 033 | 02 | 02 |
| 007 | 32 | XIT | 034 | 33 | X ² |
| 008 | 99 | PRT | 035 | 85 | + |
| 009 | 81 | RST | 036 | 32 | XIT |
| 010 | 76 | LBL | 037 | 22 | INV |
| 011 | 11 | R | 038 | 44 | SUM |
| 012 | 47 | CMS | 039 | 02 | 02 |
| 013 | 04 | 4 | 040 | 32 | XIT |
| 014 | 81 | RST | 041 | 97 | DSZ |
| | | | 042 | 01 | 01 |
| | | | 043 | 75 | - |
| | | | 044 | 00 | 0 |
| | | | 045 | 95 | = |
| | | | 046 | 34 | FX |
| | | | 047 | 32 | XIT |
| | | | 048 | 03 | 3 |
| | | | 049 | 44 | SUM |
| | | | 050 | 02 | 02 |
| | | | 051 | 42 | STD |
| | | | 052 | 01 | 01 |
| | | | 053 | 01 | 1 |
| | | | 054 | 32 | XIT |
| | | | 055 | 76 | LBL |
| | | | 056 | 65 | X |
| | | | 057 | 22 | INV |
| | | | 058 | 64 | PD* |
| | | | 059 | 02 | 02 |
| | | | 060 | 32 | XIT |
| | | | 061 | 22 | INV |
| | | | 062 | 44 | SUM |
| | | | 063 | 02 | 02 |
| | | | 064 | 32 | XIT |
| | | | 065 | 97 | DSZ |
| | | | 066 | 01 | 01 |
| | | | 067 | 65 | X |
| | | | 068 | 97 | DSZ |
| | | | 069 | 00 | 00 |
| | | | 070 | 85 | + |
| | | | Umspeicherung | | |
| | | | 071 | 43 | RCL |
| | | | 072 | 05 | 05 |
| | | | 073 | 42 | STD |
| | | | 074 | 21 | 21 |
| | | | 075 | 43 | RCL |
| | | | 076 | 06 | 06 |
| | | | 077 | 42 | STD |
| | | | 078 | 20 | 20 |
| | | | 079 | 43 | RCL |
| | | | 080 | 07 | 07 |
| | | | 081 | 42 | STD |
| | | | 082 | 22 | 22 |
| | | | 083 | 03 | 3 |
| | | | 084 | 42 | STD |
| | | | 085 | 07 | 07 |
| | | | 086 | 36 | PGM |
| | | | 087 | 02 | 02 |
| | | | 088 | 13 | C |
| | | | 089 | 91 | R/S |
| | | | Lösungsberechnung (nur möglich wenn Determinante ≠ 0) | | |
| | | | 090 | 25 | CLR |
| | | | 091 | 36 | PGM |
| | | | 092 | 02 | 02 |
| | | | 093 | 15 | E |
| | | | Ausgabe der Lösung | | |
| | | | 094 | 43 | RCL |
| | | | 095 | 20 | 20 |
| | | | 096 | 99 | PRT |
| | | | 097 | 43 | RCL |
| | | | 098 | 21 | 21 |
| | | | 099 | 99 | PRT |
| | | | 100 | 43 | RCL |
| | | | 101 | 22 | 22 |
| | | | 102 | 99 | PRT |
| | | | 103 | 91 | R/S |
| Berechnung Richtungskosinusse | | | | | |
| 015 | 76 | LBL | | | |
| 016 | 12 | B | | | |
| 017 | 98 | ADV | | | |
| 018 | 03 | 3 | | | |
| 019 | 42 | STD | | | |
| 020 | 00 | 00 | | | |
| 021 | 01 | 1 | | | |
| 022 | 06 | 6 | | | |
| 023 | 42 | STD | | | |
| 024 | 02 | 02 | | | |
| 025 | 76 | LBL | | | |
| 026 | 85 | + | | | |

Das Programm kann nach Ausgabe der Determinante nur dann mit R/S weiterlaufen, wenn diese ungleich Null ist.

2.1.3 Stützkräfte in Tragwerken

Wir kommen zur Anwendung der Gleichgewichtsbedingung. Das Ziel der statischen Auslegung von Tragwerken ist es, daß diese bei Einwirkung äußerer Kräfte ihre vorgesehene Ruhelage beibehalten. Die Belastungs- und Stützkräfte müssen sich also im Gleichgewicht befinden. Die Untersuchung darüber kann natürlich mit dem zuvor bestimmten Programm geschehen.

Da aber ein Großteil von Berechnungen sich auf ebene Fachwerke beschränkt, soll nachfolgend ein Programm zur Berechnung ebener Fachwerke nach dem Knotenpunktverfahren entwickelt werden. In diesem Programm kann dann auf spezielle Belange des Berechnungsverfahrens eingegangen werden.

Unter einem ebenen Fachwerk versteht man idealisiert ein Gebilde aus geraden Stäben, die in ihren Endpunkten (Knoten) durch reibungsfreie Gelenke miteinander verbunden sind. Die äußeren Belastungskräfte greifen dabei nur in den Knoten an. Durch diese Idealisierung können in den Stäben nur Zug- oder Druckkräfte übertragen werden. Insbesondere gilt damit für jeden Knoten des Fachwerks die Gleichgewichtsbedingung. Betrachten wir einen Knoten bezüglich eines Koordinaten-

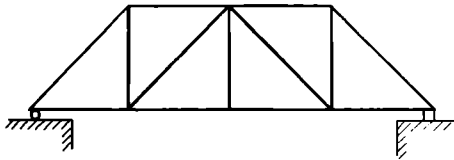


Bild 2.8
Ebenes Fachwerk

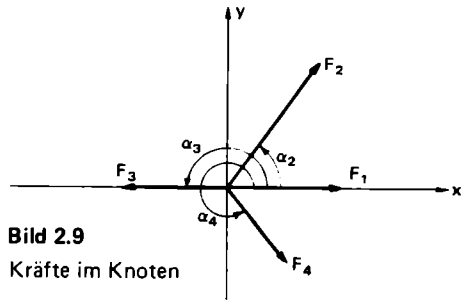


Bild 2.9
Kräfte im Knoten

systems zur Festlegung der Kraftangriffsrichtung, denn die Kräfte können nur längs der Stabrichtung wirken, so muß die Gleichgewichtsbedingung

$$\sum_{i=1}^n F_i = 0 \quad (2.1.17)$$

erfüllt sein. In Komponentenschreibweise heißt dies

$$\sum_{i=1}^n F_i \cos \alpha_i = 0 \quad \text{und} \quad \sum_{i=1}^n F_i \sin \alpha_i = 0. \quad (2.1.18)$$

Damit liegt ein lineares Gleichungssystem von zwei Gleichungen vor. Folglich lassen sich damit zwei unbekannte Stabkräfte bestimmen.

Seien also F_i , $i = 1, 2$ die unbekannten und F_j , $j = 1, \dots, n$ bekannte Stabkräfte, so ergibt sich

$$F_1 \cos \alpha_1 + F_2 \cos \alpha_2 = - \sum_{j=1}^n F_j \cos \alpha_j \quad (2.1.19)$$

$$F_1 \sin \alpha_1 + F_2 \sin \alpha_2 = - \sum_{j=1}^n F_j \sin \alpha_j.$$

In Matrixschreibweise

$$A F = F' \quad (2.1.20)$$

mit $F = (F_1, F_2)^T$ und $F' = \left(- \sum_{j=1}^n F_j \cos \alpha_j, - \sum_{j=1}^n F_j \sin \alpha_j \right)^T$, sowie der Matrix

$$A = \begin{pmatrix} \cos \alpha_1 & \cos \alpha_2 \\ \sin \alpha_1 & \sin \alpha_2 \end{pmatrix}.$$

Die Lösung läßt sich wiederum sehr gut mit dem Solid-State-Softwareprogramm ML-02 bestimmen. Bild 2.10 zeigt das Flußdiagramm und nach Tabelle 2.5, der Speicherplatzbelegung, folgt in Tabelle 2.6 das Programm.

Die Eingabe der Wirkrichtung der unbekannten Kräfte sowie die Eingabe der bekannten Kräfte und ihrer Wirkrichtungen muß nicht nach einem bestimmten Umfahrsinn, ähnlich dem zeichnerischen Cremonaplan-Verfahren, erfolgen. Die Reihenfolge der Eingabe der Wirkrichtungen stimmt mit der Reihenfolge der Ausgabe berechneter Stabkräfte überein. Die richtige Behandlung wird im Anwendungsbeispiel gezeigt.

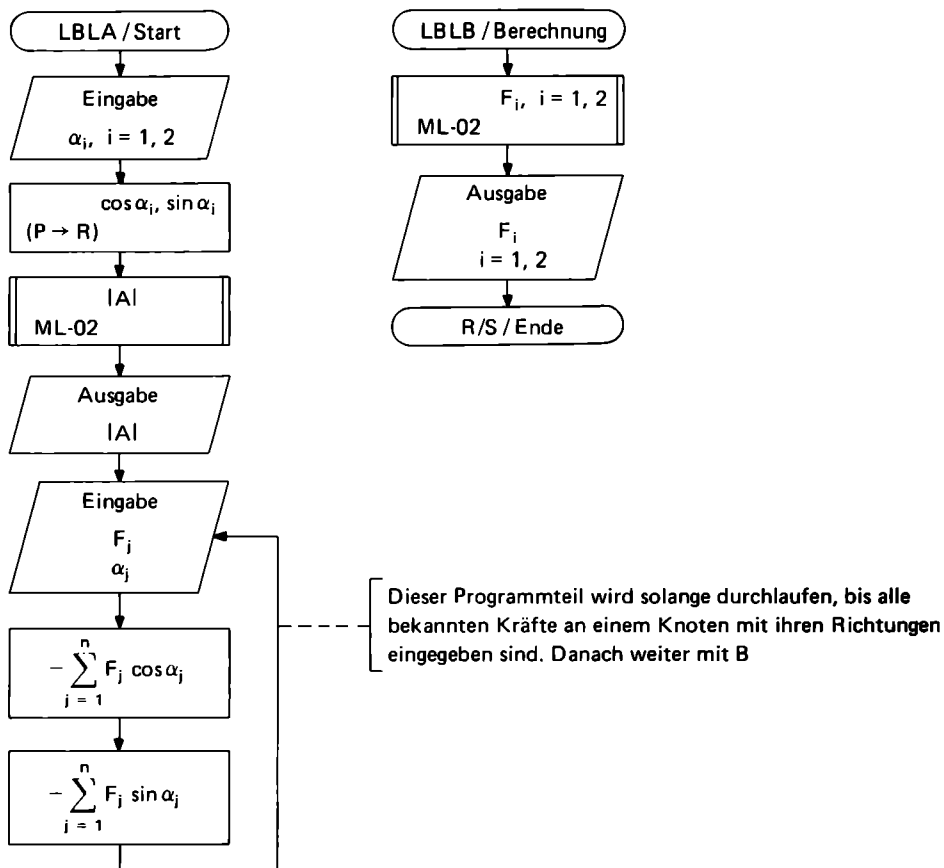


Bild 2.10 Flußdiagramm zu Stützkräfte in Tragwerken

Tabelle 2.5 Speicherplatzbelegung

| | | |
|-----------|--------------------|---|
| 00 Zähler | 08 $\cos \alpha_1$ | $\left\{ \begin{array}{l} 14 - F_j \sin \alpha_j \mid F_1 \\ 15 - F_j \cos \alpha_j \mid F_2 \end{array} \right.$ |
| 01 F_j | 09 $\sin \alpha_1$ | |
| 07 2 | 10 $\cos \alpha_2$ | |
| | 11 $\sin \alpha_2$ | |

Tabelle 2.6 Programm Stützkkräfte in Tragwerken

Start

000 76 LBL
001 11 A
002 47 CMS
003 02 2
004 42 STD
005 07 07

**Winkelingabe und
Koeffizientenbe-
rechnung**

006 01 1
007 32 X:T
008 00 0
009 91 R/S
010 99 PRT
011 37 P/R
012 42 STD
013 09 09
014 32 X:T
015 42 STD
016 08 08
017 01 1
018 32 X:T
019 91 R/S

020 99 PRT
021 37 P/R
022 42 STD
023 11 11
024 32 X:T
025 42 STD
026 10 10

**Berechnung der
Determinanten**

027 36 PGM
028 02 02
029 13 0
030 01 1
031 94 +/-
032 49 PRD
033 12 12
034 49 PRD
035 13 13
036 01 1
037 06 6
038 44 SUM
039 12 12
040 44 SUM
041 13 13

**Eingabe bekannter
Kräfte + Winkel**

042 76 LBL
043 16 A'
044 91 R/S
045 99 PRT
046 42 STD
047 01 01
048 01 1
049 32 X:T
050 91 R/S
051 99 PRT
052 37 P/R
053 65 X
054 48 RCL
055 01 01
056 95 =
057 22 INV
058 74 SM+
059 12 12
060 32 X:T
061 65 X
062 48 RCL
063 01 01
064 95 =

065 22 INV
066 74 SM+
067 13 13
068 16 A'

Lösungsbestimmung

069 76 LBL
070 12 B
071 25 CLR
072 36 PGM
073 02 02
074 15 E

Ausgabe

075 43 RCL
076 14 14
077 99 PRT
078 43 RCL
079 15 15
080 99 PRT
081 91 R/S

2.1.4 Biegeträger

Die idealisierte Vorstellung, daß äußere Kräfte nur in den Knotenpunkten eines Fachwerkes angreifen, trifft in der Realität nicht zu. Durch auftretende Flächen- und Punktlasten außerhalb der Auflager werden Stäbe auch auf Biegung beansprucht. Natürlich gibt es auch einfache Biegeträger.

Das nachfolgende Programm soll die Möglichkeit bieten, neben einem Rumpfprogramm z.B. die Gleichung der elastischen Linie eines beliebigen Belastungsfalls einlesen zu können.

Dies setzt die Aufteilung

Magnetkartenseite 1: Spezialprogramme

Magnetkartenseite 2: Rumpfprogramme

voraus. Gehen wir von der Annahme aus, daß die Spezialgleichungen als Hauptprogramme abgefaßt werden, so wird das Rumpfprogramm als Unterprogramm ausgebildet. Eine mögliche Zuordnung wäre:

LBL E: Eingabe

LBL A: Gleichung der Balkendurchbiegung

LBL B: Gleichung der Balkenneigung

LBL C: Gleichung des Querkraftverlaufs

LBL D: Gleichung des Momentenverlaufs

usw.

Betrachten wir als konkretes Beispiel einen nach Bild 2.11 einseitig eingespannten Träger, durch Punkt- und Streckenlast belastet. Das Moment an einer beliebigen Stelle x ergibt sich nach Bild 2.11 aus dem Ansatz

$$M(x) = F(l - x) + q(l - x) \frac{l - x}{2}. \quad (2.1.21)$$

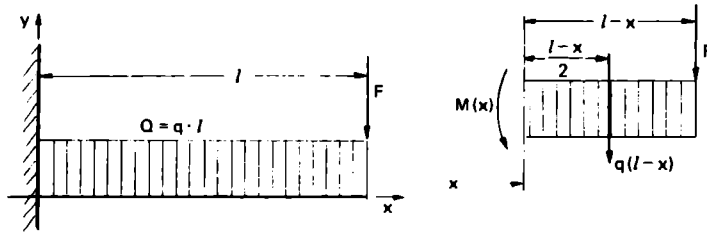


Bild 2.11 Einseitig eingespannter Träger mit Punkt- und Streckenlast

Durch Einsetzen in die allgemeine Gleichung der elastischen Linie

$$y'' = - \frac{M(x)}{EI} \quad (2.1.22)$$

ergibt sich

$$y'' = - \frac{1}{EI} \left(F(l - x) + \frac{q}{2} (l - x)^2 \right). \quad (2.1.23)$$

Eine Integration führt auf die Gleichung der Balkenneigung

$$y' = - \frac{1}{EI} \left(Flx - \frac{F}{2} x^2 + \frac{q}{2} l^2 x - \frac{q}{2} lx^2 + \frac{q}{6} x^3 + c_1 \right). \quad (2.1.24)$$

Mit der Randbedingung $y'(x = 0) = 0$ folgt $c_1 = 0$.

Eine nochmalige Integration führt auf die Gleichung der Durchbiegung

$$y = - \frac{1}{EI} \left(\frac{F}{2} lx^2 - \frac{F}{6} x^3 + \frac{q}{4} l^2 x^2 - \frac{q}{6} lx^3 + \frac{q}{24} x^4 + c_2 \right). \quad (2.1.25)$$

Mit der Randbedingung $y(x = 0) = 0$ folgt $c_2 = 0$.

Damit erhalten wir die 3 Spezialgleichungen:

$$y = - \frac{l^3}{24EI} \left(4F \left(3 \left(\frac{x}{l} \right)^2 - \left(\frac{x}{l} \right)^3 \right) + Q \left(6 \left(\frac{x}{l} \right)^2 - 4 \left(\frac{x}{l} \right)^3 + \left(\frac{x}{l} \right)^4 \right) \right), \quad (2.1.26)$$

$$y' = - \frac{l^2}{6EI} \left(3F \left(2 \left(\frac{x}{l} \right) - \left(\frac{x}{l} \right)^2 \right) + Q \left(3 \left(\frac{x}{l} \right) - 3 \left(\frac{x}{l} \right)^2 + \left(\frac{x}{l} \right)^3 \right) \right) \quad (2.1.27)$$

und

$$M(x) = \frac{l}{2} \left(1 - \frac{x}{l} \right) \left(2F + Q \left(1 - \frac{x}{l} \right) \right), \quad (2.1.28)$$

in denen die Laufvariable x nur im Quotienten x/l auftritt. Bezeichnen wir diese Gleichungen allgemein mit $f(x)$, so zeigt Bild 2.12 das Flußdiagramm zur Berechnung von $f(x)$ über den ganzen Träger mit der Schrittweite Δx . Tabelle 2.7 zeigt die Speicherplatzbelegung mit Einteilung fester und freier Belegung. Die feste Belegung ist für ein einwandfreies Funktionieren des Rumpfprogramms notwendig. Auf die freie Belegung greifen nur die Spezialprogramme zurück. Das entsprechende Programm zu diesem allgemeinen Anwendungsfall zeigt Tabelle 2.8.

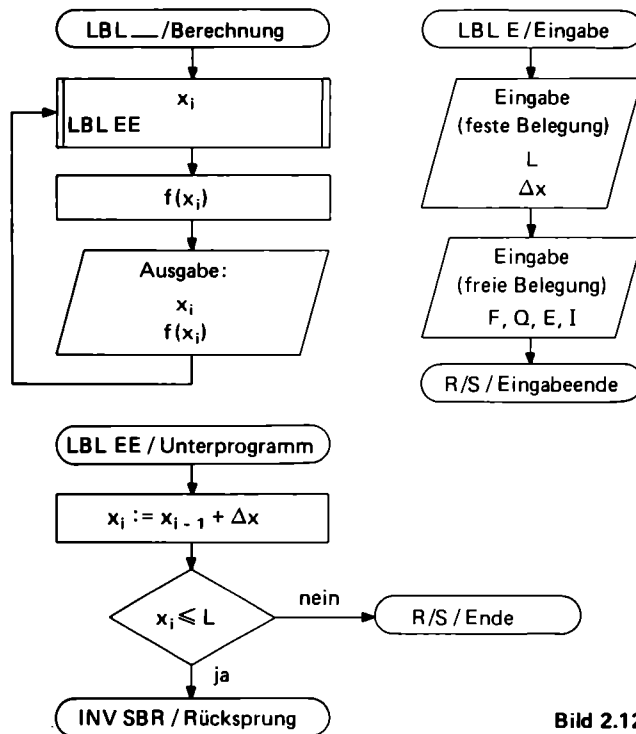


Bild 2.12 Flußdiagramm zum Biegeträger

Tabelle 2.7 Speicherplatzbelegung

| feste Belegung: | freie Belegung: |
|------------------------------|-----------------|
| 00 Zähler | 05 F |
| 01 x/l | 06 Q |
| 02 x | 07 E |
| 03 l | 08 I |
| 04 Δx (Schrittweite) | |

Tabelle 2.8 Programm Biegeträger zum TI 58/59

Eingabeprogramm

```
000 72 S**
001 00 00
002 92 RTN
003 32 X:T
004 01 1
005 44 SUM
006 00 00
007 32 X:T
008 99 PRT
009 81 RST
010 76 LBL
011 15 E
012 47 DNS
013 02 2
014 81 RST
```

Balkendurchbiegung

```
015 76 LBL
016 11 A
017 98 ADV
018 71 SBR
019 52 EE
020 32 X:T
021 99 PRT
022 55 +
023 32 X:T
024 95 =
025 42 S**
026 01 01
027 04 4
028 65 *
029 43 RCL
030 05 05
031 65 *
032 53 1
033 03 3
034 65 *
035 02 2
036 10 E'
037 75 -
038 03 3
039 10 E'
040 54 1
041 85 -
042 43 RCL
043 06 06
044 65 *
045 53 1
046 06 6
047 65 *
048 02 2
049 10 E'
050 75 -
051 04 4
052 65 *
053 03 3
054 10 E'
055 85 -
056 04 4
```

```
057 10 E'
058 54 1
059 95 =
060 65 *
061 43 RCL
062 03 03
063 45 Y*
064 03 3
065 55 -
066 43 RCL
067 07 07
068 55 -
069 43 RCL
070 08 08
071 55 -
072 02 2
073 04 4
074 94 +/-
075 95 =
076 99 PRT
077 61 GTO
078 11 A
```

Balkenneigung

```
079 76 LBL
080 12 B
081 98 ADV
082 71 SBR
083 52 EE
084 32 X:T
085 99 PRT
086 55 -
087 32 X:T
088 95 =
089 42 S**
090 01 01
091 03 3
092 65 *
093 43 RCL
094 05 05
095 65 *
096 53 1
097 02 2
098 65 *
099 43 RCL
100 01 01
101 75 -
102 02 2
103 10 E'
104 54 1
105 85 -
106 43 RCL
107 06 06
108 65 *
109 53 1
110 03 3
111 65 *
112 43 RCL
```

```
113 01 01
114 75 -
115 03 3
116 65 *
117 02 2
118 10 E'
119 85 +
120 03 3
121 10 E'
122 54 1
123 95 =
124 65 *
125 43 RCL
126 03 03
127 33 X²
128 55 +
129 43 RCL
130 07 07
131 55 +
132 43 RCL
133 08 08
134 55 +
135 06 6
136 94 +/-
137 95 =
138 65 *
139 01 1
140 08 8
141 00 0
142 55 -
143 89 1
144 95 =
145 99 PRT
146 61 GTO
147 12 B
```

Momentenverlauf

```
148 76 LBL
149 13 C
150 98 ADV
151 71 SBR
152 52 EE
153 32 X:T
154 99 PRT
155 55 -
156 32 X:T
157 95 =
158 94 +/-
159 85 -
160 01 1
161 95 =
162 42 S**
163 01 01
164 65 *
165 43 RCL
166 06 06
167 85 -
168 02 2
```

```
169 65 *
170 43 RCL
171 05 05
172 95 =
173 65 *
174 43 RCL
175 01 01
176 65 *
177 43 RCL
178 03 03
179 55 -
180 02 2
181 95 =
182 99 PRT
183 61 GTO
184 13 C
```

**Unterprogramm
Rumpf**

```
240 76 LBL
241 52 EE
242 43 RCL
243 02 02
244 85 -
245 43 RCL
246 04 04
247 95 =
248 42 S**
249 02 02
250 32 X:T
251 43 RCL
252 03 03
253 22 INV
254 77 GE
255 91 R/S
256 92 RTN
257 76 LBL
258 91 R/S
259 00 0
260 42 S**
261 02 02
262 98 ADV
263 98 ADV
264 98 ADV
265 91 R/S
```

**Unterprogramm
Potenzieren**

```
266 76 LBL
267 10 E'
268 32 X:T
269 53 1
270 43 RCL
271 01 01
272 45 Y*
273 32 X:T
274 54 1
275 92 RTN
```


2.1.5 Anwendungsbeispiele

Die jedem Abschnitt folgenden Anwendungsbeispiele sollen Ihnen die Verwendung der zuvor entwickelten Programme demonstrieren. Mit einem Beispiel lassen sich jedoch nicht alle notwendigen Informationen vermitteln. Es liegt an Ihrem Verständnis der Programme, inwieweit Sie diese einsetzen. Anwendungsbeispiele demonstrieren auf anschauliche Weise, welche Programmabläufe sinnvoll oder umständlich sind. Änderungen gehören zur allgemeinen Programmpflege. Ergänzungen und Kommentierung der Programme können, je nach Rechnerotyp, hinzukommen.

— 1 —

An einem starren Körper greifen an den angegebenen Punkten folgende Kräfte an:

$$a_1 = (3, 0, 0); \quad F_1 = (0, 3, 0)$$

$$a_2 = (0, 1, 0); \quad F_2 = (0, 0, 4)$$

$$a_3 = (0, 0, 2); \quad F_3 = (5, 0, 0).$$

Gesucht ist ihre Wirkung auf den Körper.

Eingabe (Aufruf mit A):

$$\begin{array}{ccc} \left. \begin{array}{l} 3. \\ 0. \\ 0. \end{array} \right\} a_1 & \left. \begin{array}{l} 0. \\ 1. \\ 0. \end{array} \right\} a_2 & \left. \begin{array}{l} 0. \\ 0. \\ 2. \end{array} \right\} a_3 \\ \left. \begin{array}{l} 0. \\ 3. \\ 0. \end{array} \right\} F_1 & \left. \begin{array}{l} 0. \\ 0. \\ 4. \end{array} \right\} F_2 & \left. \begin{array}{l} 5. \\ 0. \\ 0. \end{array} \right\} F_3 \end{array}$$

Die Eingabe Angriffspunkt/Kraft muß in dieser Reihenfolge geschehen. Die Reihenfolge der Indexwerte ist belanglos. Nach jeder Eingabe beginnt das Eingabeprogramm erneut. Sind alle Daten eingegeben, wird mit B das Berechnungsprogramm aufgerufen.

Ausgabe:

Nach Berechnungsende wird durch 1 INV 2nd List der Inhalt der Datenspeicher, beginnend mit 01, aufgelistet. Nach Ausgabe von 17 stoppen Sie mit R/S die Ausgabe ab. Die Zuordnung Datenwert / Datenbezeichnung ergibt sich aus Tabelle 2.1.

Die Bilder 2.13 und 2.14 geben den Sachverhalt dieses Beispiels bildlich wieder.

| | | | |
|-------------|----|-----------------|------------------|
| 6.88 | 01 | M _{f3} | } M _f |
| 5.16 | 02 | M _{f2} | |
| 8.6 | 03 | M _{f1} | |
| 0.76 | 04 | a _{f3} | } a _f |
| -0.58 | 05 | a _{f2} | |
| -0.26 | 06 | a _{f1} | |
| 9. | 07 | M _{u3} | } M _u |
| 10. | 08 | M _{u2} | |
| 4. | 09 | M _{u1} | |
| 4. | 10 | F _{r3} | } F _r |
| 3. | 11 | F _{r2} | |
| 5. | 12 | F _{r1} | |
| 12.16223664 | 13 | IM _f | |
| .9907572861 | 14 | la _f | |
| 14.03566885 | 15 | IM _u | |
| 7.071067812 | 16 | IF _r | |
| 1.72 | 17 | p | |

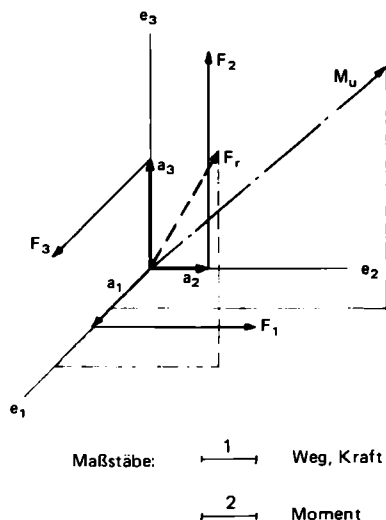


Bild 2.13
Resultierende Kraft und Moment

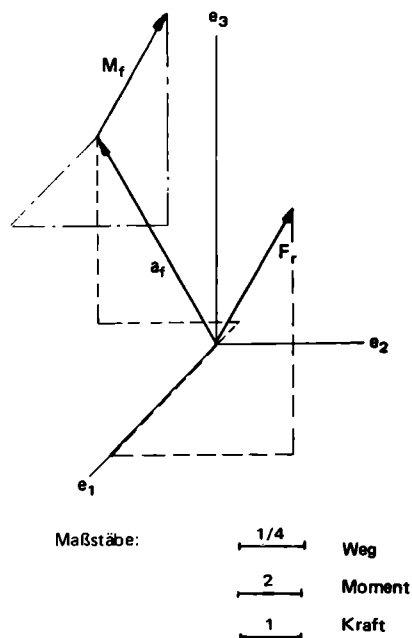


Bild 2.14 Darstellung der Dynamik

Richtungswinkel (Aufruf mit C):

| 1. M_f | | | 2. a_f | | | 3. M_u | | | 4. F_r | | |
|-------------|------------|-------------|------------|-------------|------------|-------------|------------|--|-------------|------------|--|
| 45. | α_1 | 105.214033 | α_1 | 73.44185676 | α_1 | 45. | α_1 | | 45. | α_1 | |
| 64.89590975 | α_2 | 125.8330153 | α_2 | 44.56372086 | α_2 | 64.89590975 | α_2 | | 64.89590975 | α_2 | |
| 55.55009801 | α_3 | 39.90671286 | α_3 | 50.11689031 | α_3 | 55.55009801 | α_3 | | 55.55009801 | α_3 | |

Hier haben Kraft und Moment die gleiche Richtung. Das ihre Richtungswinkel gleich sind, beweist Hilfsprogramm C. Durch Eingabe einer Kennziffer, siehe Bild 2.5 und Aufruf C wird die Berechnung der Richtungswinkel veranlaßt.

— 2 —

Eine Kraft $F = (2.25, -7.5, -2.25)$ soll in drei Komponenten zerlegt werden. Deren Richtungen sind durch die Vektoren

$$a_1 = (4, -5, -0.5)$$

$$a_2 = (-3.5, -5, 2.5)$$

$$a_3 = (0.5, -5, -5.5)$$

vorgegeben.

Eingabe:

$$\left. \begin{array}{r} 2.25 \\ -7.5 \\ -2.25 \end{array} \right\} F$$

$$\left. \begin{array}{r} 4. \\ -5. \\ -0.5 \end{array} \right\} a_1$$

$$\left. \begin{array}{r} -3.5 \\ -5. \\ 2.5 \end{array} \right\} a_2$$

$$\left. \begin{array}{r} 0.5 \\ -5. \\ -5.5 \end{array} \right\} a_3$$

Die Reihenfolge der Vektoreingabe ist mit der Reihenfolge der Komponentenausgabe identisch.

Nach Beendigung der Eingabe wird durch den Aufruf des Solid-State-Softwareprogramms ML-02 die Determinante des, für dieses Problem vorhandenen, Gleichungssystems berechnet und ausgegeben.

.7605156321

4.816962217 F_1
 1.85497115 F_2
 3.49210885 F_3

Nur wenn dieser Wert \neq Null ist, darf das Programm mit R/S wieder gestartet werden. Es erfolgt dann die Ausgabe der Komponenten.

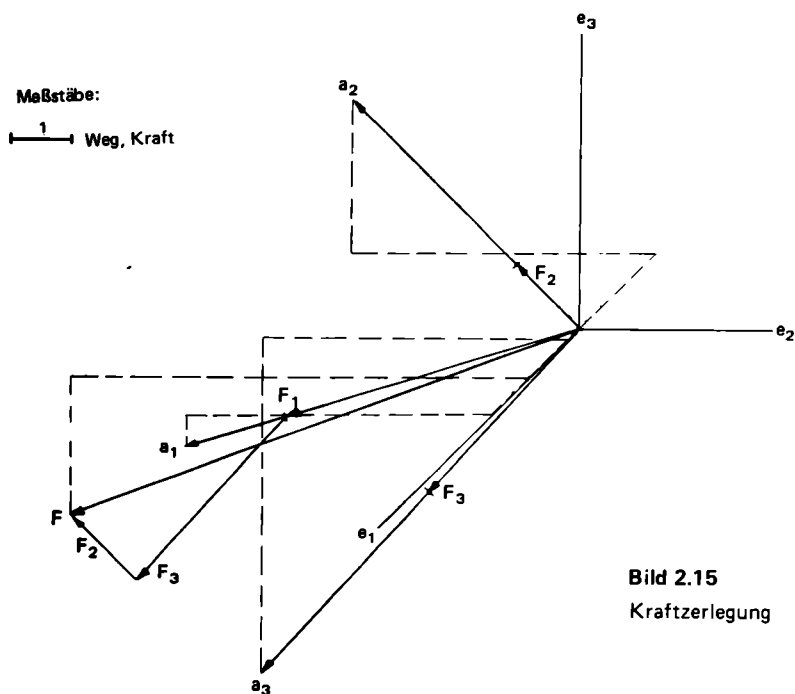


Bild 2.15
Kraftzerlegung

Hinweis:

Wird das Hilfsprogramm LBL C der Kräfte- und Momentenreduktion nach der Berechnung eingelesen, so lassen sich mit der Zuordnung:

$$\begin{aligned} n &= 7 \div 3 - F, \\ n &= 10 \div 3 - a_1(F_1), \\ n &= 13 \div 3 - a_2(F_2), \\ n &= 16 \div 3 - a_3(F_3), \end{aligned}$$

die Richtungswinkel der einzelnen Vektoren bestimmen.

– 3 –

Das in Bild 2.16 dargestellte Tragwerk wird mit der eingezeichneten Kraft belastet. Gesucht sind die Stabkräfte. Die Auflagerkräfte ergeben sich aus dem äußeren Gleichgewichtszustand zu

$$\begin{cases} A + B + F = 0 \\ 12 \times A + 3 \times F = 0 \end{cases} \quad \begin{cases} A = -\frac{3}{12} \times 3,6 = -0,9 \\ B = -3,6 + 0,9 = -2,7 \end{cases}$$

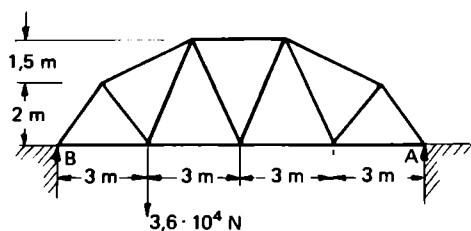


Bild 2.16

Tragwerk

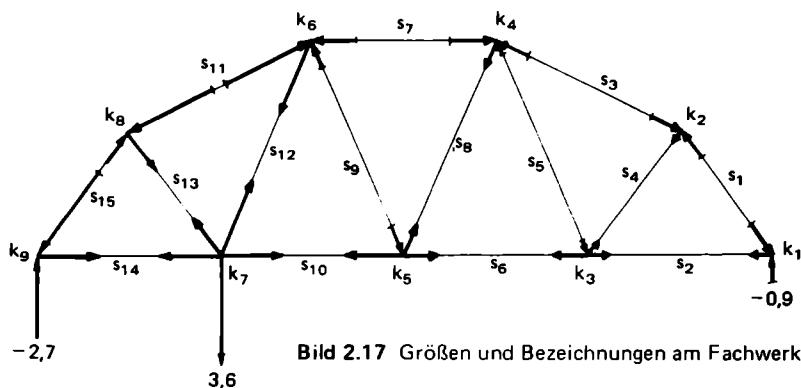


Bild 2.17 Größen und Bezeichnungen am Fachwerk

Für die Beschriftung der jeweiligen Knotenberechnung habe ich das in Tabelle 2.9 wiedergegebene Programm benutzt. Es berechnet für die Zahlen $n = 1$ bis 99 zu jeder Ziffer z ihre Kennziffer k für den Drucker nach der Gleichung

$$k = z + 1 + \text{Int}(z \div 7) \times 2. \quad (2.1.29)$$

Die Beschriftung der n -ten Knotenberechnung erfolgt durch den Programmaufruf $n E$.

| | | | |
|---------------------------------|-------------|------------------------|--|
| 1. KNOTEN: | | | |
| zu be- rechnen- de Kräfte | 126.8698976 | 1. Winkel | |
| | 180. | 2. Winkel | |
| | 0.8 | Determinante ≠ Null | |
| bekannte Größen | -0.9 | 1. Kraft A | |
| | 270. | 1. Winkel | |
| Ergebnis: | -1.125 | 1. Kraft S_1 | |
| | 0.675 | 2. Kraft S_2 | |

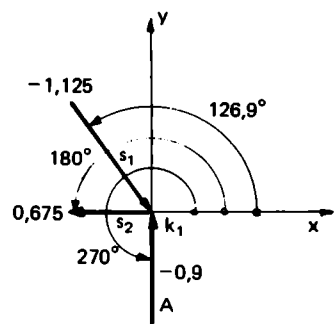


Bild 2.18 Der erste Knoten mit seinen Daten

| | | | |
|--------------|--------------|--------------|--------------|
| 2. KNOTEN: | 4. KNOTEN: | 6. KNOTEN: | 8. KNOTEN: |
| 153.4349488 | 180. | 206.5650512 | 26.56505118 |
| 233.1301024 | 246.8014095 | 246.8014095 | 233.1301024 |
| .9838699101 | 0.91914503 | .6459432415 | -.4473135955 |
| -1.125 | -.4450776491 | -1.542857143 | 1.534090908 |
| 306.8698976 | 293.1985905 | 0. | 306.8698976 |
| -1.097706098 | -1.097706098 | -.9791708279 | -3.293118292 |
| .5113636364 | 333.4349488 | 293.1985905 | -3.074999996 |
| 3. KNOTEN: | -1.542857143 | -3.293118294 | 9. KNOTEN: |
| 113.1985905 | .9791708279 | 2.581450365 | 0. |
| 180. | | | 53.13010235 |
| 0.91914503 | | | 0.8 |
| 0.675 | 0.91914503 | 0.8 | -2.7 |
| 0. | 1.157142857 | 1.928571428 | 270. |
| .5113636364 | 0. | 0. | 2.025 |
| 53.13010235 | .9791708279 | 2.581450365 | -3.375 |
| -.4450776491 | 66.80140949 | 66.80140949 | |
| 1.157142857 | -.9791708279 | 3.6 | |
| | 1.928571428 | 270. | |
| | | 1.534090908 | |
| | | 2.025 | |

Tabelle 2.9 Beschriftungsprogramm zur Knotenberechnung

| | | | | | | | | | | | |
|-----|----|-----|-----|----|-----|-----|----|-----|-----|----|-----|
| 240 | 76 | LBL | 265 | 00 | 0 | 290 | 01 | 1 | 316 | 03 | 03 |
| 241 | 15 | E | 266 | 00 | 0 | 291 | 85 | + | 317 | 85 | + |
| 242 | 47 | CMS | 267 | 42 | STD | 292 | 53 | (| 318 | 04 | 4 |
| 243 | 69 | DP | 268 | 02 | 02 | 293 | 32 | X:T | 319 | 00 | 0 |
| 244 | 00 | 00 | 269 | 76 | LBL | 294 | 55 | + | 320 | 02 | 2 |
| 245 | 42 | STD | 270 | 10 | E * | 295 | 07 | 7 | 321 | 06 | 6 |
| 246 | 01 | 01 | 271 | 43 | RCL | 296 | 54 |) | 322 | 03 | 3 |
| 247 | 76 | LBL | 272 | 01 | 01 | 297 | 59 | INT | 323 | 01 | 1 |
| 248 | 43 | RCL | 273 | 55 | + | 298 | 65 | x | 324 | 95 | = |
| 249 | 55 | - | 274 | 01 | 1 | 299 | 02 | 2 | 325 | 69 | DP |
| 250 | 01 | 1 | 275 | 00 | 0 | 300 | 95 | = | 326 | 01 | 01 |
| 251 | 00 | 0 | 276 | 95 | = | 301 | 65 | x | 327 | 03 | 3 |
| 252 | 95 | = | 277 | 42 | STD | 302 | 43 | RCL | 328 | 02 | 2 |
| 253 | 32 | X:T | 278 | 01 | 01 | 303 | 02 | 02 | 329 | 03 | 3 |
| 254 | 01 | 1 | 279 | 22 | INV | 304 | 95 | = | 330 | 07 | 7 |
| 255 | 44 | SUM | 280 | 59 | INT | 305 | 44 | SUM | 331 | 01 | 1 |
| 256 | 00 | 00 | 281 | 22 | INV | 306 | 03 | 03 | 332 | 07 | 7 |
| 257 | 32 | X:T | 282 | 44 | SUM | 307 | 01 | 1 | 333 | 03 | 3 |
| 258 | 77 | GE | 283 | 01 | 01 | 308 | 00 | 0 | 334 | 01 | 1 |
| 259 | 43 | RCL | 284 | 65 | x | 309 | 00 | 0 | 335 | 06 | 6 |
| 260 | 01 | 1 | 285 | 01 | 1 | 310 | 49 | PRD | 336 | 02 | 2 |
| 261 | 00 | 0 | 286 | 00 | 0 | 311 | 02 | 02 | 337 | 69 | DP |
| 262 | 00 | 0 | 287 | 95 | = | 312 | 97 | DS2 | 338 | 02 | 02 |
| 263 | 00 | 0 | 288 | 85 | + | 313 | 00 | 00 | 339 | 69 | DP |
| 264 | 00 | 0 | 289 | 32 | X:T | 314 | 10 | E * | 340 | 05 | 05 |
| | | | | | | 315 | 43 | RCL | 341 | 91 | R/S |

— 4 —

Für den in Bild 2.19 dargestellten, einseitig eingespannten Träger mit Strecken- und Punktlast, sind Durchbiegung, Balkenneigung und Momentverteilung gesucht.

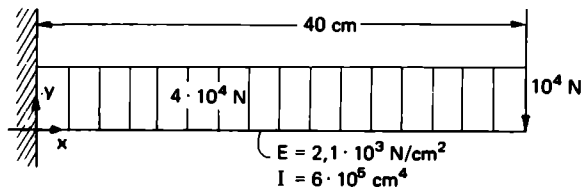


Bild 2.19

Einseitig eingespannter Träger
mit Strecken- und Punktlast

Die Eingabe erfolgt durch den Aufruf E:

| | |
|---------|--|
| 40. | Trägerlänge l (cm) |
| 2. | Schrittweite x (cm) |
| 10000. | Einzellast F (N) |
| 40000. | Streckenlast Q (N) |
| 2100. | E-Modul (N/cm ²) |
| 600000. | Axiales Widerstandsmoment (cm ³) |

Durchbiegung (Aufruf A):

| 2. | Stelle x (cm) | | |
|---------------|---------------------|---------------|---------------|
| -0.001852381 | Durchbiegung y (cm) | | |
| 4. | 14. | 24. | 34. |
| -0.0072042328 | -0.0764555556 | -0.1938285714 | -0.3347201058 |
| 6. | 16. | 26. | 36. |
| -0.0157571429 | -0.0969820106 | -0.2207730159 | -0.3641142857 |
| 8. | 18. | 28. | 38. |
| -0.0272253968 | -0.1191857143 | -0.2484740741 | -0.3936619048 |
| 10. | 20. | 30. | 40. |
| -0.0413359788 | -0.1428571429 | -0.2767857143 | -0.4232804233 |
| 12. | 22. | 32. | |
| -0.0578285714 | -0.1677994709 | -0.3055746032 | |

Neigung (Grad) (Aufruf B):

| 2. | Stelle x (cm) | | |
|---------------|-------------------|---------------|---------------|
| -0.1046481645 | Neigung y' (grad) | | |
| 4. | 14. | 24. | 34. |
| -0.2005655435 | -0.5619230524 | -0.7595783341 | -0.8390042295 |
| 6. | 16. | 26. | 36. |
| -0.2881159198 | -0.613095156 | -0.7834667332 | -0.8447034933 |
| 8. | 18. | 28. | 38. |
| -0.3676630762 | -0.6580824533 | -0.8029697395 | -0.8478562759 |
| 10. | 20. | 30. | 40. |
| -0.4395707952 | -0.6972502269 | -0.8185111354 | -0.8488263633 |
| 12. | 22. | 32. | |
| -0.5042028597 | -0.7309607596 | -0.8309443705 | |

Momentverlauf (Aufruf C):

| 2. | Stelle x (cm) | | | | |
|----------|----------------|---------|---------|---------|--------|
| 1102000. | Moment M (Ncm) | | | | 34. |
| | | | | | 78000. |
| 4. | 10. | 16. | 22. | 28. | 36. |
| 1008000. | 750000. | 528000. | 342000. | 192000. | 48000. |
| 6. | 12. | 18. | 24. | 30. | 38. |
| 918000. | 672000. | 462000. | 288000. | 150000. | 22000. |
| 8. | 14. | 20. | 26. | 32. | 40. |
| 832000. | 598000. | 400000. | 238000. | 112000. | 0. |

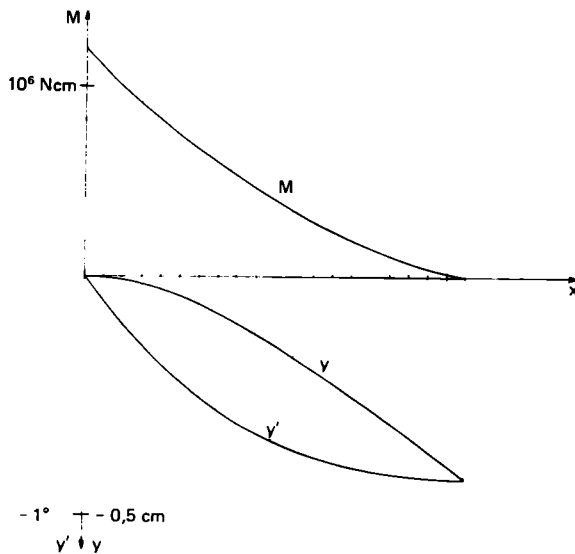


Bild 2.20
Durchbiegungs-, Neigungs-
und Momentenverlauf

2.2 Seiltheorie

Anders wie im vorausgegangenen Abschnitt, geht man bei der mathematischen Formulierung der Theorie gespannter Seile davon aus, daß diese keine Biegemomente übertragen können, mit anderen Worten also biegeschlaff sind. Daraus resultiert, daß Querkräfte nicht und Zugkräfte nur tangential zur Seilachse auftreten. Dies trifft in gleicher Weise auch auf Ketten zu.

2.2.1 Seil unter Eigenlast

Wir setzen ein Seil mit konstantem Querschnitt und homogener Massenverteilung voraus. Wir idealisieren das Seil weiterhin zu (unendlich) vielen und (unendlich) kleinen starren Stücken, die untereinander durch reibungslose Gelenke verbunden sind. Diese können nur Zugkräfte tangential zur Seilachse übertragen. Die Betrachtung eines solchen infinitesimalen Seilelements liefert nach Bild 2.21 folgenden Kraftansatz in vektorieller Schreibweise

$$(r + dr) \times (S + dS) + r \times (-S) + \left(r + \frac{dr}{2}\right) \times q dl = 0. \quad (2.2.1)$$

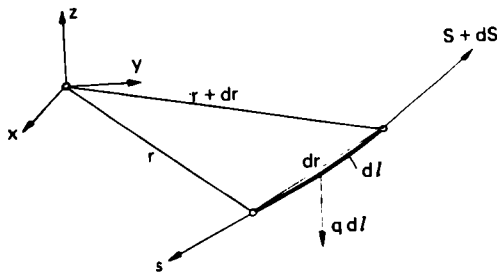


Bild 2.21
Seilelement

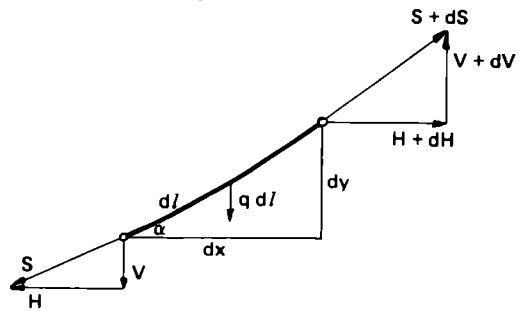
Da wir nachfolgend ausschließlich ebene Belastungszustände betrachten wollen, vereinfacht sich unser Ansatz zu der Betrachtung nach Bild 2.22 mit den Gleichungen

$$H = H + dH \quad (2.2.2)$$

und

$$V + q \, dl = V + dV. \quad (2.2.3)$$

Bild 2.22
Ebenes Seilelement



Die Seilkraft S zerlegt sich in die Komponenten H und V . Aus der Gleichgewichtsbedingung folgt sofort, daß

$$dH = 0. \quad (2.2.4)$$

Das heißt, der Horizontalzug H ist längs des Seiles konstant. Weiterhin ist

$$dV = q \, dl. \quad (2.2.5)$$

Das Neigungsverhalten des Seilelements an der Stelle (x, y) ergibt sich aus der Gleichung

$$\frac{dy}{dx} = \frac{V}{H}. \quad (2.2.6)$$

Das Verhalten längs des Seiles bestimmt damit die Differentialgleichung

$$\frac{d^2 y}{dx^2} = \frac{dV}{H} = \frac{q}{H} \, dl, \quad (2.2.7)$$

mit

$$dl = \sqrt{1 + \left(\frac{dy}{dx}\right)^2} \cdot dx, \quad (2.2.8)$$

folgt weiterhin

$$\frac{d^2 y}{dx^2} = \frac{q}{H} \sqrt{1 + \left(\frac{dy}{dx}\right)^2} \cdot dx. \quad (2.2.9)$$

2.2.2 Die Seilkurve als Variationsproblem

Die Differentialgleichung (2.2.9) läßt sich näherungsweise durch eine Differenzengleichung der Form

$$\Delta \tan \alpha = \frac{q}{H} \sqrt{1 + (\tan \alpha)^2} \cdot \Delta x \quad (2.2.10)$$

ersetzen. Sie ist die Grundgleichung unseres Berechnungsalgorithmus. Unter Vorgabe der Streckenlast q , des Horizontalzuges H und eines Wegelements Δx (je kleiner Δx , umso besser die Approximation an die tatsächliche Kurve), läßt sich die Neigungsänderung eines Seilelements gegenüber dem Nachbarelement bestimmen. Auf diese Weise erhalten wir iterativ die Bestimmung aller Seilelemente.

Den Berechnungsalgorithmus in Flußdiagrammform zeigt Bild 2.23. Unter Festlegung der Datenregister nach Tabelle 2.10 folgt unter Tabelle 2.11 das Programm.

Der Vorteil dieses Programms ist bei kleiner Schrittweite eine sehr genaue Annäherung an den tatsächlichen Seilverlauf und die Möglichkeit, auch komplexere Vorgänge wie unter 2.2.5–3– gezeigt, berechnen zu können.

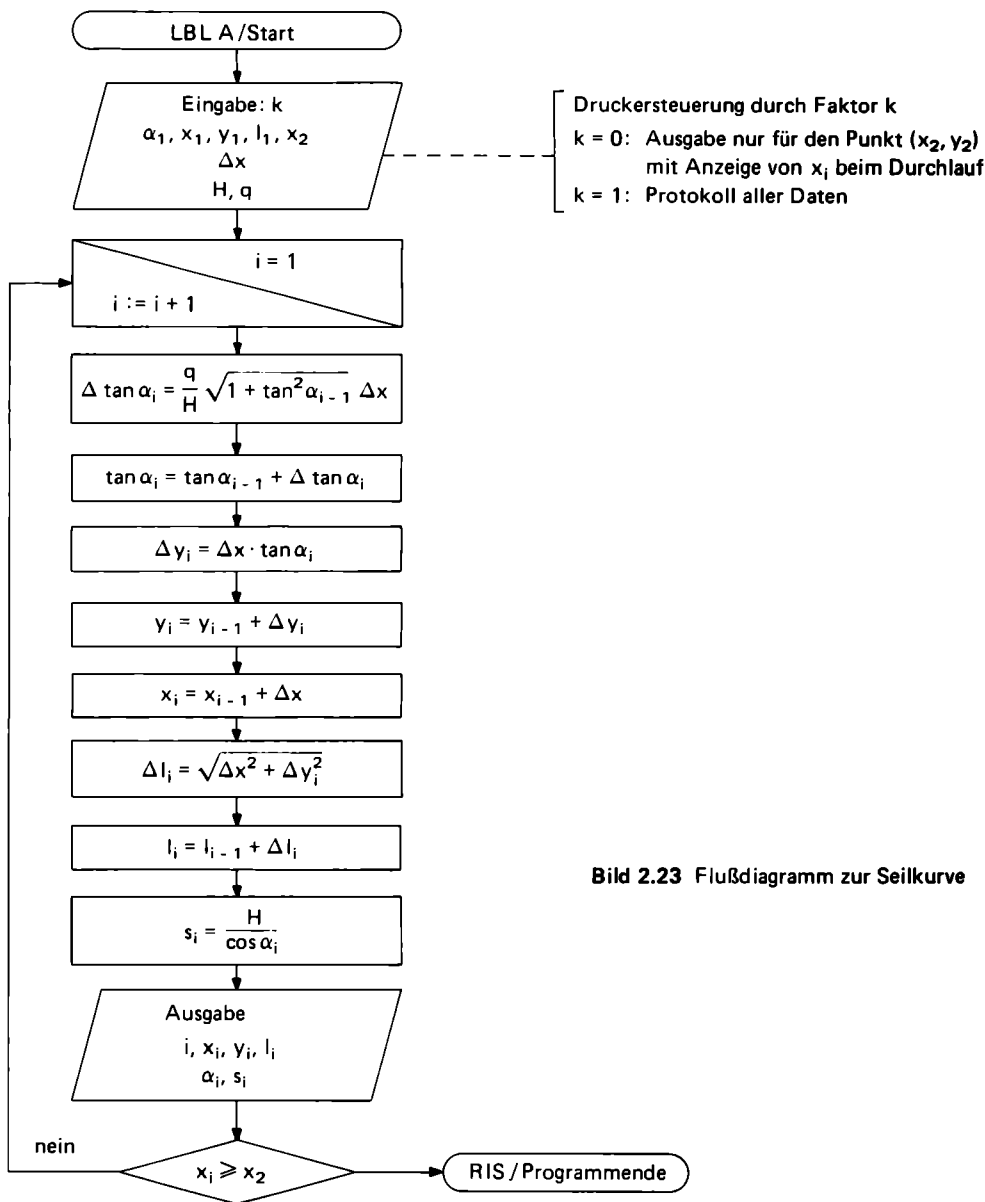


Bild 2.23 Flußdiagramm zur Seilkurve

Tabelle 2.10 Speicherplatzbelegung

| | | |
|--------------------|----------|---------------|
| 01 q | 04 l_i | 07 x_i |
| 02 H | 05 x_2 | 08 α_1 |
| 03 Δx | 06 y_i | 09 k |
| 10 $\tan \alpha_i$ | 11 i | |

Tabelle 2.11 Programm Seilkurve als Variationsproblem

| Eingabe | | | Zählererhöhung | | |
|----------------------------|-------------------|--|----------------------------|----------------------------|--|
| 000 76 LBL | 038 34 ΓX | | 073 01 1 | 109 10 10 | |
| 001 11 A | 039 65 \times | | 074 44 SUM | 110 22 INV | |
| 002 47 CMS | 040 43 RCL | | 075 11 11 | 111 30 TAN | |
| 003 09 9 | 041 03 03 | | | 112 39 COS | |
| 004 42 STD | 042 65 \times | | Abfrage + Rücksprung | 113 95 = | |
| 005 00 00 | 043 43 RCL | | 076 43 RCL | 114 99 PRT | |
| 006 91 R/S | 044 01 01 | | 077 05 05 | 115 98 ADV | |
| 007 99 PRT | 045 55 \div | | 078 32 $\times \uparrow T$ | 116 92 RTN | |
| 008 72 ST* | 046 43 RCL | | 079 43 RCL | | |
| 009 00 00 | 047 02 02 | | 080 07 07 | x-Anzeige bei k = 0 | |
| 010 97 DSZ | 048 95 = | | 081 22 INV | 117 76 LBL | |
| 011 00 00 | 049 44 SUM | | 082 77 GE | 118 61 GTD | |
| 012 00 00 | 050 10 10 | | 083 16 A' | 119 43 RCL | |
| 013 06 06 | | | 084 91 R/S | 120 05 05 | |
| 014 98 ADV | Höhenänderung | | | 121 32 $\times \uparrow T$ | |
| 015 43 RCL | 051 43 RCL | | SBR/Ausdruck | 122 43 RCL | |
| 016 08 08 | 052 10 10 | | 085 76 LBL | 123 07 07 | |
| 017 30 TAN | 053 65 \times | | 086 17 B' | 124 77 GE | |
| 018 42 STD | 054 43 RCL | | 087 87 IFF | 125 99 PRT | |
| 019 10 10 | 055 03 03 | | 088 01 01 | 126 43 RCL | |
| 020 01 1 | 056 95 = | | 089 61 GTD | 127 07 07 | |
| 021 42 STD | 057 44 SUM | | 090 99 PRT | 128 66 PAU | |
| 022 11 11 | 058 06 06 | | 091 43 RCL | 129 92 RTN | |
| 023 32 $\times \uparrow T$ | | | 092 07 07 | | |
| 024 43 RCL | Neue Seillänge | | 093 99 PRT | Ausdruck bei k = 0 | |
| 025 09 09 | 059 33 \times^2 | | 094 43 RCL | 130 76 LBL | |
| 026 67 EQ | 060 85 + | | 095 06 06 | 131 99 PRT | |
| 027 16 A' | 061 43 RCL | | 096 99 PRT | 132 22 INV | |
| 028 86 STF | 062 03 03 | | 097 43 RCL | 133 86 STF | |
| 029 01 01 | 063 44 SUM | | 098 10 10 | 134 01 01 | |
| Start/Berechnung | 064 07 07 | | 099 22 INV | 135 43 RCL | |
| 030 76 LBL | 065 33 \times^2 | | 100 30 TAN | 136 11 11 | |
| 031 16 A' | 066 95 = | | 101 99 PRT | 137 61 GTD | |
| Neigungsänderung | 067 34 ΓX | | 102 43 RCL | 138 17 B' | |
| 032 01 1 | 068 44 SUM | | 103 04 04 | | |
| 033 85 + | 069 04 04 | | 104 99 PRT | | |
| 034 43 RCL | Aufruf/Ausdruck | | 105 43 RCL | | |
| 035 10 10 | 070 43 RCL | | 106 02 02 | | |
| 036 33 \times^2 | 071 11 11 | | 107 55 - | | |
| 037 95 = | 072 17 B' | | 108 43 RCL | | |

Der Nachteil dieses Programms ist, daß es sich hier um ein Variationsproblem handelt, d. h. man muß mit mehreren Berechnungen, unter Variation von Anfangsneigungswinkel α_1 und Horizontalzug H , sich auf den zweiten Aufhängungspunkt 'einschießen'. Dies wird in 2.2.5–1 – anschaulich vorgeführt. Zu diesem Zweck ist auch die Kennziffer k im Programm vorhanden. Für $k = 0$ wird nur der letzte Programmdurchlauf, also die Daten für den 2. Aufhängungspunkt, ausgedruckt. Hat man sich dann 'eingeschossen', wird mit $k = 1$ der gesamte Seilverlauf mit der Schrittweite Δx protokolliert.

Es liegt nun nahe, die Lösung der Differentialgleichung oder eine Näherung dafür zu suchen, um die Startwerte des Iterationsvorganges besser bestimmen zu können.

2.2.3 Die exakte Lösung

Bringt man die Differentialgleichung (2.2.9) auf die Form

$$\frac{dy'}{\sqrt{1+y'^2}} = \frac{q}{H} dx, \quad (2.2.11)$$

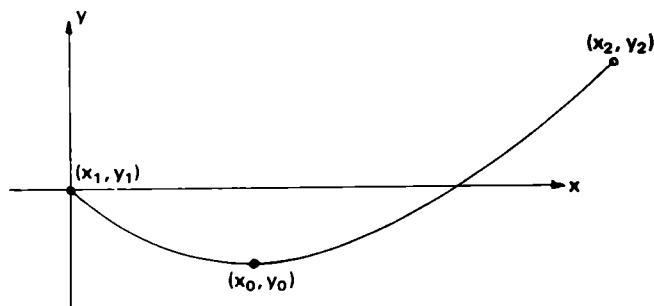
dann liefert eine erste Integration

$$\operatorname{arsinh} y' = \frac{q}{H} x + c_1. \quad (2.2.12)$$

Sei der tiefste Punkt der Seilcurve die Stelle (x_0, y_0) , nach Bild 2.24, dann bestimmt sich die Integrationskonstante c_1 aus der Randbedingung $y'(x_0) = 0$ zu

$$c_1 = -\frac{q}{H} x_0. \quad (2.2.13)$$

Bild 2.24
Seilcurve



Wir erhalten somit

$$y' = \sinh \left(\frac{q}{H} (x - x_0) \right). \quad (2.2.14)$$

Durch nochmalige Integration wird daraus

$$y = \frac{H}{q} \cosh \left(\frac{q}{H} (x - x_0) \right) + c_2. \quad (2.2.15)$$

Mit dem Koordinaten-Nullpunkt in (x_1, y_1) , Bild 2.24, bestimmt sich c_2 aus der Randbedingung $y(x_1) = 0$, zu

$$c_2 = \frac{H}{q} \cosh \left(\frac{q}{H} x_0 \right). \quad (2.2.16)$$

Die allgemeine Lösung lautet damit

$$y = \frac{H}{q} \left(\cosh \left(\frac{q}{H} (x - x_0) \right) - \cosh \left(\frac{q}{H} x_0 \right) \right). \quad (2.2.17)$$

Die Unbekannten x_0 und y_0 ergeben sich mittels Randbedingungen aus den Gleichungen

$$x_0 = \frac{x_2}{2} - \frac{H}{q} \operatorname{artanh} \left(\frac{y_2}{l} \right) \quad (2.2.18)$$

und

$$y_0 = -\frac{H}{q} \left(\cosh \left(\frac{q}{H} x_0 \right) - 1 \right). \quad (2.2.19)$$

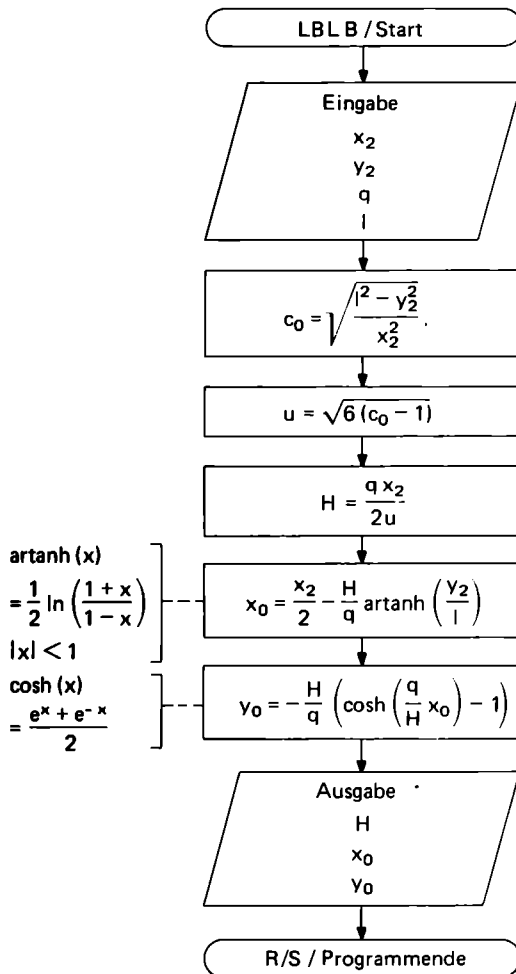


Tabelle 2.12
Speicherplatzbelegung

| | |
|----|--------------------|
| 01 | l |
| 02 | q |
| 03 | y ₂ |
| 04 | x ₂ |
| 05 | H |
| 06 | y ₂ /l |
| 07 | qx ₀ /H |

Bild 2.25
Flußdiagramm zur exakten Lösung

Sind also die Aufhängungspunkte, die Seillänge und das spezifische Gewicht des Seiles bekannt, können alle übrigen Werte ermittelt werden. Der Horizontalzug H ergibt sich aus der Gleichung

$$\frac{qx_2}{2H} \sqrt{\frac{l^2 - y_2^2}{x_2^2}} = \sinh\left(\frac{qx_2}{2H}\right). \quad (2.2.20)$$

Durch Kürzung auf die Form

$$uc_0 = \sinh(u) \quad (2.2.21)$$

mit $u = \frac{qx_2}{2H}$ und $c_0 = \sqrt{\frac{l^2 - y_2^2}{x_2^2}}$ erhalten wir die goniometrische Gleichung

$$uc_0 - \sinh(u) = 0, \quad (2.2.22)$$

deren Lösung nur graphisch oder durch eines der üblichen Näherungsverfahren, wie Newton-Cotes oder Regula falsi, bestimmt werden. Mit der Größe u ist dann auch der Horizontalzug H gegeben. Ein ausführliches Beispiel dazu ist 2.2.5–1–.

Tabelle 2.13 Exakte Lösung

| Eingabe | u: | | | | |
|------------------|------------------|------------|------------|--|--|
| 000 76 LBL | 026 34 FX | 054 06 06 | 085 55 ÷ | | |
| 001 12 B | 027 75 - | 055 85 + | 086 43 RCL | | |
| 002 47 CMS | 028 01 1 | 056 01 1 | 087 05 05 | | |
| 003 04 4 | 029 95 = | 057 95 = | 088 95 = | | |
| 004 42 STD | 030 65 x | 058 55 ÷ | 089 42 STD | | |
| 005 00 00 | 031 06 6 | 059 53 < | 090 07 07 | | |
| 006 91 R/S | 032 95 = | 060 01 1 | 091 22 INV | | |
| 007 99 PRT | 033 34 FX | 061 75 - | 092 23 LNX | | |
| 008 72 ST+ | | 062 43 RCL | 093 85 + | | |
| 009 00 00 | | 063 06 06 | 094 43 RCL | | |
| 010 97 DSZ | H: | 064 95 = | 095 07 07 | | |
| 011 00 00 | 034 35 1/X | 065 23 LNX | 096 94 +/- | | |
| 012 00 00 | 035 65 x | 066 65 x | 097 22 INV | | |
| 013 06 06 | 036 43 RCL | 067 43 RCL | 098 23 LNX | | |
| 014 98 ADV | 037 02 02 | 068 05 05 | 099 95 = | | |
| | 038 65 x | 069 55 ÷ | 100 55 ÷ | | |
| | 039 43 RCL | 070 43 RCL | 101 02 2 | | |
| c ₀ : | 040 04 04 | 071 02 02 | 102 95 = | | |
| 015 33 X² | 041 55 ÷ | 072 95 = | 103 75 - | | |
| 016 75 - | 042 02 2 | 073 94 +/- | 104 01 1 | | |
| 017 43 RCL | 043 95 = | 074 85 + | 105 95 = | | |
| 018 03 03 | 044 99 PRT | 075 43 RCL | 106 65 x | | |
| 019 33 X² | 045 42 STD | 076 04 04 | 107 43 RCL | | |
| 020 95 = | 046 05 05 | 077 95 = | 108 05 05 | | |
| 021 55 ÷ | | 078 55 ÷ | 109 55 ÷ | | |
| 022 43 RCL | x ₀ : | 079 02 2 | 110 43 RCL | | |
| 023 04 04 | 047 43 RCL | 080 95 = | 111 02 02 | | |
| 024 33 X² | 048 03 03 | 081 99 PRT | 112 95 = | | |
| 025 95 = | 049 55 ÷ | | 113 94 +/- | | |
| | 050 43 RCL | Yo: | 114 99 PRT | | |
| | 051 01 01 | 082 65 x | 115 98 ADV | | |
| | 052 95 = | 083 43 RCL | 116 98 ADV | | |
| | 053 42 STD | 084 02 02 | 117 91 R/S | | |

Die wichtigsten Gleichungen wollen wir wieder in einem Programm zusammenfassen. Die Benutzung eines Näherungsverfahrens wollen wir dadurch umgehen, daß wir für $\sinh(u)$ die ersten beiden Terme der Reihenentwicklung setzen. Wir erhalten so

$$uc_0 - \left(u + \frac{u^3}{6}\right) = 0. \quad (2.2.23)$$

Durch Ausklammern von u folgt

$$c_0 - 1 - \frac{u^2}{6} = 0. \quad (2.2.24)$$

Diese quadratische Gleichung ist lösbar nach der Formel

$$u = \sqrt{6(c_0 - 1)}, \quad (2.2.25)$$

dabei ist nur die positive Lösung real.

2.2.4 Straff gespanntes Seil unter vertikaler Einzellast

Wenn ein Seil straff gespannt verläuft, läßt sich nach Bild 2.26 annähernd

$$dl = \frac{dx}{\cos \alpha} \quad (2.2.26)$$

in die Gleichung (2.2.7) einsetzen

$$\frac{d^2 y}{dx^2} = \frac{q}{H \cos \alpha}. \quad (2.2.27)$$

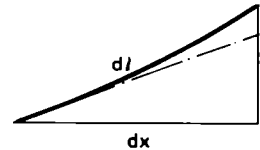


Bild 2.26 Element eines straffen Seiles

Eine zweifache Integration liefert

$$y = \frac{q}{2H \cos \alpha} x^2 + c_1 x + c_2. \quad (2.2.28)$$

Aus der Randbedingung $y(x=0) = 0$ folgt unmittelbar

$$c_2 = 0.$$

Mit der Randbedingung $y(x_2) = y_2$ folgt

$$y_2 = \frac{q}{2H \cos \alpha} x_2^2 + c_1 x_2,$$

also

$$c_1 = \frac{y_2}{x_2} - \frac{q}{2H \cos \alpha} x_2. \quad (2.2.29)$$

Wir erhalten anschließend

$$y = \frac{q}{2H \cos \alpha} (x^2 - x_2 x) + \frac{y_2}{x_2} x. \quad (2.2.30)$$

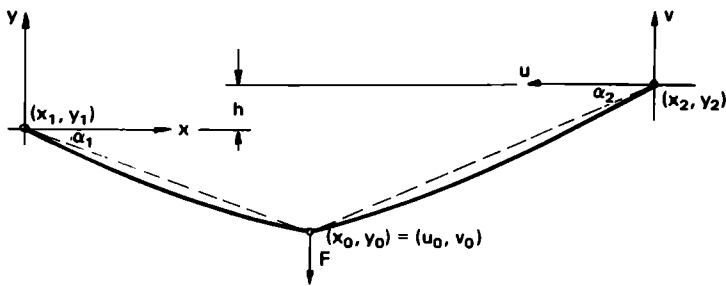


Bild 2.27 Straff gespanntes Seil unter Einzellast

Durch den Trick, in die beiden Aufhängungspunkte des Seiles, siehe Bild 2.27, jeweils einen Koordinaten-Ursprung zu legen, erhalten wir folgende Randbedingungen:

$$\begin{aligned} y(x=0) &= 0, \\ v(u=0) &= 0, \\ y(x=x_0) &= h + v(u=u_0). \end{aligned}$$

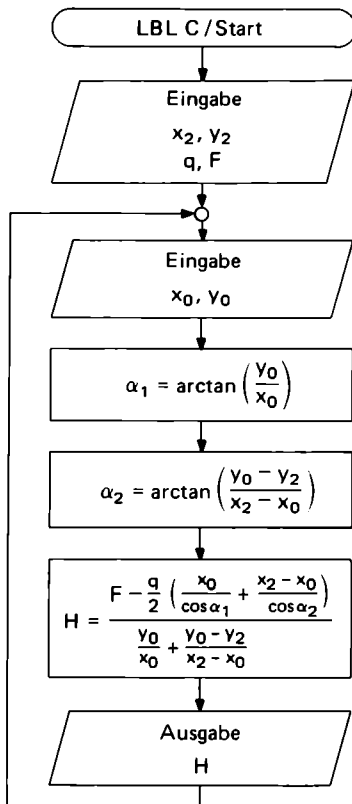


Tabelle 2.14

Speicherplatzbelegung

| | |
|----|----|
| 01 | F |
| 02 | q |
| 03 | y2 |
| 04 | x2 |
| 05 | y0 |
| 06 | x0 |
| 07 | α1 |
| 08 | α2 |

Bild 2.28

Flußdiagramm zum gespannten Seil

Die Seilcurve ergibt sich für das jeweilige Koordinatensystem nach Gleichung (2.2.30) zu

$$y(x) = \frac{q}{2H \cos \alpha_1} (x^2 - x_0 x) + \frac{y_0}{x_0} x \quad (2.2.31)$$

$$v(u) = \frac{q}{2H \cos \alpha_2} (u^2 - u_0 u) + \frac{v_0}{u_0} u. \quad (2.2.32)$$

Aus einer Gleichgewichtsbedingung für annähernd ‚horizontalen‘ Seilverlauf folgt

$$F = Hy'(x_0) + Hv'(u_0). \quad (2.2.33)$$

Durch Einsetzen der Ableitung von (2.2.31) und (2.2.32) für $x_0 = u_0$, erhalten wir daraus die Gebrauchsformel

$$H = \frac{F - \frac{q}{2} \frac{x_0}{\cos \alpha_1} + \frac{(x_2 - x_0)}{\cos \alpha_2}}{\frac{y_0}{x_0} + \frac{y_0 - y_2}{x_2 - x_0}}. \quad (2.2.34)$$

Mit Hilfe dieser Formel läßt sich der Horizontalzug näherungsweise vorbestimmen. Sie bildet den Abschluß der Berechnungsprogramme für das Themengebiet Seiltheorie.

Tabelle 2.15 Programm gespanntes Seil

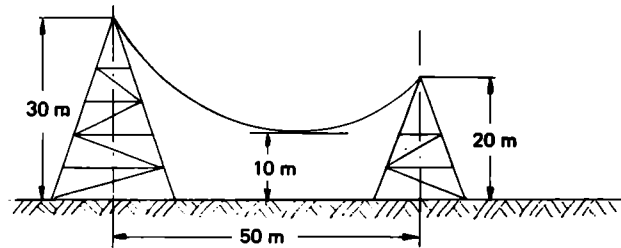
| Eingabe/Start | | | α_1 | | H: | | | |
|---------------------|----|-----|------------|----|-----|-----|----|-----|
| 000 | 76 | LBL | 026 | 55 | + | 052 | 43 | RCL |
| 001 | 13 | C | 027 | 43 | RCL | 053 | 06 | 06 |
| 002 | 47 | CMS | 028 | 06 | 06 | 054 | 55 | + |
| 003 | 04 | 4 | 029 | 95 | = | 055 | 43 | RCL |
| 004 | 42 | STD | 030 | 22 | INV | 056 | 07 | 07 |
| 005 | 00 | 00 | 031 | 30 | TRN | 057 | 39 | CDS |
| 006 | 91 | R/S | 032 | 42 | STD | 058 | 85 | + |
| 007 | 99 | PRT | 033 | 07 | 07 | 059 | 53 | (|
| 008 | 72 | ST* | | | | 060 | 43 | RCL |
| 009 | 00 | 00 | α_2 | | | 061 | 04 | 04 |
| 010 | 97 | DSZ | 034 | 43 | RCL | 062 | 75 | - |
| 011 | 00 | 00 | 035 | 05 | 05 | 063 | 43 | RCL |
| 012 | 00 | 00 | 036 | 75 | - | 064 | 06 | 06 |
| 013 | 06 | 06 | 037 | 43 | RCL | 065 | 54 |) |
| 014 | 98 | ADV | 038 | 03 | 03 | 066 | 55 | + |
| Eingabe/ x_0, y_0 | | | 039 | 95 | = | 067 | 43 | RCL |
| | | | 040 | 55 | + | 068 | 08 | 08 |
| 015 | 76 | LBL | 041 | 53 | (| 069 | 39 | CDS |
| 016 | 43 | RCL | 042 | 43 | RCL | 070 | 95 | = |
| 017 | 98 | ADV | 043 | 04 | 04 | 071 | 65 | x |
| 018 | 91 | R/S | 044 | 75 | - | 072 | 43 | RCL |
| 019 | 99 | PRT | 045 | 43 | RCL | 073 | 02 | 02 |
| 020 | 42 | STD | 046 | 06 | 06 | 074 | 55 | + |
| 021 | 06 | 06 | 047 | 95 | = | 075 | 02 | 2 |
| 022 | 91 | R/S | 048 | 22 | INV | 076 | 94 | +/- |
| 023 | 99 | PRT | 049 | 30 | TRN | 077 | 85 | + |
| 024 | 42 | STD | 050 | 42 | STD | 078 | 43 | RCL |
| 025 | 05 | 05 | 051 | 08 | 08 | 079 | 01 | 01 |
| | | | | | | 080 | 95 | = |
| | | | | | | 081 | 55 | + |
| | | | | | | 082 | 53 | (|
| | | | | | | 083 | 43 | RCL |
| | | | | | | 084 | 05 | 05 |
| | | | | | | 085 | 55 | + |
| | | | | | | 086 | 43 | RCL |
| | | | | | | 087 | 06 | 06 |
| | | | | | | 088 | 85 | + |
| | | | | | | 089 | 53 | (|
| | | | | | | 090 | 43 | RCL |
| | | | | | | 091 | 05 | 05 |
| | | | | | | 092 | 75 | - |
| | | | | | | 093 | 43 | RCL |
| | | | | | | 094 | 03 | 03 |
| | | | | | | 095 | 54 |) |
| | | | | | | 096 | 55 | + |
| | | | | | | 097 | 53 | (|
| | | | | | | 098 | 43 | RCL |
| | | | | | | 099 | 04 | 04 |
| | | | | | | 100 | 75 | - |
| | | | | | | 101 | 43 | RCL |
| | | | | | | 102 | 06 | 06 |
| | | | | | | 103 | 54 |) |
| | | | | | | 104 | 54 |) |
| | | | | | | 105 | 95 | = |
| | | | | | | 106 | 99 | PRT |
| | | | | | | 107 | 61 | GTO |
| | | | | | | 108 | 43 | RCL |

2.2.5 Anwendungsbeispiele

– 1 –

Zwischen zwei im Abstand von 50 m stehenden Masten der Höhen 30 m und 20 m, soll eine Leitung mit dem spezifischen Gewicht von 50 N/m eine lichte Höhe von 10 m nicht unterschreiten. Siehe Bild 2.29.

Bild 2.29
Hochleitung



Die Wahl der richtigen Seillänge ergibt alle weiteren Startdaten. Bei einer Seillänge von $l = 60$ m ergibt Programm B die gewünschten Werte:

Eingabe: 50. = x_2
-10. = y_2
50. = q
60. = l

Ausgabe: 1190.209946 = H
29.03145547 = x_0
-19.9068824 = y_0

Mit diesen Startwerten berechnet Programm A iterativ die Seilkurve. Ein Problem bleibt die Bestimmung des Startwinkels α_1 . Seine Variation liefert einen Winkel von $\alpha_1 = -57.8^\circ$.

Nachfolgend lediglich der Ausdruck für die richtige Kurve. Sie ergab sich nach 9 Ansätzen. Dabei wurden die ersten Berechnungen mit einer größeren Schrittweite durchgeführt.

Eingabe: 1. = k
-57.8 = α_1
0. = x_1
30. = y_1
50. = x_2
0. = l_1
1. = Δx
1200. = H
50. = q

3.
3.
25.69442167
-53.70273669
5.248694579
2027.113715

Ausgabe: 1. = i = 50. 4.
1. = x_i = 50. 4.
28.49021896 = y_i = 19.76283117 24.40333624
-56.48159163 = α_i = 43.60841803 -52.24071092
1.810922084 = l_i = 60.47744182 6.881759673
2173.106501 = S_i = 1657.297107 1959.678112

2. 5.
2. 5.
27.055893 23.18029518
-55.11611548 -50.72939833
3.55943315 8.4615791
2098.213279 1895.783313

| | | | | |
|--------------|--------------|--------------|-------------|-------------|
| 6. | 15. | 24. | 33. | 42. |
| 22.02307994 | 14.26022686 | 10.56387495 | 10.37294698 | 13.63212897 |
| -49.16827807 | -32.8697386 | -13.05633263 | 8.307624335 | 28.43960497 |
| 9.991006159 | 21.91703203 | 31.69558613 | 40.74983278 | 50.37018733 |
| 1835.31247 | 1428.730237 | 1231.845138 | 1212.725651 | 1364.691528 |
| 7. | 16. | 25. | 34. | 43. |
| 20.92959082 | 13.66365548 | 10.37474333 | 10.56107564 | 14.22110573 |
| -47.55696358 | -30.81909258 | -10.7099385 | 10.65444741 | 30.49709664 |
| 11.47280184 | 23.08146211 | 32.71331437 | 41.76737511 | 51.53074479 |
| 1778.154822 | 1397.316093 | 1221.273888 | 1221.050795 | 1392.668957 |
| 8. | 17. | 26. | 35. | 44. |
| 19.89784319 | 13.11560203 | 10.22801705 | 10.7916019 | 14.85843906 |
| -45.89521812 | -28.72509661 | -8.347235039 | 12.98139845 | 32.51071987 |
| 12.90963975 | 24.22179653 | 33.72402135 | 42.79360235 | 52.7165752 |
| 1724.205491 | 1368.401304 | 1212.848377 | 1231.472691 | 1422.996494 |
| 9. | 18. | 27. | 36. | 45. |
| 18.9259638 | 12.61506251 | 10.12340357 | 11.06488762 | 15.54518198 |
| -44.18297067 | -26.58977562 | -5.972187936 | 15.28489613 | 34.47905748 |
| 14.30411081 | 25.3400719 | 34.72947845 | 43.83027255 | 53.92967695 |
| 1673.365273 | 1341.930448 | 1206.548521 | 1244.00423 | 1455.722094 |
| 10. | 19. | 28. | 37. | 46. |
| 18.01218738 | 12.1611178 | 10.06068413 | 11.38136793 | 16.28247081 |
| -42.42033173 | -24.41543219 | -3.588858269 | 17.56155414 | 36.40093709 |
| 15.65872786 | 26.43828218 | 35.73144339 | 44.87915757 | 55.17209186 |
| 1625.540461 | 1317.852327 | 1202.35792 | 1258.662026 | 1490.897897 |
| 11. | 20. | 29. | 38. | 47. |
| 17.15485333 | 11.75293184 | 10.03971323 | 11.74155179 | 17.07152693 |
| -40.60760895 | -22.20459273 | -1.201368035 | 19.80820141 | 38.27542158 |
| 16.97593008 | 27.51838207 | 36.73166325 | 45.94204628 | 56.44590879 |
| 1580.642655 | 1296.119867 | 1200.263838 | 1275.466452 | 1528.58031 |
| 12. | 21. | 30. | 39. | 48. |
| 16.35240271 | 11.38975005 | 10.06041815 | 12.14602268 | 17.91365876 |
| -38.74532201 | -19.96009976 | 1.186135432 | 22.02189856 | 40.10179793 |
| 18.25808724 | 28.58229043 | 37.73187758 | 47.02074767 | 57.75326719 |
| 1538.588601 | 1276.69004 | 1200.257189 | 1294.441673 | 1568.83009 |
| 13. | 22. | 31. | 40. | 49. |
| 15.6033753 | 11.07089778 | 10.12279868 | 12.59543945 | 18.81026385 |
| -36.83421669 | -17.68500024 | 3.569515457 | 24.19995032 | 41.87956463 |
| 19.50750393 | 29.63189358 | 38.73382135 | 48.11709408 | 59.0963609 |
| 1499.300024 | 1259.52378 | 1202.332531 | 1315.615686 | 1611.712441 |
| 14. | 23. | 32. | 41. | 50. |
| 14.90640692 | 10.79577897 | 10.22692686 | 13.09053733 | 19.76283117 |
| -34.8752775 | -15.38257974 | 5.944681635 | 26.33991414 | 43.60841803 |
| 20.7264235 | 30.66904852 | 39.73922807 | 49.23294439 | 60.47744182 |
| 1462.703485 | 1244.585922 | 1206.488067 | 1339.020369 | 1657.297107 |

Für das ‚Einschießen‘ auf den zweiten Aufhängungspunkt wird die Kennziffer $k = 0$ eingesetzt. Es erfolgt nur der Ausdruck der letzten Berechnung. Bild 2.30 gibt die ersten 4 Versuche wieder. Die ersten 3 wurden mit der Schrittweite 5 und der letzte mit 1 durchgeführt. Die richtige Kurve mit ausreichender Genauigkeit zeigt Bild 2.31.

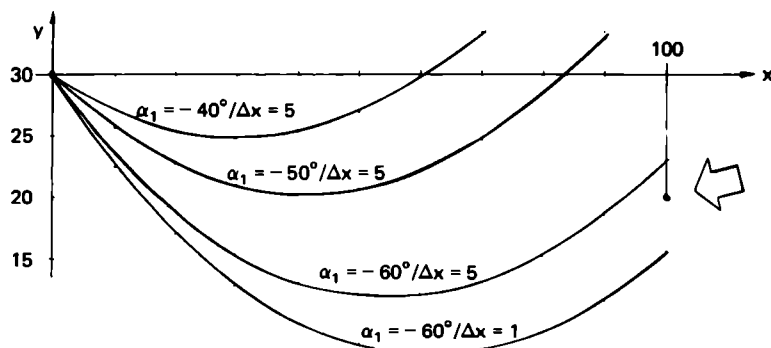
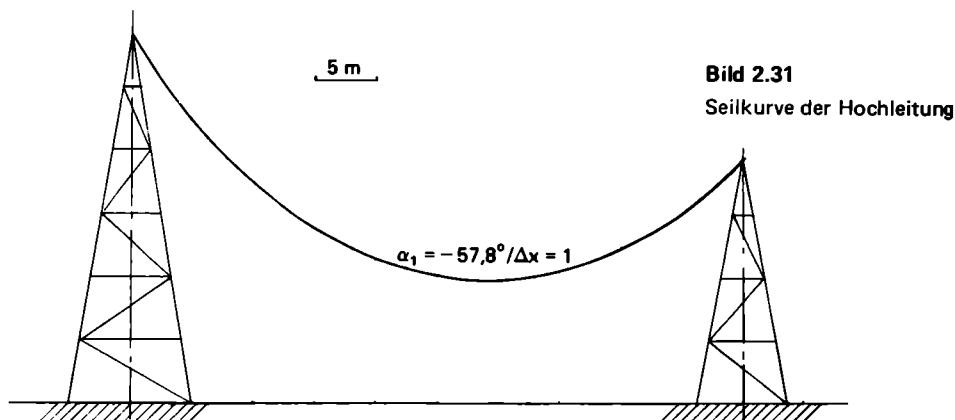


Bild 2.30 ‚Einschießen‘ auf den zweiten Aufhängungspunkt

| | | | |
|-------------|-------------|-------------|-------------|
| 0. | 0. | 0. | 0. |
| -40. | -50. | -60. | -60. |
| 0. | 0. | 0. | 0. |
| 30. | 30. | 30. | 30. |
| 50. | 50. | 50. | 50. |
| 0. | 0. | 0. | 0. |
| 5. | 5. | 5. | 1. |
| 1200. | 1200. | 1200. | 1200. |
| 50. | 50. | 50. | 50. |
| 10. | 10. | 10. | 50. |
| 50. | 50. | 50. | 50. |
| 53.62141671 | 39.87242548 | 23.15529782 | 15.29375478 |
| 59.1018505 | 52.31124191 | 42.25734918 | 40.54601101 |
| 63.45221354 | 60.06676346 | 60.13045632 | 61.41650058 |
| 2336.841991 | 1962.799121 | 1621.332677 | 1579.188017 |



Auf einer Länge von 1000 m soll eine Seilbahn einen Höhenunterschied von 300 m überwinden. Die Last beträgt 20 kN und das spezifische Tragseilgewicht ist 100 N/m. Wir wollen für diese Seilbahn einen maximalen Durchhang von 50 m zulassen. Damit können wir iterativ für jeden Punkt einer Parallelen im Abstand 50 m zur Steigung

$$y = \frac{300}{1000} x - 50 = 0.3x - 50$$

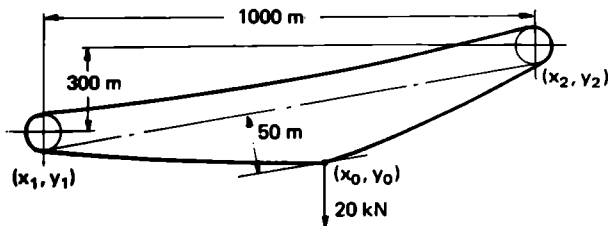


Bild 2.32
Seilbahn

Seilkräfte und Seillänge bestimmen. Doch zunächst errechnen wir den notwendigen Horizontalzug für äquivalente Stellen auf der Parallelen mittels Programm C.

| | | | | | |
|----------|-------------|------------------|-------------|------------|-------------|
| Eingabe: | 1000. | = x ₂ | 400. | 500. | 600. |
| | 300. | = y ₂ | 70. | 100. | 130. |
| | 100. | = q | 155676.4232 | 162104.608 | 155651.5429 |
| | 20000. | = l | | | |
| Ausgabe: | 350. | = x ₀ | 450. | 550. | 650. |
| | 55. | = y ₀ | 85. | 115. | 145. |
| | 147632.7738 | = H | 160500.4942 | 160488.418 | 147593.484 |

Wie zu erwarten war, erhalten wir für die Koordinaten (500, 100) den größten Horizontalzug. Da hier für das Seil auch der größte Durchhang zu erwarten ist, wollen wir für mittigen Lastangriff die Seilkurve ermitteln. Die direkten Winkel betragen $\alpha_1 = 11.3^\circ$ und $\alpha_2 = -21.8^\circ$. Wenn wir diese etwas neigen, bekommen wir gute Startwerte. 10 Versuche ergaben dann folgende Daten:

Linke Kurvenhälfte:

| | | | | | |
|----------|-------------|------------------|-------------|-------------|-------------|
| Eingabe: | 1. | = k | 2. | 4. | 6. |
| | 2. | = α_1 | 40. | 80. | 120. |
| | 0. | = x ₁ | 2.207626817 | 5.404168669 | 9.591420511 |
| | 0. | = y ₁ | 3.511663764 | 4.920983102 | 6.327112255 |
| | 500. | = x ₂ | 40.06163333 | 80.18591152 | 120.4092339 |
| | 0. | = l | 162408.9472 | 162703.7345 | 163097.4399 |
| | 20. | = Δx | | | |
| | 162104. | = H | | | |
| | 100. | = q | | | |
| Ausgabe: | 1. | = i | 3.682185284 | 7.37382014 | 12.05728827 |
| | 20. | = x _i | 4.216669551 | 5.624498951 | 7.028718872 |
| | 0.980287711 | = y _i | 60.11591773 | 100.2866657 | 140.5606731 |
| | 2.806071754 | = α_i | 162543.9859 | 162888.2116 | 163331.4454 |
| | 20.02400969 | = l _i | | | |
| | 162298.6033 | = S _i | | | |

| | | | |
|---|---|---|---|
| 8. 160. 14.77177961 7.729215436 160.7440441 163590.2583 | 12. 240. 28.12442777 10.51806507 241.8582144 164874.3171 | 16. 320. 45.49339198 13.28113502 323.729428 166558.6844 | 21. 420. 72.91598446 16.68947164 427.4359057 169232.8876 |
| 9. 180. 17.73528852 8.42849943 180.9624116 163873.9124 | 13. 260. 32.08870372 11.21149311 262.2473165 165257.7502 | 17. 340. 50.46777519 13.96715283 344.3387581 167042.7425 | 22. 440. 79.16987314 17.3641732 448.3908842 169844.2917 |
| 10. 200. 20.94824676 9.126469259 201.2188452 164182.4453 | 14. 280. 36.30453548 11.9032112 282.6868184 165666.2507 | 18. 360. 55.69643133 14.65108498 365.0109338 167552.1179 | 23. 460. 85.68229929 18.03635315 469.4244691 170481.4124 |
| 11. 220. 24.41112398 9.82302432 221.5164194 164515.8985 | 15. 300. 40.77254488 12.59312338 303.1798198 166099.8753 | 19. 380. 61.18013578 15.33284112 385.7490874 168086.8825 | 24. 480. 92.45423272 18.70592929 490.5398446 171144.3415 |
| | | 20. 400. 66.91970257 16.01233242 406.5563608 168647.1125 | 25. 500. 99.48668256 19.37282115 511.7402066 171833.1744 |

Rechte Kurvenhälfte:

Eingabe:

| | | | |
|-------------------|-------------|-------------|-------------|
| 1. = k | 2. | 4. | 6. |
| 210. = α_1 | 960. | 920. | 880. |
| 1000. = x_1 | | | |
| 300. = y_1 | | | |
| 500. = x_2 | | | |
| 99.48668255 = l | 277.7590329 | 256.6440656 | 236.6420322 |
| -20. = Δx | 28.76434269 | 27.51403013 | 26.24949603 |
| 162104. = H | 145.2548142 | 190.4864744 | 235.2094279 |
| 100. = q | 184922.2343 | 182776.4275 | 180742.807 |

Ausgabe:

| | | | |
|--------------------------|-------------|-------------|-------------|
| 1. = i | 3. | 5. | 7. |
| 980. = x_i | 940. | 900. | 860. |
| 288.7379229 = y_i | 267.061632 | 246.504722 | 227.0544696 |
| 29.38402909 = α_i | 28.14099197 | 26.88351239 | 25.61204032 |
| 122.4395556 = l_i | 167.9359603 | 212.9098169 | 257.3887281 |
| 186037.6264 = S_i | 183835.225 | 181745.6756 | 179767.6639 |

8.
840.
217.7405498
24.97120658
279.4511192
178820.0924

12.
760.
183.1930762
22.37538751
366.5989924
175302.5947

16.
680.
152.9159582
19.73094049
452.1438759
172215.0245

21.
580.
120.9611467
16.36444285
557.1399057
168948.2617

9.
820.
208.6988305
24.32705813
301.3999845
177899.943

13.
740.
175.2265663
21.71865306
388.1272361
174490.7214

17.
660.
146.0048804
19.06278947
473.3042869
171509.3637

22.
560.
115.3454846
15.6838447
577.9133422
168372.8569

10.
800.
199.927911
23.67966028
323.2386893
177007.0704

14.
720.
167.5256666
21.05895008
409.5586116
173705.5845

18.
640.
139.3548747
18.39198106
494.3808753
170829.9639

23.
540.
109.9861201
15.00101738
598.6189643
167823.2085

11.
780.
191.4264322
23.02908032
344.9705816
176141.3334

15.
700.
160.0891822
20.3963536
430.8964021
172947.0592

19.
620.
132.9649068
17.71859753
515.3768675
170176.7162

24.
520.
104.8822166
14.31605135
619.2599388
167299.2271

20.
600.
126.8339824
17.0427229
536.2954772
169549.5158

25.
500.
100.0329764
13.62903854
639.8394221
166800.8275

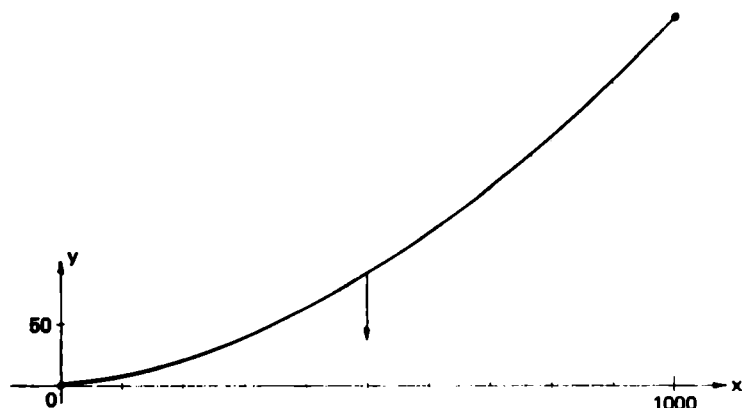


Bild 2.33
Seilkurve der Seilbahn

Die ermittelte Seilkurve zeigt Bild 2.33. Eine Betrachtung der Stelle, an der die Kraft angreift zeigt uns jedoch, daß diese Berechnung nur eine grobe Näherung ist. An dieser Stelle ergibt sich das in Bild 2.34 dargestellte Kräfteverhältnis. Nach der Gleichgewichtsbedingung können die an der Lastangriffsstelle vorhandenen Seilkräfte S und S' , mit ihren vertikalen Komponenten V und V' , nämlich nur eine etwas geringere Vertikallast V' tragen. Es ist

$$V = S \sin(19.4) = 56999.4 \text{ N}$$

$$V' = S' \sin(13.6) = 39304.0 \text{ N}$$

und damit

$$L' = 17695.4 \text{ N} < L = 20000 \text{ N}$$

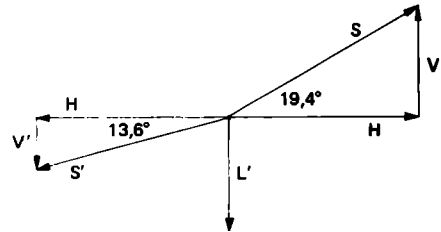


Bild 2.34 Kräfte am Lastangriffspunkt

– 3 –

Dieses Beispiel soll Ihnen einen Einblick geben, welche komplexen Probleme sich mit dem aufgestellten Programm bewältigen lassen.

Dazu betrachten wir eine Seilanordnung mit schief angreifender Einzellast und unterschiedlichen Streckenlasten. Ein rechnerischer Ansatz ist nicht möglich. Unter Annahme des Horizontalzuges und des Anfangswinkels ergeben sich die ersten 10 m linearen Abstand, wie in Bild 2.34 dargestellt. Über diese Entfernung soll lediglich das spezifische Seilgewicht wirken.

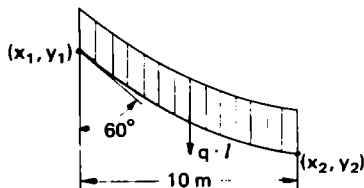


Bild 2.34 1. Seilstück

| | | | | |
|----------|---------------------------|--------------|--------------|--------------|
| Eingabe: | 1. = k | 2. | 5. | 8. |
| | -60. = α_1 | 2. | 5. | 8. |
| | 0. = x_1 | 46.83160092 | 42.75750461 | 39.41299024 |
| | 50. = y_1 | -56.94013513 | -51.83920199 | -46.09616287 |
| | 10. = x_2 | 3.747180753 | 8.80819844 | 13.30279154 |
| | 0. = l_1 | 1833.130117 | 1618.461952 | 1442.064866 |
| | 1. = Δx | | | |
| | 1000. = H | | | |
| | 50. = q | | | |
| | | 3. | 6. | 9. |
| | | 3. | 6. | 9. |
| | | 45.38690915 | 41.56586372 | 38.44607901 |
| | | -55.30943725 | -49.99733171 | -44.03622086 |
| Ausgabe: | 1. = i | 5.50420503 | 10.36383593 | 14.6938046 |
| | 1. = x_i | 1757.024277 | 1555.63749 | 1391.013058 |
| | 48.36794919 = y_i | | | |
| | -58.50311437 = α_i | | | |
| | 1.914050636 = l_i | | | |
| | 1914.050636 = S_i | | | |
| | | 4. | 7. | 10. |
| | | 4. | 7. | 10. |
| | | 44.03006859 | 40.45200471 | 37.54871843 |
| | | -53.60955245 | -48.08314928 | -41.90355151 |
| | | 7.189736488 | 11.86072667 | 16.03740275 |
| | | 1685.531458 | 1496.890743 | 1343.598157 |

Soll dort nun eine Kraft mit einem horizontalen Anteil von $F_H = 300 \text{ N}$ und einem vertikalen Anteil $F_V = 400 \text{ N}$ angreifen, so ergibt sich aus der Gleichgewichtsbedingung der Kräfte

$$V = S \sin \alpha_1 = 897.4 \text{ N}$$

$$H' = H + F_H = 1300 \text{ N}$$

$$V' = V - F_V = 197.4 \text{ N}$$

$$\alpha_2 = \arctan \frac{V'}{H'} = 8.63^\circ$$

Damit haben wir den Ausgangswinkel für den weiteren Seilverlauf. Nach weiteren 10 m linearen Abstand wollen wir die Streckenlast ändern.

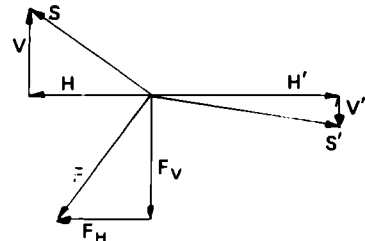


Bild 2.35 Kräfteverhältnisse

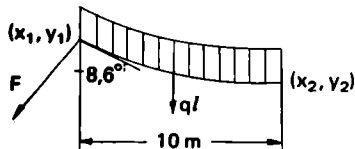


Bild 2.36 2. Seilstück

| | | | | |
|----------|---------------------------|--------------|-------------|-------------|
| Eingabe: | 1. = k | 2. | 5. | 8. |
| | -8.692489383 = α_1 | 12. | 15. | 18. |
| | 10. = x_1 | 37.36159721 | 37.37010978 | 37.72541245 |
| | 37.54871843 = y_1 | -4.244005717 | 2.365389514 | 8.929064702 |
| | 20. = x_2 | 18.04650691 | 21.04799865 | 24.07042833 |
| | 16.03740275 = l_1 | 1303.574489 | 1301.108618 | 1315.94763 |
| | 1. = Δx | | | |
| | 1300. = H | 3. | 6. | 9. |
| | 50. = q | 13. | 16. | 19. |
| | | 37.32595686 | 37.44991142 | 37.92146139 |
| Ausgabe: | 1. = i | -2.041177513 | 4.562628336 | 11.09209574 |
| | 11. = x_i | 19.04714182 | 22.05111775 | 25.08946473 |
| | 37.43580485 = y_i | 1300.82539 | 1304.132827 | 1324.747321 |
| | -6.44218611 = α_i | | | |
| | 17.0437573 = l_i | 4. | 7. | 10. |
| | 1308.260913 = S_i | 14. | 17. | 20. |
| | | 37.32880247 | 37.56829687 | 38.15670403 |
| | | 1630410618 | 6.75156261 | 13.23772549 |
| | | 20.04714587 | 23.05816093 | 26.11676172 |
| | | 1300.005263 | 1309.078128 | 1335.486085 |

Betrachten wir nun einen Ansatz für eine Streckenlaständerung. Für ein Seilelement mit veränderter Streckenlast ist nach Bild 2.37

$$H = H'$$

$$V + q' \Delta l = V'$$

Das heißt, wir können mit den zuletzt berechneten Daten weiterrechnen und müssen nur die Streckenlast q in q' ändern. Dies soll für weitere 10 m linearen Abstand gelten.

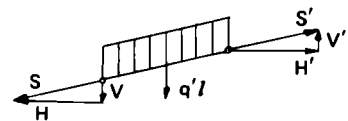


Bild 2.37 Streckenlaständerung am Seilelement

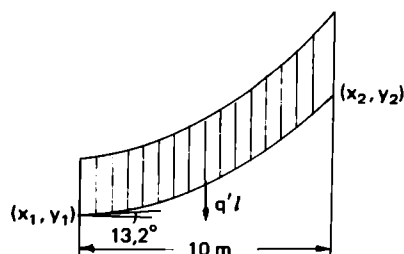


Bild 2.38 3. Seilstück

| | | | | |
|----------|--------------------------|-------------|-------------|-------------|
| Eingabe: | 1. = k | 2. = k | 5. = k | 8. = k |
| | 13.23772549 = α_1 | 22. = 22. | 25. = 25. | 28. = 28. |
| | 20. = x_1 | 39.10859738 | 41.90455981 | 46.82452124 |
| | 38.15670403 = y_1 | 29.18794439 | 48.62791926 | 62.52374956 |
| | 30. = x_2 | 28.33676305 | 32.45341899 | 38.22682475 |
| | 26.11676172 = l_1 | 1489.075839 | 1966.876974 | 2817.628555 |
| | 1. = Δx | | | |
| | 1300. = H | | | |
| | 200. = q | | | |
| Ausgabe: | 1. = i | 3. = i | 6. = i | 9. = i |
| | 21. = x_i | 23. = 23. | 26. = 26. | 29. = 29. |
| | 38.54999237 = y_i | 39.84342438 | 43.27271849 | 49.0808962 |
| | 21.46913559 = α_i | 36.30945049 | 53.83658079 | 66.09761756 |
| | 27.1913201 = l_i | 29.57771862 | 34.14807476 | 40.69486607 |
| | 1396.925896 = S_i | 1613.24224 | 2203.052505 | 3208.453713 |
| | | 4. = 4. | 7. = 7. | 10. = 10. |
| | | 24. = 24. | 27. = 27. | 30. = 30. |
| | | 40.76916763 | 44.90159345 | 51.71696982 |
| | | 42.79176592 | 58.45337613 | 69.22565508 |
| | | 30.9404367 | 36.05941817 | 43.51424262 |
| | | 1771.533499 | 2484.746433 | 3665.189516 |

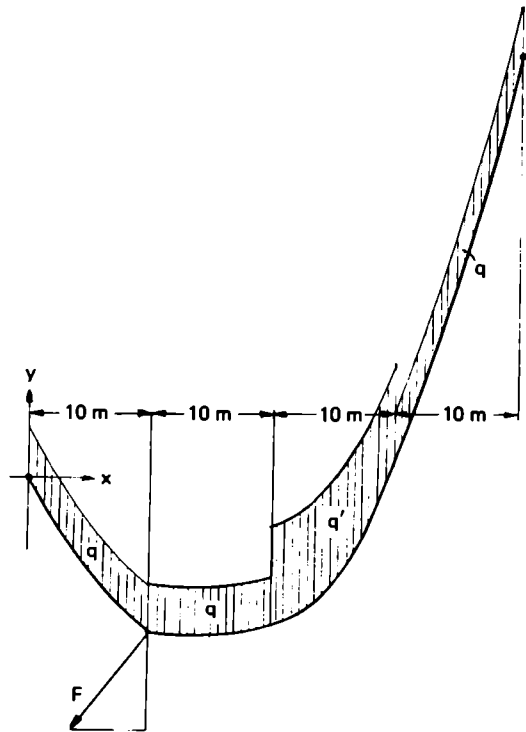
Abschließend sollen noch weitere 10 m linearer Abstand mit dem spezifischen Seilgewicht $q = 50 \text{ N/m}$ folgen.

Den so ermittelten Seilverlauf zeigt Bild 2.39.

| | | | | |
|----------|---------------|-------------|-------------|-------------|
| Eingabe: | 1. = k | 2. = k | 5. = k | 8. = k |
| | 69.22565508 | 32. = 32. | 35. = 35. | 38. = 38. |
| | 30. = 30. | 57.318339 | 66.6045225 | 77.05860749 |
| | 51.71696982 | 70.70817246 | 72.74222525 | 74.56736274 |
| | 40. = 40. | 49.46207956 | 59.2212685 | 70.09768586 |
| | 43.51424262 | 3934.865635 | 4381.956049 | 4885.285055 |
| | 1. = 1. | | | |
| | 1300. = 1300. | | | |
| | 50. = 50. | | | |
| Ausgabe: | 1. = i | 3. = i | 6. = i | 9. = i |
| | 31. = 31. | 33. = 33. | 36. = 36. | 39. = 39. |
| | 54.461481 | 60.29161314 | 69.95315006 | 80.82555879 |
| | 69.98010031 | 71.41068599 | 73.37280704 | 75.13279236 |
| | 46.43525984 | 52.59901423 | 62.71602265 | 73.99511093 |
| | 3797.322391 | 4078.015068 | 4543.18039 | 5066.652584 |
| | | 4. = 4. | 7. = 7. | 10. = 10. |
| | | 34. = 34. | 37. = 37. | 40. = 40. |
| | | 63.38553861 | 73.43619124 | 84.74241106 |
| | | 72.08844162 | 73.98094066 | 75.67793079 |
| | | 55.85053308 | 66.33977428 | 78.0376017 |
| | | 4226.974506 | 4710.877119 | 5255.238013 |

Bild 2.39

Seilkurve eines kombiniert belasteten Seiles



2.3 Reibung

Eine bei jedem technischen Prozeß beteiligte und leider auch ebenso notwendige Kraft, ist die Reibungskraft. Sie entsteht an der gemeinsamen Berührfläche zweier Körper, wenn diese sich gegeneinander bewegen oder bewegt werden sollen. Ihre Wirkrichtung ist immer der Bewegung entgegengesetzt. Werden die Körper aus der Ruhe heraus bewegt, so muß die Haftreibung, ansonsten die Gleitreibung überwunden werden.

Eine allgemeingültige Gleichung für alle Reibungsfälle ist leider nicht gegeben, so daß ich mich nachfolgend auf spezielle Anwendungsbeispiele beschränke.

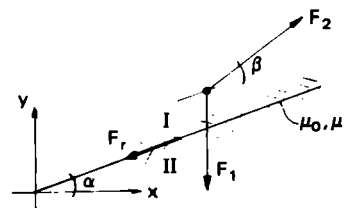
2.3.1 Keil und schiefe Ebene

Die in der Natur aufs vielfältigste verwendete schiefe Ebene, läßt sich auf folgendes Grundprinzip zurückführen. Nach Bild 2.40 wird ein Körper I auf einem Körper II aus der Ruhe oder gleichförmig mittels der Kraft F_2 bewegt. Eine Gewichtskomponente erzeugt die für die Reibung grundlegende Normalkraft. Aus der allgemeinen Gleichgewichtsbedingung leitet sich die analytische Lösung

$$F_2 = F_1 \frac{\sin(\alpha \pm \rho)}{\cos(\beta \mp \rho)} \quad (2.3.1)$$

Bild 2.40

Grundprinzip schiefe Ebene



ab. Darin gilt das obere Rechenzeichen für eine Bewegung nach oben, daß untere für die Bewegung nach unten, für Körper I. Ist es eine Bewegung aus der Ruhe heraus, so ist

$$\rho = \arctan \mu_0 \quad (2.3.2)$$

und anderenfalls

$$\rho = \arctan \mu. \quad (2.3.3)$$

Für dieses einfache Programm wollen wir uns ein Flußdiagramm sparen und nur in Tabelle 2.16 und 2.17 die Speicherplatzbelegung und das Rechnerprogramm wiedergeben.

Tabelle 2.16

Speicherplatzbelegung

| | | |
|----------------------|------|-----------------------|
| 01 F_1 | 05 { | + 1 für eine Bewegung |
| 02 β | | nach oben |
| 03 α | | - 1 für eine Bewegung |
| 04 $\mu, \mu_0/\rho$ | | nach unten |

Tabelle 2.17

Programm schiefe Ebene für den TI58/59

Start

| | | | |
|------------|------------|------------|------------|
| 000 76 LBL | 011 00 00 | 022 05 05 | 035 43 RCL |
| 001 11 A | 012 97 DSZ | 023 95 = | 036 02 02 |
| 002 47 CMS | 013 00 00 | 024 42 STD | 037 75 - |
| 003 05 S | 014 43 RCL | 025 04 04 | 038 43 RCL |
| 004 42 STD | 015 98 ADV | 026 43 RCL | 039 04 04 |
| 005 00 00 | | 027 03 03 | 040 54) |
| | Berechnung | 028 85 + | 041 39 COS |
| Eingabe | 016 43 RCL | 029 43 RCL | 042 65 x |
| 006 76 LBL | 017 04 04 | 030 04 04 | 043 43 RCL |
| 007 43 RCL | 018 22 INV | 031 95 = | 044 01 01 |
| 008 91 R/S | 019 30 TAN | 032 38 SIN | 045 95 = |
| 009 99 PRT | 020 65 x | 033 55 + | 046 99 PRT |
| 010 72 ST* | 021 43 RCL | 034 53 (| 047 61 GTD |
| | | | 048 11 A |

2.3.2 Gewindereibung

Eine Gewindefläche entsteht durch gleichzeitige Rotation und Translation einer ebenen Kurve, nach Bild 2.41

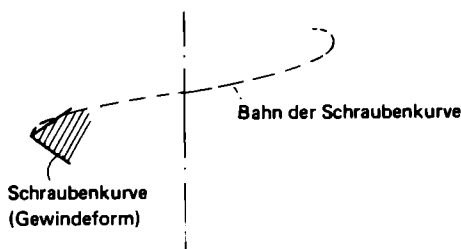


Bild 2.41
Gewinde

Nach der Form der Kurve unterscheidet man Spitz-, Flach-, Trapez-, usw. Gewinde, also die Gewindeform. Bei der Gewindebewegung tritt die Normalkraft senkrecht zur Schraubenfläche nach Bild 2.42 auf. Sie erzeugt eine Reibkraft und ein daraus resultierendes Reibmoment. Die Reibkraft wird dabei mittig zur Schraubenfläche abgenommen. Auch hier ergeben sich aus der allgemeinen Gleichgewichtsbedingung die Endgleichungen

$$F = (\cos \alpha \cos \beta \pm \sin \alpha \tan \rho) N \quad (2.3.4)$$

und

$$M = (\sin \alpha \cos \beta \mp \cos \alpha \tan \rho) N. \quad (2.3.5)$$

Beim Flachgewinde ist $\beta = 0$ und damit $\cos \beta = 1$, womit als Spezialfall folgt

$$F = (\cos \alpha \pm \sin \alpha \tan \rho) N \quad (2.3.6)$$

und

$$M = (\sin \alpha \mp \cos \alpha \tan \rho) N. \quad (2.3.7)$$

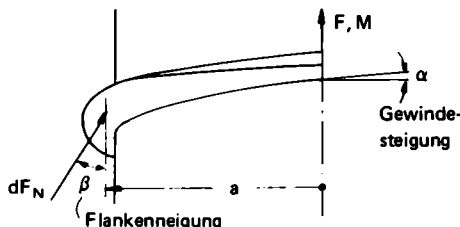


Bild 2.42 Kräfte am Gewinde

Da die Last allgemein bekannt ist, soll unser Programm die Normalkraft bestimmen und das daraus resultierende Reibmoment. Das Vorzeichen richtet sich nach einer Bewegung gegen die Last (oberes Zeichen) oder mit dieser (unteres Zeichen).

Tabelle 2.18

Speicherplatzbelegung

| | |
|-------------|--------------------------------------|
| 00 Zähler | 06 { + 1 bei Bewegung gegen die Last |
| 01 a | - 1 bei Bewegung mit der Last |
| 02 F | |
| 03 μ | |
| 04 β | |
| 05 α | |

Tabelle 2.19

| Start | Berechnung | | | | | | | | | | |
|---------|------------|-----|-----|----|-----|-----|----|-----|-----|----|-----|
| 000 | 76 | LBL | 016 | 43 | RCL | 034 | 32 | X17 | 052 | 06 | 06 |
| 001 | 11 | A | 017 | 05 | 05 | 035 | 43 | RCL | 053 | 65 | x |
| 002 | 47 | CMS | 018 | 39 | COS | 036 | 02 | 02 | 054 | 43 | RCL |
| 003 | 06 | 6 | 019 | 65 | x | 037 | 55 | + | 055 | 05 | 05 |
| 004 | 42 | STD | 020 | 43 | RCL | 038 | 32 | X17 | 056 | 39 | COS |
| 005 | 00 | 00 | 021 | 04 | 04 | 039 | 95 | = | 057 | 65 | x |
| | | | 022 | 39 | COS | 040 | 99 | PRT | 058 | 43 | RCL |
| Eingabe | | | 023 | 85 | + | 041 | 65 | x | 059 | 03 | 03 |
| | | | 024 | 43 | RCL | 042 | 53 | < | 060 | 95 | = |
| 006 | 76 | LBL | 025 | 06 | 06 | 043 | 43 | RCL | 061 | 99 | PRT |
| 007 | 43 | RCL | 026 | 65 | x | 044 | 05 | 05 | 062 | 91 | R/S |
| 008 | 91 | R/S | 027 | 43 | RCL | 045 | 38 | SIN | | | |
| 009 | 99 | PRT | 028 | 05 | 05 | 046 | 65 | x | | | |
| 010 | 72 | ST* | 029 | 38 | SIN | 047 | 43 | RCL | | | |
| 011 | 00 | 00 | 030 | 65 | x | 048 | 04 | 04 | | | |
| 012 | 97 | DSZ | 031 | 43 | RCL | 049 | 39 | COS | | | |
| 013 | 00 | 00 | 032 | 03 | 03 | 050 | 75 | - | | | |
| 014 | 43 | RCL | 033 | 95 | = | 051 | 43 | RCL | | | |
| 015 | 98 | ADV | | | | | | | | | |

2.3.3 Seilreibung

Durch die Bewegung eines Seiles über eine zylindrische Rolle, wird durch den Andruck des Seiles eine Reibkraft erzeugt. Die Betrachtung eines infinitesimalen Seilelements nach Bild 2.43 liefert durch die Gleichgewichtsbedingung

$$dF_S = dF_r = \mu dF_N. \quad (2.3.8)$$

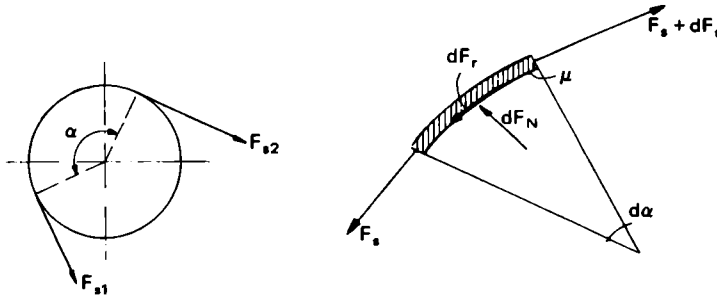


Bild 2.43
Seilreibung

Die Normalkraftkomponente ergibt sich angenähert durch

$$dF_N = F_S \cdot d\hat{\alpha}. \quad (2.3.9)$$

Die Betrachtung über den ganzen Umschlingungswinkel liefert das Integral

$$\int_{F_{S1}}^{F_{S2}} \frac{dF_S}{F_S} = \int_0^{\hat{\alpha}} \mu d\hat{\alpha}, \quad (2.3.10)$$

womit folgt (die Integrationskonstante entfällt durch Randbedingungen):

$$\ln \left(\frac{F_{S1}}{F_{S2}} \right) = \mu \hat{\alpha}. \quad (2.3.11)$$

Aufgelöst nach den Kräften erhalten wir die Eytelweinsche Gleichung

$$F_{S1} = F_{S2} \cdot e^{\mu \hat{\alpha}} \quad (2.3.12)$$

Da $\mu \alpha > 0$, ist die Seilkraft $F_{S1} > F_{S2}$; die Kraft F_{S1} wirkt also immer der Bewegungsrichtung des Seiles nach. Der Wert von α ergibt sich aus der einfachen Umrechnung

$$\hat{\alpha} = \frac{\pi}{180^\circ} \cdot \alpha^\circ \quad (2.3.13)$$

Tabelle 2.20

Speicherplatzbelegung

01 $\mu \hat{\alpha}$

Tabelle 2.21

Programm Seilreibung zum T158/59

Start

| | | | | | | | | | | | |
|-----|----|-----|-----|----|-----|-----|----|-----|-----|----|-----|
| 000 | 76 | LBL | 005 | 42 | STD | 013 | 65 | X | 021 | 65 | X |
| 001 | 11 | A | 006 | 01 | 01 | 014 | 89 | π | 022 | 43 | RCL |
| 002 | 47 | CMS | 007 | 91 | R/S | 015 | 95 | = | 023 | 01 | 01 |
| | | | 008 | 99 | PRT | 016 | 49 | PRD | 024 | 22 | INV |
| | | | 009 | 55 | ÷ | 017 | 01 | 01 | 025 | 23 | LN% |
| | | | 010 | 01 | 1 | 018 | 91 | R/S | 026 | 95 | = |
| 003 | 91 | R/S | 011 | 08 | 8 | 019 | 99 | PRT | 027 | 99 | PRT |
| 004 | 99 | PRT | 012 | 00 | 0 | 020 | 98 | ADV | 028 | 91 | R/S |

2.3.4 Anwendungsbeispiele

– 1 –

Auf einer schiefen Ebene von 20° liegt eine Last von 20 kN. Die Haftreibung beträgt 0.3. Die Last wird durch eine Kraft um 5° zur Ebene gehalten. Gesucht ist die Haltekraft bzw. die Kraft die benötigt wird, um die Last nach oben zu ziehen.

1. nach oben
0.3 μ_0
20. α
5. β
20. F_1

-1. nach unten
0.3 μ_0
20. α
5. β
20. F_1

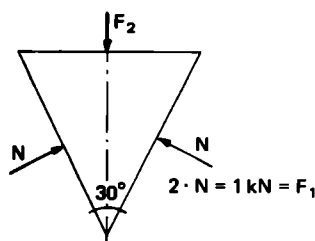
12. 20586228 F_2

1. 239368745 F_2

Um die Last zu halten wird eine Kraft von 1.24 kN benötigt. Um sie nach oben zu ziehen müssen 12.21 kN aufgebracht werden.

– 2 –

Auf einen Keil nach Bild 2.44 wirken Normalkräfte von 1 kN. Bei einer Haftreibung von 0.3 ergibt sich die Frage, welche Kraft zum Eintreiben des Keiles und welche zum Herausziehen benötigt wird.



Eintreiben:

1.
0.3 μ_0
15. α
0. β
1. F_1

0. 548596793 F_2

Herausziehen:

-1.
0.3 μ_0
15. α
0. β
1. F_1

-1. 0309587028 F_2

Bild 2.44 Keil

Zum Eintreiben werden 0.55 kN und zum Herausziehen 0.031 kN benötigt.

– 3 –

Auf einem spitzen Bewegungsgewinde von 50° Flankenneigung und einer Steigung von 5° , sowie einem Flankenradius von 3 cm bewegt sich eine Last von 10 kN. Bei einem Reibungskoeffizienten von 0.2 ist nach der Normalkraft und dem Reibmoment gesucht.

Last nach oben

1.
5. α
25. β
0.2 μ
10. F (kN)
3. a cm

10.86613812 N (kN)
-1.306642366 M (kNcm)

Last nach unten

-1.
5. α
25. β
0.2 μ
10. F (kN)
3. a cm

11.29397482 N (kN)
3.14230983 M (kNcm)

Die Bewegung nach unten bewirkt also eine größere Belastung des Gewindes.

– 4 –

Eine Last wird über eine feststehende Umlenkrolle nach oben gezogen. Das Seil, an dem die Last hängt, umschlingt die Rolle mit 120° . Der Reibungskoeffizient beträgt 0.2. Die Last wiegt 500 kN. Es ist nach der Zugkraft gefragt.

0.2 = μ
120. = α°
500. = F_{s2}

760.1282119 = F_{s1}

Während wir zuvor in der Statik den Spezialfall behandelt haben, daß äußere Kräfte am starren Körper keine Bewegung hervorrufen, wird in den nachfolgenden Kapiteln die durch Kräfte hervorgerufene Bewegungsänderung untersucht. Dabei wurde keine streng thematische, sondern vielmehr eine für den Rechner interessante Einteilung vorgenommen.

Bei der Kinematik sieht man von der Masse und den am Körper angreifenden Kräften ab und untersucht nur deren Geometrie der Bewegung. Wir betrachten damit die Lageänderung eines Punktes über der Zeit. Dies geschieht bezüglich eines passend gewählten Koordinatensystem.

3.1 Numerische Behandlung von Differentialgleichungen der Bewegung

Soweit in diesem Buch die Problemanalyse auf eine Differentialgleichung führt, siehe auch Seiltheorie, habe ich deren numerische Integration, um Sie nur mit einer Methode zu konfrontieren, nach dem Euler-Cauchy-Verfahren durchgeführt. Daher will ich diese Methode kurz erläutern.

Sei nach Bild 3.1 $y = f(x)$ die analytische Lösung der allgemeinen Differentialgleichung $y' = f(x, y)$. Aus der Differentialgleichung folgt die Anfangsbedingung $y_0 = f(x_0, y_0)$ als bekannter Wert. Geht man nun auf der Abszisse um die Schrittweite Δx weiter, so läßt sich die auftretende Ordinatenzunahme Δy annähernd durch den Wert Δy_n beschreiben. Es gilt

$$y' = \frac{\Delta y_n}{\Delta x} \quad (3.1.1)$$

Aus der Grenzwertbetrachtung folgt

$$y' = \lim_{\Delta x \rightarrow 0} \frac{\Delta y_n}{\Delta x} = \lim_{\Delta x \rightarrow 0} \frac{\Delta y}{\Delta x} = \frac{dy}{dx} \quad (3.1.2)$$

und damit die exakte Lösung. Bei diesem Verfahren wird also der Differentialquotient

$$\frac{dy}{dx}$$

durch den Differenzenquotient

$$\frac{\Delta y}{\Delta x}$$

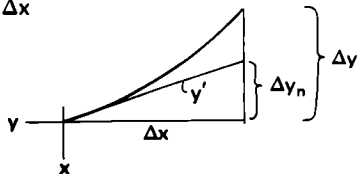
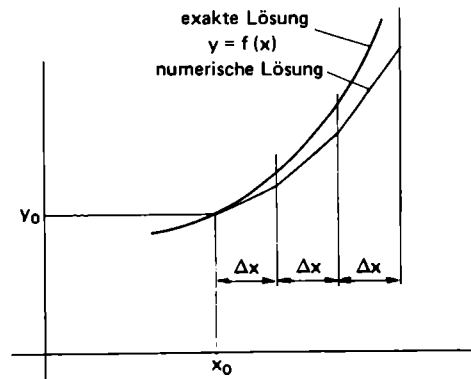


Bild 3.1

Das Euler-Cauchy-Verfahren



angenähert. Wählt man Δx also genügend klein, kommt man der analytischen Lösung beliebig nahe. Den Nachteil dieses Verfahrens zeigt Bild 3.1 ebenfalls deutlich. Mit zunehmenden Schritten entfernt sich die numerische immer mehr von der analytischen Lösung. Wer genauere Verfahren benutzen möchte, kann diese unter [2] und [12] nachlesen. Als Stichwort möchte ich das oft benutzte Runge-Kutta-Verfahren nennen. Betrachtungen zur Fehlergröße der einzelnen Verfahren entnehmen Sie bitte ebenfalls der Literatur.

Speziell in den nachfolgenden Fällen wird das Euler-Cauchy-Verfahren zweimal Anwendung finden, da Massenpunkt oder starrer Körper zur Änderung ihres Bewegungszustandes durch Kräfte F_j , $j = 1, \dots, n$ gezwungen, diesen ihre träge Masse entgegensetzen. Als Gleichung

$$\sum_{j=1}^n F_j = F_r = -m a. \quad (3.1.3)$$

Die Momentanbeschleunigung ergibt sich als Differentialquotient

$$a = \frac{dv}{dt} = \dot{v}, \quad (3.1.4)$$

so daß die 1. Anwendung des Euler-Cauchy-Verfahrens,

$$\Delta v = -\frac{F_r}{m} \Delta t, \quad (3.1.5)$$

die während der Zeiteinheit Δt auftretende Geschwindigkeitsänderung liefert. Für die Momentangeschwindigkeit gilt weiterhin der Differentialquotient

$$v = \frac{ds}{dt} = \dot{s}, \quad (3.1.6)$$

so daß eine 2. Anwendung des Euler-Cauchy-Verfahrens,

$$\Delta s = v \Delta t, \quad (3.1.7)$$

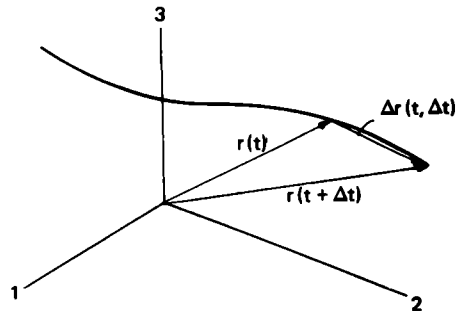
den während der Zeiteinheit Δt zurückgelegten Weg annähernd beschreibt. Die Momentangeschwindigkeit wird dabei aus Einfachheitsgründen für die Berechnung durch die Ausgangsgeschwindigkeit für das Zeitintervall ersetzt.

3.2 Bewegung des materiellen Punktes

Die Lage eines Massenpunktes zum Zeitpunkt t wird durch den Ortsvektor $r(t)$ bezüglich eines raumfesten Koordinatensystems bestimmt. Siehe Bild 3.2. In einem Zeitintervall Δt verändert er seine Lage um $\Delta r(t, \Delta t)$ nach $r(t + \Delta t)$. Der Übergang auf ein infinitesimales Zeitintervall dt liefert zum Zeitpunkt t die Momentangeschwindigkeit

$$v(t) = \lim_{\Delta t \rightarrow 0} \frac{r(t + \Delta t) - r(t)}{\Delta t} = \frac{dr(t)}{dt}. \quad (3.1.8)$$

Bild 3.2
Raumbewegung



Für das Bogendifferential wird mithin

$$dr = v(t) dt. \quad (3.1.9)$$

Analog definiert man die zum Zeitpunkt t vorhandene Momentanbeschleunigung

$$a(t) = \lim_{\Delta t \rightarrow 0} \frac{v(t + \Delta t) - v(t)}{\Delta t} = \frac{dv(t)}{dt}. \quad (3.1.10)$$

Die Momentangeschwindigkeit und -beschleunigung ergeben sich also als erste bzw. zweite Ableitung der Ortskoordinaten nach der Zeit.

Die Bewegung eines Massenpunktes auf gekrümmter Bahn, läßt sich für ein infinitesimales Bogenelement, das eine Drehung um den imaginären Bahnmittelpunkt M mit dem Krümmungsradius ρ auffassen. Dieser ergibt sich, unter Betrachtung von Bild 3.3, aus der Gleichung

$$\kappa = \frac{1}{\rho} = |\sqrt{r''(t) r''(t)}|. \quad (3.1.11)$$

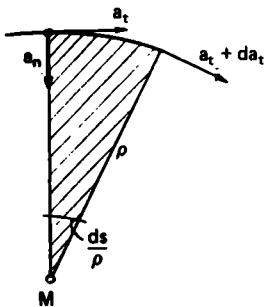


Bild 3.3
Bahnkrümmung

Die bei der Bewegung aufgespannte Kreissektorfläche liegt in der sogenannten Schmiegungeebene. Während der Geschwindigkeitsvektor tangential zur Bahnkurve verläuft, besitzt der Beschleunigungsvektor eine Tangential- (a_t) und Normalkomponente (a_n). Das Antragen der zu den Ortsvektoren $r(t)$ einer Bahnkurve gehörenden Geschwindigkeitsvektoren $v(t)$ bezüglich eines beliebigen Geschwindigkeitspoles (O), siehe Bild 3.4, liefert die in Bild 3.5 wiedergegebene Konstruktion. Die so entstehende Raumkurve wird als polarer Hodograph bezeichnet. Danach zerfällt die Geschwindigkeit ebenfalls in einen Normal- und Tangentialanteil

$$\Delta v = \Delta v_n + \Delta v_t. \quad (3.1.12)$$

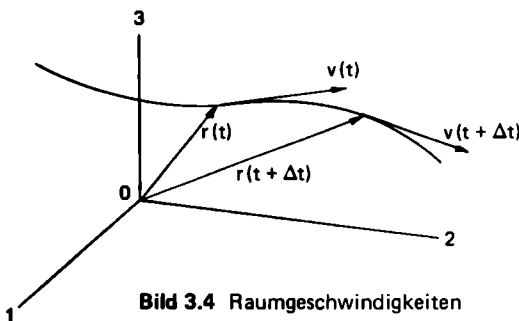


Bild 3.4 Raumgeschwindigkeiten

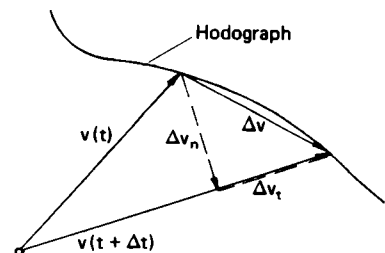


Bild 3.5 Polarer Hodograph

Ihre infinitesimale Betrachtung liefert dann durch Differentiation nach der Zeit die vorangegangene Behauptung

$$\mathbf{a} = \mathbf{a}_n + \mathbf{a}_t. \quad (3.1.13)$$

Ihre Größen ergeben sich aus

$$\mathbf{a}_n = \frac{v^2}{\rho} = \frac{\dot{s}^2}{\rho} \quad (3.1.14)$$

und

$$\mathbf{a}_t = \dot{\mathbf{v}} = \ddot{\mathbf{s}}. \quad (3.1.15)$$

3.2.1 Bewegungsdiagramme

Die Bewegungen eines Massenpunktes werden in der Regel durch Zeit-Weg-, bzw. Zeit-Geschwindigkeits- oder Zeit-Beschleunigungsdiagramme dargestellt. Auch eine Kombination der Bewegungsgrößen ist üblich.

Da in den weitaus meisten Fällen die Raumkurve durch einparametrische Gleichungen der Form

$$f_i = f_i(u), \quad i = 1, 2, 3 \quad (3.1.16)$$

oder durch Meßwerte gegeben ist, womit sich auch eine Interpolations- oder Approximationsgleichung aufstellen läßt, soll dies die Ausgangsbasis für ein Programm sein.

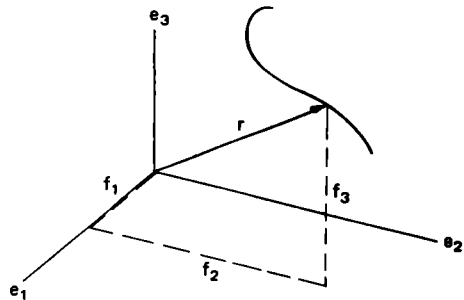
Der Ortsvektor eines Bahnpunktes ergibt sich in seiner Komponentendarstellung aus

$$\mathbf{r} = \sum_{i=1}^3 \mathbf{e}_i f_i \quad (3.1.17)$$

wie Bild 3.6 es wiedergibt. Die Momentangeschwindigkeit in diesem Punkt bestimmt sich angenähert durch die Ortsveränderung des Massenpunktes in der Zeitdifferenz Δt .

$$\mathbf{v}(u) = \frac{d\mathbf{r}}{du} \approx \frac{\Delta \mathbf{r}}{\Delta u} = \sum_{i=1}^3 \mathbf{e}_i \frac{\Delta f_i}{\Delta u}. \quad (3.1.18)$$

Bild 3.6
Räumliche Bahn



Mit der Größe von Δt läßt sich die exakte Lösung beliebig genau approximieren. Eine zweite Annäherung des Differentialquotienten durch den Differenzenquotienten liefert die Momentanbeschleunigung

$$\mathbf{a}(u) = \frac{d\mathbf{v}(u)}{du} \approx \frac{\Delta \mathbf{v}(u)}{\Delta u} = \sum_{i=1}^3 \mathbf{e}_i \frac{\Delta v_i}{\Delta u}. \quad (3.1.19)$$

Die Beträge von Wegzunahme, Geschwindigkeitsänderung und Beschleunigung ergeben sich nach dem pythagoräischen Ansatz über die Komponenten k_i

$$|\dots| = \sqrt{\sum_{i=1}^3 k_i^2}. \quad (3.1.20)$$

Außer der Bestimmung der Raumkurve mit der Zeit als Parameter durch die Funktionen

$$f_i = f_i(t), \quad i = 1, 2, 3, \quad (3.1.21)$$

gibt es noch die Bestimmung durch einen geometrischen Parameter, z. B. des Winkels φ . Dessen zeitliche Veränderung wird dann durch die Gleichung

$$\varphi = \varphi(t) \quad (3.1.22)$$

bestimmt. Die Ableitungen eines Ortsvektors nach der Zeit ergeben sich in diesem Fall nach den Regeln der Differentiation angenähert aus

$$v(t) = \frac{\Delta r}{\Delta \varphi} \frac{\Delta \varphi}{\Delta t} \quad (3.1.23)$$

und

$$a(t) = \frac{\Delta v}{\Delta \varphi} \frac{\Delta \varphi}{\Delta t}. \quad (3.1.24)$$

Wir erhalten damit einen in Bild 3.7 dargestellten Berechnungsrumpf, in dem die Unterprogramme A', \dots, D' die funktionalen Verhältnisse des jeweiligen Problems widerspiegeln. Auf diese Weise lassen sich z. B. Schubkurbel-, Kolben- oder Nockenbewegungen analysieren.

Tabelle 3.1

Speicherplatzbelegung

| | | |
|-----------------|-----------------|-----------------|
| 07 Σ | 08 Σ | 09 u_i |
| 10 $f_{3j} - 1$ | 11 $f_{2j} - 1$ | 12 $f_{1j} - 1$ |
| 13 f_{3j} | 14 f_{2j} | 15 f_{1j} |
| 16 $v_{3j} - 1$ | 17 $v_{2j} - 1$ | 18 $v_{1j} - 1$ |
| 19 v_{3j} | 20 v_{2j} | 21 v_{1j} |
| 22 a_{3j} | 23 a_{2j} | 24 a_{1j} |
| 25 Δt | 26 t_j | 27 s_j |
| 28 v_j | 29 a_j | |

In diesem Programm wurde bewußt aus Platzgründen auf eine Berechnung des Krümmungsradius und auf den Normal- und Tangentialanteil der Beschleunigung verzichtet. Wird die Berechnung gewünscht, so läßt sich dies mit den zuvor erläuterten Formeln leicht programmieren. Auch läßt sich das Programm durch indirekte Programmierung auf weit weniger Programmschritte (für TI 58) bringen.

Dieses Programm soll das einzige in diesem Kapitel bleiben, da sich die praktische Nutzenanwendung erst im nächsten Kapitel ergibt.

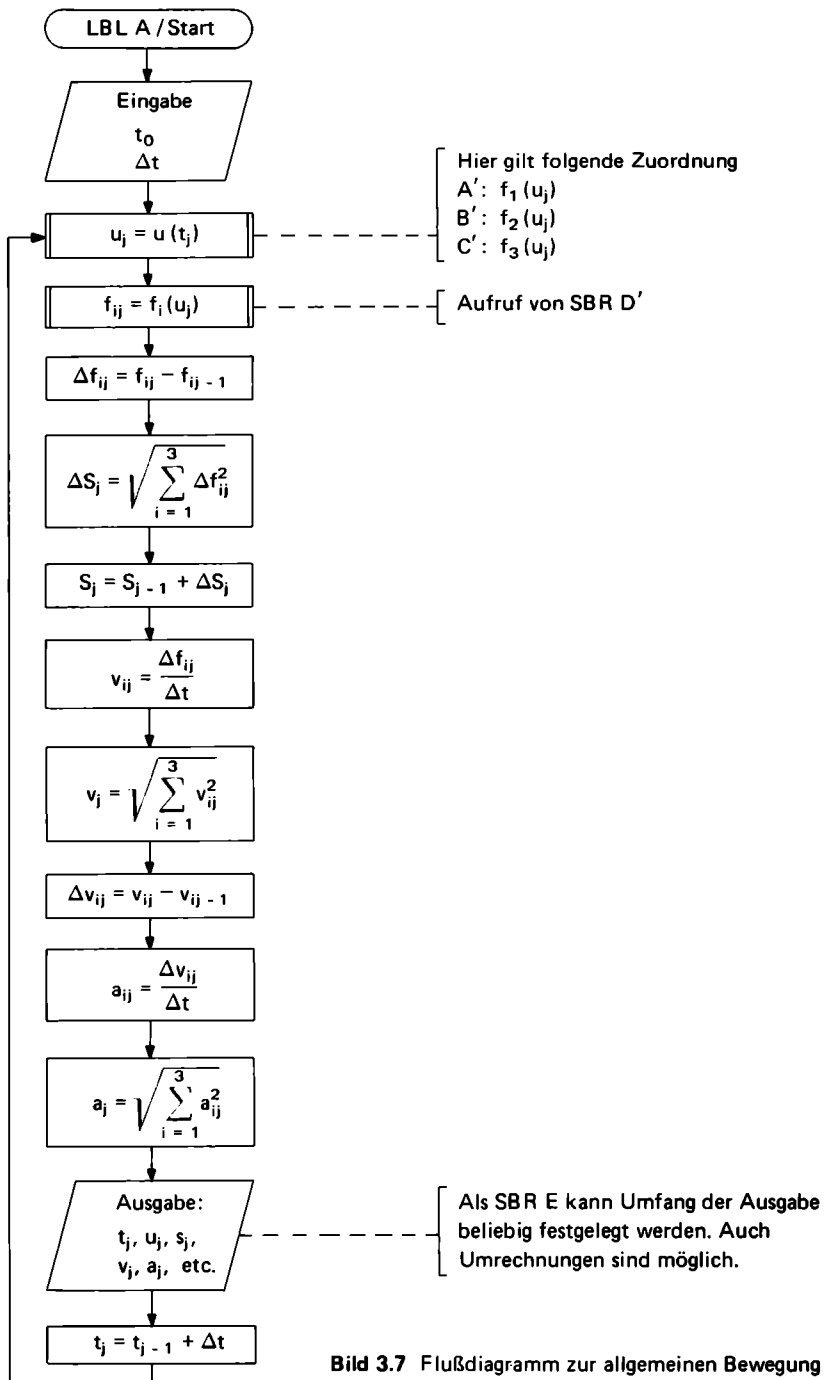


Bild 3.7 Flußdiagramm zur allgemeinen Bewegung

Tabelle 3.2

Programm allgemeine Bewegung

Start + Eingabe

000 76 LBL
001 11 A
002 47 CMS
003 91 R/S
004 99 PRT
005 42 STD
006 26 26
007 91 R/S
008 99 PRT
009 42 STD
010 25 25
011 98 ADV
012 61 GTD
013 12 B

Ausgabe + Zeitzähler

014 76 LBL
015 43 RCL
016 15 E
017 00 0
018 42 STD
019 08 08
020 42 STD
021 07 07
022 43 RCL
023 25 25
024 44 SUM
025 26 26

Start-Berechnung

026 76 LBL
027 12 B

 u_i :

028 43 RCL
029 26 26
030 19 D'
031 42 STD
032 09 09

 $f_{ij}/\Delta f_{ij}$:

033 16 A'
034 42 STD
035 15 15
036 75 -
037 43 RCL
038 12 12
039 95 =
040 42 STD
041 21 21
042 33 X^2
043 44 SUM
044 08 08
045 43 RCL
046 09 09
047 17 B'

048 42 STD
049 14 14
050 75 -
051 43 RCL
052 11 11
053 95 =
054 42 STD
055 20 20
056 33 X^2
057 44 SUM
058 08 08
059 43 RCL
060 09 09
061 18 C'
062 42 STD
063 13 13
064 75 -
065 43 RCL
066 10 10
067 95 =
068 42 STD
069 19 19
070 33 X^2
071 44 SUM
072 08 08

 $\Delta s_j/s_j$:

073 43 RCL
074 08 08
075 34 ΓX
076 44 SUM
077 27 27

 v_{ij} :

078 43 RCL
079 25 25
080 35 $1/X$
081 49 PRD
082 21 21
083 49 PRD
084 20 20
085 49 PRD
086 19 19

 η_j :

087 43 RCL
088 21 21
089 33 X^2
090 85 +
091 43 RCL
092 20 20
093 33 X^2
094 85 +
095 43 RCL
096 19 19
097 33 X^2
098 95 =

099 34 ΓX
100 42 STD
101 28 28

 η_{ij} :

102 43 RCL
103 21 21
104 75 -
105 43 RCL
106 18 18
107 95 =
108 42 STD
109 24 24
110 43 RCL
111 20 20
112 75 -
113 43 RCL
114 17 17
115 95 =
116 42 STD
117 23 23
118 43 RCL
119 19 19
120 75 -
121 43 RCL
122 16 16
123 95 =
124 42 STD
125 22 22
126 43 RCL
127 25 25
128 35 $1/X$
129 49 PRD
130 24 24
131 49 PRD
132 23 23
133 49 PRD
134 22 22

 η_j :

135 43 RCL
136 24 24
137 33 X^2
138 85 +
139 43 RCL
140 23 23
141 33 X^2
142 85 +
143 43 RCL
144 22 22
145 33 X^2
146 95 =
147 34 ΓX
148 42 STD
149 29 29

Alt/neu Verschiebung

150 43 RCL
151 15 15
152 42 STD
153 12 12
154 43 RCL
155 14 14
156 42 STD
157 11 11
158 43 RCL
159 13 13
160 42 STD
161 10 10
162 43 RCL
163 21 21
164 42 STD
165 18 18
166 43 RCL
167 20 20
168 42 STD
169 17 17
170 43 RCL
171 19 19
172 42 STD
173 16 16

Durchlaufabfrage für Korrektur

174 01 1
175 44 SUM
176 05 05
177 43 RCL
178 05 05
179 32 $X \cdot T$
180 01 1
181 67 EQ
182 85 +
183 02 2
184 67 EQ
185 75 -
186 61 GTD
187 43 RCL

Korrektur zu den beiden ersten Durchläufen

188 76 LBL
189 85 +
190 00 0
191 42 STD
192 27 27
193 42 STD
194 28 28
195 76 LBL
196 75 -
197 00 0
198 42 STD
199 29 29
200 61 GTD
201 43 RCL

3.2.2 Anwendungsbeispiele

– 1 –

Ein Massenpunkt bewegt sich auf einer Schraubenlinie mit

$$x = 2 \cos \varphi$$

$$y = 2 \sin \varphi$$

$$z = 2 \varphi$$

Und zwar mit der Winkelgeschwindigkeit

$$\varphi(t) = 2t + \varphi_0$$

mit φ in grd und t in Sekunden. Zur Anfangszeit $t_0 = 0$ befindet sich der Massenpunkt an der Stelle $\varphi_0 = 45^\circ$.

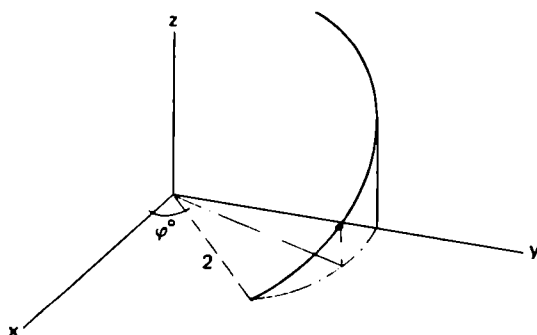


Bild 3.8
Schraubenlinie

Bild 3.8 zeigt den Verlauf der Bewegung. Die Unterprogramme für dieses Problem zeigt Tabelle 3.3.

Tabelle 3.3

Unterprogramme zu – 1 –

$f_1(\varphi)$:

```
268 76 LBL
269 16 R*
270 53 (
271 24 CE
272 39 COS
273 65 x
274 02 2
275 54 )
276 92 RTN
```

$f_2(\varphi)$:

```
277 76 LBL
278 17 B*
279 53 (
280 24 CE
281 38 SIN
282 65 x
283 02 2
```

```
284 54 )
285 92 RTN
```

$f_3(\varphi)$:

```
286 76 LBL
287 18 C*
288 53 (
289 24 CE
290 65 x
291 89 pi
292 55 +
293 09 9
294 00 0
295 54 )
296 92 RTN
```

$\varphi(t)$:

```
297 76 LBL
298 19 D*
```

```
299 53 (
300 24 CE
301 65 x
302 02 2
303 85 +
304 04 4
305 05 5
306 54 )
307 92 RTN
```

Ausgabe:

```
240 76 LBL
241 15 E
242 43 RCL
243 26 26
244 99 PRT
245 43 RCL
246 15 15
247 99 PRT
```

```
248 43 RCL
249 14 14
250 99 PRT
251 43 RCL
252 13 13
253 99 PRT
254 43 RCL
255 09 09
256 99 PRT
257 43 RCL
258 27 27
259 99 PRT
260 43 RCL
261 28 28
262 99 PRT
263 43 RCL
264 29 29
265 99 PRT
266 98 ADV
267 92 RTN
```


Das Programm lieferte damit folgende Werte:

| | | | | | |
|----------|-------------|-----------------------------------|-------------|-------------|-------------|
| Eingabe: | 0. | -t ₀ | 2. | 5. | 8. |
| | 1. | -Δt | 1.312118058 | 1.147152873 | .9696192405 |
| Ausgabe: | 0. | -t _j | 1.50941916 | 1.638304089 | 1.749239414 |
| | 1.414213562 | -x _j = f _{1j} | 1.710422667 | 1.919862177 | 2.129301687 |
| | 1.414213562 | -v _j = f _{2j} | 49. | 55. | 61. |
| | 1.570796327 | -z _j = f _{3j} | .1974564515 | .4936411289 | .7898258062 |
| | 45. | -ϕ _j | .0987282258 | .0987282258 | .0987282258 |
| | 0. | -s _j | .0024366919 | .0024366919 | .0024366919 |
| | 0. | -v _j | | | |
| | 0. | -a _j | 3. | 6. | 9. |
| | | | 1.258640782 | 1.08927807 | .9079809995 |
| | | | 1.554291923 | 1.677341136 | 1.782013048 |
| | 1. | | 1.780235837 | 1.989675347 | 2.199114858 |
| | 1.36399672 | | 51. | 57. | 63. |
| | 1.462707403 | | .2961846773 | .5923693546 | .8885540319 |
| | 1.640609497 | | .0987282258 | .0987282258 | .0987282258 |
| | 47. | | .0024366919 | .0024366919 | .0024366919 |
| | .0987282258 | | | | |
| | .0987282258 | | | | |
| | 0. | | 4. | 7. | 10. |
| | | | 1.203630046 | 1.03007615 | .8452365235 |
| | | | 1.59727102 | 1.714334601 | 1.812615574 |
| | | | 1.850049007 | 2.059488517 | 2.268928028 |
| | | | 53. | 59. | 65. |
| | | | .3949129031 | .6910975804 | .9872822577 |
| | | | .0987282258 | .0987282258 | .0987282258 |
| | | | .0024366919 | .0024366919 | .0024366919 |

Da die Bewegungsverhältnisse leicht überschaubar sind, soll uns deren graphische Darstellung auch nicht weiter interessieren.

- 2 -

Über die Bewegung eines Massenpunktes sind folgende Werte gemessen worden: (in m)

| t | x | y | z |
|-----|-------|-------|-------|
| 0.0 | 0.0 | 0.0 | 0.0 |
| 0.1 | 0.125 | 0.062 | 0.020 |
| 0.2 | 0.215 | 0.180 | 0.111 |
| 0.3 | 0.430 | 0.192 | 0.204 |
| 0.4 | 0.522 | 0.201 | 0.312 |
| 0.5 | 0.533 | 0.240 | 0.421 |
| 0.6 | 0.514 | 0.251 | 0.532 |
| 0.7 | 0.481 | 0.273 | 0.640 |
| 0.8 | 0.372 | 0.292 | 0.753 |
| 0.9 | 0.370 | 0.304 | 0.802 |
| 1.0 | 0.368 | 0.321 | 0.882 |

Zu diesem Problem sehen unsere Unterprogramme wie folgt aus:

Tabelle 3.4

Unterprogramme zu – 2 –

| $f_1(u)$: | $f_3(u)$: | Ausgabe: | | | |
|------------|------------|------------|------------|--|--|
| 268 76 LBL | 282 76 LBL | 240 76 LBL | 254 43 RCL | | |
| 269 16 R' | 283 18 C' | 241 15 E | 255 09 09 | | |
| 270 01 1 | 284 03 3 | 242 43 RCL | 256 99 PRT | | |
| 271 95 = | 285 95 = | 243 26 26 | 257 43 RCL | | |
| 272 91 R/S | 286 91 R/S | 244 99 PRT | 258 27 27 | | |
| 273 99 PRT | 287 99 PRT | 245 43 RCL | 259 99 PRT | | |
| 274 92 RTN | 288 98 ADV | 246 15 15 | 260 43 RCL | | |
| | 289 92 RTN | 247 99 PRT | 261 28 28 | | |
| | | 248 43 RCL | 262 99 PRT | | |
| $f_2(u)$: | $u = t$: | 249 14 14 | 263 43 RCL | | |
| 275 76 LBL | 290 76 LBL | 250 99 PRT | 264 29 29 | | |
| 276 17 B' | 291 19 D' | 251 43 RCL | 265 99 PRT | | |
| 277 02 2 | 292 92 RTN | 252 13 13 | 266 98 ADV | | |
| 278 95 = | | 253 99 PRT | 267 92 RTN | | |
| 279 91 R/S | | | | | |
| 280 99 PRT | | | | | |
| 281 92 RTN | | | | | |

Tritt, wie in diesem Fall, die Zeit in den Funktionen als Parameter auf, ist SBR D' ein „blindes“ Unterprogramm. Es muß aber auf jeden Fall existieren. Die Daten werden in dem jeweiligen Unterprogramm aufgerufen (A', B' und C'). Die Werte ergaben:

| Grundeingaben: | $0, -t_0$ $0, 1 - \Delta t$ | Dateneingabe im Unterprogramm: | $0, -x_j$ $0, -y_j$ $0, -z_j$ | Ausgabe: | $0, -t_j$ $0, -x_j$ $0, -y_j$ $0, -z_j$ $0, -u_j = t_j$ $0, -s_j$ $0, -v_j$ $0, -a_j$ |
|----------------|--------------------------------|--------------------------------|-------------------------------------|--------------|--|
| | 0, 125 | 0, 43 | 0, 533 | 0, 481 | 0, 37 |
| | 0, 062 | 0, 192 | 0, 24 | 0, 273 | 0, 304 |
| | 0, 02 | 0, 204 | 0, 421 | 0, 64 | 0, 802 |
| | 0, 1 | 0, 3 | 0, 5 | 0, 7 | 0, 9 |
| | 0, 125 | 0, 43 | 0, 533 | 0, 481 | 0, 37 |
| | 0, 062 | 0, 192 | 0, 24 | 0, 273 | 0, 304 |
| | 0, 02 | 0, 204 | 0, 421 | 0, 64 | 0, 802 |
| | 0, 1 | 0, 3 | 0, 5 | 0, 7 | 0, 9 |
| . 1409574404 | . 5495999148 | . 8080467117 | 1. 036249216 | 1. 244885503 | |
| 1. 409574404 | 2. 34559161 | 1. 162884345 | 1. 150521621 | . 5048762225 | |
| 0, | 16. 39054606 | 8. 638286867 | 1. 805547009 | 12. 48759384 | |
| | 0, 215 | 0, 522 | 0, 514 | 0, 372 | 0, 368 |
| | 0, 18 | 0, 201 | 0, 251 | 0, 292 | 0, 321 |
| | 0, 111 | 0, 312 | 0, 532 | 0, 753 | 0, 882 |
| | 0, 2 | 0, 4 | 0, 6 | 0, 8 | 1, |
| | 0, 215 | 0, 522 | 0, 514 | 0, 372 | 0, 368 |
| | 0, 18 | 0, 201 | 0, 251 | 0, 292 | 0, 321 |
| | 0, 111 | 0, 312 | 0, 532 | 0, 753 | 0, 882 |
| | 0, 2 | 0, 4 | 0, 6 | 0, 8 | 1, |
| . 3150407538 | . 6917582772 | . 9211970541 | 1. 19439788 | 1. 32669626 | |
| 1. 740833134 | 1. 421583624 | 1. 131503425 | 1. 581486642 | . 8181075724 | |
| 9. 696391081 | 12. 39475696 | 4. 108527717 | 7. 6223356 | 3. 140063694 | |

Die graphische Auswertung ergab das in Bild 3.9 dargestellte s-t-Diagramm, das in Bild 3.10 dargestellte v-t-Diagramm und das in Bild 3.11 dargestellte a-t-Diagramm.

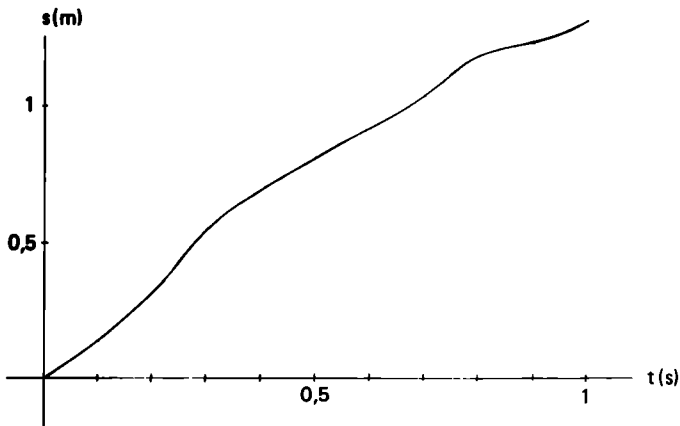


Bild 3.9
s-t-Diagramm

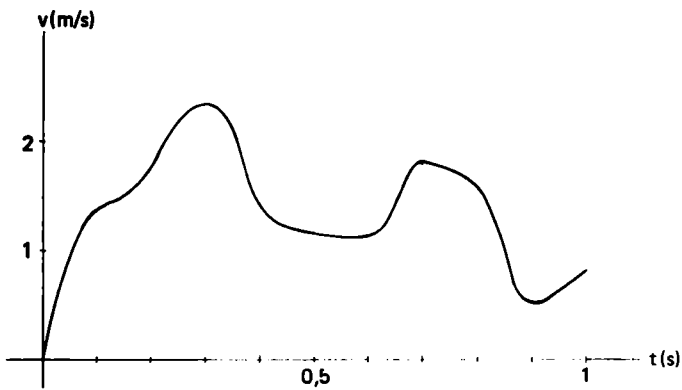


Bild 3.10
v-t-Diagramm

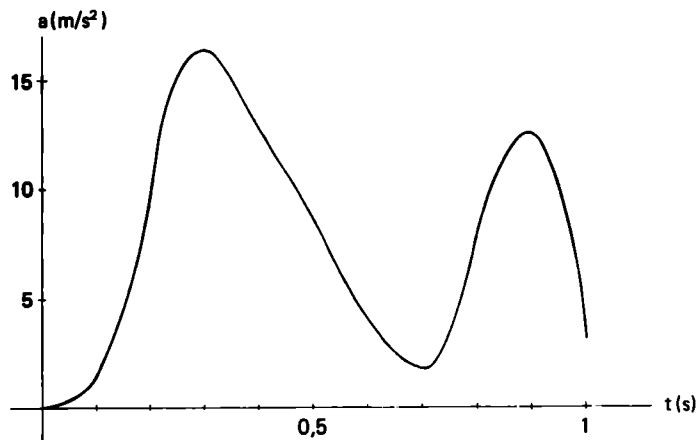


Bild 3.11
a-t-Diagramm

4 Kinetik

Die Kinetik befaßt sich, wie bereits einleitend erwähnt, mit den Bewegungsänderungen, die ein System unter Einwirkung von Kräften erfährt. Dies wird zunächst am Massenpunkt und dann am starren Körper betrachtet.

4.1 Kinetik des Massenpunktes

Unter einem Massenpunkt versteht man einen mathematischen Punkt, in dem man sich idealisiert die Masse eines Körpers vereinigt denkt. Er besitzt mithin eine endliche Masse aber kein Volumen. Dies läßt sich bei den Ansätzen jedoch nicht immer ganz verwirklichen.


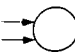

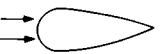
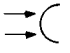
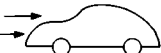
4.1.1 Freie Bewegungen eines Massenpunktes im widerstehenden Mittel

Die Bewegungskurve eines freien Massenpunktes unter Schwerkräfteinfluß ist als schiefer Wurf bekannt. Betrachtet man einen schiefen Wurf im luftgefüllten Raum, wirkt der Bewegung des Massenpunktes, zu jedem Zeitpunkt seiner Bahn, eine Widerstandskraft entgegen. Nimmt man in erster Näherung an, daß die Widerstandskraft dem Quadrat der Geschwindigkeit direkt proportional ist, gehen Ansichtsfläche A und Luftdichte (Mediumdichte) δ in die Gleichung mit ein, so erhält man

$$F_w = \frac{1}{2} c_w \delta v^2 A. \quad (4.1.1)$$

Der Proportionalitätsfaktor, die Konstante c_w wird als Widerstandsbeiwert bezeichnet. Er richtet sich nach der Form des Massenpunktes und wird experimentell bestimmt. So ganz von Dimensionslosigkeit des Massenpunktes können wir hier also nicht sprechen. Einige der häufigsten Widerstandsbeiwerte gibt Tabelle 4.1 wieder.

Tabelle 4.1 Widerstandsbeiwerte

| Form | c_w | Form | c_w |
|---|---------|---|---------|
|  | 1.1 |  | 0.2–0.4 |
|  | 1.3–1.6 |  | 0.055 |
|  | 0.35 |  | ca. 0.5 |

Zu jedem Zeitpunkt seiner Bahn, ist der Massenpunkt damit den in Bild 4.1 dargestellten Kräften ausgesetzt. Da der Luftwiderstand stets der Bewegung entgegengesetzt gerichtet ist, ergibt sich für die einzelnen Komponenten

$$F_{wx} = -\frac{1}{2} c_w \delta A v^2 \cos \alpha \quad (4.1.2)$$

$$= -\frac{1}{2} c_w \delta A v_x v \quad (4.1.3)$$

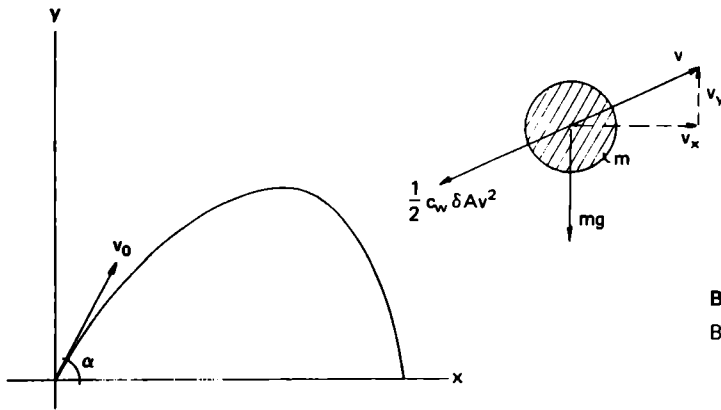


Bild 4.1
Ballistische Kurve

$$F_{wx} = -\frac{1}{2} c_w \delta A v_x \sqrt{v_x^2 + v_y^2} \quad (4.1.4)$$

und

$$F_{wy} = -\frac{1}{2} c_w \delta A v_y \sqrt{v_x^2 + v_y^2}. \quad (4.1.5)$$

Für den Bewegungsansatz wird damit

$$m a_x = -\frac{1}{2} c_w \delta A v_x \sqrt{v_x^2 + v_y^2} \quad (4.1.6)$$

$$m \frac{dv_x}{dt} = -\frac{1}{2} c_w \delta A v_x \sqrt{v_x^2 + v_y^2} \quad (4.1.7)$$

$$dv_x = -\frac{c_w \delta A}{2m} v_x \sqrt{v_x^2 + v_y^2} dt \quad (4.1.8)$$

und ebenfalls

$$m a_y = -\frac{1}{2} c_w \delta A v_y \sqrt{v_x^2 + v_y^2} - m g \quad (4.1.9)$$

$$dv_y = -\left(\frac{c_w \delta A}{2m} v_y \sqrt{v_x^2 + v_y^2} + g \right) dt. \quad (4.1.10)$$

Wir erhalten zwei gekoppelte Differentialgleichungen, (4.1.6) und (4.1.9), deren analytische Lösungen nur schwer zu integrieren sind.

Nach der Euler-Cauchy-Methode gilt näherungsweise für die allgemeine Differentialgleichung

$$\dot{\mathbf{v}} = \frac{d\mathbf{v}}{dt} = \mathbf{f}(\mathbf{v}, t) \quad (4.1.11)$$

die numerische Darstellung

$$\frac{\Delta \mathbf{v}}{\Delta t} = \mathbf{f}(\mathbf{v}, t). \quad (4.1.12)$$

In unserem Fall

$$\Delta v_x = - \left(\frac{c_w \delta A}{2m} v_x \sqrt{v_x^2 + v_y^2} \right) \Delta t \quad (4.1.13)$$

und

$$\Delta v_y = - \left(\frac{c_w \delta A}{2m} v_y \sqrt{v_x^2 + v_y^2} + g \right) \Delta t. \quad (4.1.14)$$

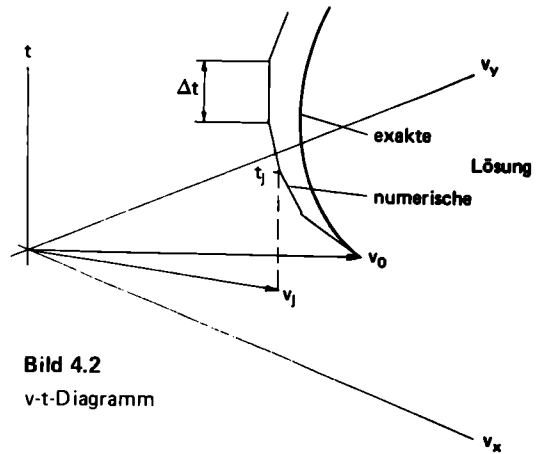


Bild 4.2
v-t-Diagramm

Unter Betrachtung der funktionalen Verhältnisse nach Bild 4.2 folgt, daß wir uns mit fortschreitender Berechnung immer mehr von der exakten Berechnung in zwei Richtungen entfernen. Die Gleichungen (4.1.13) und (4.1.14) sind die Grundgleichungen des in Bild 4.3 folgenden Berechnungsprozesses. Es folgen die Tabellen 4.2 und 4.3 mit Speicherbelegung und Rechnerprogramm.

Um nicht noch einen Wert im Programm eingeben zu müssen, wird das Programm einfach durch R/S abgebrochen, wenn die benötigten Daten errechnet sind.

Außer in der Hinsicht, daß Luftströmungen, Erdrotation und Luftdichteschwankungen unberücksichtigt bleiben, ist unser Berechnungsprozeß unter Auslassung eines weiteren Parameters idealisiert. Der Auftriebskraft durch das, den Massenpunkt umgebende, Medium. Solange sich die Bewegung in Luft vollzieht, ist die Auftriebskraft vernachlässigbar klein. Im Wasser z.B., muß sie jedoch Beachtung finden. Da sie der Gewichtskraft der vom Massenpunkt verdrängten Mediummenge entspricht und stets der Gewichtskraft des Massenpunktes entgegen wirkt, ergibt sich unter Betrachtung von Bild 4.4 nur eine Beeinflussung der vertikalen Komponente

$$m a_y = - \frac{1}{2} c_w \delta_m A v_y \sqrt{v_x^2 + v_y^2} - m g - F_a. \quad (4.1.15)$$

Die darin enthaltene Auftriebskraft \$F_a\$ ist

$$F_a = V_k \delta_m g. \quad (4.1.16)$$

Der Index k steht für Körper, m für Medium. Das Körpervolumen des Massenpunktes ergibt sich aus

$$V_k = \frac{m_k}{\delta_k}. \quad (4.1.17)$$

Tabelle 4.2 Speicherplatzbelegung

| | | | | |
|--------------------------|-----------------|---------------|-----------------------|-----------------------------------|
| 00 \$\delta A c_w / 2m\$ | 04 \$c_w\$ | 08 \$v_{xi}\$ | 12 \$t_i\$ | 16 \$\Delta t_{vorh.}\$ |
| 01 \$m\$ | 05 \$\Delta t\$ | 09 \$v_{yi}\$ | 13 \$\Delta v_{xi}\$ | 17 \$g\$ |
| 02 \$A\$ | 06 \$v_i\$ | 10 \$x_i\$ | 14 \$\Delta v_{yi}\$ | 18 \$\sqrt{v_{xi}^2 + v_{yi}^2}\$ |
| 03 \$\delta\$ | 07 \$\alpha_i\$ | 11 \$y_i\$ | 15 \$\Delta t_{prt}\$ | 19 |

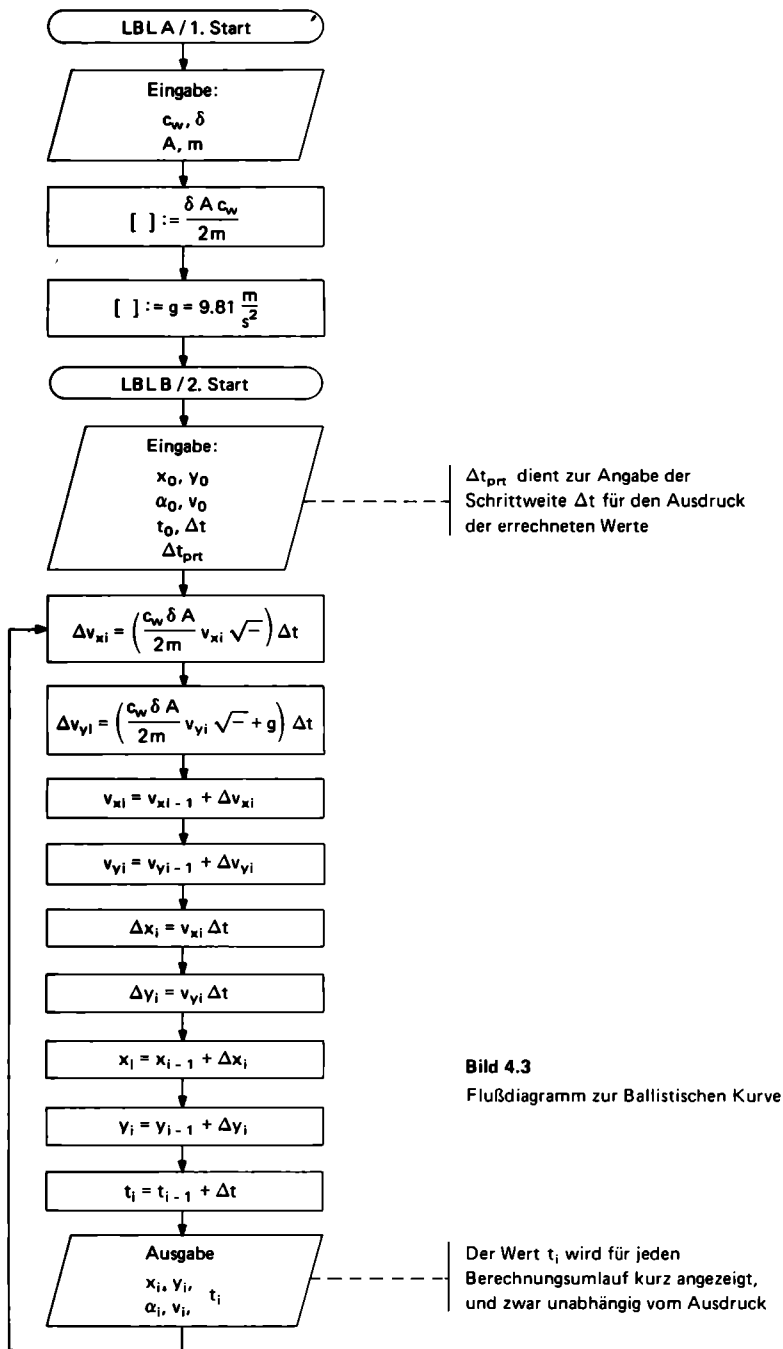


Bild 4.3
Flußdiagramm zur Ballistischen Kurve

Tabelle 4.3
Programm Ballistische Kurve
1. Start

```

000 76 LBL
001 11 R
002 47 CMS
003 04 4
004 42 STD
005 00 00
006 91 R/S
007 99 PRT
008 72 ST+
009 00 00
010 97 DSZ
011 00 00
012 00 00
013 06 06
014 98 ADV
015 43 RCL
016 04 04
017 65 X
018 43 RCL
019 03 03
020 65 X
021 43 RCL
022 02 02
023 55 +
024 02 2
025 55 -
026 43 RCL
027 01 01
028 95 =
029 42 STD
030 00 00
031 09 9
032 93 .
033 08 8
034 01 1
035 42 STD
036 17 17

```

2. Start

```

037 76 LBL
038 12 B
039 91 R/S
040 99 PRT
041 42 STD
042 05 05
043 91 R/S
044 99 PRT
045 42 STD
046 06 06
047 32 X:T
048 91 R/S
049 99 PRT
050 42 STD

```

```

051 07 07
052 37 P/R
053 42 STD
054 09 09
055 32 X:T
056 42 STD
057 08 08
058 91 R/S
059 99 PRT
060 42 STD
061 10 10
062 91 R/S
063 99 PRT
064 42 STD
065 11 11
066 91 R/S
067 99 PRT
068 42 STD
069 12 12
070 91 R/S
071 99 PRT
072 42 STD
073 15 15

```

Berechnung:

$$\sqrt{v_{xi}^2 + v_{yi}^2}$$

```

074 76 LBL
075 43 RCL
076 43 RCL
077 08 08
078 33 X²
079 85 +
080 43 RCL
081 09 09
082 33 X²
083 95 =
084 34 Fx
085 42 STD
086 18 18

```

 $\Delta v_{xi}, v_{xi}$

```

087 43 RCL
088 00 00
089 65 X
090 43 RCL
091 08 08
092 65 X
093 43 RCL
094 18 18
095 65 X
096 43 RCL
097 05 05

```

```

098 94 +/-
099 95 =
100 42 STD
101 13 13
102 44 SUM
103 08 08

```

 $\Delta v_{yi}, v_{yi}$

```

104 43 RCL
105 00 00
106 65 X
107 43 RCL
108 09 09
109 65 X
110 43 RCL
111 18 18
112 85 +
113 43 RCL
114 17 17
115 95 =
116 65 X
117 43 RCL
118 05 05
119 94 +/-
120 95 =
121 42 STD
122 14 14
123 44 SUM
124 09 09

```

 α_i, v_i

```

125 43 RCL
126 08 08
127 32 X:T
128 43 RCL
129 09 09
130 22 INV
131 37 P/R
132 42 STD
133 07 07
134 32 X:T
135 42 STD
136 06 06

```

 $\Delta x_i, x_i$

```

137 43 RCL
138 08 08
139 65 X
140 43 RCL
141 05 05
142 95 =
143 44 SUM
144 10 10

```

 $\Delta y_i, y_i$

```

145 43 RCL
146 09 09
147 65 X
148 43 RCL
149 05 05
150 95 =
151 44 SUM
152 11 11

```

 t_i

```

153 43 RCL
154 05 05
155 44 SUM
156 12 12
157 44 SUM
158 16 16

```

Abfrage auf Ausdruck

```

159 43 RCL
160 15 15
161 32 X:T
162 43 RCL
163 16 16
164 66 PAU
165 22 INV
166 77 GE
167 43 RCL

```

Ausdruck

```

168 98 ADV
169 43 RCL
170 10 10
171 99 PRT
172 43 RCL
173 11 11
174 99 PRT
175 43 RCL
176 07 07
177 99 PRT
178 43 RCL
179 06 06
180 99 PRT
181 43 RCL
182 12 12
183 99 PRT
184 00 0
185 42 STD
186 16 16
187 61 GTD
188 43 RCL

```


Damit ergibt sich in (4.1.15) eingesetzt

$$m a_y = -\frac{1}{2} c_w \delta_m A v_y \sqrt{v_x^2 + v_y^2} + m g - m \frac{\delta_m}{\delta_k} g \quad (4.1.18)$$

$$= -\frac{1}{2} c_w \delta_m A v_y \sqrt{v_x^2 + v_y^2} + m g \left(1 - \frac{\delta_m}{\delta_k}\right).$$

(4.1.19)

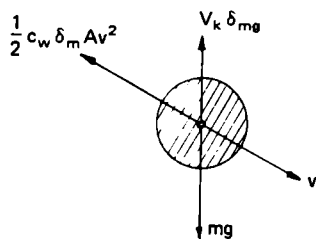


Bild 4.4 Sinkender Massenpunkt

Unter Definition einer reduzierten Erdbeschleunigung

$$g' = g \left(1 - \frac{\delta_m}{\delta_k}\right) \quad (4.1.20)$$

erhalten wir

$$m a_y = -\frac{1}{2} c_w \delta_m A v_y \sqrt{v_x^2 + v_y^2} - m g' \quad (4.1.21)$$

wiederum die alte Gleichung (4.1.9). Damit kann das zuvor aufgestellte Programm auch für diese Fälle Anwendung finden.

Nach Eingabe der Grundwerte c_w , δ , A und m durch Programmteil A, erscheint in der Anzeige 9.81 und weist damit darauf hin, dass die Erdbeschleunigung im Speicher 17 abgelegt wurde. Sie kann nun mit

$$g' \text{ STO } 17$$

korrigiert werden. Sie können sich auch noch ein zusätzliches Hilfsprogramm schreiben, das g' bestimmt und in Speicher 17 ablegt.

4.1.2 Das mathematische Pendel als erzwungene Bewegung

Unter einem mathematischen Pendel versteht man die idealisierte Aufhängung eines Massenpunktes an einem gewichtslosen und unelastischen Faden (Fadenpendel). Durch Auslenkung aus seiner stabilen Gleichgewichtslage vollführt das Pendel unter Vernachlässigung von Luftwiderstand, etc. eine schwingende Bewegung um diese Ruhelage. Nach den Ausführungen unter 3.2 der Kinematik hatten wir für die Bewegung eines Massenpunktes auf gekrümmter Bahn eine Tangential- und Normalbeschleunigung gefunden. In unserem Fall ergeben sie sich aus dem Ansatz

$$m a_t = -m g \sin \varphi \quad (4.1.22)$$

und

$$m a_n = S - m g \cos \varphi. \quad (4.1.23)$$

Für eine Kreisbewegung ergibt sich die Tangential- und Normalbeschleunigung aus

$$a_t = l \dot{\omega} \quad (4.1.24)$$

und

$$a_n = l \dot{\varphi}^2. \quad (4.1.25)$$

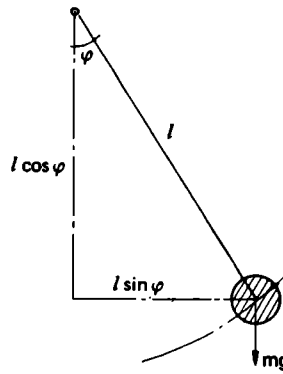
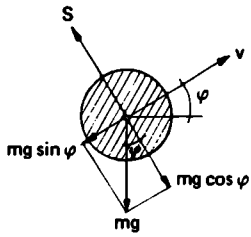


Bild 4.5
Mathematisches Pendel

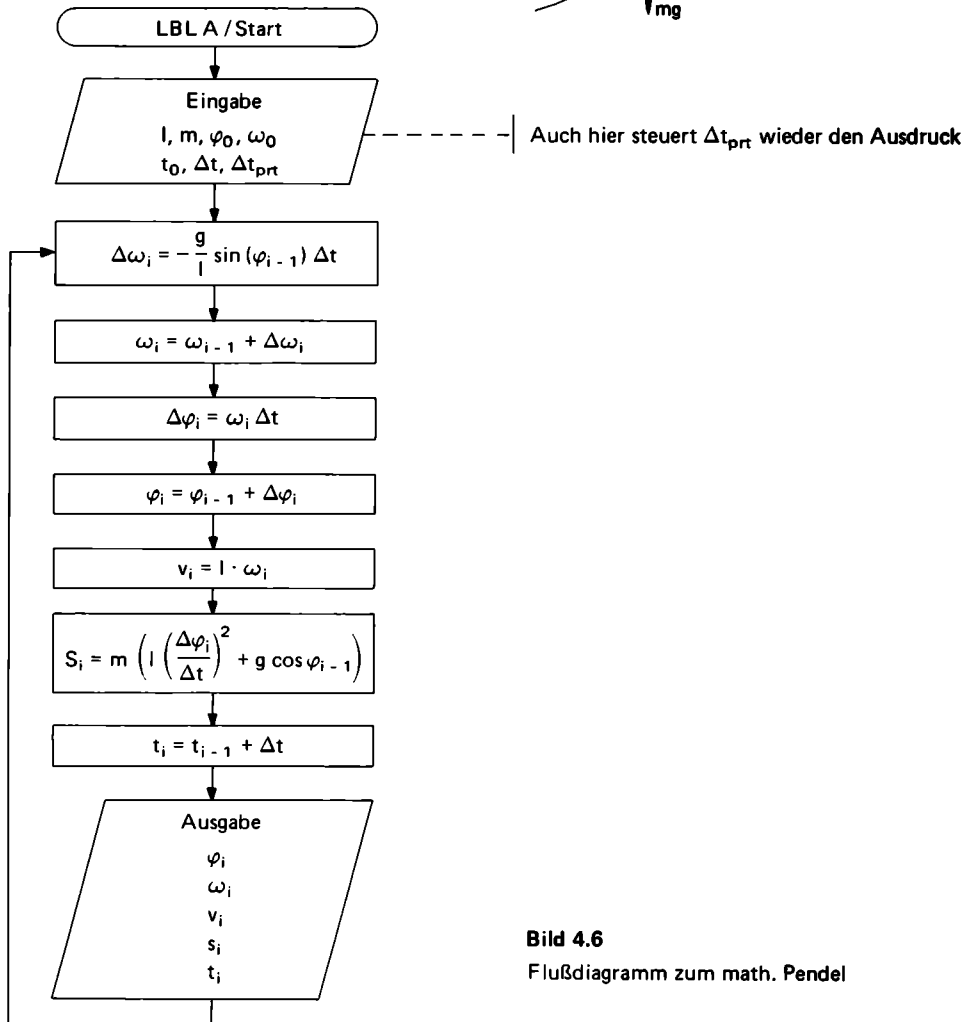


Bild 4.6
Flußdiagramm zum math. Pendel

Mithin erhalten wir eingesetzt

$$m l \dot{\omega} = -m g \sin \varphi \quad (4.1.26)$$

$$= -\frac{g}{l} \sin \varphi \quad (4.1.27)$$

$$\frac{d\omega}{dt} = -\frac{g}{l} \sin \varphi \quad (4.1.28)$$

und

$$m l \dot{\varphi}^2 = S - m g \cos \varphi \quad (4.1.29)$$

$$S = m (l \dot{\varphi}^2 + g \cos \varphi) \quad (4.1.30)$$

liefert die Seilkraft. Nach der bewährten Euler-Cauchy-Methode folgt

$$\Delta \omega = -\frac{g}{l} \sin(\varphi) \Delta t \quad (4.1.31)$$

$$S = m \left(l \left(\frac{\Delta \varphi}{\Delta t} \right)^2 + g \cos \varphi \right). \quad (4.1.32)$$

und damit der in Bild 4.6 dargestellte Berechnungsalgorithmus.

Tabelle 4.4 Speicherplatzbelegung

| | | | |
|----------------------------|--------------|------|------------------------------|
| 00 Zähler | 03 t | 06 l | 09 $\Delta \varphi$ |
| 01 Δt_{prt} | 04 ω | 07 m | 10 s |
| 02 Δt | 05 φ | 08 g | 11 $\Delta t_{\text{vorh.}}$ |

4.1.3 Gravitation und Planetenbewegung, als die Bewegung eines Massenpunktes unter Einfluß einer Zentralkraft

Aus den von Kepler gefundenen Gesetzen über die Planetenbewegungen leitete Newton ein Gesetz über die Kraftwirkung zwischen Sonne und Planet ab. Dies hat allgemeine Gültigkeit für die Wechselbeziehung beliebiger Massenpunkte und ist unter dem Begriff Gravitationsgesetz bekannt. Danach schreiben wir jedem Massenpunkt ein Gravitationsfeld zu, in dem dieser andere Massen anzieht.

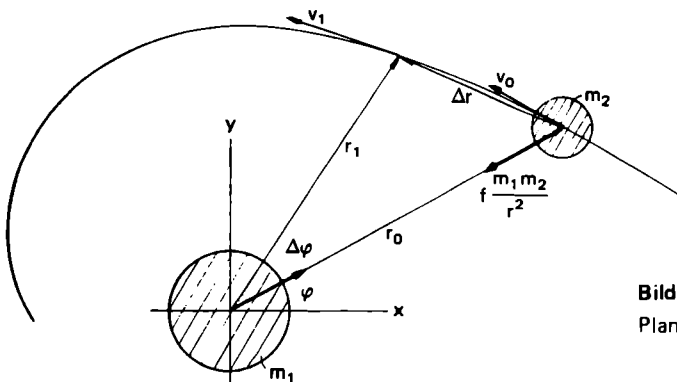


Bild 4.7
Planetenbewegung

Tabelle 4.5
Programm Mathematisches Pendel
Start/Eingabe

```

000 76 LBL
001 11 R
002 47 CMS
003 07 7
004 42 STD
005 00 00
006 91 R/S
007 99 PRT
008 72 ST*
009 00 00
010 97 DSZ
011 00 00
012 00 00
013 06 06
014 98 ADV
015 09 9
016 93 .
017 08 8
018 01 1
019 42 STD
020 08 08

```

Start/Berechnung
 $\Delta\omega_j, \omega_j$

```

021 76 LBL
022 43 RCL
023 43 RCL
024 08 08
025 94 +/-
026 55 +
027 43 RCL
028 06 06

```

```

029 65 x
030 43 RCL
031 05 05
032 38 SIN
033 65 x
034 43 RCL
035 02 02
036 95 =
037 44 SUM
038 04 04

```

 $\Delta\varphi_j, s_j$

```

039 43 RCL
040 04 04
041 65 x
042 43 RCL
043 02 02
044 95 =
045 55 +
046 32 X↑T
047 43 RCL
048 02 02
049 95 =
050 33 X²
051 65 x
052 43 RCL
053 06 06
054 85 +
055 43 RCL
056 08 08
057 65 x
058 43 RCL

```

```

059 05 05
060 39 COS
061 95 =
062 65 x
063 43 RCL
064 07 07
065 95 =
066 42 STD
067 10 10
068 32 X↑T
069 65 x
070 01 1
071 08 8
072 00 0
073 55 ÷
074 89 π
075 95 =
076 44 SUM
077 05 05

```

 t_j

```

078 43 RCL
079 02 02
080 44 SUM
081 03 03
082 44 SUM
083 11 11

```

Abfrage/Ausdruck

```

084 43 RCL
085 01 01
086 32 X↑T

```

```

087 43 RCL
088 11 11
089 66 PRN
090 22 INV
091 77 GE
092 43 RCL

```

Ausdruck

```

093 98 ADV
094 43 RCL
095 05 05
096 99 PRT
097 43 RCL
098 04 04
099 99 PRT
100 65 x
101 43 RCL
102 06 06
103 95 =
104 99 PRT
105 43 RCL
106 10 10
107 99 PRT
108 43 RCL
109 03 03
110 99 PRT
111 00 0
112 42 STD
113 11 11
114 61 GTD
115 43 RCL

```

Wir wollen für unser Programm den umgekehrten Weg gehen und über ein Zweikörperproblem zu den Planetenbewegungen kommen. Nach dem Gravitationsgesetz herrscht zwischen den Massen m_1 und m_2 die Gravitationskraft

$$F = f m_1 m_2 \frac{1}{r^2}. \quad (4.1.33)$$

Die darin enthaltene Gravitationskonstante beträgt $f = 6.67E-11 \text{ km}^3 \text{ kg}^{-1} \text{ s}^{-2}$. Nach dem d'Alembertschen Prinzip erhalten wir für den Massenpunkt m_2

$$F = f m_1 m_2 \frac{1}{r^2} = m_2 a. \quad (4.1.34)$$

Und daraus die infinitesimale Geschwindigkeitsänderung

$$dv = f m_1 \frac{1}{r^2} dt. \quad (4.1.35)$$

Nach altbewährtem Muster folgt

$$\Delta v = f m_1 \frac{1}{r^2} \Delta t. \quad (4.1.36)$$

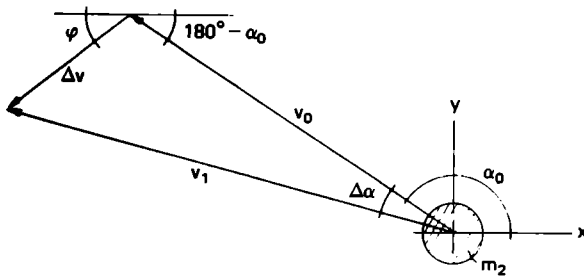


Bild 4.8
Geschwindigkeitsplan

Für die Geschwindigkeiten ergeben sich unter Betrachtung von Bild 4.8 und der Tatsache, daß es sich hier um ebene Bahnen handelt, die Beziehungen nach dem Cosinussatz

$$v_1 = \sqrt{v_0^2 + \Delta v^2 - 2v_0 \Delta v \cos(\alpha - \varphi)}. \quad (4.1.37)$$

Nach dem Sinussatz folgt weiterhin

$$\Delta \alpha = \arcsin \left(\frac{\Delta v}{v_1} \sin(\alpha - \varphi) \right). \quad (4.1.38)$$

Durch erneute Anwendung des Cosinussatzes ergibt sich damit, nach Bild 4.7, auch die neue Entfernung

$$r_1 = \sqrt{r_0^2 + \Delta r^2 - 2r_0 \Delta r \cos(180 + \varphi - \alpha)}. \quad (4.1.39)$$

Und letztlich ergibt eine nochmalige Anwendung des Sinussatzes den in der Zeitdifferenz Δt überstrichenen Winkel

$$\Delta \varphi = \arcsin \left(\frac{\Delta r}{r_1} \sin(180 + \varphi - \alpha) \right). \quad (4.1.40)$$

Damit liegt unser Berechnungsalgorithmus in Bild 4.9 fest. Wie immer folgen Speicherplatzbelegung und Rechnerprogramm in Tabelle 4.6 und 4.7.

Eine Diskussion der Keplergesetze erfolgt in Anwendungsbeispiel 4.1.5–5–.

Das Programm wird auch hier wieder aus Einfachheitsgründen, nach Beendigung der gewünschten Ausgaben, durch R/S gestoppt.

Dieses Programm läßt sich auch leicht zu einem Mehrkörperproblem umfunktionieren. Es müssen lediglich die Gravitationskräfte der Massen beachtet werden. Deren Komponenten bezüglich eines gewählten Koordinatensystems sind dann zu bestimmen, ähnlich dem Programm Raketenbewegung.

Tabelle 4.6 Speicherplatzbelegung

| | | | |
|----------------------------|--------------|-------------------|--|
| 00 Zähler | 04 v | 08 m ₂ | 12 $\alpha - \varphi / 180 + \varphi - \alpha$ |
| 01 Δt_{prt} | 05 α | 09 m ₁ | 13 Δr |
| 02 Δt | 06 φ | 10 f | 14 $\Delta \alpha$ |
| 03 t | 07 r | 11 $\Delta v / F$ | 15 $\Delta t_{\text{vorh.}}$ |

Wird eine Masse tangential zur Erdkrümmung von der Erde abgeschossen, so ist die Startgeschwindigkeit für ihre Flugbahn grundlegend. Aus dem Energiesatz, unter Vernachlässigung des Luftwiderstandes, ergeben sich die in Bild 4.10 dargestellten und nur für die Erde zutreffenden Grenzggeschwindigkeiten. Danach ist eine Mindestgeschwindigkeit von 7.9 km/s notwendig, um die Erde umrunden zu können. Man spricht von der ersten kosmischen Geschwindigkeit. Die zweite kosmische Geschwindigkeit von 11.2 km/s erlaubt das Verlassen des Gravitationsfeldes der Erde.

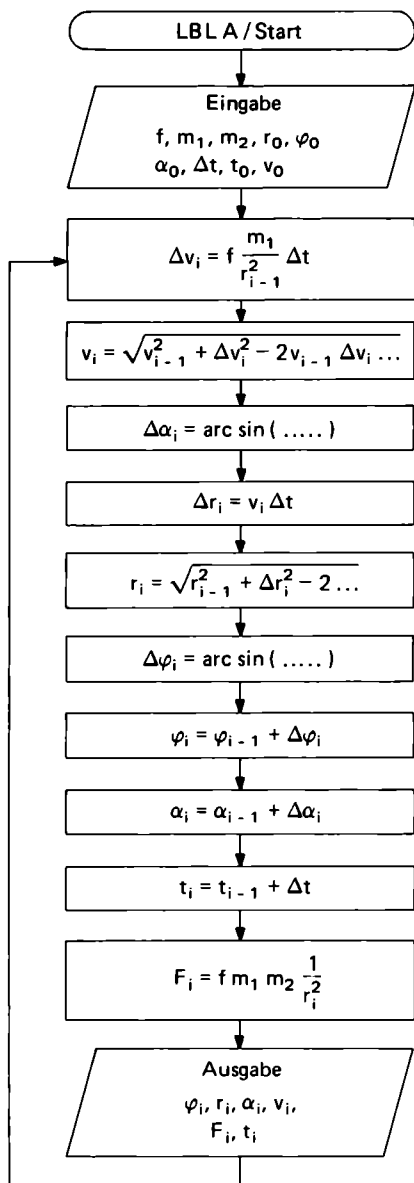


Bild 4.9
Flußdiagramm zur Planetenbewegung

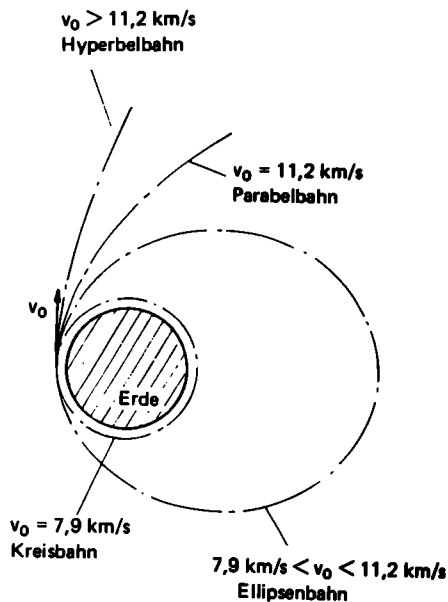


Bild 4.10
Flugbahnen tangential abgeschossener
Erdsatelliten

Tabelle 4.7
Programm Planetenbewegung

Start/Eingabe

```
000 76 LBL
001 11 A
002 47 CMS
003 01 1
004 00 0
005 42 STD
006 00 00
007 91 R/S
008 99 PRT
009 72 ST*
010 00 00
011 97 DSZ
012 00 00
013 00 00
014 06 06
015 98 ADV
```

Berechnung

```
 $\Delta v_i$ 
016 76 LBL
017 43 RCL
018 43 RCL
019 10 10
020 65  $\times$ 
021 43 RCL
022 09 09
023 55  $\div$ 
024 43 RCL
025 07 07
026 33  $\times^2$ 
027 65  $\times$ 
028 43 RCL
029 02 02
030 95 =
031 42 STD
032 11 11
```

v_i

```
033 33  $\times^2$ 
034 85 +
035 43 RCL
036 04 04
037 33  $\times^2$ 
038 75 -
039 02 2
040 65  $\times$ 
041 43 RCL
042 04 04
043 65  $\times$ 
044 43 RCL
045 11 11
046 65  $\times$ 
047 53  $\langle$ 
```

```
048 43 RCL
049 05 05
050 75 -
051 43 RCL
052 06 06
053 54  $\rangle$ 
054 42 STD
055 12 12
056 39 CDS
057 95 =
058 34  $\Gamma X$ 
059 42 STD
060 04 04
```

$\Delta \alpha_i, \alpha_i$

```
061 35 1/X
062 65  $\times$ 
063 43 RCL
064 11 11
065 65  $\times$ 
066 43 RCL
067 12 12
068 38 SIN
069 95 =
070 22 INV
071 38 SIN
072 42 STD
073 14 14
```

Δr_i

```
074 43 RCL
075 04 04
076 65  $\times$ 
077 43 RCL
078 02 02
079 95 =
080 42 STD
081 13 13
```

r_i

```
082 33  $\times^2$ 
083 85 +
084 43 RCL
085 07 07
086 33  $\times^2$ 
087 75 -
088 02 2
089 65  $\times$ 
090 43 RCL
091 07 07
092 65  $\times$ 
093 43 RCL
094 13 13
```

```
095 65  $\times$ 
096 53  $\langle$ 
097 01 1
098 08 8
099 00 0
100 85 +
101 43 RCL
102 06 06
103 75 -
104 43 RCL
105 05 05
106 54  $\rangle$ 
107 42 STD
108 12 12
109 39 CDS
110 95 =
111 34  $\Gamma X$ 
112 42 STD
113 07 07
```

$\Delta \varphi_i, \varphi_i$

```
114 35 1/X
115 65  $\times$ 
116 43 RCL
117 13 13
118 65  $\times$ 
119 43 RCL
120 12 12
121 38 SIN
122 95 =
123 95 =
124 22 INV
125 38 SIN
126 44 SUM
127 06 06
```

α_i

```
128 43 RCL
129 14 14
130 44 SUM
131 05 05
```

F_i

```
132 43 RCL
133 10 10
134 65  $\times$ 
135 43 RCL
136 09 09
137 65  $\times$ 
138 43 RCL
139 08 08
140 55  $\div$ 
141 43 RCL
```

```
142 07 07
143 33  $\times^2$ 
144 95 =
145 42 STD
146 11 11
```

t_i

```
147 43 RCL
148 02 02
149 44 SUM
150 15 15
151 44 SUM
152 03 03
```

Abfrage/Ausdruck

```
153 43 RCL
154 01 01
155 32  $\times \uparrow T$ 
156 43 RCL
157 15 15
158 66 PRN
159 22 INV
160 77 GE
161 43 RCL
```

Ausdruck

```
162 22 INV
163 52 EE
164 98 ADV
165 43 RCL
166 06 06
167 99 PRT
168 43 RCL
169 07 07
170 99 PRT
171 43 RCL
172 05 05
173 99 PRT
174 43 RCL
175 04 04
176 99 PRT
177 43 RCL
178 11 11
179 99 PRT
180 43 RCL
181 03 03
182 99 PRT
183 00 0
184 42 STD
185 15 15
186 61 GTO
187 43 RCL
```

4.1.4 Die Raketenbewegung, als die Bewegung eines Massenpunktes mit veränderlicher Masse

Die Raketenbewegung stellt das einzige uns bekannte Prinzip dar, die Beschleunigung eines Fahrzeuges, ohne zu Hilfenahme von Reibungskräften, durchzuführen. Daher funktioniert dieses Prinzip auch im kräftefreien Raum. Die erreichbare Raketengeschwindigkeit ergibt sich nach dem Impulssatz aus der Geschwindigkeit und der Anzahl der Masseteilchen austretender Verbrennungsgase. Die Rakete erhält unter Betrachtung von Bild 4.11 das Impulsdifferential

$$(m_1 + m_2) dv = -v_s dm. \quad (4.1.41)$$

Die Integration liefert

$$\int_{v_a}^{v_e} \frac{dv}{v_s} = - \int_{m_1+m_2}^{m_1} \frac{dm}{m_1+m_2} = \int_{m_1}^{m_1+m_2} \frac{dm}{m_1+m_2}, \quad (4.1.42)$$

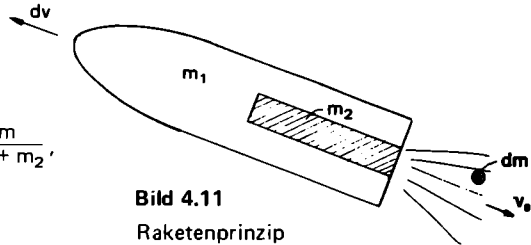


Bild 4.11
Raketenprinzip

mit dem Index e für End- und a für Anfangszustand. Unter der Voraussetzung konstanter Ausströmgeschwindigkeit v_s folgt

$$\frac{1}{v_s} |v|_{v_a}^{v_e} = |\ln(m)|_{m_1}^{m_1+m_2} \quad (4.1.43)$$

$$\frac{1}{v_s} (v_e - v_a) = \ln \frac{m_1 + m_2}{m_1} = \ln \left(1 + \frac{m_2}{m_1} \right). \quad (4.1.44)$$

Mit der Annahme, daß die Startgeschwindigkeit $v_a = 0$ ist, z. B. bei einem Start von der Erde auf einer Rampe, folgt

$$1 + \frac{m_2}{m_1} = \left(\frac{v_e}{v_s} \right). \quad (4.1.45)$$

Diese Formel ist für die Auslegung einer Rakete von großer Bedeutung. Bei Beachtung der konstruktiv vorliegenden Ausströmgeschwindigkeit und der Raketenendgeschwindigkeit, als Voraussetzung des Bahnverlaufs (siehe 4.1.3), ergibt sich unter Vernachlässigung von Strömungswiderständen der Nutzlast/Brennstoffmasse-Quotient.

Die Bewegungsgleichung der Rakete erhalten wir nach Bild 4.12 unter Einfluß der Gravitationskraft zum Zentralkörper M und der Impulskraft des Antriebes aus

$$m a = \frac{dm}{dt} v_s + f M m \frac{1}{r^2}. \quad (4.1.46)$$

In Komponentenschreibweise heißt dies

$$m a_x = \frac{dm}{dt} v_s \cos \alpha + f M m \frac{1}{r^2} \cos (180 + \varphi) \quad (4.1.47)$$

und

$$m a_y = \frac{dm}{dt} v_s \sin \alpha + f M m \frac{1}{r^2} \sin (180 + \varphi). \quad (4.1.48)$$

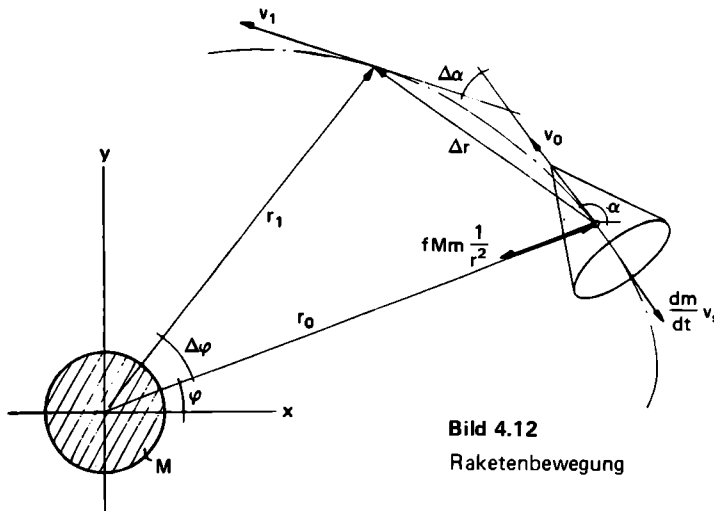


Bild 4.12
Raketenbewegung

Unter der Annahme, daß die Menge der in der Zeiteinheit dt erzeugten Verbrennungsgase konstant ist, also

$$\frac{dm}{dt} = u = \text{const.} \quad (4.1.49)$$

und damit für die Raketenmasse

$$m = m_0 - ut \quad (4.1.50)$$

gilt, folgt nach altem Prinzip

$$\Delta v_x = \left(\frac{u v_s \cos \alpha}{m_0 - ut} + f M \frac{\cos (180 + \varphi)}{r^2} \right) \Delta t \quad (4.1.51)$$

und

$$\Delta v_y = \left(\frac{u v_s \sin \alpha}{m_0 - ut} + f M \frac{\sin (180 + \varphi)}{r^2} \right) \Delta t. \quad (4.1.52)$$

Damit liegt unser Berechnungsprozeß wiederum fest und die Programmierung folgt wie in den vorangegangenen Ausführungen. In Bild 4.13 folgt das Flußdiagramm und in den Tabellen 4.8 und 4.9 Speicherplatzbelegung und Rechnerprogramm.

Tabelle 4.8 Speicherplatzbelegung

| | | | | |
|-----------------------------|--------------|----------|----------|--------------|
| 00 Δt_{vorh} | 04 v | 08 u | 12 f | 16 x |
| 01 Δt_{prt} | 05 α | 09 v_s | 13 v_y | 17 F |
| 02 Δt | 06 r | 10 m | 14 v_x | 18 Zwischen- |
| 03 t | 07 φ | 11 M | 15 y | 19 werte |

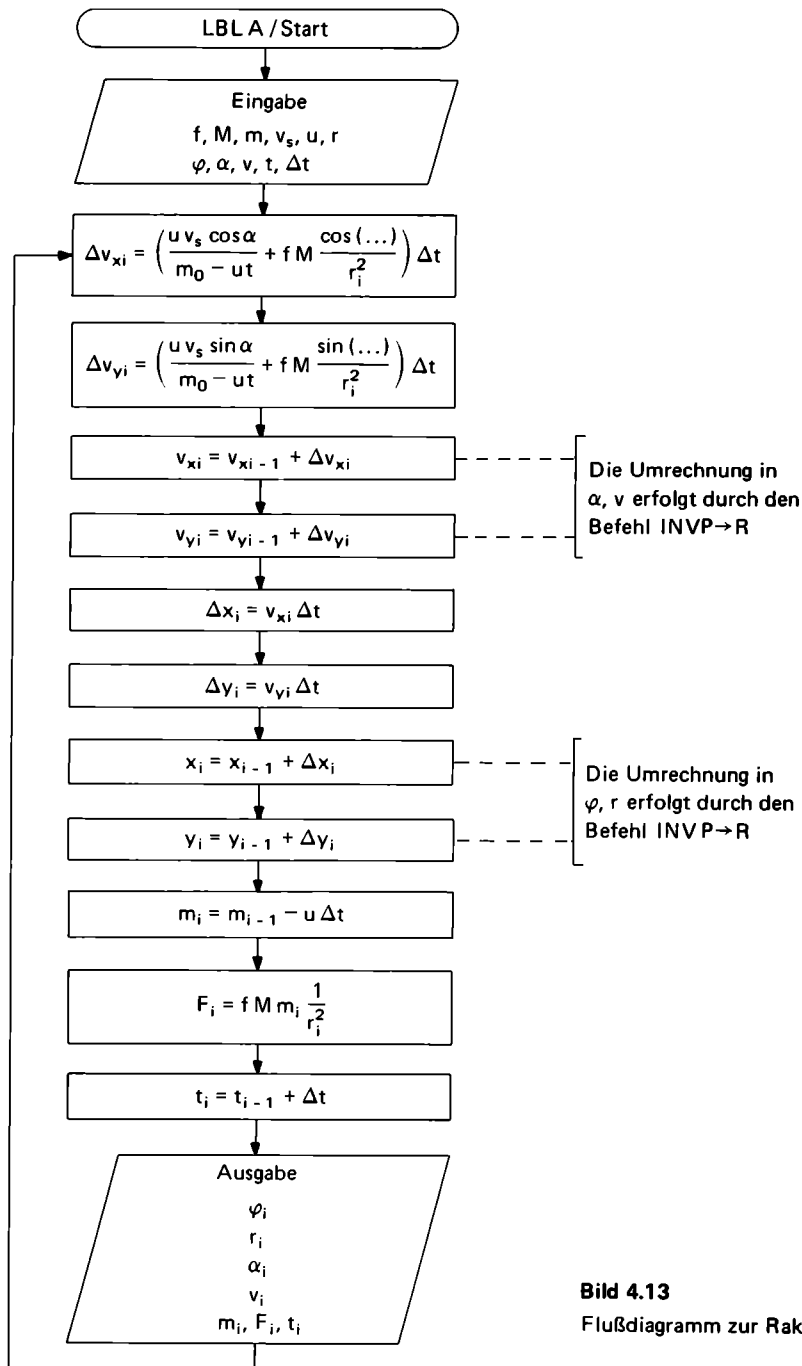


Bild 4.13
Flußdiagramm zur Raketenbewegung

Tabelle 4.9

Programm Raketenbewegung

Start/Eingabe

000 76 LBL
 001 11 R
 002 47 CMS
 003 01 1
 004 02 2
 005 42 STD
 006 00 00
 007 91 R/S
 008 99 PRT
 009 72 ST*
 010 00 00
 011 97 DSZ
 012 00 00
 013 00 00
 014 06 06
 015 98 ADV

Umrechnung

016 43 RCL
 017 06 06
 018 32 X:T
 019 43 RCL
 020 07 07
 021 37 P/R
 022 42 STD
 023 15 15
 024 32 X:T
 025 42 STD
 026 16 16
 027 43 RCL
 028 04 04
 029 32 X:T
 030 43 RCL
 031 05 05
 032 37 P/R
 033 42 STD
 034 13 13
 035 32 X:T
 036 42 STD
 037 14 14

Berechnung

 $\Delta v_{xi}, v_{xi}$

038 76 LBL
 039 43 RCL
 040 43 RCL
 041 08 08
 042 65 ×
 043 43 RCL
 044 09 09
 045 55 ÷
 046 43 RCL
 047 10 10
 048 65 ×
 049 42 STD
 050 19 19
 051 43 RCL
 052 05 05
 053 39 COS
 054 85 +

055 43 RCL
 056 12 12
 057 65 ×
 058 43 RCL
 059 11 11
 060 55 ÷
 061 43 RCL
 062 06 06
 063 33 X²
 064 65 ×
 065 42 STD
 066 18 18
 067 53 ()
 068 01 1
 069 08 8
 070 00 0
 071 75 -
 072 43 RCL
 073 07 07
 074 54)
 075 39 COS
 076 95 =
 077 65 ×
 078 43 RCL
 079 02 02
 080 95 =
 081 44 SUM
 082 14 14
 083 43 RCL
 084 19 19
 085 65 ×
 086 43 RCL
 087 05 05
 088 38 SIN
 089 85 +
 090 43 RCL
 091 18 18
 092 65 ×
 093 53 ()
 094 01 1
 095 08 8
 096 00 0
 097 85 +
 098 43 RCL
 099 07 07
 100 54)
 101 38 SIN
 102 95 =
 103 65 ×
 104 43 RCL
 105 02 02
 106 95 =
 107 44 SUM
 108 13 13
 109 43 RCL
 110 14 14

111 65 ×
 112 43 RCL
 113 02 02
 114 95 =
 115 44 SUM
 116 16 16
 117 43 RCL
 118 13 13
 119 65 ×
 120 43 RCL
 121 02 02
 122 95 =
 123 44 SUM
 124 15 15

 m_i

125 43 RCL
 126 08 08
 127 94 +/-
 128 65 ×
 129 43 RCL
 130 02 02
 131 95 =
 132 44 SUM
 133 10 10

Umrechnung

134 43 RCL
 135 14 14
 136 32 X:T
 137 43 RCL
 138 13 13
 139 22 INV
 140 37 P/R
 141 42 STD
 142 05 05
 143 32 X:T
 144 42 STD
 145 04 04
 146 43 RCL
 147 16 16
 148 32 X:T
 149 43 RCL
 150 15 15
 151 22 INV
 152 37 P/R
 153 42 STD
 154 07 07
 155 32 X:T
 156 42 STD
 157 06 06

 F_i

158 43 RCL
 159 12 12
 160 65 ×
 161 43 RCL
 162 11 11

163 65 ×
 164 43 RCL
 165 10 10
 166 55 ÷
 167 43 RCL
 168 06 06
 169 33 X²
 170 95 =
 171 42 STD
 172 17 17

 t_i

173 43 RCL
 174 02 02
 175 44 SUM
 176 03 03
 177 44 SUM
 178 00 00

Abfrage/Ausdruck

179 43 RCL
 180 01 01
 181 32 X:T
 182 43 RCL
 183 00 00
 184 66 PRN
 185 22 INV
 186 77 GE
 187 43 RCL

Ausdruck

188 98 ADV
 189 43 RCL
 190 07 07
 191 99 PRT
 192 43 RCL
 193 06 06
 194 99 PRT
 195 43 RCL
 196 05 05
 197 99 PRT
 198 43 RCL
 199 04 04
 200 99 PRT
 201 43 RCL
 202 10 10
 203 99 PRT
 204 43 RCL
 205 17 17
 206 99 PRT
 207 43 RCL
 208 03 03
 209 99 PRT
 210 00 0
 211 42 STD
 212 00 00
 213 61 GTD
 214 43 RCL

4.1.5 Anwendungsbeispiele

– 1 –

Ein Ball wird unter den Anfangswinkeln $\alpha_0 = 30^\circ$ und $\alpha_0 = 60^\circ$ mit der gleichen Anfangsgeschwindigkeit $v_0 = 20 \text{ m/s}$ fortgeworfen. Seine Ansichtsfläche ist $A = 0.01 \text{ m}^2$ und seine Masse $m = 3 \text{ kg}$. Sein Luftwiderstandskoeffizient wird mit 0.4 angenommen. Die Luftdichte beträgt 1.293 kg/m^3 .

| | | | | | |
|------------|-------------|-------------------------|-------------|--------------|--------------|
| A Eingabe: | 0.4 | c_w | 6.921034104 | 17.27800566 | 27.60685384 |
| | 1.293 | δ | 3.191960487 | 5.029120069 | 3.334398783 |
| | 0.01 | A | 19.31879245 | .5486105069 | -18.38376324 |
| | 3. | m | 18.31745404 | 17.23929312 | 18.11594929 |
| | | | 0.4 | 1. | 1.6 |
| B Eingabe: | 0.01 | Δt | | | |
| | 20. | v_0 | 10.37653061 | 20.72408113 | 31.04341409 |
| | 30. | α_0 | 4.19738184 | 4.856166064 | 1.986341527 |
| | 0. | x_0 | 13.33337146 | -5.954041558 | -24.06195427 |
| | 0. | y_0 | 17.74822929 | 17.31643266 | 18.80935427 |
| | 0. | t_0 | 0.6 | 1.2 | 1.8 |
| | 0.2 | Δt_{prt} | | | |
| | | | 13.82883177 | 24.16704721 | 34.47660735 |
| Ausgabe: | | | 4.809644264 | 4.291136957 | .2473903322 |
| | | | 7.031447309 | -12.31255538 | -29.28461915 |
| | 3.462237037 | x | 17.38478662 | 17.61249094 | 19.67179151 |
| | 1.792979786 | y | 0.8 | 1.4 | 2. |
| | 24.89191924 | α | | | |
| | 19.07487719 | v | | | |
| | 0.2 | t | | | |
| | | | | | 37.90628321 |
| | | | | | -1.881985082 |
| | | | | | -34.02856163 |
| | | | | | 20.6812462 |
| | | | | | 2.2 |

Die Berechnung mit dem zweiten Wurfwinkel ergibt:

| | | | | | |
|-------------|-------------|--------------|--------------|--------------|--|
| | 0.4 | | | | |
| 1.293 | 5.97120184 | 13.86260642 | 21.69530608 | 29.46821529 | |
| 0.01 | 8.552491371 | 14.38396098 | 13.91500311 | 7.197018771 | |
| 3. | 48.75813407 | 19.03460925 | -24.53965867 | -51.65762897 | |
| | 15.03235819 | 10.39342043 | 10.72604544 | 15.58903846 | |
| 0.01 | 0.6 | 1.4 | 2.2 | 3. | |
| 20. | | | | | |
| 60. | 7.950575069 | 15.82581641 | 23.64480534 | 31.39956536 | |
| 0. | 10.60433112 | 14.85537886 | 12.81905048 | 4.549393918 | |
| 0. | 43.30038583 | 8.257493189 | -33.33871715 | -55.72772996 | |
| 0. | 13.58324307 | 9.91072307 | 11.65675148 | 17.12519042 | |
| 0.2 | 0.8 | 1.6 | 2.4 | 3.2 | |
| 1.996483776 | 9.925313716 | 17.78566408 | 25.59038431 | 33.32521974 | |
| 3.252216273 | 12.25938776 | 14.93390535 | 11.33328846 | 1.517744686 | |
| 56.92575273 | 36.63646513 | -3.153411845 | -40.68014884 | -59.10554626 | |
| 18.26377072 | 12.29179898 | 9.80621736 | 12.81452442 | 18.72393803 | |
| 0.2 | 1. | 1.8 | 2.6 | 3.4 | |
| 3.986688411 | 11.89586597 | 19.74219018 | 27.53166498 | 35.24466655 | |
| 6.102371439 | 13.51891761 | 14.62021575 | 9.458834855 | -1.895912267 | |
| 53.23310975 | 28.56923826 | -14.34065788 | -46.71329733 | -61.93613172 | |
| 16.60154165 | 11.20813536 | 10.08902756 | 14.1406747 | 20.36683276 | |
| 0.4 | 1.2 | 2. | 2.8 | 3.6 | |

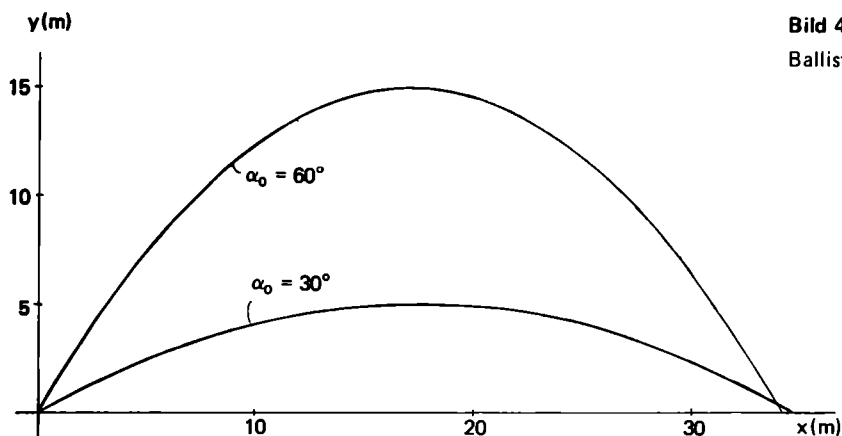


Bild 4.14
Ballistische Kurven

Bild 4.14 zeigt das Ergebnis der Berechnungen. Eine in der Ballistik als Steilschuß bezeichnete Kurve ($\alpha_0 = 60^\circ$) erreicht die gleiche Weite wie ein ‚Flachschuß‘ ($\alpha_0 = 30^\circ$). Der Einfluß des Luftwiderstandes ist hier gering sichtbar. Erst bei höheren Geschwindigkeiten weicht die Ballistische Kurve stärker von der Wurfparabel ab.

– 2 –

Ein Fallschirmspringer, $c_w = 1.5$, $A = 30 \text{ m}^2$, $m = 100 \text{ kg}$, fällt mit $v_0 = 0$ im luftgefüllten Raum von $\delta = 1.293 \text{ kg/m}^3$, aus 10000 m Höhe bei geöffnetem Fallschirm.

```
Eingabe:      1.5      cw
              1.293    δ
              30.      A
              100.     m

              0.01     Δt
              0.        v0
              0.        α0
              0.        x0
              10000.    y0
              0.        t0
              0.2       Δtprt

              0.        x
              9999.797616 y
              -90.      α
              1.895462617 v
              0.2       t
```

Natürlich wird dies kein vernünftiger Fallschirmspringer ausführen, denn er möchte ja nicht ‚stundenlang‘ obenbleiben. Bild 4.15 zeigt nämlich, daß die Sinkgeschwindigkeit sich einem Grenzwert nähert. Dieser läßt sich auch analytisch aus der Bedingung für den gleichmäßigen Fall

$$m g = \frac{1}{2} c_w \delta A v^2 \quad (4.1.53)$$

| | | | |
|---|---|---|---|
| 0. 9999.249186 -90. 3.432472025 0.4 | 0. 9988.398373 -90. 5.803785022 2.4 | 0. 9976.785471 -90. 5.806891903 4.4 | 0. 9965.171682 -90. 5.806895117 6.4 |
| 0. 9998.445358 -90. 4.473398698 0.6 | 0. 9987.237436 -90. 5.805330937 2.6 | 0. 9975.624093 -90. 5.806893502 4.6 | 0. 9964.010303 -90. 5.806895118 6.6 |
| 0. 9997.47967 -90. 5.094360592 0.8 | 0. 9986.076279 -90. 5.806108488 2.8 | 0. 9974.462714 -90. 5.806894307 4.8 | 0. 9962.848924 -90. 5.806895119 6.8 |
| 0. 9996.421303 -90. 5.436925093 1. | 0. 9984.915012 -90. 5.806499535 3. | 0. 9973.301335 -90. 5.806894711 5. | 0. 9961.687545 -90. 5.80689512 7. |
| 0. 9995.312979 -90. 5.617751637 1.2 | 0. 9983.753689 -90. 5.806696189 3.2 | 0. 9972.139956 -90. 5.806894914 5.2 | 0. 9960.526166 -90. 5.80689512 7.2 |
| 0. 9994.178608 -90. 5.71097758 1.4 | 0. 9982.592339 -90. 5.806795083 3.4 | 0. 9970.978577 -90. 5.806895017 5.4 | 0. 9959.364787 -90. 5.80689512 7.4 |
| 0. 9993.030896 -90. 5.758455494 1.6 | 0. 9981.430974 -90. 5.806844815 3.6 | 0. 9969.817198 -90. 5.806895068 5.6 | |
| 0. 9991.876411 -90. 5.782484016 1.8 | 0. 9980.269602 -90. 5.806869823 3.8 | 0. 9968.655819 -90. 5.806895094 5.8 | |
| 0. 9990.718504 -90. 5.794606274 2. | 0. 9979.108227 -90. 5.806882399 4. | 0. 9967.49444 -90. 5.806895107 6. | |
| 0. 9989.558873 -90. 5.80071209 2.2 | 0. 9977.946849 -90. 5.806888723 4.2 | 0. 9966.333061 -90. 5.806895113 6.2 | |

berechnen, wurch

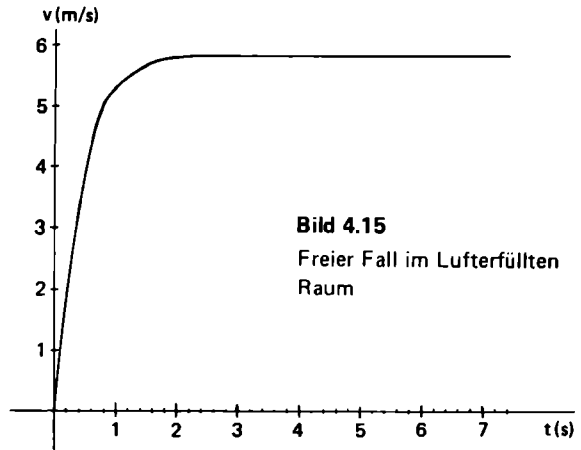
$$v_{\text{grenz}} = \sqrt{\frac{2mg}{c_w \delta A}} \quad (4.1.54)$$

In unserem Fall also

$$v_g = \sqrt{\frac{2 \cdot 100 \text{ kg} \cdot 9.81 \text{ m/s}^2}{1.5 \cdot 1.293 \text{ kg/m}^3 \cdot 30 \text{ m}^2}}$$

$$v_g = 5.80689512 \frac{\text{m}}{\text{s}}$$

Unsere Näherungsberechnung entspricht damit der Rechengenauigkeit.



— 3 —

Ein Taucher $c_w = 0.8$, $A = 0.2 \text{ m}^2$, $m = 100 \text{ kg}$, $\delta_k = 1500 \text{ kg/m}^3$ springt mit $v_0 = 1 \text{ m/s}$ ins Wasser von $\delta_m = 1000 \text{ kg/m}^3$.

Entsprechend der Ausarbeitung beträgt die zu verändernde Erdbeschleunigung

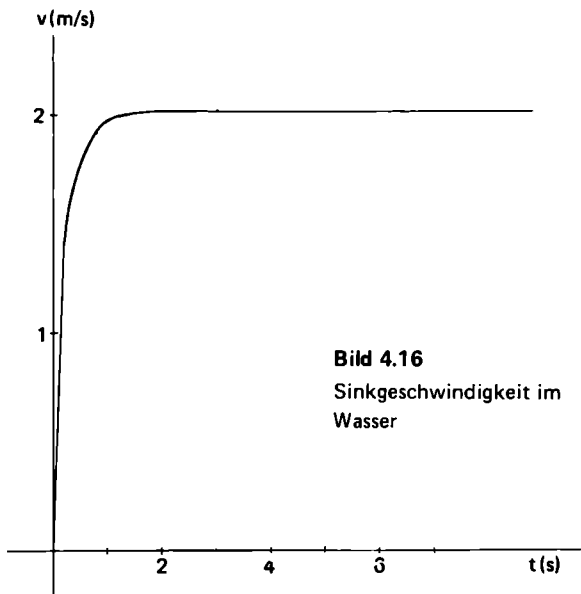
$$g' = 9.81 \frac{\text{m}}{\text{s}^2} \left(1 - \frac{1000}{1500}\right) = 3.27 \frac{\text{m}}{\text{s}^2}$$

Wie Bild 4.16 zeigt, gilt auch hier nach der Formel (4.1.54):

$$v_g = \sqrt{\frac{2 \cdot 100 \text{ kg} \cdot 3.27 \text{ m/s}^2}{0.8 \cdot 1000 \text{ kg/m}^3 \cdot 0.2 \text{ m}^2}}$$

$$v_g = 2.021756662 \frac{\text{m}}{\text{s}}$$

Eine konstante Sinkgeschwindigkeit wird hier schneller erreicht.



| | | | | | |
|----------|---------------|-------------------|--------------|--------------|--------------|
| Eingabe: | 0.8 | c _w | 0. | 0. | 0. |
| | 1000. | δ | -3.285604782 | -7.328010014 | -10.96717046 |
| | 0.2 | A | -90. | -90. | -90. |
| | 100. | m | 2.018048987 | 2.021751494 | 2.021756648 |
| | | | 1.8 | 3.8 | 5.6 |
| | 0.01 | Δt | 0. | 0. | 0. |
| | 1. | v ₀ | -3.689421468 | -7.732360601 | -11.37152179 |
| | -90. | α ₀ | -90. | -90. | -90. |
| | 0. | x ₀ | 2.019834973 | 2.021753984 | 2.021756655 |
| | 0. | y ₀ | 2. | 4. | 5.8 |
| | 0. | t ₀ | | | |
| Ausgabe: | 0.2 | Δt _{prt} | | | |
| | | | 0. | 0. | 0. |
| | 0. | x | -4.093495726 | -8.136711547 | -11.77587312 |
| | -2.2464647407 | y | -90. | -90. | -90. |
| | -90. | α | 2.020760869 | 2.021755275 | 2.021756658 |
| | 1.41680885 | v | 2.2 | 4.2 | 6. |
| | 0.2 | t | | | |
| | | | 0. | 0. | 0. |
| | 0. | | -4.49770349 | -8.54106268 | -12.18022446 |
| | -5.5600193183 | | -90. | -90. | -90. |
| | -90. | | 2.021240715 | 2.021755943 | 2.02175666 |
| | 1.683230943 | | 2.4 | 4.4 | 6.2 |
| | 0.4 | | | | |
| | | | 0. | 0. | 0. |
| | 0. | | -4.901980439 | -8.945413909 | -12.58457579 |
| | -9.144683281 | | -90. | -90. | -90. |
| | -90. | | 2.021489352 | 2.02175629 | 2.021756661 |
| | 1.838765406 | | 2.6 | 4.6 | 6.4 |
| | 0.6 | | | | |
| | | | 0. | 0. | 0. |
| | 0. | | -5.306293234 | -9.349765187 | -12.98892712 |
| | -1.292121559 | | -90. | -90. | -90. |
| | -90. | | 2.021618174 | 2.021756469 | 2.021756661 |
| | 1.924772169 | | 2.8 | 4.8 | 6.6 |
| | 0.8 | | | | |
| | | | 0. | 0. | 0. |
| | 0. | | -5.710624601 | -9.754116492 | -13.39327845 |
| | -1.68240262 | | -90. | -90. | -90. |
| | -90. | | 2.021684915 | 2.021756562 | 2.021756662 |
| | 1.970905455 | | 3. | 5. | 6.8 |
| | 1. | | | | |
| | | | 0. | 0. | 0. |
| | 0. | | -6.11496559 | -10.15846781 | -13.79762978 |
| | -2.079398742 | | -90. | -90. | -90. |
| | -90. | | 2.021719492 | 2.02175661 | 2.021756662 |
| | 1.995246516 | | 3.2 | 5.2 | 7. |
| | 1.2 | | | | |
| | | | 0. | 0. | 0. |
| | 0. | | -6.519311563 | -10.56281913 | -14.20198112 |
| | -2.479921661 | | -90. | -90. | -90. |
| | -90. | | 2.021737405 | 2.021756635 | 2.021756662 |
| | 2.007977737 | | 3.4 | 5.4 | 7.2 |
| | 1.4 | | | | |
| | | | 0. | 0. | 0. |
| | 0. | | -6.92366012 | | -14.60633245 |
| | -2.882284778 | | -90. | | -90. |
| | -90. | | 2.021746686 | | 2.021756662 |
| | 2.014606169 | | 3.6 | | 7.4 |
| | 1.6 | | | | |

Ein Fadenpendel (math. Pendel) mit einem 2 m langen Faden wird um $\varphi = 60^\circ$ ausgelenkt. Der Massenpunkt hat $m = 10 \text{ kg}$.

| | | | | |
|----------|-----------------------------|---------------|--------------|---------------|
| Eingabe: | 10. m | -17.94950204 | -42.75929885 | 53.10187358 |
| | 2. l | -2.111722529 | 1.49922489 | 1.012208585 |
| | 60. φ_0 | -4.223445058 | 2.99844978 | 2.024417169 |
| | 0. ω_0 | 183.1303343 | 115.9731639 | 80.18104 |
| | 0. t_0 | 0.9 | 1.9 | 2.8 |
| | 0.01 Δt | | | |
| | 0.1 Δt_{prt} | -29.48316851 | -33.17628847 | 57.6411507 |
| | | -1.918559004 | 1.804824479 | 0.608882631 |
| Ausgabe: | | -3.837118008 | 3.609648957 | 1.217765262 |
| | 58.66436294 φ | 159.9239933 | 146.2744446 | 60.42344959 |
| | -4.230498093 ω | 1. | 2. | 2.9 |
| | -8.8460996186 v | | | |
| | 54.24144219 s | | | |
| | 0.1 t | | | |
| | | -39.64261924 | -22.06474253 | 59.81232444 |
| | | -1.643313007 | 2.036887553 | 1.892799415 |
| | | -3.286626013 | 4.073775105 | 3.785598829 |
| | | 130.56863 | 173.1239367 | 50.20496934 |
| | 54.9337676 | 1.1 | 2.1 | 3. |
| | -8.8351873851 | | | |
| | -1.67037477 | | | |
| | 69.63890194 | -48.01852757 | -9.905013345 | 59.55930305 |
| | 0.2 | -1.305528258 | 2.17722541 | -2.2350724453 |
| | | -2.611056517 | 4.354450819 | -4.701448906 |
| | | 100.6526364 | 191.0536834 | 50.6082257 |
| | 48.9096734 | 1.2 | 2.2 | 3.1 |
| | -1.223665369 | | | |
| | -2.447330738 | | | |
| | 93.51364141 | -54.31381727 | 2.734353449 | 56.88844895 |
| | 0.3 | -1.9243599266 | 2.213348176 | -1.6535036732 |
| | | -1.848719853 | 4.426696351 | -1.307007346 |
| | | 75.04907206 | 196.0460844 | 61.59238959 |
| | 40.77579918 | 1.3 | 2.3 | 3.2 |
| | -1.572711235 | | | |
| | -3.145422469 | | | |
| | 122.739927 | -58.33340312 | 15.24072324 | 51.86971983 |
| | 0.4 | -1.5162982607 | 2.141847724 | -1.054285415 |
| | | -1.032596521 | 4.283695449 | -2.10857083 |
| | | 57.26177161 | 186.9306353 | 81.98545951 |
| | 30.81587938 | 1.4 | 2.4 | 3.3 |
| | -1.863632016 | | | |
| | -3.727264033 | | | |
| | 152.7613874 | -59.9666354 | 27.01392981 | 44.64796162 |
| | 0.5 | -1.0946978436 | 1.969392164 | -1.423072765 |
| | | -1.1893956872 | 3.938784329 | -2.846145529 |
| | | 49.35922116 | 165.8275312 | 109.3066976 |
| | 19.42538461 | 1.5 | 2.5 | 3.4 |
| | -2.076683422 | | | |
| | -4.153366843 | | | |
| | 178.0705392 | -59.17181503 | 37.51922323 | 35.46026181 |
| | 0.6 | 1.3292664185 | 1.7108081 | -1.742355467 |
| | | 1.6585328371 | 3.421616201 | -3.484710935 |
| | | 52.16353406 | 137.3559054 | 139.616595 |
| | 7.107079577 | 1.6 | 2.6 | 3.5 |
| | -2.194586747 | | | |
| | -4.389173494 | | | |
| | 193.3807 | -55.96899531 | 46.32243126 | 24.65163103 |
| | 0.7 | 1.7448512135 | 1.385245846 | -1.992508809 |
| | | 1.489702427 | 2.770491692 | -3.985017619 |
| | | 65.38981894 | 107.1022091 | 167.7281247 |
| | -5.556180858 | 1.7 | 2.7 | 3.6 |
| | -2.206647066 | | | |
| | -4.413294131 | | | |
| | 195.2107304 | -50.44354869 | | |
| | 0.8 | 1.139854598 | | |
| | | 2.279709195 | | |
| | | 87.59302671 | | |
| | | 1.8 | | |

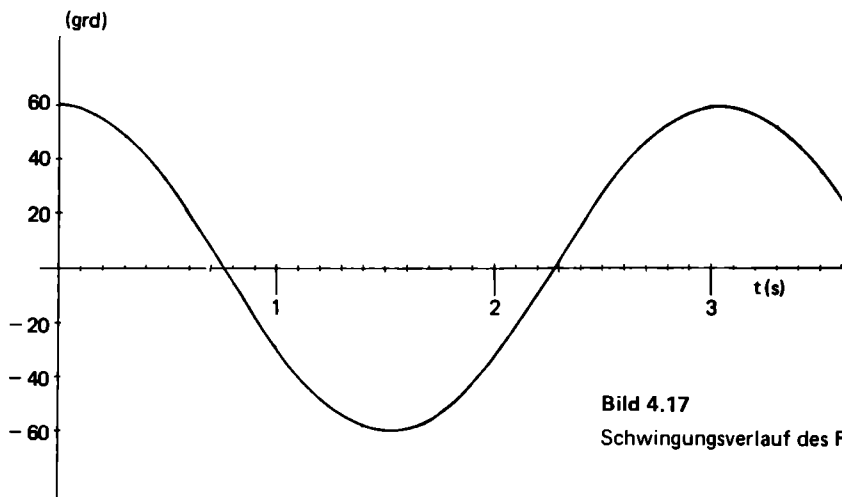


Bild 4.17
Schwingungsverlauf des Fadenpendels

Auch hier wollen wir eine Grenzwertbetrachtung anstellen. Aus der Energieumsetzung lässt sich analytisch die Geschwindigkeit des Massenpunktes im tiefsten Punkt seiner Bahn bestimmen. Nach Bild 4.18 wird das durch die Höhendifferenz h umgesetzte Energiepotential, durch die Gleichung

$$mgh = m \frac{v^2}{2} \quad (4.1.55)$$

beschrieben. Daraus folgt durch Umstellung

$$v_{\max} = \sqrt{2gh} \quad (4.1.56)$$

$$= \sqrt{\frac{2 \cdot 9.81 \frac{\text{m}}{\text{s}^2} \cdot 1 \text{ m}}{\text{s}^2}}$$

$$v_{\max} = 4.429446918 \frac{\text{m}}{\text{s}}$$

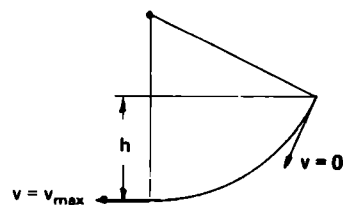


Bild 4.18 Energiebetrachtung

— 5 —

Ein Satellit von der Masse $m_2 = 1000 \text{ kg}$, soll auf einer elliptischen Bahn um die Erde ($m_1 = 5.973\text{E}24 \text{ kg}$, $f = 6.67\text{E}-20 \text{ km}^3/\text{kg s}^2$) gebracht werden. Dazu wird eine Anfangsgeschwindigkeit von $v_0 = 10 \text{ km/s}$ gewählt. Der Satellit startet tangential ($\varphi_0 = 0^\circ$, $\alpha_0 = 90^\circ$) zum mittleren Erdradius von $r_0 = 6378 \text{ km}$.

Die graphische Darstellung der Satellitenbahn zeigt Bild 4.19. Daran lassen sich nun anschaulich die drei Keplerschen Gesetze erklären.

1. Gesetz

Die Planeten bewegen sich auf elliptischen Bahnen, in deren einem Brennpunkt die Sonne steht.

Dies heißt nichts anderes, als das die Strecken

$$\overline{1n2}, \quad \text{mit} \quad n = 3, 4, 5, 6, \dots,$$

in Bild 4.19 gleich lang sind.

| | | | | | |
|----------|--------------|-------------------|--------------|--------------|--------------|
| Eingabe: | 6. 67-20 | f | 147. 0427105 | 183. 4093266 | 223. 5353261 |
| | 5. 973 24 | m ₁ | 20967. 4353 | 26480. 18507 | 18858. 14963 |
| | 1000. | m ₂ | 202. 6247471 | 277. 1462905 | 350. 1074978 |
| | 6378. | r ₀ | 3. 71997412 | 2. 437012037 | 4. 255867883 |
| | 0. | v ₀ | 0. 906207653 | . 5681674067 | 1. 12026352 |
| | 90. | α ₀ | 5000. | 11000. | 17000. |
| | 10. | v ₀ | | | |
| | 0. | t ₀ | 154. 7080562 | 188. 7270759 | 235. 6768133 |
| | 5. | Δt | 22849. 39732 | 26149. 62893 | 16065. 63391 |
| | 1000. | Δt _{prt} | 214. 0960879 | 290. 336993 | 362. 9791789 |
| | | | 3. 272606062 | 2. 514280512 | 5. 045613597 |
| Ausgabe: | | | . 7630778542 | . 5826225472 | 1. 543556801 |
| | 72. 20836605 | φ | 6000. | 12000. | 18000. |
| | 8654. 871392 | r | | | |
| | 136. 3367104 | α | 161. 32329 | 194. 2570781 | 253. 6368934 |
| | 8. 236058417 | v | 24314. 16703 | 25467. 87212 | 12744. 83276 |
| | 5. 318597327 | F | 225. 7620688 | 303. 0808843 | 378. 8366339 |
| | 1000. | t | 2. 934456239 | 2. 671969586 | 6. 195604554 |
| | | | . 6739063629 | . 6142328336 | 2. 452731827 |
| | | | 7000. | 13000. | 19000. |
| | 106. 4798458 | | | | |
| | 12387. 89231 | | | | |
| | 161. 4244459 | | 167. 2793873 | 200. 1785284 | 285. 6716908 |
| | 6. 336350213 | | 25392. 30121 | 24422. 4618 | 9066. 866319 |
| | 2. 596112488 | | 237. 9079069 | 315. 255605 | 402. 4904312 |
| | 2000. | | 2. 687308172 | 2. 912159379 | 7. 987076256 |
| | | | . 6178943532 | . 6679431045 | 4. 846228904 |
| | | | 8000. | 14000. | 20000. |
| | 125. 1863725 | | | | |
| | 15777. 33403 | | | | |
| | 177. 763171 | | 172. 8293714 | 206. 7368638 | 352. 3621698 |
| | 5. 131882031 | | 26104. 94282 | 22990. 39233 | 6589. 094663 |
| | 1. 600483157 | | 250. 621239 | 326. 9346263 | 445. 2831373 |
| | 3000. | | 2. 52331535 | 3. 241957992 | 9. 86889194 |
| | | | . 5846189062 | 0. 753550304 | 9. 176284182 |
| | | | 9000. | 15000. | 21000. |
| | 137. 6497628 | | | | |
| | 18626. 80871 | | | | |
| | 190. 8273146 | | 178. 1562859 | 214. 3078162 | 360. 9747661 |
| | 4. 314158428 | | 26465. 39339 | 21151. 69235 | 6569. 217632 |
| | 1. 148263182 | | 263. 7925383 | 338. 3869049 | 450. 6221098 |
| | 4000. | | 2. 440002519 | 3. 678223499 | 9. 893011223 |
| | | | . 5688026893 | . 8904880719 | 9. 231899094 |
| | | | 10000. | 16000. | 21100. |

2. Gesetz

Die Flächengeschwindigkeit eines Punktes ist konstant.

In unserem Fall heißt dies, die schraffierten Flächen A_1 und A_2 stimmen überein. Dies stimmt für jedes Flächenelement der Bahn, das in der gleichen Zeiteinheit überstrichen wird.

3. Gesetz

Das Verhältnis der dritten Potenzen der großen Halbachsen der Bahnen zu den Quadraten der Umlaufzeiten ist konstant.

Das heißt allgemein

$$\frac{t_1^2}{b_1^3} = \frac{t_2^2}{b_2^3}.$$

Dies läßt sich jedoch nur an mehreren unterschiedlichen Bahnen zeigen.

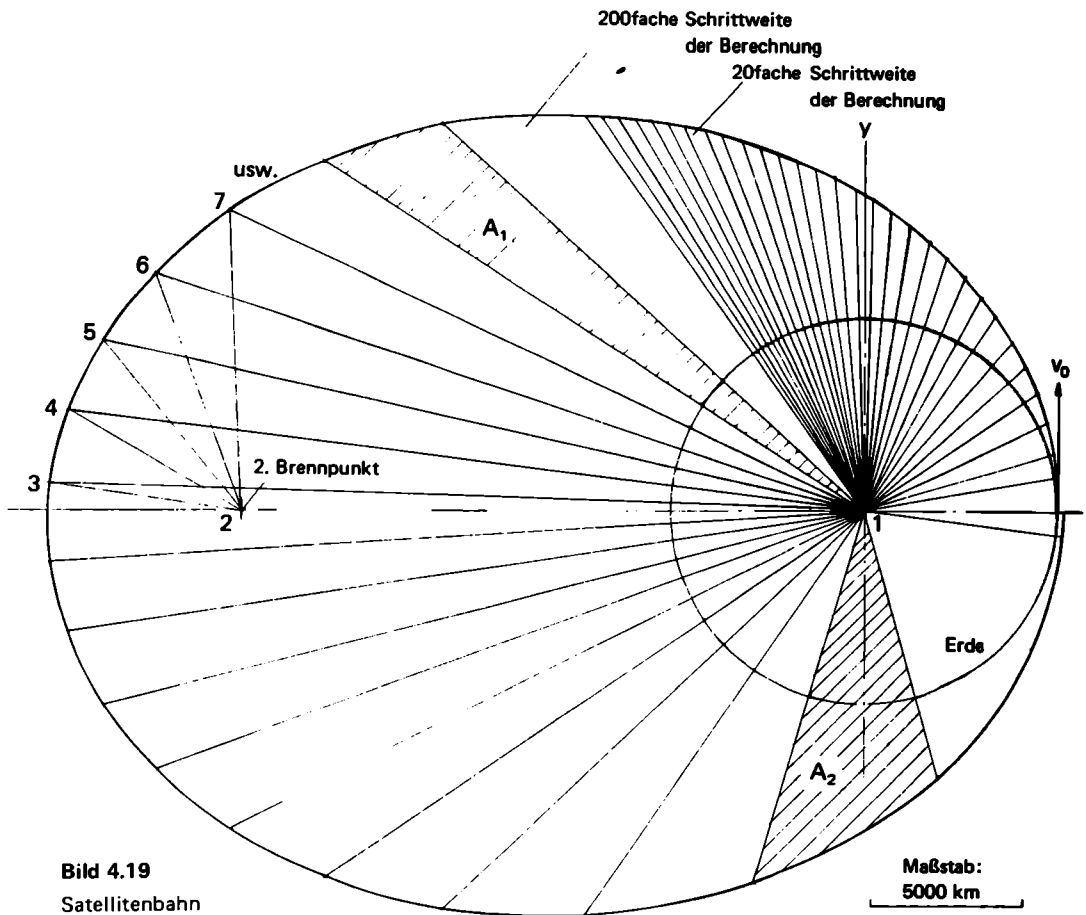


Bild 4.19
Satellitenbahn

(Ein Größenvergleich, die durchschnittliche Entfernung zum Mond beträgt 384 403 km.)

– 6 –

Eine Rakete soll eine Nutzlast von 50 kg auf eine elliptische Umlaufbahn um die Erde bringen ($M = 5.973E24$, $r_0 = 6378$ km, $f = 6.67E-20$ km³/kg s²). Eine Endgeschwindigkeit der Nutzlast von 10 km/s ist anzustreben (siehe 4.1.3). Die Ausströmgeschwindigkeit der Verbrennungsgase beträgt 5 km/s = const. mit einer Massenausströmung von $u = 10$ kg/s = const.

Aus Gleichung (4.1.45) läßt sich die Brennstoffmasse der Rakete abschätzen

$$m_2 = m_1 \left(e^{\frac{v_e}{v_s}} - 1 \right) \quad (4.1.57)$$

$$m_2 = 50 \text{ kg} \left(e^{\frac{10}{5}} - 1 \right)$$

$$\underline{m_2 = 320 \text{ kg}}$$

| | | | | | |
|-----------------|-------------------|-------------|-------------|-------------|-------------|
| Eingabe: | | 0.019371115 | .1003766065 | .2640181487 | .5466367352 |
| 6.67-20 | f | 6379.293048 | 6384.029994 | 6393.000309 | 6408.04676 |
| 5.973 24 | M | 60.71503491 | 63.25205626 | 64.49584003 | 65.21677277 |
| 370. | m ₀ | 0.851703489 | 2.096990771 | 3.786696716 | 6.400253598 |
| 5. | v _s | 310. | 240. | 170. | 100. |
| 10. | u | 3.034833969 | 2.346063446 | 1.657134729 | .9702128097 |
| 0. | v ₀ | 6. | 13. | 20. | 27. |
| 6378. | r ₀ | | | | |
| 45. | a ₀ | .0267440328 | .1180951289 | .2959020617 | .6006301283 |
| 0. | v ₀ | 6379.748203 | 6385.024271 | 6394.713634 | 6410.903752 |
| 0. | t ₀ | 61.23852195 | 63.47842822 | 64.62328151 | 65.29198574 |
| 0.1 | Δt | 1.010632428 | 2.304938699 | 4.084673597 | 6.920141125 |
| 1. | Δt _{prt} | 300. | 230. | 160. | 90. |
| | | 2.936517051 | 2.247610642 | 1.558820576 | .8724134341 |
| | | 7. | 14. | 21. | 28. |
| Ausgabe: | | | | | |
| .0005140349 | φ | .0354277138 | .1375518029 | .3302927271 | .6590690696 |
| 6378.042854 | r | 6380.273981 | 6386.106950 | 6396.554827 | 6413.995207 |
| 54.56888634 | α | 61.68673347 | 63.68517843 | 64.74151207 | 65.3614018 |
| .1307393369 | v | 1.175173504 | 2.522337866 | 4.402113906 | 7.501457024 |
| 360. | m | 290. | 220. | 150. | 80. |
| 3.525705097 | F | 2.838165323 | 2.14915953 | 1.460553111 | .7747312488 |
| 1. | t | 8. | 15. | 22. | 29. |
| | | | | | |
| .0020405467 | | .0454725878 | 0.158827482 | .3673569324 | 0.722507442 |
| 6378.157008 | | 6380.872034 | 6387.281949 | 6396.532847 | 6417.352005 |
| 56.91772225 | | 62.07696214 | 63.87472619 | 64.85125928 | 65.42526066 |
| .2659007708 | | 1.345705184 | 2.750060007 | 4.741692165 | 8.160533964 |
| 350. | | 280. | 210. | 140. | 70. |
| 3.427646148 | | 2.739783903 | 2.050715759 | 1.362340215 | .6771808448 |
| 2. | | 9. | 16. | 23. | 30. |
| | | | | | |
| .0046414744 | | .0569317579 | .1820103136 | .4072849858 | 0.791658556 |
| 6378.339497 | | 6381.544297 | 6388.553615 | 6400.657999 | 6421.013987 |
| 58.32048401 | | 62.42110332 | 64.04905274 | 64.95315132 | 65.4837478 |
| .4053902567 | | 1.522650272 | 2.989104956 | 5.106676446 | 8.921233787 |
| 340. | | 270. | 200. | 130. | 60. |
| 3.329522872 | | 2.641377879 | 1.952285176 | 1.264190306 | .5797788482 |
| 3. | | 10. | 17. | 24. | 31. |
| | | | | | |
| .0083661024 | | .0698614905 | .2071968746 | .4502961894 | 0.867476272 |
| 6378.58952 | | 6382.292988 | 6389.926818 | 6402.942245 | 6425.034477 |
| 59.31856623 | | 62.7276934 | 64.20979988 | 65.04773167 | 65.53698835 |
| .5493652389 | | 1.706481683 | 3.240626753 | 5.50111794 | 9.820429703 |
| 330. | | 260. | 190. | 120. | 50. |
| 3.231342395 | | 2.542952349 | 1.85387386 | 1.166112433 | .4825445646 |
| 4. | | 11. | 18. | 25. | 32. |
| | | | | | |
| .0132606971 | | 0.084321722 | .2344935397 | 0.496646145 | |
| 6378.907162 | | 6383.120615 | 6391.407008 | 6405.399614 | |
| 60.08970882 | | 63.00306736 | 64.35834204 | 65.13547037 | |
| .6980481876 | | 1.897729675 | 3.505966835 | 5.930122843 | |
| 320. | | 250. | 180. | 110. | |
| 3.133110874 | | 2.444512461 | 1.75548816 | 1.06811638 | |
| 5. | | 12. | 19. | 26. | |

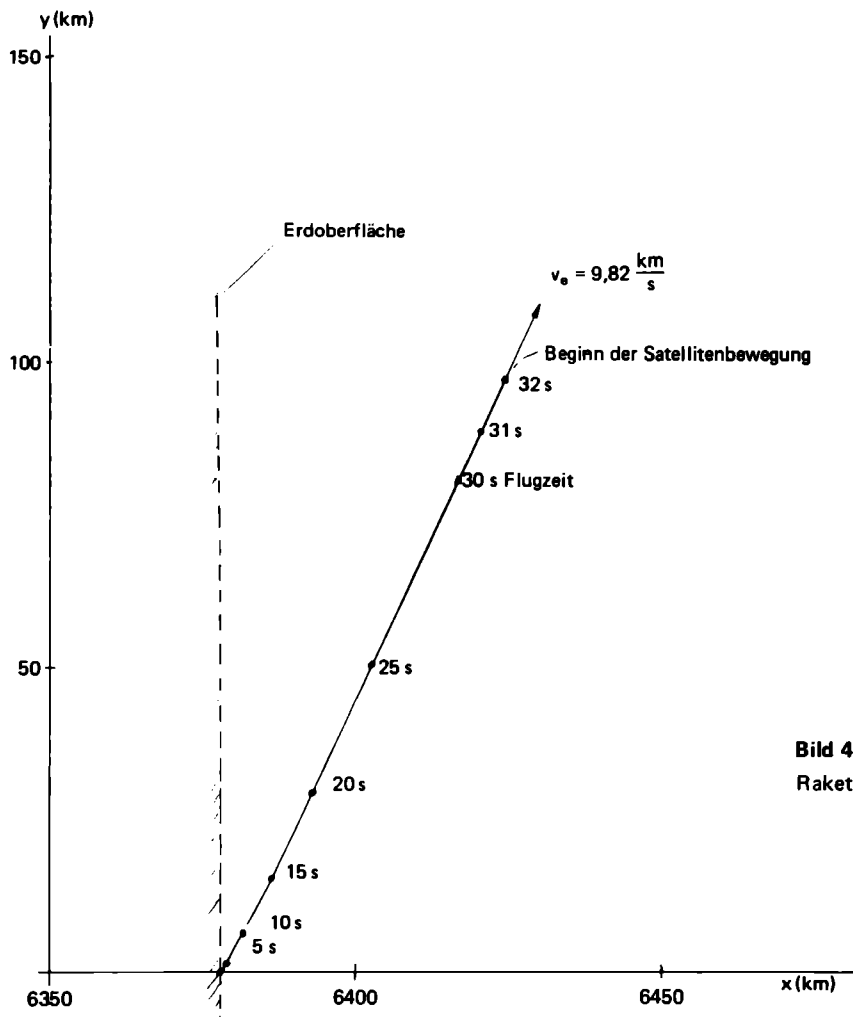


Bild 4.20
Raketenbewegung

Bild 4.20 zeigt graphisch die Flugphase. Nach 32 Sekunden ist der Treibstoff verbrannt und es beginnt eine Satellitenbewegung. Sie lässt sich mit dem Programm aus 4.1.3 weiterverfolgen.

4.2 Kinetik starrer Körper

Unter einem starren Körper versteht man idealisiert einen solchen, der bei Krafteinwirkung keine Formänderung aufweist. Diese Annahme hilft, viele Probleme ausreichend genau zu lösen.

4.2.1 Massenträgheitsmoment

Wir haben bisher Probleme der fortschreitenden Bewegung (Translation) betrachtet. Dabei hatten alle Masseteilchen eines starren Körpers die gleiche Bewegung und wir hatten ihn deshalb als Massenpunkt eingeführt. Wir kommen nun zur Drehung des starren Körpers um eine feste Achse (Rotation). Die beschleunigte Drehung eines starren Körpers in der Ebene um eine feste Achse wird durch die Einwirkung eines Drehmoments M hervorgerufen. Dabei vollführt jedes Massenteilchen dm , nach Bild 4.21, eine beschleunigte Bewegung. Aus der Kinematik wissen wir, daß ein Massenteil auf gekrümmter Bahn, einer Normal- und Tangentialbeschleunigung unterliegt. Dies führt nach dem d'Alembertschen Prinzip zu dem Ansatz

$$dF_t = dm a_t \quad (4.2.1)$$

und

$$dF_n = dm a_n. \quad (4.2.2)$$

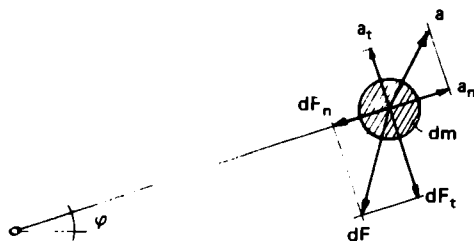


Bild 4.21 Beschleunigte Drehung

Während das Normalkraftdifferential dF_n kein Drehmoment hervorruft, seine Wirkungslinie geht durch den Drehpunkt, ruft das Tangentialkraftdifferential dF_t einen Drehmomentanteil von

$$dM = r dF_t \quad (4.2.3)$$

hervor. Für die Gesamtheit aller Anteile gilt damit

$$M = \int r dF_t = \int r dm a_t. \quad (4.2.4)$$

Mit

$$a_t = r \epsilon. \quad (4.2.5)$$

Darin ist ϵ die Winkelbeschleunigung, die für alle Masseteile gleich ist, also

$$M = \epsilon \int r^2 dm. \quad (4.2.6)$$

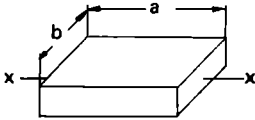
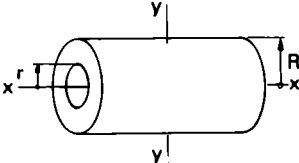
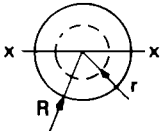
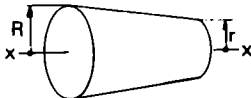
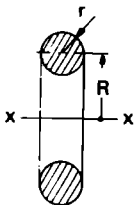
Analog zur Massenträgheit bei der Translation, $F = m a$, bezeichnet man

$$I_d = \int r^2 dm \quad (4.2.7)$$

als Massenträgheitsmoment eines starren Körpers. Genauer, da es sich auf eine Achse bezieht, als axiales Massenträgheitsmoment. Zu beachten ist, daß das Quadrat des Abstandes in die Gleichung eingeht.

Tabelle 4.10 zeigt die Zusammenstellung der Massenträgheitsmomente einfacher Grundkörper. Auch komplizierter gestaltete Körper lassen sich mit den Gleichungen berechnen, da die Summe der Massenträgheitsmomente einzelner Grundkörper gleich dem Massenträgheitsmoment des aus diesen bestehenden starren Körpers ist. Dies liegt an der Eigenschaft des Integrals in Gleichung (4.27). Nicht immer fällt nun die Drehachse des Grundkörpers mit der des starren Körpers zusammen. Dazu be-

Tabelle 4.10 Massenträgheitsmomente (axiale)

| Körper | Massenträgheitsmoment |
|---|--|
| <p>Quader</p>  | $I_{dx} = \frac{m}{12} (a^2 + b^2)$ |
| <p>Hohlzylinder</p>  | $I_{dx} = \frac{m}{2} (R^2 + r^2)$ $I_{dy} = \frac{m}{4} \left(R^2 + r^2 - \frac{h^2}{3} \right)$ |
| <p>Hohlkugel</p>  | $I_{dx} = 0.4 m \frac{R^5 - r^5}{R^3 - r^3}$ |
| <p>Gerader Kegelstumpf</p>  | $I_{dx} = 0.3 m \frac{R^5 - r^5}{R^3 - r^3}$ |
| <p>Kreisring</p>  | $I_{dx} = m \left(R^2 + \frac{3}{4} r^2 \right)$ |

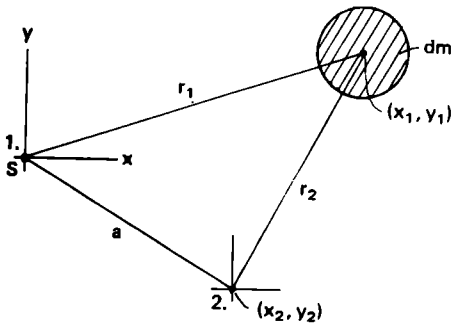


Bild 4.22

trachten wir nach Bild 4.22 das Massenträgheitsmoment bezüglich einer zweiten Achse gegenüber der Schwerpunktsachse. Es gilt für den Radius r_2 die geometrische Beziehung

$$r_2^2 = (x_1 - x_2)^2 + (y_1 - y_2)^2 \quad (4.2.8)$$

$$= x_1^2 - 2x_1x_2 + x_2^2 + y_1^2 - 2y_1y_2 + y_2^2 \quad (4.2.9)$$

$$= r_1^2 + a^2 - 2(x_1x_2 + y_1y_2), \quad (4.2.10)$$

die eingesetzt in (4.2.7)

$$I_d = \int r_1^2 dm + a^2 \int dm - 2 \int (x_1x_2 + y_1y_2) dm \quad (4.2.11)$$

ergibt. Darin ist $\int dm = m$ und $-2 \int (x_1x_2 + y_1y_2) dm$ das statische Moment des starren Körpers bezüglich des Schwerpunktes, also Null. Damit folgt die, als Satz von Steiner (Verschiebungssatz) bekannte Gesetzmäßigkeit

$$I_{d2} = I_{d1} + m a^2. \quad (4.2.12)$$

Nun können wir die in Tabelle 4.10 angegebenen Formeln programmieren und mit Hilfe des Steiner'schen Satzes auf jede beliebige Achse umrechnen. Das heißt natürlich, daß die 2. Achse im Abstand a parallel zur 1. Achse verlaufen muß.

Tabelle 4.11 Speicherplatzbelegung

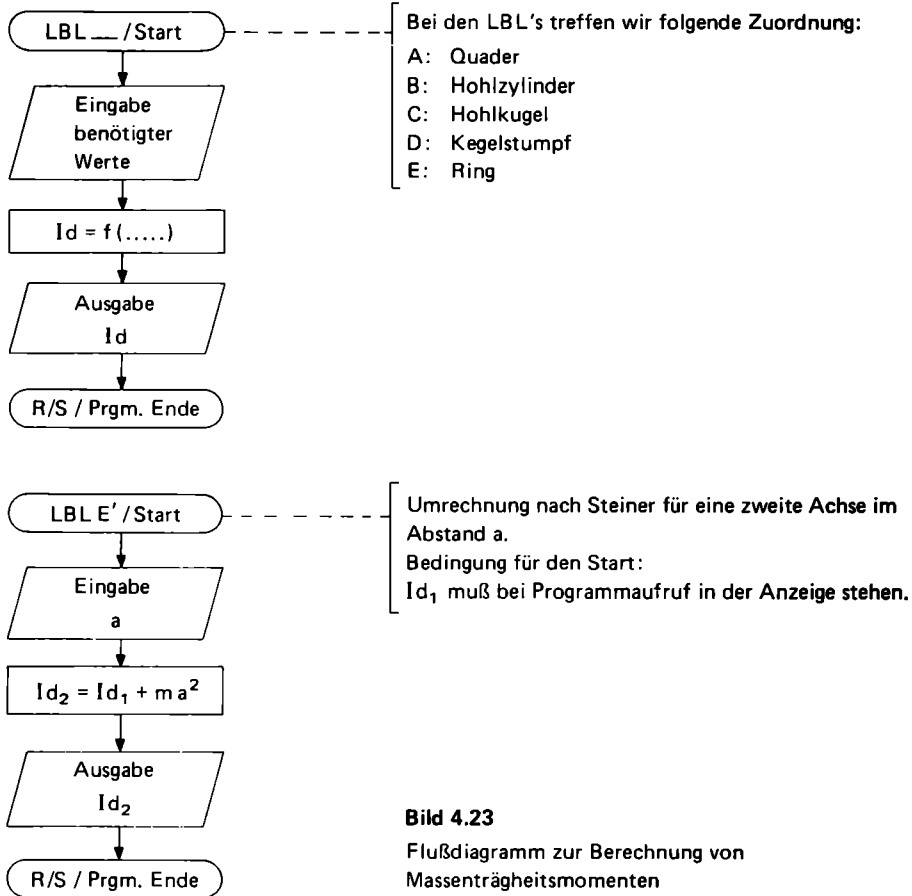
00 m 01 Zwischenspeicher

Nachfolgend soll noch ein Programm zur näherungsweisen Berechnung rotationssymmetrischer Körper jeglicher Querschnittsform aufgestellt werden. Dazu betrachten wir Masseteilchen nach der in Bild 4.23 dargestellten Form und erhalten

$$dm = \delta \cdot 2\pi r h(r) dr. \quad (4.2.13)$$

In (4.2.7) eingesetzt

$$I_d = \delta \cdot 2\pi \int_{r_1}^{r_2} r^3 h(r) dr. \quad (4.2.14)$$



Ersetzen wir hierin angenähert das Differential durch die Differenz, so erhalten wir

$$I_d = \delta \, 2 \pi \sum_{r_i = r_1}^{r_1 = r_2 - \Delta r} r_i^3 h(r_i) \Delta r. \quad (4.2.15)$$

Diese Formel läßt sich noch genauer gestalten, wenn wir das arithmetische Mittel der beiden Höhen eines Streifenelements bilden

$$I_d = \delta \, 2 \pi \sum_{r_i = r_1}^{r_1 = r_2 - \Delta r} r_i^3 \frac{h_1(r_i) + h_2(r_i)}{2} \Delta r. \quad (4.2.16)$$

Tabelle 4.12
Programm Massenträgheitsmomente
Quader:

000 76 LBL
 001 11 A
 002 91 R/S
 003 99 PRT
 004 42 STD
 005 00 00
 006 55 +
 007 01 1
 008 02 2
 009 65 x
 010 53 (
 011 91 R/S
 012 99 PRT
 013 33 X²
 014 85 +
 015 91 R/S
 016 99 PRT
 017 33 X²
 018 95 =
 019 98 ADV
 020 99 PRT
 021 91 R/S

Hohlzylinder:

022 76 LBL
 023 12 B
 024 91 R/S
 025 99 PRT
 026 42 STD
 027 00 00
 028 55 +
 029 04 4
 030 65 x
 031 53 (
 032 91 R/S
 033 99 PRT
 034 33 X²
 035 85 +
 036 91 R/S
 037 99 PRT
 038 33 X²
 039 75 -
 040 32 X:T
 041 91 R/S
 042 99 PRT
 043 33 X²
 044 55 +

045 03 3
 046 95 =
 047 32 X:T
 048 65 x
 049 43 RCL
 050 00 00
 051 55 +
 052 02 2
 053 95 =
 054 98 ADV
 055 99 PRT
 056 32 X:T
 057 99 PRT
 058 91 R/S

Hohlkugel:

059 76 LBL
 060 13 C
 061 91 R/S
 062 99 PRT
 063 42 STD
 064 00 00
 065 65 x
 066 93 .
 067 04 4
 068 65 x
 069 53 (
 070 53 (
 071 91 R/S
 072 99 PRT
 073 45 YX
 074 32 X:T
 075 05 5
 076 75 -
 077 91 R/S
 078 99 PRT
 079 42 STD
 080 01 01
 081 45 YX
 082 05 5
 083 54)
 084 55 +
 085 53 (
 086 32 X:T
 087 45 YX
 088 03 3

089 75 -
 090 43 RCL
 091 01 01
 092 45 YX
 093 03 3
 094 95 =
 095 98 ADV
 096 99 PRT
 097 91 R/S

Kegelstumpf:

098 76 LBL
 099 14 D
 100 91 R/S
 101 99 PRT
 102 42 STD
 103 00 00
 104 65 x
 105 93 .
 106 03 3
 107 65 x
 108 53 (
 109 53 (
 110 91 R/S
 111 99 PRT
 112 45 YX
 113 32 X:T
 114 05 5
 115 75 -
 116 91 R/S
 117 99 PRT
 118 42 STD
 119 01 01
 120 45 YX
 121 05 5
 122 54)
 123 55 +
 124 53 (
 125 32 X:T
 126 45 YX
 127 03 3
 128 75 -
 129 43 RCL
 130 01 01
 131 45 YX
 132 03 3

133 95 =
 134 98 ADV
 135 99 PRT
 136 91 R/S

Kreisring:

137 76 LBL
 138 15 E
 139 91 R/S
 140 99 PRT
 141 42 STD
 142 00 00
 143 65 x
 144 53 (
 145 91 R/S
 146 99 PRT
 147 33 X²
 148 85 +
 149 03 3
 150 65 x
 151 91 R/S
 152 99 PRT
 153 33 X²
 154 55 +
 155 04 4
 156 95 =
 157 98 ADV
 158 99 PRT
 159 91 R/S

Verschiebesatz:

160 76 LBL
 161 10 E*
 162 99 PRT
 163 85 +
 164 43 RCL
 165 00 00
 166 99 PRT
 167 65 x
 168 91 R/S
 169 99 PRT
 170 33 X²
 171 95 =
 172 98 ADV
 173 99 PRT
 174 91 R/S

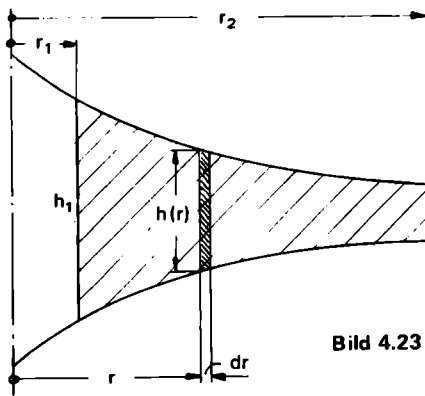


Bild 4.23

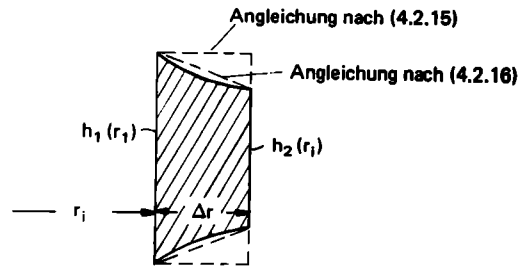


Bild 4.24
Masselement

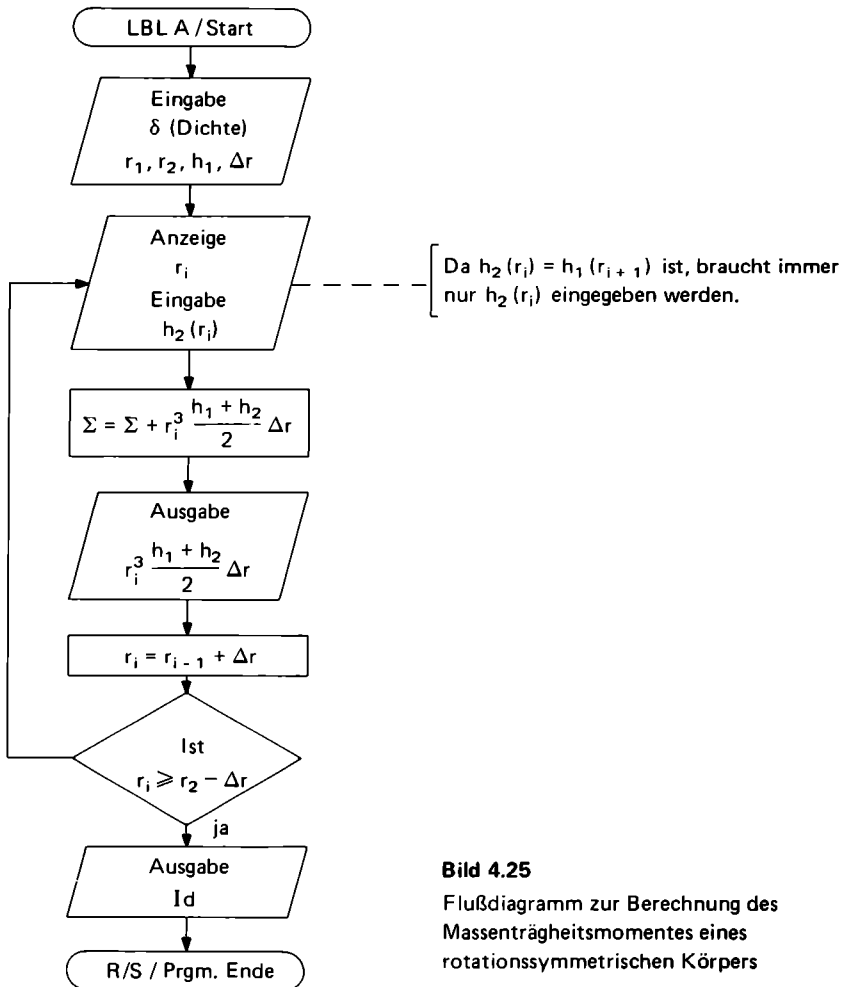


Bild 4.25
Flußdiagramm zur Berechnung des
Massenträgheitsmomentes eines
rotationssymmetrischen Körpers

Tabelle 4.13 Speicherplatzbelegung

00
 01 δ
 02 r_1/r_i
 03 $r_2 - \Delta r$
 04 Δr
 05 Σ
 06 $h_1(r_i)$

Tabelle 4.14 Programm Massenträgheitsmoment eines rotationssymmetrischen Körpers

Start/Eingabe:

| | | | |
|------------|------------------|---------------|-------------|
| 000 76 LBL | 024 06 06 | 043 32 X↑T | 063 77 GE |
| 001 11 A | 025 98 ADV | 044 42 STD | 064 99 PRT |
| 002 47 CMS | | 045 06 06 | 065 43 RCL |
| 003 91 R/S | Anzeige/Eingabe: | 046 54 > | 066 04 04 |
| 004 99 PRT | 026 76 LBL | 047 55 = | 067 44 SUM |
| 005 42 STD | 027 43 RCL | 048 02 2 | 068 02 02 |
| 006 01 01 | 028 03 3 | 049 95 = | 069 61 GTD |
| 007 91 R/S | 029 32 X↑T | 050 99 PRT | 070 43 RCL |
| 008 99 PRT | 030 43 RCL | 051 98 ADV | |
| 009 42 STD | 031 02 02 | | Endausgabe: |
| 010 02 02 | 032 45 YX | Summe: | 071 76 LBL |
| 011 91 R/S | 033 99 PRT | 052 65 × | 072 99 PRT |
| 012 99 PRT | 034 91 R/S | 053 43 RCL | 073 43 RCL |
| 013 75 - | 035 99 PRT | 054 04 04 | 074 05 05 |
| 014 91 R/S | | 055 95 = | 075 65 × |
| 015 99 PRT | Berechnung: | 056 44 SUM | 076 43 RCL |
| 016 42 STD | 036 32 X↑T | 057 05 05 | 077 01 01 |
| 017 04 04 | 037 95 = | | 078 65 × |
| 018 95 = | 038 65 × | Abfrage/Ende: | 079 02 2 |
| 019 42 STD | 039 53 < | 058 43 RCL | 080 65 × |
| 020 03 03 | 040 43 RCL | 059 03 03 | 081 89 π |
| 021 91 R/S | 041 06 06 | 060 32 X↑T | 082 95 = |
| 022 99 PRT | 042 85 + | 061 43 RCL | 083 98 ADV |
| 023 42 STD | | 062 02 02 | 084 99 PRT |
| | | | 085 91 R/S |

4.2.2 Das physikalische Pendel

Wird ein Körper außerhalb seines Schwerpunktes drehbar gelagert, siehe Bild 4.26, so führt er, unter Auslenkung aus seiner stabilen Lage, Schwingungen ähnlich denen des Fadenpendels durch. Es gilt analog

$$I_d \epsilon = - m g l \sin \varphi \quad (4.2.17)$$

$$\frac{d\omega}{dt} = - \frac{m g l}{I_d} \sin \varphi. \quad (4.2.18)$$

Nach der Euler-Cauchy-Methode folgt

$$\Delta \omega = - \frac{m g l}{I_d} \sin \varphi \quad (4.2.19)$$

die Differenzengleichung der Bewegung. Wenn wir diese mit der des Fadenpendels vergleichen, Gleichung (4.1.31), und eine reduzierte Pendellänge, der Art

$$l_{\text{red}} = \frac{I_d}{m} \quad (4.2.20)$$

eingeführen, ergibt sich

$$\Delta\omega = -\frac{g}{l_{\text{red}}} \sin\varphi \cdot \Delta t \quad (4.2.21)$$

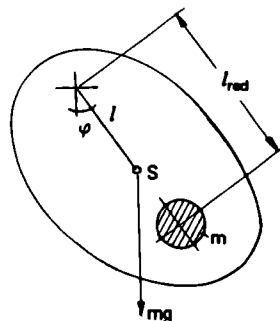


Bild 4.26
Physikalisches Pendel

eine Übereinstimmung. Es ist also kein neues Programm notwendig, sondern wir können unter Benutzung der reduzierten Pendellänge nach (4.2.20) das Programm Fadenpendel benutzen.

4.2.3 Reduzierte Masse und Schwungmoment

Betrachten wir noch einmal Gleichung (4.2.7). Darin ist der Radius r abhängig von der Lage des Massenelements dm . Stellt man sich nun die gesamten Masseteilchen dm auf einem konstanten Radius vor, etwa wie bei einem Zylinder mit sehr geringer Wandstärke, so läßt sich schreiben

$$I_d = r^2 \int dm. \quad (4.2.22)$$

Die Größe $\int dm$ ergibt sich damit für ein bekanntes I und einen beliebig gewählten Radius r zu

$$\int dm = \frac{I_d}{r^2} = m_{\text{red}} \quad (4.2.23)$$

und wird als reduzierte Masse bezeichnet. Mit der Annahme, daß die reduzierte Masse der Masse des Drehkörpers entspricht, ergibt sich nach (4.2.23) ein bestimmter Radius

$$i = \sqrt{\frac{I_d}{m}}, \quad (4.2.24)$$

der als Trägheitsradius bezeichnet wird. Unter Definition eines Trägheitsdurchmessers

$$D_i = 2i, \quad (4.2.25)$$

folgt eingesetzt

$$mD_i^2 = 4I_d. \quad (4.2.26)$$

Diese Größe wird allgemein als Schwungmoment bezeichnet. Danach können wir das unter 4.2.1 aufgestellte Programm um die in Bild 4.27 dargestellten Programmteile ergänzen.

Tabelle 4.15

Speicherplatzbelegung

00 m

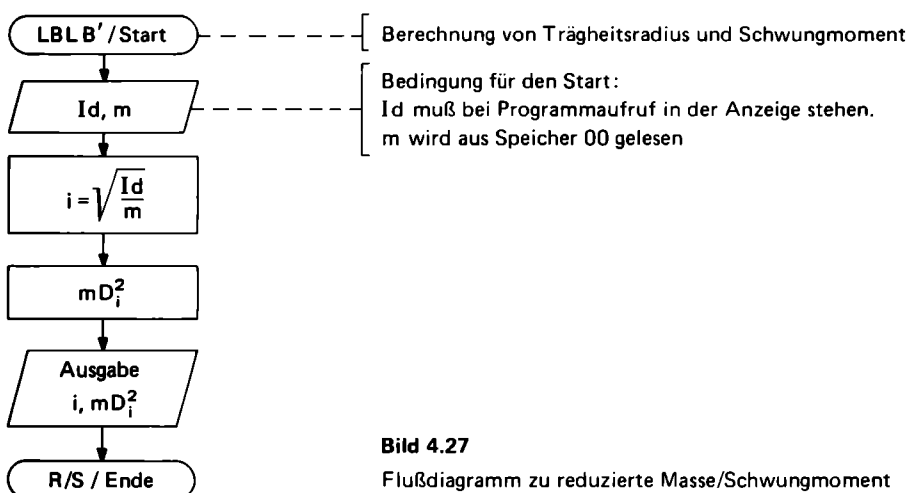
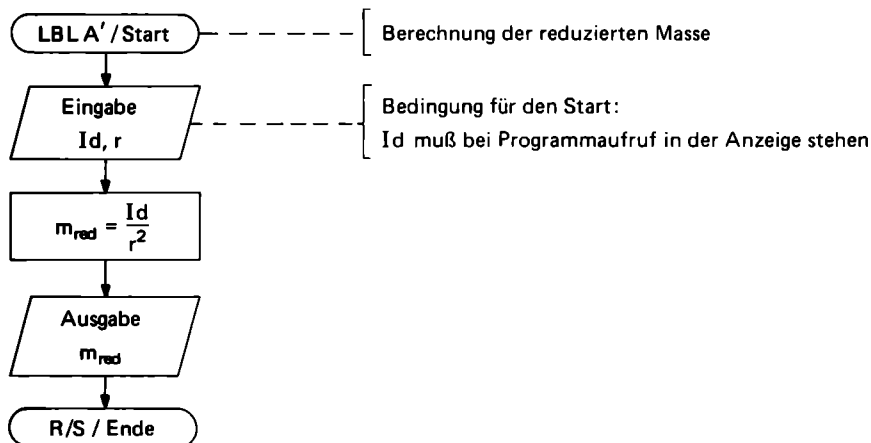


Bild 4.27

Flußdiagramm zu reduzierte Masse/Schwungmoment

Tabelle 4.16 Programm reduzierte Masse/Schwungmoment

reduzierte Masse:

175 76 LBL
 176 16 R'
 177 99 PRT
 178 55 ÷
 179 91 R/S
 180 99 PRT
 181 33 X²
 182 95 =
 183 98 ADV

184 99 PRT
 185 91 R/S

Schwungmoment:

186 76 LBL
 187 17 B'
 188 99 PRT
 189 55 ÷

190 43 RCL
 191 00 00
 192 99 PRT
 193 95 =
 194 34 FX
 195 98 ADV
 196 99 PRT
 197 65 X
 198 02 2

199 95 =
 200 33 X²
 201 65 X
 202 43 RCL
 203 00 00
 204 95 =
 205 99 PRT
 206 91 R/S

4.2.4 Deviationsmomente

Bei rotierenden, starren Körpern wird auch nach der auftretenden Lagerreaktion oder den inneren Spannungen gefragt. Dies führt zu folgender Überlegung. Wird ein, nach Bild 4.28, um die z-Achse rotierender Körper, plötzlich zu einer weiteren Achse, z.B. zur x-Achse, fest fixiert, so würde ein Masseteilchen des Körpers das Momentendifferential

$$dM_x = z dF_y \quad (4.2.27)$$

bewirken. Der Kraftanteil ergibt sich aus

$$dF_y = dF_n \sin \varphi + dF_t \cos \varphi. \quad (4.2.28)$$

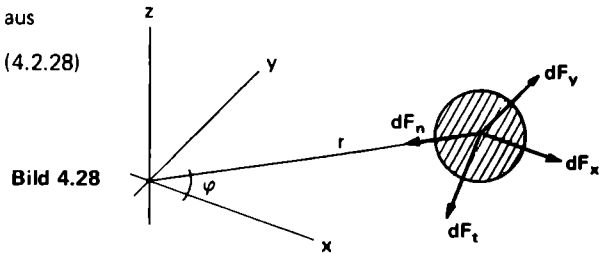


Bild 4.28

Die zum Mittelpunkt der Bahn weisende Führungskraft F_n , hier Zentripetalkraft genannt, ergibt sich nach dem d'Alembertschen Prinzip aus der Normal- bzw. Zentripetalbeschleunigung. Diese wiederum nach den Ansätzen aus der Kinematik zu

$$dF_n = a_n dm = r \omega^2 dm. \quad (4.2.29)$$

Analog folgt für den Tangentialkraftanteil

$$dF_t = a_t dm = r \epsilon dm. \quad (4.2.30)$$

Für alle Masseteile damit

$$M_x = \int z dF_y = \int z r \omega^2 dm \sin \varphi + \int z r \epsilon dm \cos \varphi. \quad (4.2.31)$$

Da ω und ϵ für alle Teile gleich, folgt

$$M_x = \omega^2 \int z y dm + \epsilon \int z x dm. \quad (4.2.32)$$

Darin bezeichnet man allgemein, analog zum Massenträgheitsmoment,

$$I_{d_{xz}} = \int xz dm \quad (4.2.33)$$

als Deviations- oder Zentrifugalmoment. Der Sonderfall

$$I_{d_{xx}} = \int x^2 dm \quad (4.2.34)$$

wird als polares Trägheitsmoment bezeichnet. Analog zum Massenträgheitsmoment wollen wir auch hier ein entsprechendes Programm für die in Tabelle 4.17 dargestellten Deviationsmomente einfacher Grundkörper aufstellen. Diese wenigen sollen als Beispiel genügen. Analog zum Steinerschen Satz gilt auch hier, siehe Bild 4.29,

$$I_{d_{\alpha\beta}} = I_{d_{\alpha\gamma}} + mab. \quad (4.2.35)$$

Da die Programme den gleichen Aufbau wie Bild 4.23 haben, erspare ich mir an dieser Stelle ein Flußdiagramm.

Tabelle 4.17 Deviationsmomente

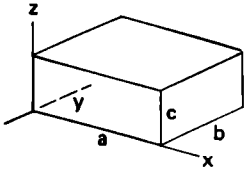
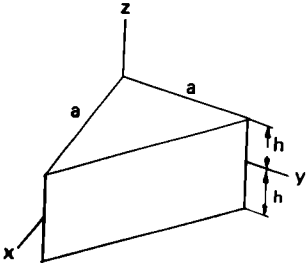
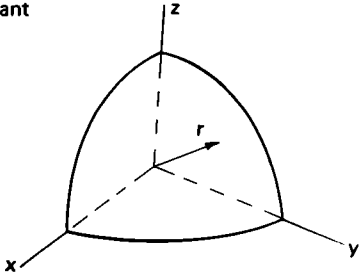
| Körper | Deviationsmoment |
|--|--|
| Quader  | $I_{d_{xy}} = -\frac{m}{4} ab$ |
| Keil  | $I_{d_{xy}} = -\frac{ma^2}{12}$ $I_{d_{xz}} = I_{d_{yz}} = 0$ |
| Kugeloktant  | $I_{d_{xy}} = -\frac{2mr^2}{5\pi}$ |

Tabelle 4.18
Speicherplatzbelegung
00 m

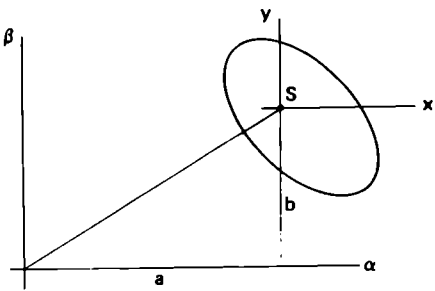


Bild 4.29

Tabelle 4.19 Programm Deviationsmomente

| Quader: | | | Keil: | | | Kugeloktant: | | | Verschiebung: | | |
|---------|----|-----|-------|----|-----|--------------|----|-----|---------------|----|-----|
| 000 | 76 | LBL | 019 | 76 | LBL | 037 | 76 | LBL | 058 | 76 | LBL |
| 001 | 11 | A | 020 | 12 | B | 038 | 13 | C | 059 | 10 | E |
| 002 | 91 | R/S | 021 | 91 | R/S | 039 | 91 | R/S | 060 | 99 | PRT |
| 003 | 99 | PRT | 022 | 99 | PRT | 040 | 99 | PRT | 061 | 85 | + |
| 004 | 42 | STD | 023 | 42 | STD | 041 | 42 | STD | 062 | 43 | RCL |
| 005 | 00 | 00 | 024 | 00 | 00 | 042 | 00 | 00 | 063 | 00 | 00 |
| 006 | 94 | +/- | 025 | 94 | +/- | 043 | 94 | +/- | 064 | 65 | x |
| 007 | 55 | ÷ | 026 | 65 | x | 044 | 65 | x | 065 | 91 | R/S |
| 008 | 04 | 4 | 027 | 91 | R/S | 045 | 02 | 2 | 066 | 99 | PRT |
| 009 | 65 | x | 028 | 99 | PRT | 046 | 65 | x | 067 | 65 | x |
| 010 | 91 | R/S | 029 | 33 | X² | 047 | 91 | R/S | 068 | 91 | R/S |
| 011 | 99 | PRT | 030 | 55 | ÷ | 048 | 99 | PRT | 069 | 99 | PRT |
| 012 | 65 | x | 031 | 01 | 1 | 049 | 33 | X² | 070 | 95 | = |
| 013 | 91 | R/S | 032 | 02 | 2 | 050 | 55 | ÷ | 071 | 98 | ADV |
| 014 | 99 | PRT | 033 | 95 | = | 051 | 05 | 5 | 072 | 99 | PRT |
| 015 | 95 | = | 034 | 98 | ADV | 052 | 55 | ÷ | 073 | 91 | R/S |
| 016 | 98 | ADV | 035 | 99 | PRT | 053 | 89 | π | | | |
| 017 | 99 | PRT | 036 | 91 | R/S | 054 | 95 | = | | | |
| 018 | 91 | R/S | | | | 055 | 98 | ADV | | | |
| | | | | | | 056 | 99 | PRT | | | |
| | | | | | | 057 | 91 | R/S | | | |

4.2.5 Massenkräfte beim Kurbeltrieb und ihr Ausgleich

Der Kurbeltrieb dient zur Umwandlung von Schub- in Drehbewegung und umgekehrt. Wir wollen an dieser Stelle speziell den Bewegungsablauf eines Kolbenmotors betrachten. Der algebraische Ausdruck für die reale Kolbenbewegung ergibt sich, unter Betrachtung von Bild 4.30, aus folgender Ableitung

$$x = l + r - l \cos \beta - r \sin \varphi \quad (4.2.36)$$

$$\lambda = \frac{r}{l} = \frac{\sin \beta}{\cos \varphi} \quad (4.2.37)$$

$$\cos \beta = \sqrt{1 - \lambda^2 \cos^2 \varphi} \quad (4.2.38)$$

$$x = r(1 - \sin \varphi) + l(1 - \sqrt{1 - \lambda^2 \cos^2 \varphi}), \quad (4.2.39)$$

bzw. bei allgemeiner Phasenverschiebung um α

$$x = r(1 - \sin(\varphi - \alpha)) + l(1 - \sqrt{1 - \lambda^2 \cos^2(\varphi - \alpha)}). \quad (4.2.40)$$

Geschwindigkeit und Beschleunigung ergeben sich wiederum angenähert aus den Differenzenquotienten

$$v = \frac{\Delta x}{\Delta t} \quad (4.2.41)$$

und

$$a = \frac{\Delta v}{\Delta t} \quad (4.2.42)$$

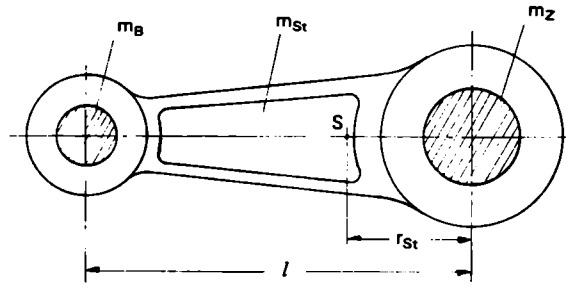
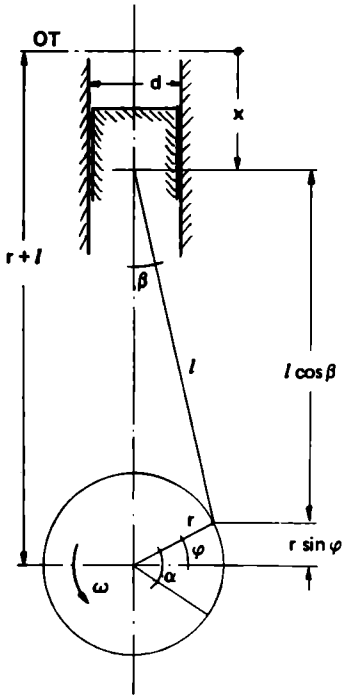


Bild 4.31 Schubstange

Bild 4.30
Kolbenmotor

Den Bewegungen der Triebwerksteile gemäß, werden oszillierende und rotierende Massen unterschieden. Danach ergibt sich die oszillierende Masse aus

$$m_0 = m_{St} \frac{r_{St}}{l} + m_K + m_B. \quad (4.2.43)$$

Darin ist m_{St} der Massenanteil der Schubstange, der nach Bild 4.31 durch den Faktor r_{St}/l seinen oszillierenden Anteil hat, m_K die Kolbenmasse und m_B die Kolbenbolzenmasse. Die rotierenden Massenteile setzen sich aus

$$m_R = m_{St} \frac{l - r_{St}}{l} + m_W \frac{r_W}{r} + m_Z + m_N \quad (4.2.44)$$

zusammen. Darin ist $m_{St} (l - r_{St})/l$ der rotierende Massenanteil der Schubstange, m_W die Kurbelwangenmasse, die nach Bild 4.32 durch den Faktor r_W/r auf den Drehmittelpunkt reduziert werden muß, m_Z die Kurbelzapfenmasse und m_N die Nadellagermasse. Die oszillierende Massenkraft heißt damit

$$F_0 = m_0 a_k \quad (4.2.45)$$

und die rotierende Massenkraft

$$F_R = m_R r \omega^2. \quad (4.2.46)$$

Die auf den Kolben einwirkende Kraft, z. B. durch Zündung eines Gasgemisches und der damit verbundenen Druckzunahme, sorgt für eine Entspannungsbewegung des Systems, d. h. eine Vergrößerung des Zylinderraumes durch Kolbenbewegung. Die Kraft liegt in der Regel indirekt als Indikator-

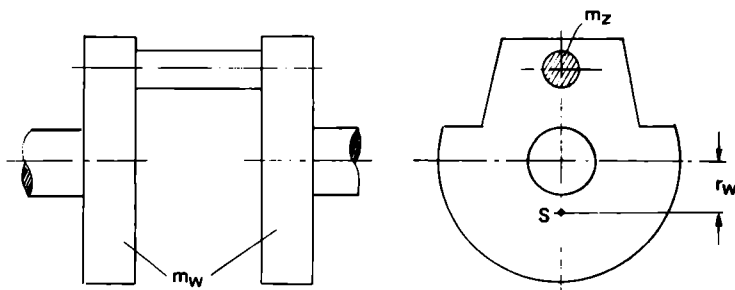


Bild 4.32
Kurbelwange

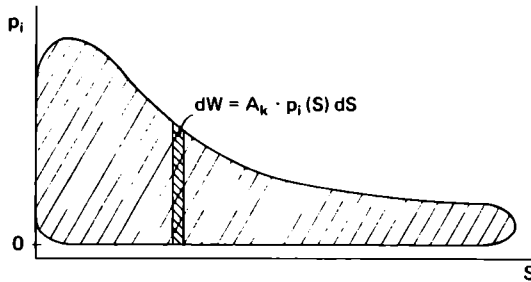


Bild 4.33
Indikatordiagramm

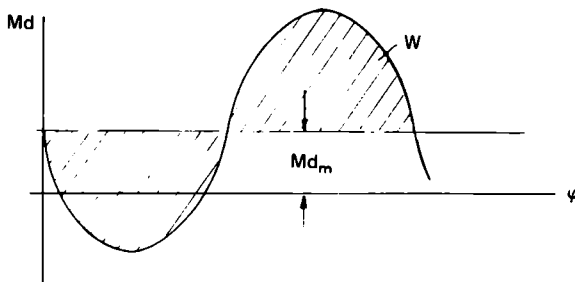


Bild 4.34
Drehmomentenverlauf

diagramm (Bild 4.33) vor. Diese praktische Meßwertaufnahme zeigt den Zylinderdruck über dem Weg. Die obere Kurve stellt die Entspannungsphase und die untere die Kompressionsphase dar. Die schraffierte Fläche ist ein Maß für die geleistete Arbeit. Die Kolbenkraft ergibt sich über die Kolbenfläche und den indizierten Druck zu

$$F_k = \frac{\pi d^2}{4} p_i. \quad (4.2.47)$$

Die Kompressionsphase wird durch die in einem Schwungrad bei der Entspannungsphase gespeicherte Energie übernommen. Das Schwungrad ist für die Laufruhe eines Motors von entscheidender Wichtigkeit. Durch die Triebwerksbewegung und durch die Veränderung des indizierten Drucks ergeben sich Drehmomentenverläufe, wie sie Bild 4.34 wiedergibt. Daraus resultiert ein mittleres

Drehmoment $M_{d,m}$. Die Abweichungen von diesem kennzeichnen das Arbeitsvermögen W . Dieses wiederum bestimmt das Trägheitsmoment der Schwungscheibe. Aus der vorhandenen Winkelgeschwindigkeit und einem angenommenem Ungleichförmigkeitsgrad ergibt sich das Trägheitsmoment aus der Gleichung

$$I_d = \frac{W}{\delta \omega^2}. \quad (4.2.48)$$

Der Ungleichförmigkeitsgrad ist das Verhältnis der Differenzen der größten und kleinsten Winkelgeschwindigkeit der Schwungmassen ω_{\max} bzw. ω_{\min} zu ihrem Mittelwert. Er wird aus Erfahrung bestimmt. Der Durchmesser der Schwungscheibe nach Bild 4.35 ergibt sich aus der Ableitung

$$I_d = \frac{\pi}{32} \frac{m_s}{g} (D^4 - d^4) b \quad (4.2.49)$$

zu

$$D = \sqrt[4]{\frac{32 I_d}{\pi \frac{m_s}{g} b} + d^4}. \quad (4.2.50)$$

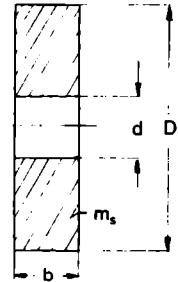


Bild 4.35
Schwungscheibe

Kommen wir zum konkreten Programm. Dazu wollen wir, mittels vorhandenen Drucks, die Bewegungsverhältnisse des Kurbeltriebs wiedergeben. Die Druckeingabe soll dabei durch ein Unterprogramm geschehen, um diesen nach einem vorliegenden Indikatordiagramm oder mittels funktionaler Verhältnisse anzugeben. Bild 4.36 zeigt das entsprechende Flußdiagramm.

Tabelle 4.20 Speicherplatzbelegung

| | | | |
|---------------------|---------------|-------------------------------|------------------------------|
| 00 Δt | 05 r | 10 F_i | 15 v_{ki} |
| 01 $\Delta \varphi$ | 06 l | 11 β_i | 16 $\sum M_d \Delta \varphi$ |
| 02 φ | 07 d_k | 12 F_{Sti} | 17 $\sum \omega$ |
| 03 m_R | 08 x | 13 $90 - \varphi_i - \beta_i$ | 18 n |
| 04 m_0 | 09 Δx | 14 t_i | 19 φ_0 |

4.2.6 Realer Stoß fester Körper

Das Zusammentreffen zweier bewegter Massen m_1 und m_2 , bezeichnet man als Stoß. Dieser Vorgang unterteilt sich in zwei Phasen. Dies zeigt Bild 4.37. Die in der Realität teilelastischen und teilplastischen Massen m_1 und m_2 , verlieren einen Teil ihrer kinetischen Energie durch Umformarbeit. Am Ende der ersten Phase bewegen sich beide Körper mit der Geschwindigkeit

$$u = \frac{m_1 v_1 + m_2 v_2}{m_1 + m_2}. \quad (4.2.51)$$

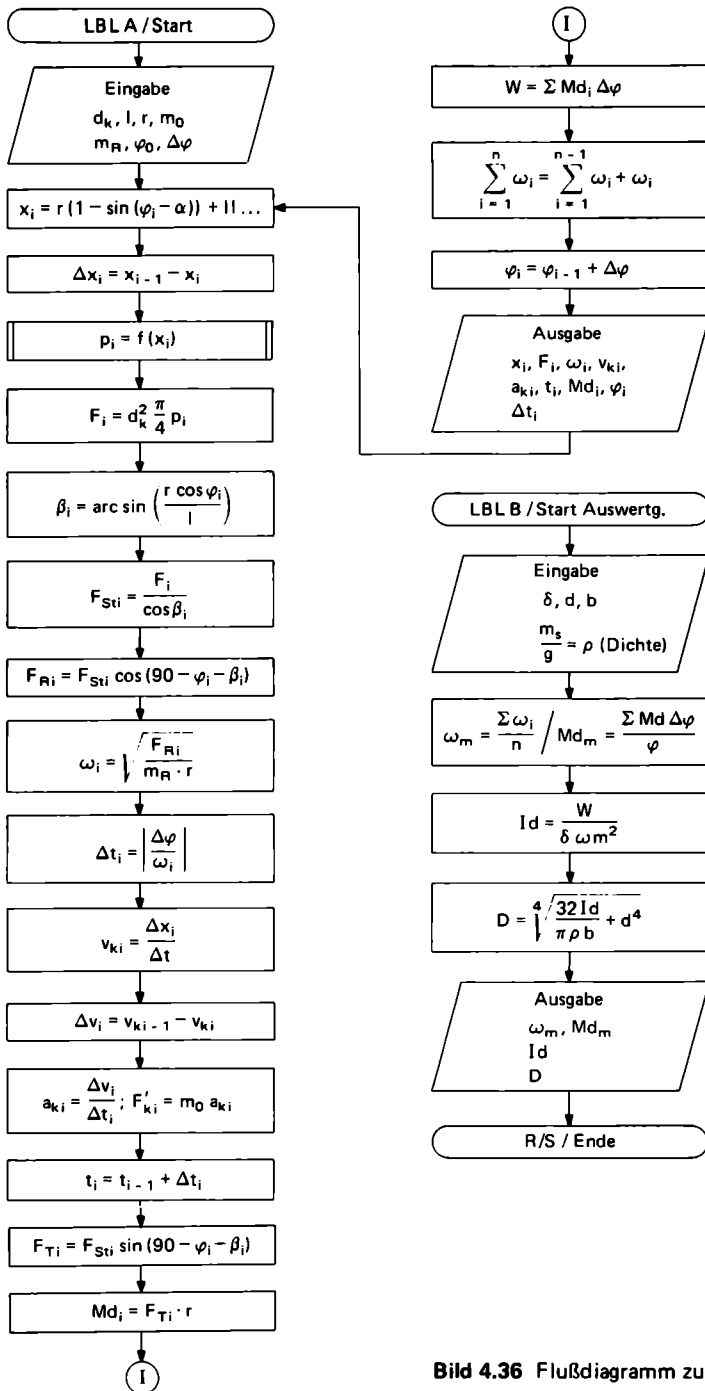


Bild 4.36 Flußdiagramm zur Schubkurbelbewegung

Tabelle 4.21 Programm Schubkurbel

| Start/Eingabe: | | | β_j : | | | $t_j, \Delta t_j$: | | | AbschlussB: | | |
|-----------------------|----|-----|-------------------|----|-----|---------------------|----|-----|-------------|----|-----|
| 000 | 76 | LBL | 045 | 43 | RCL | 095 | 32 | X:T | 146 | 65 | X |
| 001 | 11 | A | 046 | 05 | 05 | 096 | 00 | 0 | 147 | 43 | RCL |
| 002 | 47 | CMS | 047 | 65 | X | 097 | 67 | EQ | 148 | 01 | 01 |
| 003 | 07 | 7 | 048 | 43 | RCL | 098 | 22 | INV | 149 | 95 | = |
| 004 | 42 | STD | 049 | 02 | 02 | 099 | 32 | X:T | 150 | 44 | SUM |
| 005 | 00 | 00 | 050 | 39 | CDS | 100 | 35 | 1/X | 151 | 16 | 16 |
| 006 | 91 | R/S | 051 | 55 | + | 101 | 65 | X | 152 | 43 | RCL |
| 007 | 99 | PRT | 052 | 43 | RCL | 102 | 43 | RCL | 153 | 14 | 14 |
| 008 | 72 | ST* | 053 | 06 | 06 | 103 | 01 | 01 | 154 | 99 | PRT |
| 009 | 00 | 00 | 054 | 95 | = | 104 | 95 | = | 155 | 01 | 1 |
| 010 | 97 | DSZ | 055 | 22 | INV | 105 | 50 | I×I | 156 | 44 | SUM |
| 011 | 00 | 00 | 056 | 38 | SIN | 106 | 76 | LBL | 157 | 18 | 18 |
| 012 | 00 | 00 | 057 | 42 | STD | 107 | 22 | INV | 158 | 43 | RCL |
| 013 | 06 | 06 | 058 | 11 | 11 | 108 | 99 | PRT | 159 | 01 | 01 |
| 014 | 98 | ADV | | | | 109 | 42 | STD | 160 | 44 | SUM |
| | | | Fsti: | | | 110 | 00 | 00 | 161 | 02 | 02 |
| Ausgabe φ_j : | | | 059 | 39 | CDS | 111 | 44 | SUM | 162 | 98 | ADV |
| 015 | 43 | RCL | 060 | 35 | 1/X | 112 | 14 | 14 | 163 | 61 | GTD |
| 016 | 02 | 02 | 061 | 65 | X | | | | 164 | 43 | RCL |
| 017 | 42 | STD | 062 | 43 | RCL | v_{ki}, a_{ki} : | | | | | |
| 018 | 19 | 19 | 063 | 10 | 10 | 113 | 35 | 1/X | | | |
| | | | 064 | 95 | = | 114 | 65 | X | | | |
| Berechnung x: | | | 065 | 42 | STD | 115 | 43 | RCL | | | |
| 019 | 71 | SBR | 066 | 12 | 12 | 116 | 09 | 09 | | | |
| 020 | 16 | A' | | | | 117 | 95 | = | | | |
| | | | F _{RI} : | | | 118 | 99 | PRT | | | |
| Rücksprungmarke: | | | 067 | 65 | X | 119 | 48 | EXC | | | |
| 021 | 76 | LBL | 068 | 53 | (| 120 | 15 | 15 | | | |
| 022 | 43 | RCL | 069 | 09 | 9 | 121 | 75 | - | | | |
| | | | 070 | 00 | 0 | 122 | 43 | RCL | | | |
| | | | 071 | 75 | - | 123 | 15 | 15 | | | |
| Berechnung x: | | | 072 | 43 | RCL | 124 | 95 | = | | | |
| 023 | 71 | SBR | 073 | 02 | 02 | 125 | 55 | + | | | |
| 024 | 16 | A' | 074 | 75 | - | 126 | 43 | RCL | | | |
| 025 | 43 | RCL | 075 | 43 | RCL | 127 | 00 | 00 | | | |
| 026 | 02 | 02 | 076 | 11 | 11 | 128 | 95 | = | | | |
| 027 | 99 | PRT | 077 | 54 |) | 129 | 99 | PRT | | | |
| 028 | 43 | RCL | 078 | 42 | STD | | | | | | |
| 029 | 08 | 08 | 079 | 13 | 13 | F ₀ : | | | | | |
| 030 | 99 | PRT | 080 | 39 | CDS | 130 | 65 | X | | | |
| | | | 081 | 95 | = | 131 | 43 | RCL | | | |
| Eingabe p_j : | | | 082 | 99 | PRT | 132 | 04 | 04 | | | |
| 031 | 71 | SBR | | | | 133 | 95 | = | | | |
| 032 | 15 | E | ω_j : | | | 134 | 99 | PRT | | | |
| | | | 083 | 55 | + | | | | | | |
| F _j : | | | 084 | 43 | RCL | Md: | | | | | |
| 033 | 65 | X | 085 | 03 | 03 | 135 | 43 | RCL | | | |
| 034 | 43 | RCL | 086 | 55 | + | 136 | 13 | 13 | | | |
| 035 | 07 | 07 | 087 | 43 | RCL | 137 | 38 | SIN | | | |
| 036 | 33 | X² | 088 | 05 | 05 | 138 | 65 | X | | | |
| 037 | 65 | X | 089 | 95 | = | 139 | 43 | RCL | | | |
| 038 | 89 | π | 090 | 50 | I×I | 140 | 12 | 12 | | | |
| 039 | 55 | ÷ | 091 | 34 | FX | 141 | 65 | X | | | |
| 040 | 04 | 4 | 092 | 99 | PRT | 142 | 43 | RCL | | | |
| 041 | 95 | = | 093 | 44 | SUM | 143 | 05 | 05 | | | |
| 042 | 99 | PRT | 094 | 17 | 17 | 144 | 95 | = | | | |
| 043 | 42 | STD | | | | 145 | 99 | PRT | | | |
| 044 | 10 | 10 | | | | | | | | | |
| | | | | | | | | | | | |
| | | | | | | | | | | | |
| | | | | | | | | | | | |
| | | | | | | | | | | | |
| | | | | | | | | | | | |
| | | | | | | | | | | | |
| | | | | | | | | | | | |
| | | | | | | | | | | | |
| | | | | | | | | | | | |
| | | | | | | | | | | | |
| | | | | | | | | | | | |
| | | | | | | | | | | | |
| | | | | | | | | | | | |
| | | | | | | | | | | | |
| | | | | | | | | | | | |
| | | | | | | | | | | | |
| | | | | | | | | | | | |
| | | | | | | | | | | | |
| | | | | | | | | | | | |
| | | | | | | | | | | | |
| | | | | | | | | | | | |
| | | | | | | | | | | | |
| | | | | | | | | | | | |
| | | | | | | | | | | | |
| | | | | | | | | | | | |
| | | | | | | | | | | | |
| | | | | | | | | | | | |
| | | | | | | | | | | | |
| | | | | | | | | | | | |
| | | | | | | | | | | | |
| | | | | | | | | | | | |
| | | | | | | | | | | | |
| | | | | | | | | | | | |
| | | | | | | | | | | | |
| | | | | | | | | | | | |
| | | | | | | | | | | | |
| | | | | | | | | | | | |
| | | | | | | | | | | | |
| | | | | | | | | | | | |
| | | | | | | | | | | | |
| | | | | | | | | | | | |
| | | | | | | | | | | | |
| | | | | | | | | | | | |
| | | | | | | | | | | | |
| | | | | | | | | | | | |
| | | | | | | | | | | | |
| | | | | | | | | | | | |
| | | | | | | | | | | | |
| | | | | | | | | | | | |
| | | | | | | | | | | | |
| | | | | | | | | | | | |
| | | | | | | | | | | | |
| | | | | | | | | | | | |
| | | | | | | | | | | | |
| | | | | | | | | | | | |

Auswertungsprogramm

```

201 54 )
202 34 FX
203 54 )
204 54 )
205 48 EXC
206 08 08
207 75 -
208 43 RCL
209 08 08
210 54 )
211 42 STD
212 09 09
213 92 RTN

```

Unterprogramm
Eingabe p_i:

```

214 76 LBL
215 15 E
216 91 R/S
217 99 PRT
218 92 RTN

```

```

240 76 LBL
241 12 B
242 98 ADV
243 98 ADV
244 98 ADV
245 43 RCL
246 17 17
247 55 +
248 43 RCL
249 18 18
250 95 =
251 99 PRT
252 42 STD
253 00 00
254 43 RCL
255 16 16
256 55 +
257 53 (
258 43 RCL
259 02 02
260 75 -
261 43 RCL

```

```

262 19 19
263 54 )
264 95 =
265 99 PRT
266 98 ADV
267 43 RCL
268 16 16
269 50 I×I
270 55 +
271 43 RCL
272 00 00
273 33 X²
274 55 +
275 91 R/S
276 99 PRT
277 95 =
278 98 ADV
279 99 PRT
280 98 ADV
281 65 ×
282 03 3
283 02 2

```

```

284 55 +
285 89 if
286 91 R/S
287 99 PRT
288 55 +
289 91 R/S
290 99 PRT
291 85 +
292 91 R/S
293 99 PRT
294 45 YX
295 04 4
296 95 =
297 45 YX
298 93 .
299 02 2
300 05 5
301 95 =
302 98 ADV
303 99 PRT
304 91 R/S

```

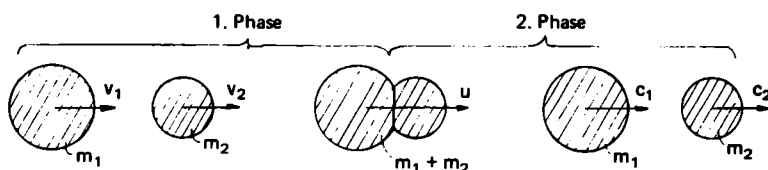


Bild 4.37
Stoßvorgang

Danach wird der elastische Anteil der Umformarbeit wieder in kinetische Energie umgesetzt und die Geschwindigkeiten der Massen lauten zum Ende der zweiten Phase

$$c_1 = u - \frac{k(v_1 - v_2) m_2}{m_1 + m_2} \quad (4.2.52)$$

und

$$c_2 = u + \frac{k(v_1 - v_2) m_1}{m_1 + m_2} \quad (4.2.53)$$

Dabei sind die Vorzeichen der Geschwindigkeitsrichtungen zu beachten. Aus der Energiebilanz folgt der Energieverlust beim Stoß

$$\Delta E = \frac{m_1 m_2}{m_1 + m_2} \frac{(v_1 - v_2)^2}{2} (1 - k^2) \quad (4.2.54)$$

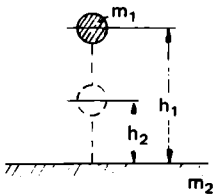
Der in diesen Gleichungen enthaltene Stoßfaktor k berücksichtigt die plastischen und elastischen Eigenschaften der Massen. Er ergibt sich aus den Relativgeschwindigkeiten vor und nach dem Stoß zu

$$k = \frac{c_2 - c_1}{v_1 - v_2} \quad (4.2.55)$$

Mit Hilfe dieser Gleichung lässt er sich durch ein einfaches Experiment bestimmen. Nach Bild 4.38 fällt eine Masse m_1 aus der Höhe h_1 auf eine Unterlage m_2 . Aus der Relation der Rücksprunghöhe h_2 zur Fallhöhe h_1 , über die Umrechnung der potentiellen in kinetische Energien vor und nach dem Stoß, bestimmt sich der Faktor aus

$$k = \sqrt{\frac{h_1}{h_2}}. \tag{4.2.56}$$

Bild 4.38
Experimentelle Bestimmung
des Stoßfaktors



Häufige Stoßzahlen zeigt Tabelle 4.22. Der Berechnungsalgorithmus folgt in Bild 4.39.

Tabelle 4.22

Stoßfaktoren

| Material | k |
|-----------|-------|
| Elfenbein | 8/9 |
| Stahl | 5/8 |
| Kork | 5/9 |
| Glas | 15/16 |

Tabelle 4.23

Speicherplatzbelegung

| | |
|------------------------|-------------------|
| 00 Zähler/ $m_1 + m_2$ | 03 m_2 |
| 01 k | 04 v_1 |
| 02 v_2 | 05 m_1 |
| | 06 $k(v_1 - v_2)$ |

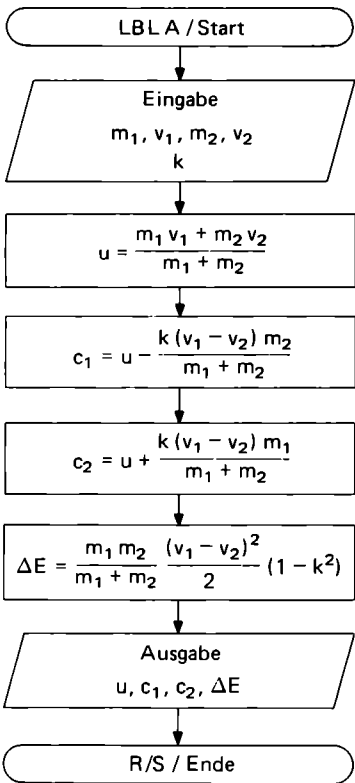


Bild 4.39
Flußdiagramm zum Stoßvorgang

Tabelle 4.24 Programm Stoßvorgang

| | | | | | | | | | | | |
|-----|----|-----|-----|----|-----|-----|----|-----|-----|----|-----|
| 000 | 76 | LBL | 026 | 95 | = | 052 | 54 |) | 078 | 43 | RCL |
| 001 | 11 | A | 027 | 55 | ÷ | 053 | 42 | STD | 079 | 03 | 03 |
| 002 | 47 | CMS | 028 | 53 | (| 054 | 06 | 06 | 080 | 55 | ÷ |
| 003 | 05 | 5 | 029 | 43 | RCL | 055 | 65 | × | 081 | 43 | RCL |
| 004 | 42 | STD | 030 | 05 | 05 | 056 | 43 | RCL | 082 | 00 | 00 |
| 005 | 00 | 00 | 031 | 85 | + | 057 | 03 | 03 | 083 | 65 | × |
| 006 | 91 | R/S | 032 | 43 | RCL | 058 | 55 | ÷ | 084 | 53 | (|
| 007 | 99 | PRT | 033 | 03 | 03 | 059 | 43 | RCL | 085 | 43 | RCL |
| 008 | 72 | ST* | 034 | 54 |) | 060 | 00 | 00 | 086 | 04 | 04 |
| 009 | 00 | 00 | 035 | 42 | STD | 061 | 95 | = | 087 | 75 | - |
| 010 | 97 | DSZ | 036 | 00 | 00 | 062 | 99 | PRT | 088 | 43 | RCL |
| 011 | 00 | 00 | 037 | 95 | = | 063 | 32 | X↑T | 089 | 02 | 02 |
| 012 | 00 | 00 | 038 | 99 | PRT | 064 | 85 | + | 090 | 54 |) |
| 013 | 06 | 06 | 039 | 75 | - | 065 | 43 | RCL | 091 | 33 | X² |
| 014 | 98 | ADV | 040 | 32 | X↑T | 066 | 06 | 06 | 092 | 55 | ÷ |
| 015 | 43 | RCL | 041 | 53 | (| 067 | 65 | × | 093 | 02 | 2 |
| 016 | 05 | 05 | 042 | 43 | RCL | 068 | 43 | RCL | 094 | 65 | × |
| 017 | 65 | × | 043 | 01 | 01 | 069 | 05 | 05 | 095 | 53 | (|
| 018 | 43 | RCL | 044 | 65 | × | 070 | 55 | ÷ | 096 | 01 | 1 |
| 019 | 04 | 04 | 045 | 53 | (| 071 | 43 | RCL | 097 | 75 | - |
| 020 | 85 | + | 046 | 43 | RCL | 072 | 00 | 00 | 098 | 43 | RCL |
| 021 | 43 | RCL | 047 | 04 | 04 | 073 | 95 | = | 099 | 01 | 01 |
| 022 | 03 | 03 | 048 | 75 | - | 074 | 99 | PRT | 100 | 33 | X² |
| 023 | 65 | × | 049 | 43 | RCL | 075 | 43 | RCL | 101 | 95 | = |
| 024 | 43 | RCL | 050 | 02 | 02 | 076 | 05 | 05 | 102 | 99 | PRT |
| 025 | 02 | 02 | 051 | 54 |) | 077 | 65 | × | 103 | 91 | R/S |

Verläuft die senkrecht auf den Berührungsflächen stehende Stoßnormale durch die Schwerpunkte beider Massen, so spricht man vom zentralen Stoß, dessen Gesetzmäßigkeit wir vorher abgehandelt haben. Beim exzentrischen Stoß unterscheidet man nach der Geschwindigkeitsrichtung beider Massen den geraden und den schiefen Stoß. Der gerade exzentrische Stoß nach Bild 4.40 läßt sich auf einen zentralen Stoß zurückführen, wenn man die reduzierte Masse

$$m_{\text{red}} = \frac{I d_1}{a^2} \quad (4.2.57)$$

und die Geschwindigkeit

$$v_1 = a \omega_1 \quad (4.2.58)$$

einsetzt. Beim schiefen Stoß sind nur die Geschwindigkeitskomponenten bezüglich der Stoßnormalen am Stoß beteiligt. So gelten als Beispiel für einen schiefen Stoß gegen eine Wand nach Bild 4.41 die Gesetzmäßigkeiten

$$v_{2t} = v_{1t} \quad (4.2.59)$$

und

$$v_{2n} = -k v_{1n}. \quad (4.2.60)$$

Bild 4.40

Gerader exzentrischer Stoß

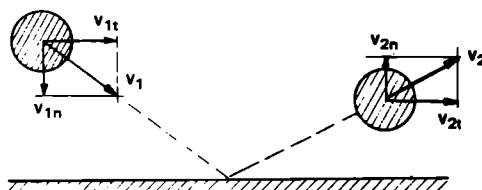
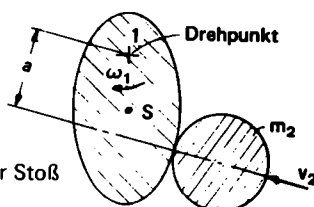


Bild 4.41 Schiefer Stoß gegen eine Wand

Gesetze über den Drehstoß lauten analog und sind im gleichen Sinne programmierbar.

4.2.7 Anwendungsbeispiele

– 1 –

Das Massenträgheitsmoment des in Bild 4.42 dargestellten Körpers ist zu bestimmen (Dichte $7.85 \cdot 10^{-3} \text{ kg/cm}^3$).

Der Körper unterteilt sich in drei Grundkörper, in zwei Quader und einen Hohlzylinder. Ihre Massen betragen

$$m_1 = 246.6 \text{ kg}$$

$$m_2 = 117.8 \text{ kg}$$

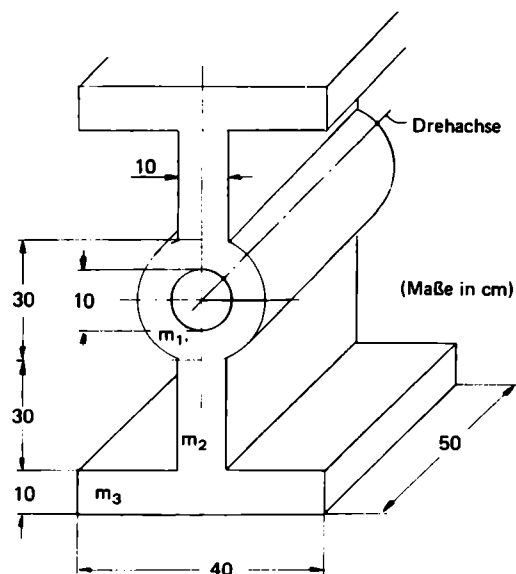
$$m_3 = 157 \text{ kg}$$

Damit folgt durch das Programm 4.12

Eingabe: 246.6 m_1 Zuvor Programmteil
30. R B (Hohlzylinder)
10. r aufgerufen.
50. h

Ausgabe: 123300. Id_x
10275. Id_y

Bild 4.42
Rotationskörper



Da Drehachse-Hohlzylinder und Drehachse-Körper zusammenfallen, braucht eine Umrechnung nach dem Steinerschen Satz nicht durchgeführt werden. Für die beiden Quader ist dies jedoch der Fall. Dazu wird Programmteil E' aufgerufen.

2. Teil
Programmteil A

Eingabe: 117.8 m_2
50. a
30. b

Ausgabe: 33376.66667 Id_2

Programmteil E'

Eingabe: 33376.66667
117.8
30. a

Ausgabe: 139396.6667 Id_{21}

3. Teil
Programmteil A

157. m_3
50. a
40. b

53641.66667 Id_3

Programmteil E'

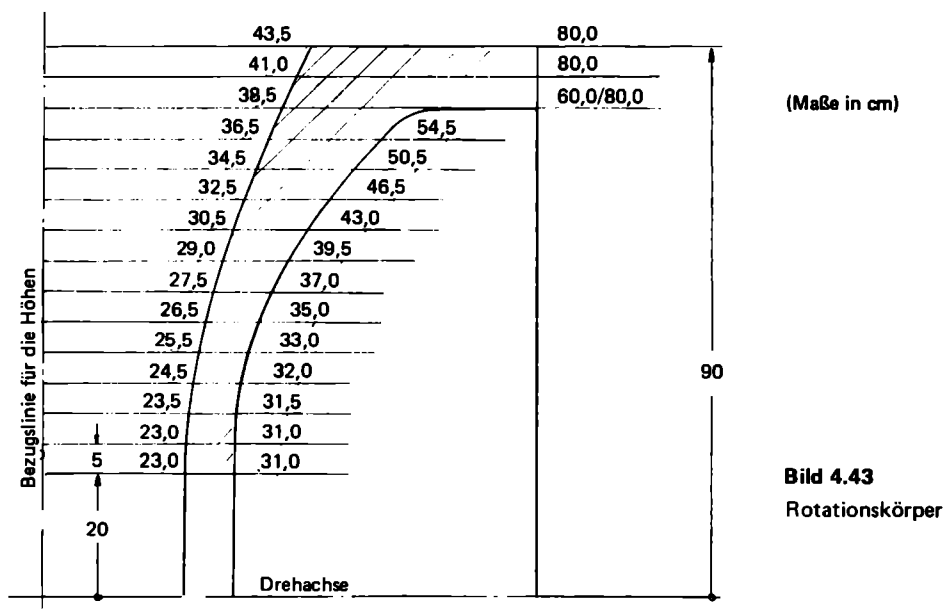
53641.66667
157.
50. a

446141.6667 Id_{31}

Damit ergibt sich

$$Id = 129.44 \text{ kgm}^2$$

Das Massenträgheitsmoment des in Bild 4.43 dargestellten Körpers ist zu bestimmen (Dichte $7.85 \cdot 10^{-3} \text{ kg/cm}^3$).



Manuelle Be-
rechnung der
Höhendiffe-
renzen:

36,5 h_{90}
39,0 h_{85}
41,5 h_{80}

21,5 h_{80}
18,0 h_{75}
16,0 h_{70}
14,0 h_{65}
12,5 h_{60}
10,5 h_{55}
9,5 h_{50}
8,5 h_{45}
7,5 h_{40}
7,5 h_{35}
8,0 h_{30}
8,0 h_{25}
8,0 h_{20}

Anwendung von Programm 4.14:

Durch den Höhengsprung bei $r = 80$, ist eine Aufteilung der Berechnung notwendig.

| | | | | | |
|----------|---------|--------------------|----------|-----------|--------------|
| Eingabe: | 0.00785 | δ | 30. | 50. | 70. |
| | 20. | r_1 | 7.5 | 10.5 | 18. |
| | 80. | r_2 | 209250. | 1250000. | 5831000. |
| | 5. | Δr | | | |
| | 8. | h_1 | 35. | 55. | 75. |
| Ausgabe: | | | 7.5 | 12.5 | 21.5 |
| Eingabe: | 20. | r_i | 321562.5 | 1913312.5 | 8332031.25 |
| Ausgabe: | 8. | h_{i3} | | | |
| | 64000. | $r_i h_m \Delta r$ | 40. | 60. | |
| | | | 8.5 | 14. | |
| | 25. | | 512000. | 2862000. | 6500687.24 |
| | 8. | | | | End-Ausgabe: |
| | 125000. | | 45. | 65. | I_{d1} |
| | | | 9.5 | 16. | |
| | | | 820125. | 4119375. | |

| | | |
|----------|-----------|----------------------|
| Eingabe: | 0.00785 | δ |
| | 80. | r_1 |
| | 90. | r_2 |
| | 5. | Δr |
| | 41.5 | h_1 |
| | | |
| | 80. | r_i |
| | 39. | h_i |
| | 20608000. | $r_i^3 h_m \Delta r$ |

Damit folgt

$$I_d = I_{d1} + I_{d2} = 1730 \text{ kgm}^2.$$

| | |
|-------------|--------------|
| Ausgabe: | 85. |
| Eingabe: | 36.5 |
| Ausgabe: | 23183218.75 |
| | |
| | End-Ausgabe: |
| 10799572.43 | I_{d2} |

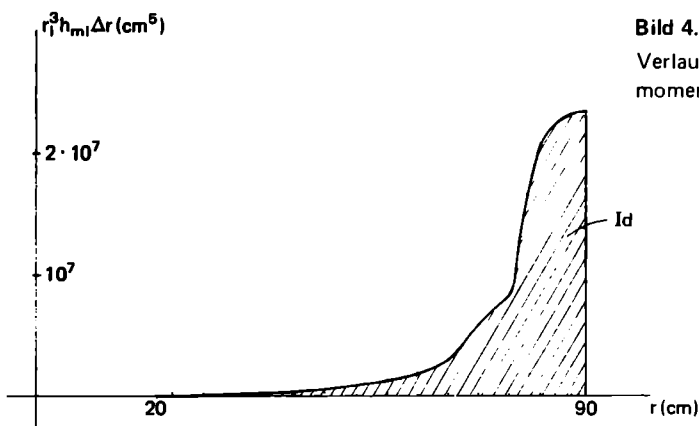


Bild 4.44

Verlauf des Massenträgheitsmoments über dem Radius

Welche Schwingbewegung vollführt ein nach Bild 4.45 aufgehängtes Pleuel mit $I_{d_s} = 35 \text{ kg cm}^2$ bei 30° Auslenkung.

Das Massenträgheitsmoment bezogen auf den Drehpunkt ergibt sich aus (4.2.12)

$$I_{d_D} = I_{d_s} + m a^2 = 194 \text{ kg cm}^2.$$

Damit ergibt sich wiederum nach (4.2.20)

$$l_{\text{red}} = \frac{I_{d_D}}{m l} = 17.2 \text{ cm}.$$

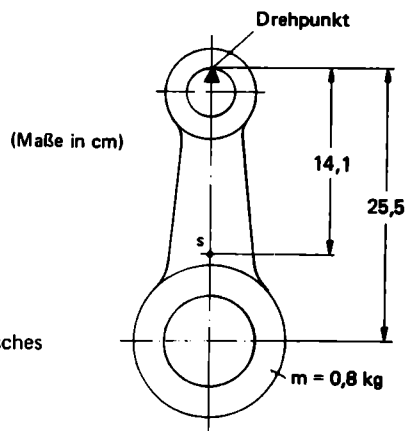
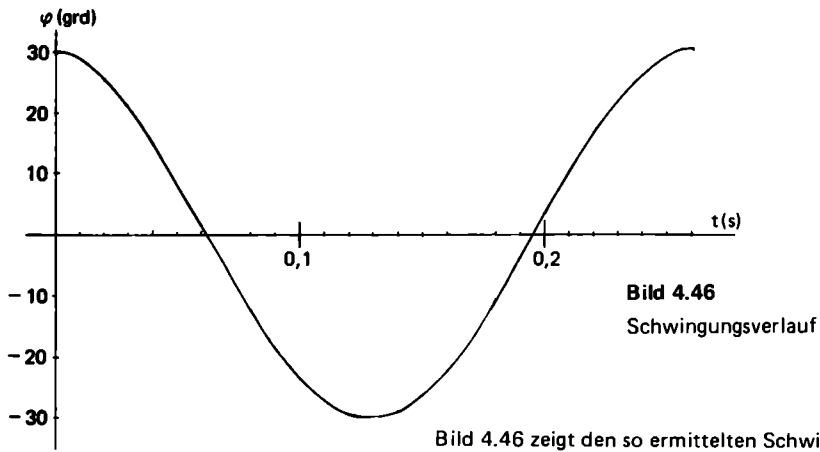


Bild 4.45
Physikalisches
Pendel

Mit Hilfe der zuvor ermittelten reduzierten Länge, läßt sich nun Programm 4.5 anwenden.

| | | | | |
|----------|--------------|-------------------------|---------------|-------------|
| Eingabe: | 0.8 | m | -23.6985357 | 3.323910178 |
| | 0.0172 | l | -8.757543618 | 12.44685031 |
| | 30. | φ_0 | -1.1506297502 | .2140858253 |
| | 0. | ω_0 | 8.489864866 | 9.962432152 |
| | 0. | t_0 | 0.1 | 0.2 |
| | 0.01 | Δt | | |
| | 0.02 | Δt_{prt} | -29.60306807 | 16.62561513 |
| | | | -3.840180447 | 11.09969635 |
| | | | -0.0660511037 | .1909147773 |
| | | | 7.170316736 | 9.417638999 |
| Ausgabe: | 25.17957196 | φ_i | | |
| | -5.561489882 | ω_i | | |
| | -0.095657626 | v_i | | |
| | 7.331290331 | s_i | -29.13176475 | 26.24813236 |
| | 0.02 | t_i | 1.845302682 | 7.326628141 |
| | | | .0317392061 | 0.126018004 |
| | | | 6.830438058 | 8.01258562 |
| | 14.87599507 | | 0.14 | 0.24 |
| | -9.995057149 | | | |
| | -0.171914983 | | | |
| | 8.720703196 | | -22.37821271 | 30.1690215 |
| | 0.04 | | 7.165298597 | 2.039036031 |
| | | | .1232431359 | .0350714197 |
| | | | 7.730904387 | 6.921175837 |
| | 1.272285779 | | 0.16 | 0.26 |
| | -12.28365006 | | | |
| | -0.211278781 | | | |
| | 9.841814317 | | -10.72212287 | |
| | 0.06 | | 11.00699082 | |
| | | | .1893202422 | |
| | | | 9.171007806 | |
| | | | 0.18 | |
| | -12.61644772 | | | |
| | -11.83012395 | | | |
| | -0.203478132 | | | |
| | 9.733029322 | | | |
| | 0.08 | | | |

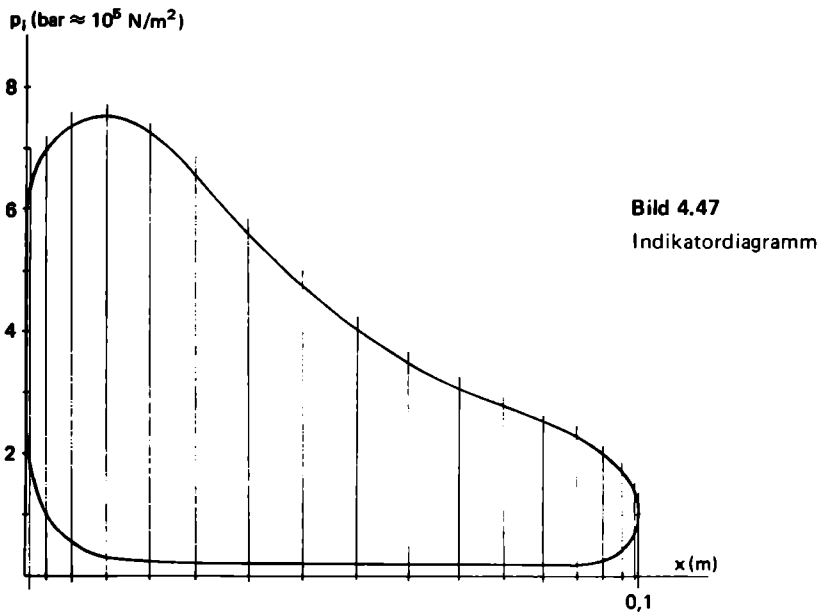


– 4 –

Bei einem Kolbenmotor mit den Daten

$$\begin{aligned} d_k &= 0.1 \text{ m} \\ l &= 0.3 \text{ m} \\ r &= 0.05 \text{ m} \\ m_0 &= 80 \text{ kg} \\ m_R &= 60 \text{ kg} \end{aligned}$$

wurde ein Indikatordiagramm, Bild 4.47, erstellt. Gesucht ist eine Analyse vorhandener Bewegungs- und Belastungsgrößen bei einem Ausgangswinkel $\varphi_0 = -90^\circ$ und schrittweises Vorgehen um 10° .



| | | | | | |
|----------|--------------|-----------------|--------------|--------------|--------------|
| Eingabe: | 0.1 | d_k | -50. | 0. | 50. |
| | 0.3 | l | .0900287567 | .0541960108 | .0134243123 |
| | 0.05 | r | 20000. | 20000. | 20000. |
| | 80. | m_0 | 157.0796327 | 157.0796327 | 157.0796327 |
| | 60. | m_R | -109.4504467 | 26.55130398 | 131.2095128 |
| | -90. | φ_0 | 6.040155812 | 2.97496801 | 6.613358017 |
| | 10. | $\Delta\varphi$ | 1.65558643 | 3.361380683 | 1.512091131 |
| | | | .0026069282 | .0025450892 | .0045575651 |
| Ausgabe: | -90. | φ_i | -.0001870867 | -.0005856947 | .0002104713 |
| | 0.1 | x_i | -.0149669362 | -.0468555728 | .0168377008 |
| | 100000. | p_i | 5.696728209 | 7.853981634 | 4.400155953 |
| | 785.3981634 | F_i | 5.341886161 | 29.95397108 | 39.16826522 |
| | -785.3981634 | F_{Ri} | | | |
| | 16.18021594 | ω_i | -40. | 10. | 60. |
| | .6180387232 | Δt_i | .0845945271 | .0453862068 | .0077422112 |
| | 0. | v_i | 20000. | 20000. | 55000. |
| | 0. | a_i | 157.0796327 | 157.0796327 | 431.9689899 |
| | 0. | F_{0i} | -85.47905726 | 53.01619078 | 392.1576497 |
| | 0. | Md_i | 5.337885264 | 4.203815361 | 11.43325048 |
| | .6180387232 | l_i | 1.873401077 | 2.378791441 | .8746419067 |
| | | | .0029007294 | 0.003703479 | .0064964885 |
| | | | -.0001568277 | -.0004869657 | -.0022168197 |
| | -80. | | -.0125462161 | -.0389572528 | -.1773455762 |
| | .0993660543 | | 6.666372604 | 7.507732718 | 9.235050295 |
| | 70000. | | 7.215287238 | 32.33276252 | 40.04290712 |
| | 549.7787144 | | | | |
| | -538.6622064 | | -30. | 20. | 70. |
| | 13.39977868 | | .0781414478 | .0366010947 | 0.003503173 |
| | .7462809824 | | 20000. | 20000. | 100000. |
| | .0008494731 | | 157.0796327 | 157.0796327 | 785.3981634 |
| | -.0011382752 | | -58.69707918 | 77.13070799 | 753.3701526 |
| | -.0910620175 | | 4.423312453 | 5.070526205 | 15.84687301 |
| | 5.557212734 | | 2.26074918 | 1.972181899 | 0.631039322 |
| | 1.364319706 | | .0028543986 | .0044545141 | .0067175501 |
| | | | .0000204936 | -.0003808143 | -.0003503135 |
| | -70. | | .0016394847 | -.0304651477 | -.0280250805 |
| | 0.097472435 | | 7.374558098 | 6.954368587 | 11.32415617 |
| | 45000. | | 9.476036418 | 34.30494442 | 40.67394645 |
| | 353.4291735 | | | | |
| | -325.213004 | | -20. | 30. | 80. |
| | 10.41174023 | | 0.070803109 | .0281414478 | 0.000885279 |
| | 0.960454235 | | 20000. | 20000. | 190000. |
| | .0019715872 | | 157.0796327 | 157.0796327 | 1492.25651 |
| | -0.001168316 | | -30.31808897 | 98.3825535 | 1477.08843 |
| | -.0934652828 | | 3.178998216 | 5.726620688 | 22.18924988 |
| | 6.992119383 | | 3.145645049 | 1.746230551 | .4506686821 |
| | 2.324773941 | | .0023328566 | .0048445189 | .0058089102 |
| | | | .0001657981 | -.0002233409 | .0020162038 |
| | -60. | | .0132638485 | -.0178672744 | .1612963018 |
| | .0943447516 | | 7.806288583 | 6.228937134 | 10.82889923 |
| | 25000. | | 12.62168147 | 36.05117498 | 41.12461513 |
| | 196.3495408 | | | | |
| | -161.8339037 | | -10. | 40. | 90. |
| | 7.344701121 | | .0627510246 | .0203157661 | 0. |
| | 1.361525791 | | 20000. | 20000. | 600000. |
| | 0.00229719 | | 157.0796327 | 157.0796327 | 4712.38898 |
| | -.0002391455 | | -1.536993147 | 116.458626 | 4712.38898 |
| | -.0191316399 | | .7157730429 | 6.230533042 | 39.63327298 |
| | 5.619726908 | | 13.97090893 | 1.604999112 | .2523132522 |
| | 3.686299731 | | .0005763465 | .0048758168 | .0035086506 |
| | | | .0001257263 | -.0000195003 | .0091166818 |
| | | | .0100581006 | -.0015600241 | .7293345417 |
| | | | 7.961591292 | 5.36662537 | 0. |
| | | | 26.5925904 | 37.65617409 | 41.37692838 |

| | | | |
|--------------|--------------|--------------|--------------|
| 100. | 150. | 200. | 240. |
| 0.000885279 | .0281414478 | 0.070803109 | .0943447516 |
| 630000. | 650000. | 305000. | 200000. |
| 4948.008429 | 5105.088062 | 2395.464398 | 1570.796327 |
| 4897.714269 | 3197.432989 | -462.3508569 | -1294.671229 |
| 40.40509155 | 32.64676088 | 12.41438489 | 20.77395187 |
| .2474935613 | .3063091017 | .8055171549 | .4813720596 |
| -.0035769781 | -.0255483159 | -.0099961676 | -.0089660272 |
| .0286295475 | -.0006991056 | .0092295308 | -0.00449755 |
| 2.290363803 | -.0559284453 | .7383624642 | -0.359803996 |
| -35.90635008 | -202.4404568 | -119.0459009 | -44.95781527 |
| 41.62442194 | 42.92292361 | 48.67803046 | 50.7816968 |
| 110. | 160. | 210. | 250. |
| 0.003503173 | .0366010947 | .0781414478 | 0.097472435 |
| 700000. | 560000. | 280000. | 180000. |
| 5497.787144 | 4398.229715 | 2199.114858 | 1413.716694 |
| 5273.591068 | 2159.659824 | -821.7591085 | -1300.852016 |
| 41.92688504 | 26.83070271 | 16.55051971 | 20.82348047 |
| .2385104448 | .3727073461 | .6042106334 | .4802271175 |
| -.0109760137 | -0.022697827 | -.0121453321 | -.0065129255 |
| .0310218517 | -.0076480621 | 0.003556979 | -.0051082115 |
| 2.481748136 | -.6118449641 | .2845583213 | -.4086569193 |
| -79.26909318 | -194.7223204 | -103.2438134 | -27.96847753 |
| 41.86293239 | 43.29563095 | 49.28224109 | 51.26192392 |
| 120. | 170. | 220. | 260. |
| .0077422112 | .0453862068 | .0845945271 | .0993660543 |
| .735000. | 480000. | 250000. | 135000. |
| 5772.676501 | 3769.911184 | 1963.495408 | 1060.287521 |
| 5240.652228 | 1272.388579 | -1068.488216 | -1038.848541 |
| 41.79574232 | 20.59440522 | 18.87227434 | 18.60867666 |
| .2392588203 | .4855687695 | .5298778421 | .5373837261 |
| -.0177173751 | -.0180924159 | -.0121784282 | -.0035237749 |
| .0281760205 | -.0094845703 | .0000624599 | -.0055624136 |
| 2.254081636 | -.7587656242 | .0049967936 | -.4449930859 |
| -123.4138539 | -180.1855852 | -83.32965755 | -10.7174817 |
| 42.10219121 | 43.78119972 | 49.81211894 | 51.79930764 |
| 130. | 180. | 230. | 270. |
| .0134243123 | .0541960108 | .0900287567 | 0.1 |
| 750000. | 400000. | 230000. | 100000. |
| 5890.486225 | 3141.592654 | 1806.415776 | 785.3981634 |
| 4920.356729 | 531.0260796 | -1258.680137 | -785.3981634 |
| 40.49838157 | 13.3044614 | 20.48316493 | 16.18021594 |
| .2469234476 | .7516275705 | .4882058037 | .6180387232 |
| -.0230115899 | -.0117209698 | -0.011131022 | -.0010257378 |
| .0214407129 | -.0084768658 | -.0021454194 | -.0040418781 |
| 1.715257031 | -.6781492678 | -.1716335512 | -.3233502478 |
| -165.0058482 | -157.0796327 | -65.51237441 | 0. |
| 42.34911465 | 44.53282729 | 50.30032474 | 52.41734637 |
| 140. | 190. | | |
| .0203157661 | .0627510246 | | |
| 720000. | 350000. | | |
| 5654.866776 | 2748.893572 | | |
| 4192.510535 | -26.89738007 | | |
| 37.38319825 | 2.994293465 | | |
| 0.267499852 | 3.339686011 | | |
| -.0257624583 | -.0025616222 | | |
| 0.010283626 | -.0027425775 | | |
| .8226900777 | -.2194061978 | | |
| -193.1985133 | -139.3278476 | | |
| 42.61661451 | 47.87251331 | | |

Nach Abschluß der Berechnung
Auswertung durch Programnteil B

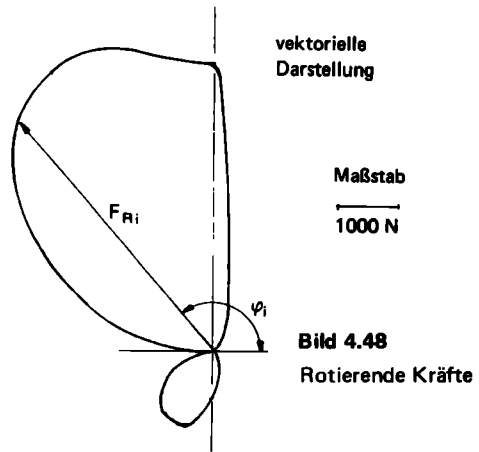
Ausgabe: 17,02815188 ω_m (s⁻¹)
-48,70136533 Md_m (Nm)

Eingabe: 0,2 δ

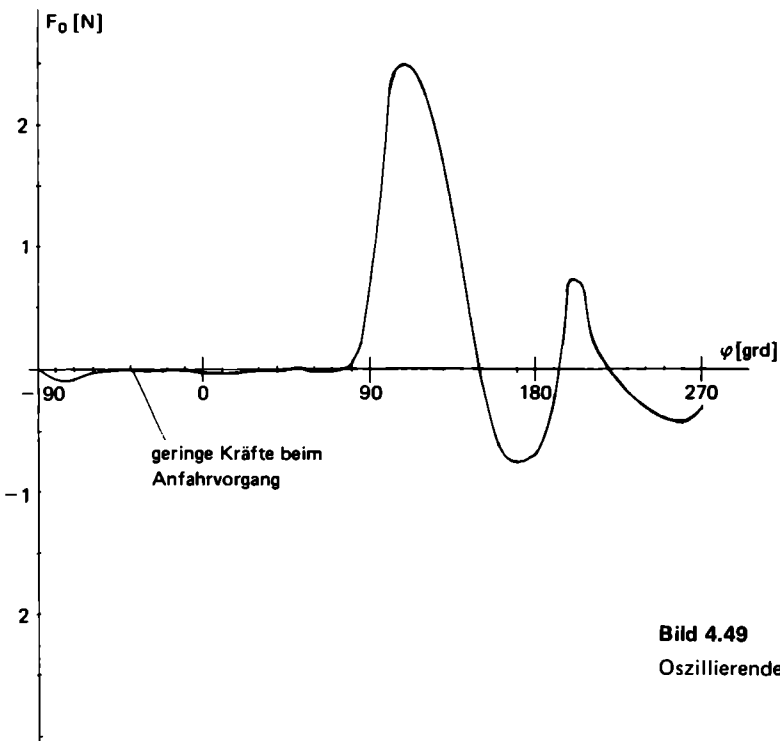
Ausgabe: 310,726172 I_d (kgm²)

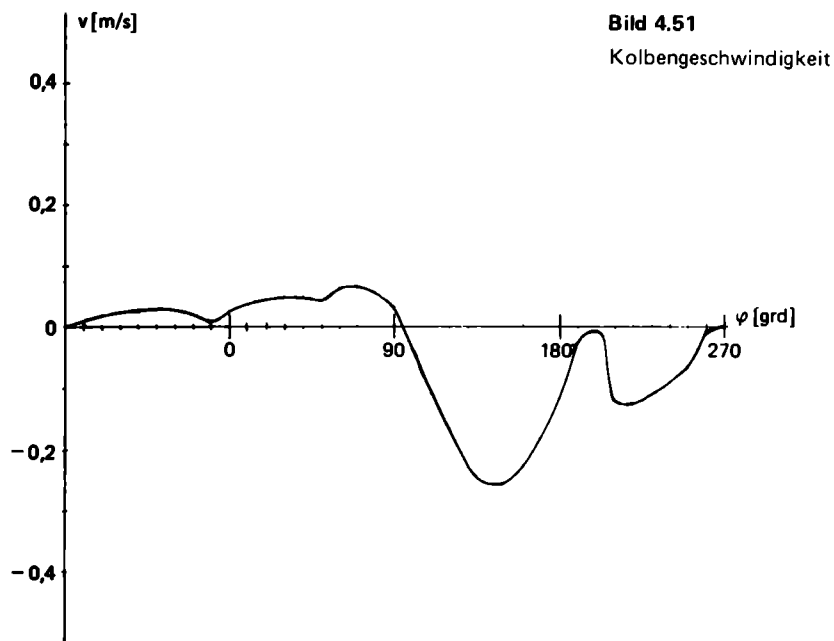
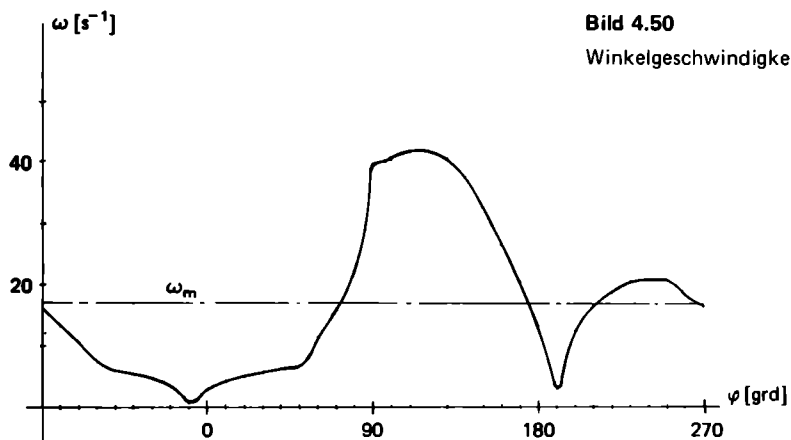
Eingabe: 7850, ρ
0,1 b
0,05 d

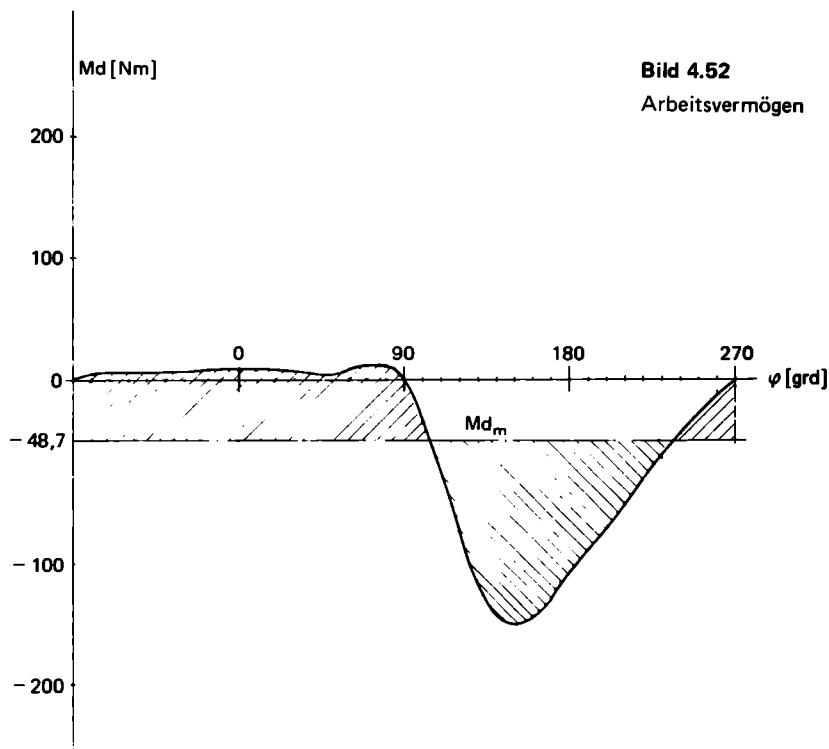
Ausgabe: 1,886533809 D (m)



Damit lassen sich die nachfolgenden Diagramme erstellen. (Ohne Einfluß eines Schwungrades.)







— 5 —

Zwei Massen, $m_1 = 40 \text{ kg}$ und $m_2 = 25 \text{ kg}$ aus Stahl, treffen mit den Geschwindigkeiten $v_1 = 5 \text{ m/s}$ bzw. $v_2 = -2 \text{ m/s}$ zentral aufeinander. Wie verhalten sich beide Massen nach dem Stoß und welche Umformarbeit wurde geleistet?

Den Sachverhalt gibt Bild 4.53 graphisch wieder.

Eingabe:

| | |
|-------|-------|
| 40. | m_1 |
| 5. | v_1 |
| 25. | m_2 |
| -2. | v_2 |
| 0.625 | k |

Ausgabe:

| | |
|-------------|-------------------------|
| 2.307692308 | u |
| 0.625 | c_1 |
| 5. | c_2 |
| 229.6875 | $\Delta E \text{ [Nm]}$ |

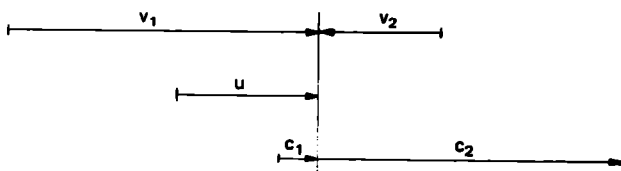


Bild 4.53
Geschwindigkeiten sich stoßender Massen

4.3 Mechanische Schwingungen

Unter einer mechanischen Schwingung versteht man die periodische Bewegung einer Masse um eine Mittellage. Den einfachsten Fall bildet ein Feder-Masse-System. Bei der Bewegung findet ein ständiger Energieumtausch zwischen potentieller und kinetischer Energie statt. Die potentielle Energiedifferenz wird auch als Federenergie bezeichnet. Die bei der Bewegung umgesetzte Wärmeenergie, durch innere Reibung in der Feder, soll unberücksichtigt bleiben. Wirken auf ein schwingendes System keine äußeren Kräfte, bezeichnet man den Bewegungsvorgang als freie Schwingung, Andernfalls als erzwungene Bewegung. Die bei der realen Schwingung stets auftretende Widerstandskraft, Bewegung im Medium und Reibungskraft (Stokes'sche Reibung, im Gegensatz zur Coulomb'schen oder Newton'schen Reibung), etc., soll in erster Näherung als geschwindigkeitsproportional angenommen werden. Dies entspricht auch unserer Annahme in 4.1.1. Nach der Schwingungsform unterscheidet man Längs-, Biegungs- und Torsionsschwingung.

4.3.1 Freie Schwingung

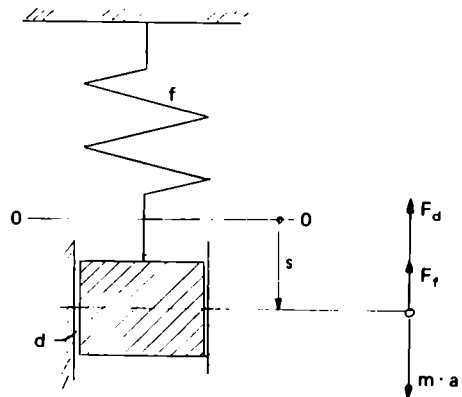
Wir betrachten den allgemeinsten Fall, eine freie gedämpfte Schwingung. Die zum Zeitpunkt t an der Masse angreifenden Kräfte zeigt Bild 4.54. Danach wirkt am Körper die Federkraft

$$F_f = f s \quad (4.3.1)$$

mit der Federkonstanten f
und die Dämpfungskraft

$$F_d = 2 m d \dot{s}, \quad (4.3.2)$$

Bild 4.54
Freie gedämpfte Schwingung



mit der Dämpfungskonstanten d , als Maß für die Dämpfungsintensität. Nach dem d'Alembertschen Prinzip folgt

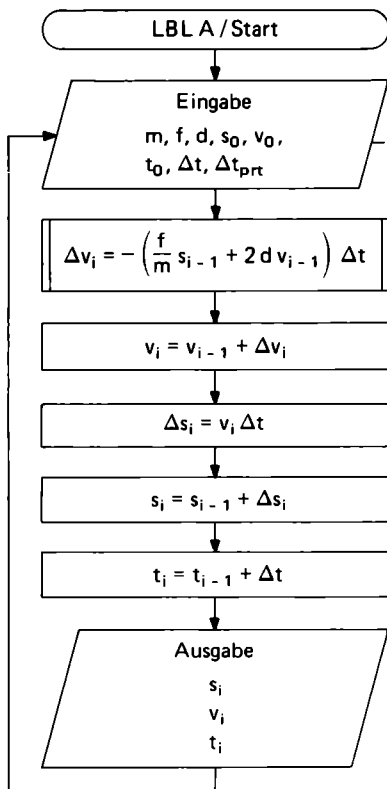
$$m \ddot{s} = -f s - 2 m d \dot{s} \quad (4.3.3)$$

$$\frac{dv}{dt} = -\frac{f}{m} s - 2 d v \quad (4.3.4)$$

und damit nach dem Euler-Cauchy-Verfahren

$$\Delta v = -\left(\frac{f}{m} s + 2 d v\right) \Delta t. \quad (4.3.5)$$

Wir erhalten den in Bild 4.55 dargestellten Berechnungsalgorithmus. Er ist in der Programmform als Rumpfprogramm aufgebaut, d.h. die entscheidende Berechnung der Geschwindigkeitsänderung geschied im Unterprogramm. Damit können auch nachfolgende Probleme in dieses Schema integriert werden. Setzt man $d = 0$, liegt der Fall einer freien ungedämpften Schwingung vor.



Zur Eingabe wird nach Aufruf des Programms A der Wert 8 eingegeben, da 8 Werte einzulesen sind. Siehe Tabelle 4.25

Bild 4.55

Flußdiagramm zur freien gedämpften Schwingung

Tabelle 4.25

Speicherplatzbelegung

| | |
|-----------------------------------|-----------------------------------|
| 00 Δt _{vorn} | 05 s ₀ /s _i |
| 01 Δt _{prt} | 06 d |
| 02 Δt | 07 f |
| 03 t ₀ /t _i | 08 m |
| 04 v ₀ /v _i | 09 c = 0 für diesen Fall |

Die Annahme einer linearen Federkennlinie ist nicht immer ausreichend genau. Daher soll nachfolgend noch ein Programmteil mit der Federkraft

$$F_f = f s (1 + c s^2) \quad (4.3.6)$$

aufgestellt werden. Der linearen Federkennlinie ist also eine kubische Parabel überlagert. Die Vergleiche werden im nachfolgenden Anwendungsbeispiel durchgeführt. Wir erhalten in ähnlicher Weise

$$\Delta v = - \left(\frac{f}{m} s + \frac{cf}{m} s^3 + 2 d v \right) \Delta t \quad (4.3.7)$$

und damit lediglich einen zusätzlichen Term. Unser Unterprogramm bekommt die in Tabelle 4.27 wiedergegebene Form.

Tabelle 4.26 Programm freie gedämpfte Schwingung

| Start/Eingabe: | | | $\Delta s_j, s_j$: | | | Ausgabe: | | |
|---------------------|----|-----|---------------------|----|-----|---------------------|----|-----|
| 000 | 76 | LBL | 019 | 43 | RCL | 042 | 76 | LBL |
| 001 | 11 | A | 020 | 04 | 04 | 043 | 99 | PRT |
| 002 | 47 | CMS | 021 | 65 | x | 044 | 00 | 0 |
| 003 | 91 | R/S | 022 | 43 | RCL | 045 | 42 | STD |
| 004 | 42 | STD | 023 | 02 | 02 | 046 | 00 | 00 |
| 005 | 00 | 00 | 024 | 95 | = | 047 | 43 | RCL |
| 006 | 91 | R/S | 025 | 44 | SUM | 048 | 05 | 05 |
| 007 | 99 | PRT | 026 | 05 | 05 | 049 | 99 | PRT |
| 008 | 72 | ST* | | | | 050 | 43 | RCL |
| 009 | 00 | 00 | t_j : | | | 051 | 04 | 04 |
| 010 | 97 | DSZ | 027 | 43 | RCL | 052 | 99 | PRT |
| 011 | 00 | 00 | 028 | 02 | 02 | 053 | 43 | RCL |
| 012 | 00 | 00 | 029 | 44 | SUM | 054 | 03 | 03 |
| 013 | 06 | 06 | 030 | 03 | 03 | 055 | 99 | PRT |
| 014 | 98 | ADV | 031 | 44 | SUM | 056 | 98 | ADV |
| | | | 032 | 00 | 00 | 057 | 61 | GTD |
| | | | | | | 058 | 43 | RCL |
| Berechnung: | | | | | | | | |
| 015 | 76 | LBL | Abfrage/Ausgabe: | | | SBR für | | |
| 016 | 43 | RCL | 033 | 43 | RCL | $\Delta v_j, v_j$: | | |
| Aufruf/Unterprogr.: | | | 034 | 01 | 01 | 240 | 76 | LBL |
| 017 | 71 | SBR | 035 | 32 | x:T | 241 | 38 | SIN |
| 018 | 38 | SIN | 036 | 43 | RCL | 242 | 53 | (|
| | | | 037 | 00 | 00 | 243 | 53 | (|
| | | | 038 | 77 | GE | 244 | 43 | RCL |
| | | | 039 | 99 | PRT | | | |
| | | | 040 | 61 | GTD | | | |
| | | | 041 | 43 | RCL | | | |
| | | | | | | 245 | 07 | 07 |
| | | | | | | 246 | 55 | + |
| | | | | | | 247 | 43 | RCL |
| | | | | | | 248 | 08 | 08 |
| | | | | | | 249 | 65 | x |
| | | | | | | 250 | 43 | RCL |
| | | | | | | 251 | 05 | 05 |
| | | | | | | 252 | 85 | + |
| | | | | | | 253 | 02 | 2 |
| | | | | | | 254 | 65 | x |
| | | | | | | 255 | 43 | RCL |
| | | | | | | 256 | 06 | 06 |
| | | | | | | 257 | 65 | x |
| | | | | | | 258 | 43 | RCL |
| | | | | | | 259 | 04 | 04 |
| | | | | | | 260 | 54 |) |
| | | | | | | 261 | 94 | +/- |
| | | | | | | 262 | 65 | x |
| | | | | | | 263 | 43 | RCL |
| | | | | | | 264 | 02 | 02 |
| | | | | | | 265 | 54 |) |
| | | | | | | 266 | 44 | SUM |
| | | | | | | 267 | 04 | 04 |
| | | | | | | 268 | 92 | RTN |

Tabelle 4.27 SBR für nichtlineare Federkennlinie

| | | | | | | | | | | | |
|-----|----|-----|-----|----|-----|-----|----|-----|-----|----|-----|
| 240 | 76 | LBL | 250 | 43 | RCL | 260 | 33 | X² | 270 | 94 | +/- |
| 241 | 38 | SIN | 251 | 05 | 05 | 261 | 85 | + | 271 | 65 | × |
| 242 | 53 | (| 252 | 85 | + | 262 | 02 | 2 | 272 | 43 | RCL |
| 243 | 53 | (| 253 | 24 | DE | 263 | 65 | × | 273 | 02 | 02 |
| 244 | 43 | RCL | 254 | 65 | × | 264 | 43 | RCL | 274 | 54 |) |
| 245 | 07 | 07 | 255 | 43 | RCL | 265 | 06 | 06 | 275 | 44 | SUM |
| 246 | 55 | + | 256 | 09 | 09 | 266 | 65 | × | 276 | 04 | 04 |
| 247 | 43 | RCL | 257 | 65 | × | 267 | 43 | RCL | 277 | 92 | RTN |
| 248 | 08 | 08 | 258 | 43 | RCL | 268 | 04 | 04 | | | |
| 249 | 65 | × | 259 | 05 | 05 | 269 | 54 |) | | | |

Wird die Dämpfungs- oder Reibungskraft, als Newton'sche Reibung mit

$$F_d = c \operatorname{sgn}(v) v^2, \quad (4.3.8)$$

also dem Quadrat der Geschwindigkeit proportional, angesetzt, ergibt sich die Differenzengleichung zu

$$\Delta v = - \left(\frac{f}{m} s + c \operatorname{sgn}(v) v^2 \right) \Delta t \quad (4.3.9)$$

und damit ein Unterprogramm nach Tabelle 4.28.

Tabelle 4.28 SBR für Newtonsche Reibung

| | | | | | | | | | | | |
|-----|----|-----|-----|----|-----|-----|----|-----|-----|----|-----|
| 240 | 76 | LBL | 248 | 08 | 08 | 256 | 43 | RCL | 264 | 54 |) |
| 241 | 38 | SIN | 249 | 65 | x | 257 | 04 | 04 | 265 | 94 | +/- |
| 242 | 53 | (| 250 | 43 | RCL | 258 | 69 | DP | 266 | 65 | x |
| 243 | 53 | (| 251 | 05 | 05 | 259 | 10 | 10 | 267 | 43 | RCL |
| 244 | 43 | RCL | 252 | 85 | + | 260 | 65 | x | 268 | 02 | 02 |
| 245 | 07 | 07 | 253 | 43 | RCL | 261 | 43 | RCL | 269 | 54 |) |
| 246 | 55 | + | 254 | 09 | 09 | 262 | 04 | 04 | 270 | 44 | SUM |
| 247 | 43 | RCL | 255 | 65 | x | 263 | 33 | X² | 271 | 04 | 04 |
| | | | | | | | | | 272 | 92 | RTN |

4.3.2 Erzwungene Schwingung durch eine rotierende Masse

Zum Ansatz betrachten wir das idealisierte Schwingungssystem nach Bild 4.56. Die im Abstand r außerhalb des Drehpunktes rotierende Masse m_1 , hat in Schwingungsrichtung den Fliehkraftanteil

$$F_e = m_1 r \omega^2 \sin(\omega t). \quad (4.3.10)$$

Der Ansatz gestaltet sich wie zuvor

$$m\ddot{s} = -f s - 2m\dot{v} - m_1 r \omega^2 \sin(\omega t), \quad (4.3.11)$$

wobei m die Masse m_1 beinhaltet. Es folgt wieder

$$\Delta v = - \left(\frac{f}{m} s + 2\dot{v} - \frac{m_1}{m} r \omega^2 \sin(\omega t) \right) \Delta t \quad (4.3.12)$$

als Bewegungsgleichung. Der nachfolgende Berechnungsalgorithmus in Bild 4.57, ist für konstante Winkelgeschwindigkeiten ausgelegt. Ansonsten muß der Algorithmus eine zusätzliche Gleichung $\omega = f(t)$ bestimmen.

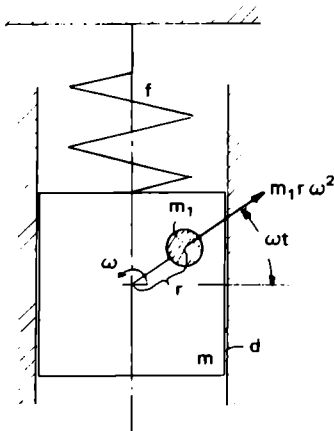


Bild 4.56
Erzwungene Schwingung
durch Rotor

Tabelle 4.29

Zusätzliche Speicherplatzbelegung

09 ω
10 r
11 m_1

Auch hier läßt sich wiederum der Programmrumpf von Tabelle 4.26 verwenden. Mit einer zusätzlichen Speicherbelegung zu Tabelle 4.25 folgt Tabelle 4.29. Bei Aufruf des Programms A, muß anschließend 11 eingegeben werden, da 11 Werte einzulesen sind. Tabelle 4.30 zeigt das entsprechende Unterprogramm.

Tabelle 4.30 SBR Erzwungene Schwingung durch Rotor

| | | | | | | | | | | | |
|-----|----|-----|-----|----|-----|-----|----|-----|-----|----|-----|
| 240 | 76 | LBL | 252 | 85 | + | 265 | 08 | 08 | 278 | 43 | RCL |
| 241 | 38 | SIN | 253 | 02 | 2 | 266 | 65 | × | 279 | 03 | 03 |
| 242 | 53 | (| 254 | 65 | × | 267 | 43 | RCL | 280 | 54 |) |
| 243 | 53 | (| 255 | 43 | RCL | 268 | 10 | 10 | 281 | 38 | SIN |
| 244 | 43 | RCL | 256 | 06 | 06 | 269 | 65 | × | 282 | 54 |) |
| 245 | 07 | 07 | 257 | 65 | × | 270 | 43 | RCL | 283 | 94 | +/- |
| 246 | 55 | ÷ | 258 | 43 | RCL | 271 | 09 | 09 | 284 | 65 | × |
| 247 | 43 | RCL | 259 | 04 | 04 | 272 | 33 | ×² | 285 | 43 | RCL |
| 248 | 08 | 08 | 260 | 75 | - | 273 | 65 | × | 286 | 02 | 02 |
| 249 | 65 | × | 261 | 43 | RCL | 274 | 53 | (| 287 | 54 |) |
| 250 | 43 | RCL | 262 | 11 | 11 | 275 | 43 | RCL | 288 | 44 | SUM |
| 251 | 05 | 05 | 263 | 55 | ÷ | 276 | 09 | 09 | 289 | 04 | 04 |
| | | | 264 | 43 | RCL | 277 | 65 | × | 290 | 92 | RTN |

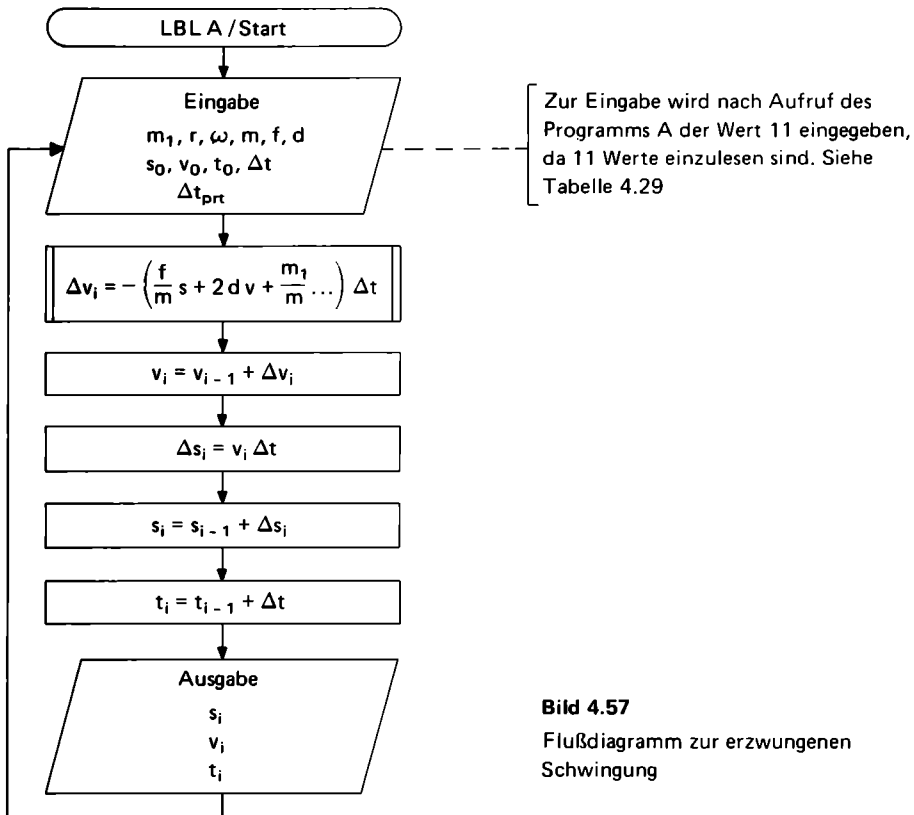


Bild 4.57

Flußdiagramm zur erzwungenen Schwingung

4.3.3 Erzwungene Schwingung durch rotierende und oszillierende Massen

Zum Ansatz betrachten wir wieder ein idealisiertes Schwingungssystem nach Bild 4.58. Der vorhandene Schubkurbeltrieb beinhaltet rotierende und oszillierende Massen. Sie werden als Massen-

kräfte 1. und 2. Ordnung bezeichnet. Ihr Anteil in Schwingungsebene beträgt für Massenkraft 1. Ordnung angenähert

$$F_I = m_1 r \omega^2 \cos \omega t \quad (4.3.13)$$

und für Massenkraft 2. Ordnung

$$F_{II} = m_1 r \omega^2 \cdot \frac{r}{l} \cos^2 \omega t. \quad (4.3.14)$$

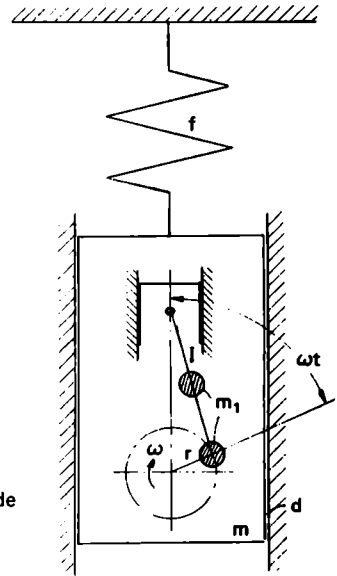
Die Differentialgleichung der Bewegung lautet

$$m s = - \left(f s + 2 m d v - m_1 r \omega^2 \left(\cos \omega t - \frac{r}{l} \cos^2 \omega t \right) \right).$$

Auch hier beinhaltet m wieder m_1 . (4.3.15)

Bild 4.58

Erzwungene Schwingung durch rotierende und oszillierende Masse



Aus dieser leitet sich wieder die nachfolgende Geschwindigkeitsänderung ab

$$v = - \left(\frac{f}{m} s + 2 d v - \frac{m_1}{m} r \omega^2 \left(\cos \omega t - \frac{r}{l} \cos^2 \omega t \right) \right) \Delta t. \quad (4.3.16)$$

Beachten Sie bitte, daß im vorliegenden Fall der Winkel ωt anders als bei reiner Rotation gemessen wird. Mit zusätzlicher Speicherplatzbelegung nach Tabelle 4.31 folgt das Unterprogramm für diesen Fall nach Tabelle 4.32.

Tabelle 4.31 Zusätzliche Speicherplatzbelegung

| | |
|-------------|----------|
| 09 ω | 11 m_1 |
| 10 r | 12 l |

Tabelle 4.32 SBR erzwungene Schwingung durch rotierende und oszillierende Masse

| | | | | | | | | | | | |
|-----|----|-----|-----|----|-----|-----|----|-----|-----|----|-----|
| 240 | 76 | LBL | 257 | 65 | x | 274 | 53 | (| 292 | 65 | x |
| 241 | 38 | SIN | 258 | 43 | RCL | 275 | 53 | (| 293 | 43 | RCL |
| 242 | 53 | (| 259 | 04 | 04 | 276 | 43 | RCL | 294 | 09 | 09 |
| 243 | 53 | (| 260 | 75 | - | 277 | 09 | 09 | 295 | 65 | x |
| 244 | 43 | RCL | 261 | 43 | RCL | 278 | 65 | x | 296 | 43 | RCL |
| 245 | 07 | 07 | 262 | 11 | 11 | 279 | 43 | RCL | 297 | 03 | 03 |
| 246 | 55 | + | 263 | 55 | + | 280 | 03 | 03 | 298 | 54 |) |
| 247 | 43 | RCL | 264 | 43 | RCL | 281 | 54 |) | 299 | 39 | CDS |
| 248 | 08 | 08 | 265 | 08 | 08 | 282 | 39 | CDS | 300 | 54 |) |
| 249 | 65 | x | 266 | 65 | x | 283 | 75 | - | 301 | 54 |) |
| 250 | 43 | RCL | 267 | 43 | RCL | 284 | 43 | RCL | 302 | 94 | +/- |
| 251 | 05 | 05 | 268 | 10 | 10 | 285 | 10 | 10 | 303 | 65 | x |
| 252 | 85 | + | 269 | 65 | x | 286 | 55 | + | 304 | 43 | RCL |
| 253 | 02 | 2 | 270 | 43 | RCL | 287 | 43 | RCL | 305 | 02 | 02 |
| 254 | 65 | x | 271 | 09 | 09 | 288 | 12 | 12 | 306 | 54 |) |
| 255 | 43 | RCL | 272 | 33 | x² | 289 | 65 | x | 307 | 44 | SUM |
| 256 | 06 | 06 | 273 | 65 | x | 290 | 53 | (| 308 | 04 | 04 |
| | | | | | | 291 | 02 | 2 | 309 | 92 | RTN |

4.3.4 Schwingung unter Berücksichtigung der Federmasse

Die Voraussetzung für die Betrachtung dieses Ansatzes besteht in der Annahme, daß jeder Teil der Feder einen gleichen Anteil an der gesamten Durchbiegung hat. Unter Betrachtung von Bild 4.59 ergeben sich für die Durchbiegung an der Stelle s folgende Verhältnisse

$$y = \frac{s}{l} x \quad (4.3.17)$$

und auch

$$\dot{y} = \frac{s}{l} \dot{x}. \quad (4.3.18)$$

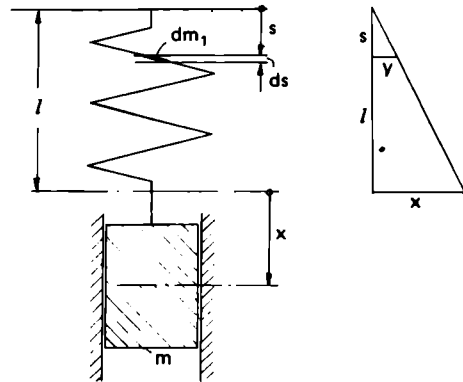


Bild 4.59
Schwingende Federmasse

Der Arbeitsanteil eines Massenelements dm_1 beträgt zu diesem Zeitpunkt

$$dW = \frac{dm_1}{2} \dot{y}^2. \quad (4.3.19)$$

Daraus folgt durch Integration

$$W = \frac{1}{2} \int dm_1 \dot{y}^2. \quad (4.3.20)$$

Mit

$$dm_1 = \frac{m_1}{l} ds \quad (4.3.21)$$

worin m_1 die Federmasse ist, gilt

$$W = \frac{1}{2} \frac{m_1}{l^3} \dot{x}^2 \int_0^l s^2 ds \quad (4.3.22)$$

$$W = \frac{m_1}{6} \dot{x}^2 = \left(\frac{m_1}{3} \right) \frac{\dot{x}^2}{2}. \quad (4.3.23)$$

Dies heißt aber, daß die Federmasse nominell zu einem Drittel am Schwingungsprozeß beteiligt ist. Gleichung (4.3.5) ergibt sich damit ergänzt

$$\Delta v = - \left(\frac{f}{m + \frac{m_1}{3}} s + 2dv \right) \Delta t. \quad (4.3.24)$$

Programmtechnisch ändert sich nichts, da statt der Masse m die ergänzte Masse

$$m' = m + \frac{m_1}{3} \quad \text{eingegeben wird.} \quad (4.3.25)$$

4.3.5 Biegeschwingungen

Wir betrachten ein Blattfederpendel nach Bild 4.60. Durch die Masse m wird eine statische Durchbiegung x erreicht. Nach Auslenkung aus seiner Lage, schwingt das System nach der Bewegungsgleichung

$$m\ddot{s} + fs = 0. \quad (4.3.26)$$

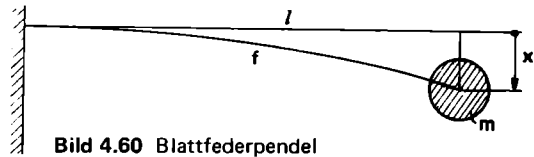


Bild 4.60 Blattfederpendel

Dies ist die allgemeine Differentialgleichung für freie Schwingung ohne Dämpfung. Die Federkonstante f ergibt sich aus der Überlegung, daß die Kraft, im Bereich des Hookeschen Gesetzes, am Stab proportional zur Durchbiegung ist. Mit Hilfe der statischen Auslenkung ergibt sich also

$$f = \frac{mg}{x}. \quad (4.3.27)$$

Im Fall des Blattfederpendels

$$f = \frac{3EI}{l^3} \quad (4.3.28)$$

mit E = E-Modul des Trägerwerkstoffs und I = axiales Flächenträgheitsmoment des Querschnitts.

Damit läßt sich dieses System als ein vorangegangenes allgemeines Schwingungssystem betrachten. So ergibt sich für einen Träger nach Bild 4.61

$$f = \frac{48EI}{l^3}. \quad (4.3.29)$$

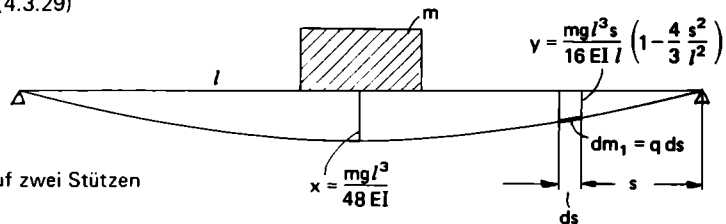


Bild 4.61

Schwingender Träger auf zwei Stützen

Berücksichtigt man die Federarbeit des Trägers, so ergibt sie sich aus der Entwicklung von x in y eingesetzt

$$y = 3 \frac{s}{l} \left(1 - \frac{4}{3} \frac{s^2}{l^2} \right) x \quad (4.3.30)$$

$$\dot{y} = \frac{s}{l^3} (3l^2 - 4s^2) \dot{x} \quad (4.3.31)$$

$$dW = \frac{dm_1}{2} \dot{y}^2 = \frac{q \dot{x}^2}{2g l^6} (9l^4 s^2 - 24l^2 s^4 + 16s^6) ds \quad (4.3.32)$$

$$W = \left(\frac{17}{35} m_1 \right) \frac{\dot{x}^2}{2} \quad (4.3.33)$$

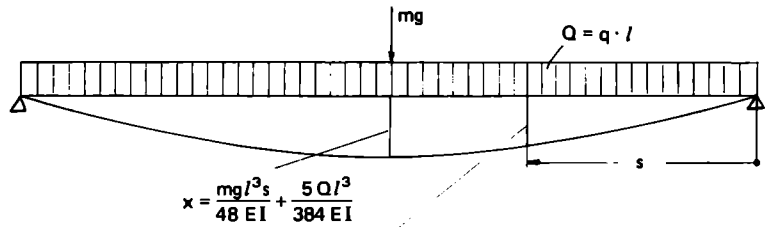


Bild 4.62

Schwingende Trägermasse

$$v = \frac{mg l^3}{16 EI} \left(1 - \frac{4s^2}{l^2}\right) + \frac{5 Q l^3}{384 EI} \left(1 - \frac{4s^2}{l^2}\right) \left(1 - \frac{4s^2}{5l^2}\right)$$

Es müssen also $\frac{17}{35}$ -stel der Trägermasse für deren Federarbeit berücksichtigt werden. Weiterhin wollen wir die bisher vernachlässigte Trägermasse beachten. Nach Bild 4.62 folgt auf gleichem Wege

$$v = \frac{Fl^3}{48 EI} \left(\frac{3s}{l} \left(1 - \frac{4s^2}{3l^2}\right) - \left(1 - \frac{4s^2}{l^2}\right) \left(1 - \frac{4s^2}{5l^2}\right) \right) + \left(1 - \frac{4s^2}{l^2}\right) \left(1 - \frac{4s^2}{5l^2}\right) x \quad (4.3.34)$$

$$\dot{v} = \left(1 - \frac{4s^2}{l^2}\right) \left(1 - \frac{4s^2}{5l^2}\right) \dot{x} \quad (4.3.35)$$

$$dW = \frac{dm_1}{2} \dot{v}^2 \quad (4.3.36)$$

$$W = 2 \int_0^{l/2} dW = \left(\frac{3968}{7875} m_1 \right) \frac{\dot{x}^2}{2} \quad (4.3.37)$$

In diesem Fall müssen also $\frac{3968}{7875}$ -stel der Trägermasse eingesetzt werden. Ein Geringeres als zuvor.

Ein besonders wichtiger Hinweis zur kritischen Winkelgeschwindigkeit einer rotierenden elastischen Welle. Sie bestimmt sich, als statisches Träger-Masse-System aufgefaßt, aus der statischen Durchbiegung durch

$$\omega_k = \sqrt{\frac{g}{x}} \quad (4.3.38)$$

Ein nachfolgendes Anwendungsbeispiel zeigt dies anschaulich.

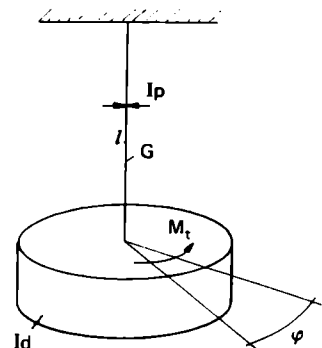
4.3.6 Drehschwingungen

Ein Torsionspendel nach Bild 4.63 erfährt bei Auslenkung um φ das rückstellende Moment

$$M_t = \frac{G I_p}{l} \varphi. \quad (4.3.39)$$

Bild 4.63

Torsionspendel



G ist der Gleitmodul des Fadens, I_p sein polares Flächenträgheitsmoment. Daraus folgt als Bewegungsgleichung für freie Drehschwingungen

$$I_d \cdot \ddot{\varphi} = - \frac{G I_p}{l} \varphi \quad (4.3.40)$$

$$\ddot{\varphi} = - \frac{G I_p}{l I_d} \varphi \quad (4.3.41)$$

$$d\omega = - \frac{G I_p}{l I_d} \varphi dt \quad (4.3.42)$$

und damit letztlich wieder

$$\Delta\omega = - \frac{G I_p}{l I_d} \varphi \Delta t. \quad (4.3.43)$$

Das Flußdiagramm folgt analog zu Bild 4.64. Mit der Speicherplatzbelegung nach Tabelle 4.33 läßt sich das Rechnerprogramm in 4.3.1 als Rumpfprogramm auch hier einsetzen und wir erhalten ein Unterprogramm nach Tabelle 4.34.

Tabelle 4.33

Speicherplatzbelegung

| | |
|-----------------------------|----------|
| 00 Δt_{vorh} | 06 I_d |
| 01 Δt_{prt} | 07 l |
| 02 Δt | 08 I_p |
| 03 t_0/t_i | 09 G |
| 04 ω_0/ω_i | 10 |
| 05 φ_0/φ_i | 11 |

Tabelle 4.34

SBR Drehschwingungen

| | | | | | |
|-----|----|-----|-----|----|-----|
| 240 | 76 | LBL | 252 | 43 | RCL |
| 241 | 38 | SIN | 253 | 06 | 06 |
| 242 | 53 | (| 254 | 65 | x |
| 243 | 43 | RCL | 255 | 43 | RCL |
| 244 | 09 | 09 | 256 | 05 | 05 |
| 245 | 65 | x | 257 | 65 | x |
| 246 | 43 | RCL | 258 | 43 | RCL |
| 247 | 08 | 08 | 259 | 02 | 02 |
| 248 | 55 | ÷ | 260 | 94 | +/- |
| 249 | 43 | RCL | 261 | 54 |) |
| 250 | 07 | 07 | 262 | 44 | SUM |
| 251 | 55 | ÷ | 263 | 04 | 04 |
| | | | 264 | 92 | RTN |

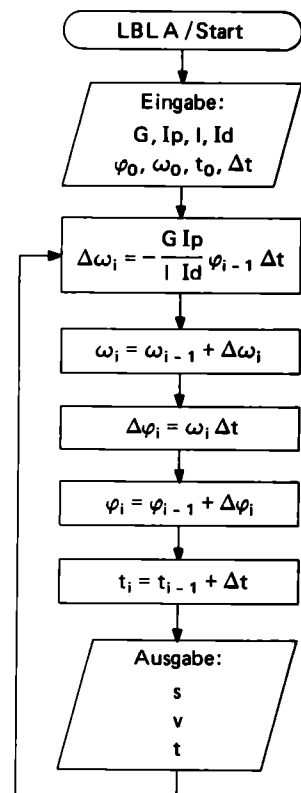


Bild 4.64

Flußdiagramm zur Drehschwingung

4.3.7 Anwendungsbeispiele

Alle Programme in diesem Buch sind für die Anwendung mit dem Drucker geschrieben. Wollen Sie diese ohne ihn benutzen, dann müssen Sie in den Programmen die Befehle Prt durch R/S ersetzen. Das Programm hält an und Sie können das Ergebnis notieren. Danach starten Sie wieder mit R/S.

– 1 –

Eine freie gedämpfte Schwingung hat folgende Daten:

$m = 50 \text{ kg}$
 $f = 80 \text{ kg/s}^2$
 $d = 2, 0.4 \text{ und } 0.04 \text{ s}^{-1}$
 $s_0 = -5 \text{ m}$
 $v_0 = 0$
 $t_0 = 0$
 $\Delta t = 0.1$
 $\Delta t_{\text{prt}} = 1$

Berechnungsdaten

| | | | | |
|--------------|-------|-------------------------|--------------|--------------|
| Eingabe: | 50. | m | -1.451855677 | -.2515043109 |
| (d = 2) | 80. | f | .6504745178 | .1126817299 |
| | 2. | d | 3. | 7. |
| | -5. | s_0 | | |
| | 0. | v_0 | | |
| | 0. | t_0 | -.9366536231 | -.1622560522 |
| | 0.1 | Δt | .4196498495 | .0726957426 |
| | 1. | Δt_{prt} | 4. | 8. |
| Ausgabe: | | | | |
| -3.484475459 | s_i | -.6042748098 | -.1046782315 | |
| 1.540157122 | v_i | .2707338519 | .0468990936 | |
| 1. | t_i | 5. | 9. | |
| -2.250407548 | | -.3898431988 | -.0675323478 | |
| 1.008055577 | | .1746618413 | .0302565858 | |
| 2. | | 6. | 10. | |

Achtung!
Nach Aufruf von A muß
zuerst 8, für die Anzahl
der Eingabewerte einge-
geben werden.

| | | | | |
|--------------|-------|-------------------------|--------------|--------------|
| Eingabe: | 50. | m | 1.433773749 | .1196017981 |
| (d = 0.4) | 80. | f | -0.985849354 | .2804877562 |
| | 0.4 | d | 3. | 7. |
| | -5. | s_0 | | |
| | 0. | v_0 | .0846203907 | .1837521113 |
| | 0. | t_0 | -1.268975052 | -.0858713487 |
| | 0.1 | Δt | 4. | 8. |
| | 1. | Δt_{prt} | | |
| Ausgabe: | | | | |
| -1.969818686 | s_i | -.5848154626 | .0305613607 | |
| 4.235892561 | v_i | -.1415993718 | -.1604016932 | |
| 1. | t_i | 5. | 9. | |
| 1.287383235 | | -.2993730536 | -.0660960311 | |
| 1.902153264 | | .4876420538 | -.0347278314 | |
| 2. | | 6. | 10. | |

Zuvor Eingabe von
8

| | | | |
|--------------|----------------------|--------------|--------------|
| Eingabe: | 50. m | 3.411305902 | 3.278576466 |
| (d = 0.04) | 80. f | -3.459065426 | 2.5115051 |
| | 0.04 d | 3. | 7. |
| | -5. s ₀ | | |
| | 0. v ₀ | -1.61976722 | 2.658688343 |
| | 0. t ₀ | -5.066825621 | -3.026104001 |
| | 0.1 Δt | 4. | 8. |
| | 1. Δt _{prt} | | |
| Ausgabe: | | | |
| -1.288171682 | s _i | -4.076483678 | -1.500730494 |
| 5.824853377 | v _i | .2864578921 | -4.053188372 |
| | 1. t _i | 5. | 9. |
| 3.875008435 | | -0.843467657 | -3.314183974 |
| 3.340653638 | | 4.84005357 | .4679742414 |
| | 2. | 6. | 10. |

Zuvor Eingabe von
8

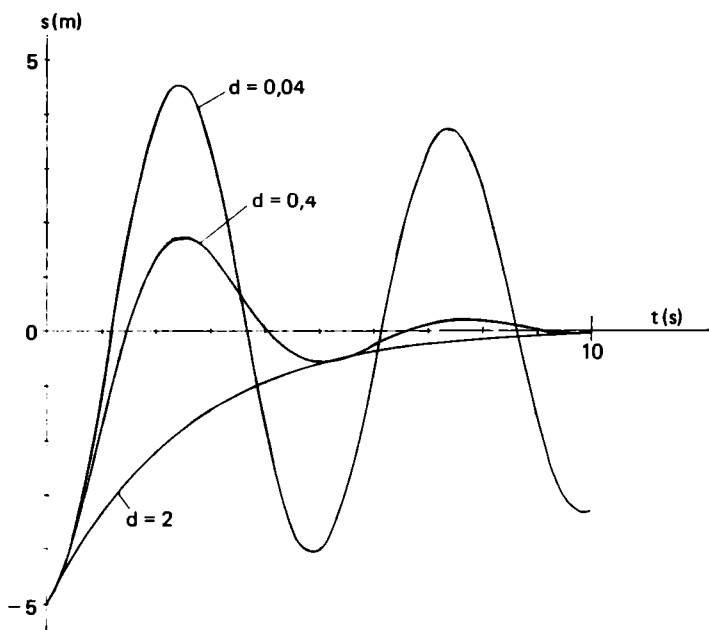


Bild 4.65
Schwingungsvorgang

Aus der allgemeinen Lösung lassen sich Gesetzmäßigkeiten für diesen Schwingungsvorgang gewinnen. So liegt für den Fall

$$d > \sqrt{\frac{f}{m}} \quad (4.3.44)$$

ein aperiodisches Schwingungsverhalten vor. In unserem Fall

$$\sqrt{\frac{80}{50}} = 1.265 \text{ s}^{-1}$$

gilt dies für $d = 2 \text{ s}^{-1}$.

Weiterhin liegen zwei Nulldurchgänge in derselben Richtung zeitlich um

$$T = \frac{2\pi}{\sqrt{\frac{f}{m} - d^2}} \quad (4.3.45)$$

auseinander. In unserem Fall mit $d = 0.4$

$$T = \frac{2\pi}{\sqrt{\frac{80}{50} - 0.4^2}} = 4.85222 \text{ s}$$

Weiterhin beträgt das Verhältnis der beiden Höchstausschläge zu einer Seite

$$\frac{A_i}{A_{i+1}} = e^{Td}. \quad (4.3.46)$$

In unserem Fall mit $d = 0.4$

$$e^{Td} = 6.96493.$$

Umgekehrt bezeichnet man die Größe

$$\ln \frac{A_i}{A_{i+1}} = Td \quad (4.3.47)$$

als logarithmisches Dekrement der Schwingung. Mißt man praktisch eine Reihe von Höchstausschlägen und die Schwingdauer, so läßt sich daraus die Dämpfungskonstante d bestimmen. Mit Hilfe der Gleichung (4.3.45) für T folgt bei gegebener Masse auch die Federkonstante.

– 2 –

Das unter – 1 – angegebene Schwingungssystem ($d = 0.4 \text{ s}^{-1}$) wird auf unterschiedlichste Art erregt. Der Schwingungsverlauf ist aufzuzeichnen.

Die Art der Schwingungserregung wird durch die Größen s_0 und v_0 wiedergegeben.

1. Fall: Die Masse wird ausgelenkt und losgelassen (wie unter – 1 –)

$$s_0 = -5 \text{ m}; \quad v_0 = 0$$

2. Fall: Die Masse bekommt in der Ruhelage einen Stoß nach unten

$$s_0 = 0; \quad v_0 = -5 \text{ m/s}$$

3. Fall: Die Masse wird ausgelenkt und bekommt einen Stoß nach oben

$$s_0 = -5 \text{ m}; \quad v_0 = 5 \text{ m/s}$$

Diese drei Fälle mögen genügen. Den Schwingungsverlauf zeigt nachher Bild 4.66.

Deutlich sieht man in Bild 4.66 die Einflüsse auf den Schwingungsverlauf des Systems.

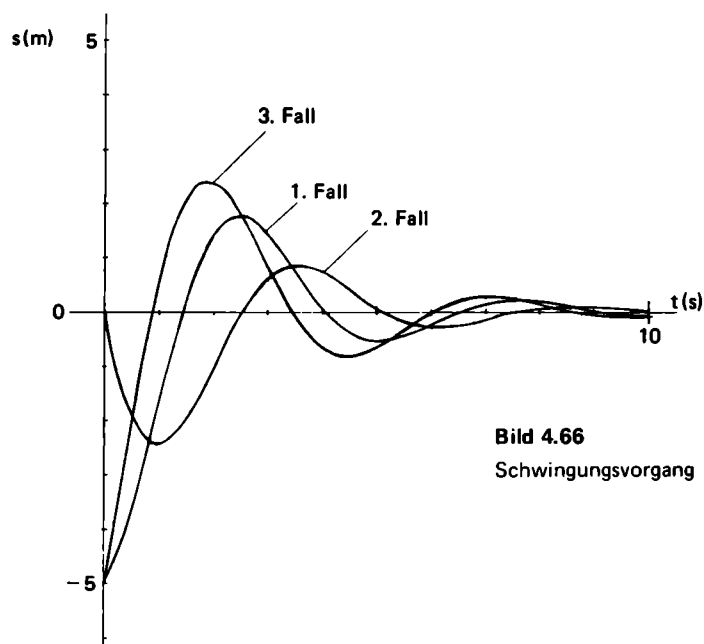


Bild 4.66
Schwingungsvorgang

Achtung!
Zuvor 8 (Eingabewerte)
angeben

| | | | | |
|----------|-----------------------------|--------------|--------------|--------------|
| Eingabe: | 50. m | -1.093738127 | .0814196388 | .0493760255 |
| | 80. f | 2.04824454 | -.6414552112 | .1494035718 |
| | 0.4 d | 2. | 5. | 8. |
| | 0. s ₀ | | | |
| | -5. v ₀ | .5668633786 | -0.280094181 | .0922309736 |
| | 0. t ₀ | 1.039434007 | -.1043162321 | -.0335993166 |
| | 0.1 Δt | 3. | 6. | 9. |
| | 1. Δt _{prt} | | | |
| Ausgabe: | | | | |
| | -2.435638228 s _i | .7296606547 | -.1612804596 | .0199685031 |
| | -.2754616611 v _i | -0.42296960 | .2317969005 | -.0799871637 |
| | 1. t _i | 4. | 7. | 10. |

| | | | | |
|----------|----------------------------|--------------|--------------|--------------|
| Eingabe: | 50. m | 2.381121361 | -.6662351014 | .1343760858 |
| | 80. f | -.1460912767 | .4998558395 | -.2352749205 |
| | 0.4 d | 2. | 5. | 8. |
| | -5. s ₀ | | | |
| | 5. v ₀ | .8669103705 | -.0189788726 | -.0616696129 |
| | 0. t ₀ | -2.025283362 | .5919582859 | -.1268023765 |
| | 0.1 Δt | 3. | 6. | 9. |
| | 1. Δt _{prt} | | | |
| Ausgabe: | | | | |
| | 0.465819537 s _i | -.6450402641 | .2808822579 | -.0860645342 |
| | 4.511354222 v _i | -.8460054217 | .0486908556 | .0452593323 |
| | 1. t _i | 4. | 7. | 10. |

In diesem Beispiel vergleichen wir das Schwingungsverhalten des Systems aus – 1 –, $d = 0.4 \text{ s}^{-1}$, bei unterschiedlicher Federrückholung, d.h. bei linearer und kubisch überlagerter Kennlinie. ($c = 0.1$).

Unter Benutzung des Unterprogramms für die kubische Federkennlinie ergab sich

| | | | | |
|--|----------------------------|--------------|--------------|--------------|
| Achtung! Zuvor 9 (Eingabewerte) eingeben | | | | |
| Eingabe: | 0.1 c | 2.321375362 | -.2226510932 | -.0609699041 |
| | 50. m | -2.258942209 | 1.055075587 | -0.258498205 |
| | 80. f | 2. | 5. | 8. |
| | 0.4 d | | | |
| | -5. s_0 | -.4492932949 | .4257560428 | -.1498258106 |
| | 0. v_0 | -2.184963992 | .2442425942 | .0376684749 |
| | 0. t_0 | 3. | 6. | 9. |
| | 0.1 Δt | | | |
| | 1. Δt_{prt} | | | |
| Ausgabe: | | -1.182819418 | .2820386282 | -.0405605335 |
| | | .3917826238 | -.3523466217 | .1290821874 |
| | | 4. | 7. | 10. |
| | 1.167327916 s_i | | | |
| | 5.480246322 v_i | | | |
| | 1. t_i | | | |

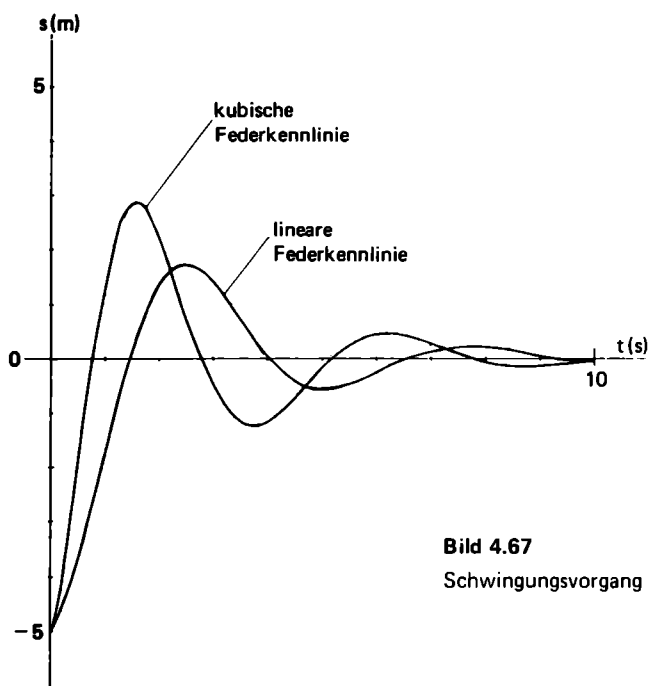


Bild 4.67
Schwingungsvorgang

In diesem Beispiel wollen wir abschließend das System aus – 1 –, $d = 0.4 \text{ s}^{-1}$, bei unterschiedlicher Dämpfung betrachten. Dazu benutzen wir das Unterprogramm Newtonsche Reibung mit $c = 0.1$

Achtung!
Zuvor 9 (Eingabewerte)
eingeben

| | | | | | |
|--------------|-------|------------------|--------------|--------------|--------------|
| Eingabe: | 0.1 | c | 2.412596213 | -2.089656852 | 1.25075166 |
| | 50. | m | 2.410820064 | -.0480808525 | -1.20292091 |
| | 80. | f | 2. | 5. | 8. |
| | 0.4 | d | | | |
| | -5. | s_0 | 2.313209234 | -.6011920393 | -.4837673469 |
| | 0. | v_0 | -2.057828 | 2.313381331 | -1.714245239 |
| | 0. | t_0 | 3. | 6. | 9. |
| | 0.1 | Δt | | | |
| | 1. | Δt_{prt} | | | |
| Ausgabe: | | | -.6348092725 | 1.369975842 | -1.329294807 |
| | | | -2.869405333 | 1.249461861 | .0433976943 |
| | | | 4. | 7. | 10. |
| -1.553231173 | s_i | | | | |
| 5.010958788 | v_i | | | | |
| 1. | t_i | | | | |

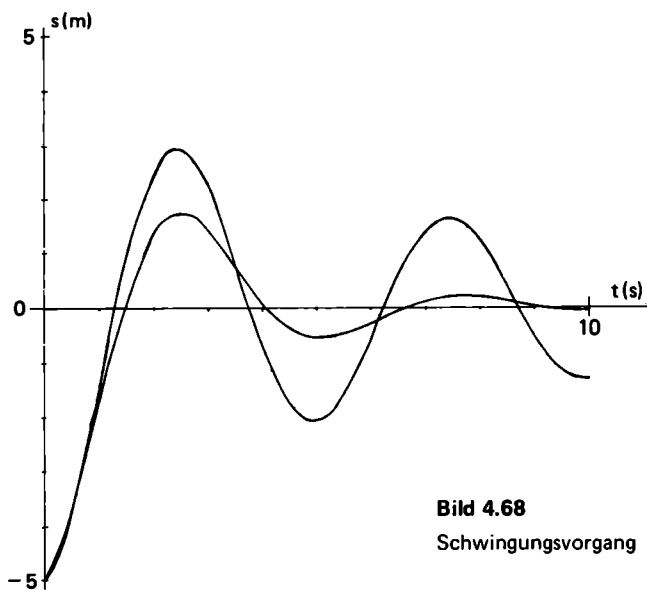


Bild 4.68
Schwingungsvorgang

Das Schwingungssystem von – 1 – wird durch eine außermittig rotierende Masse erregt. Die Daten sind

$m_1 = 20 \text{ kg}$
 $r = 0.05 \text{ m}$
 $\omega = 60 \text{ s}^{-1}$
 $m = 70 \text{ kg}$
 $f = 500 \text{ N/m}$ (also etwas steifer)
 $d = 0.4 \text{ s}^{-1}$
 $s_0 = -5 \text{ m}$
 $v_0 = 0$
 $t_0 = 0$

Der Bewegungsablauf ist gesucht.

| Achtung! | | | | | |
|-------------------------|---------------|------------------|--------------|---------------|--------------|
| Zuvor 11 (Eingabewerte) | | | | | |
| eingeben | | | | | |
| Eingabe: | 20. | m_1 | 7.716597281 | -8.34237178 | 7.836352949 |
| | 0.05 | r | -8.907782284 | 3.373398716 | -2.456082717 |
| | 60. | ω | 2. | 5. | 8. |
| | 70. | m | | | |
| | 500. | f | 3.407646204 | -5.100394254 | 5.265708015 |
| | 0.4 | d | -7.542128409 | 8.024854124 | -6.758101737 |
| | -5. | s_0 | 2.5 | 5.5 | 8.5 |
| | 0. | v_0 | | | |
| | 0. | t_0 | | | |
| | 0.1 | Δt | .5518105572 | -1.7344548457 | 1.126078083 |
| | 0.5 | Δt_{prt} | -4.947214131 | 8.764524917 | -8.923787792 |
| Ausgabe: | | | 3. | 6. | 9. |
| | -0.0184183142 | s_1 | | | |
| | 15.40259624 | v_1 | -2.229823683 | 3.281274573 | -3.252555798 |
| | 0.5 | t_1 | -6.381683137 | 7.405492142 | -8.296073639 |
| | | | 3.5 | 6.5 | 9.5 |
| | 8.03678397 | | | | |
| | 13.89884859 | | -5.895427491 | 6.385439497 | -6.603455134 |
| | 1. | | -7.466955166 | 5.310953263 | -5.519172868 |
| | | | 4. | 7. | 10. |
| | 10.88307258 | | | | |
| | -0.1839381216 | | -8.648510118 | 8.127780572 | |
| | 1.5 | | -3.500465434 | 2.067755581 | |
| | | | 4.5 | 7.5 | |

Aus Platzgründen müssen wir hier theoretisch einige Besonderheiten dieses Schwingungsvorganges betrachten. Man erkennt, daß die gedämpfte Eigenschwingung des Systems langsam abklingt und die erzwungene Schwingung immer mehr angenommen wird. Um dies deutlicher zu demonstrieren, wurde die Masse zum Start ausgelenkt auf -5 m . Nach einer gewissen Zeit läuft die Bewegung nach dem Gesetz

$$s = A \sin(\omega t - \psi) \quad (4.3.48)$$

ab und damit mit derselben Frequenz wie die Erregerschwingung, nur um den Winkel ψ verschoben.

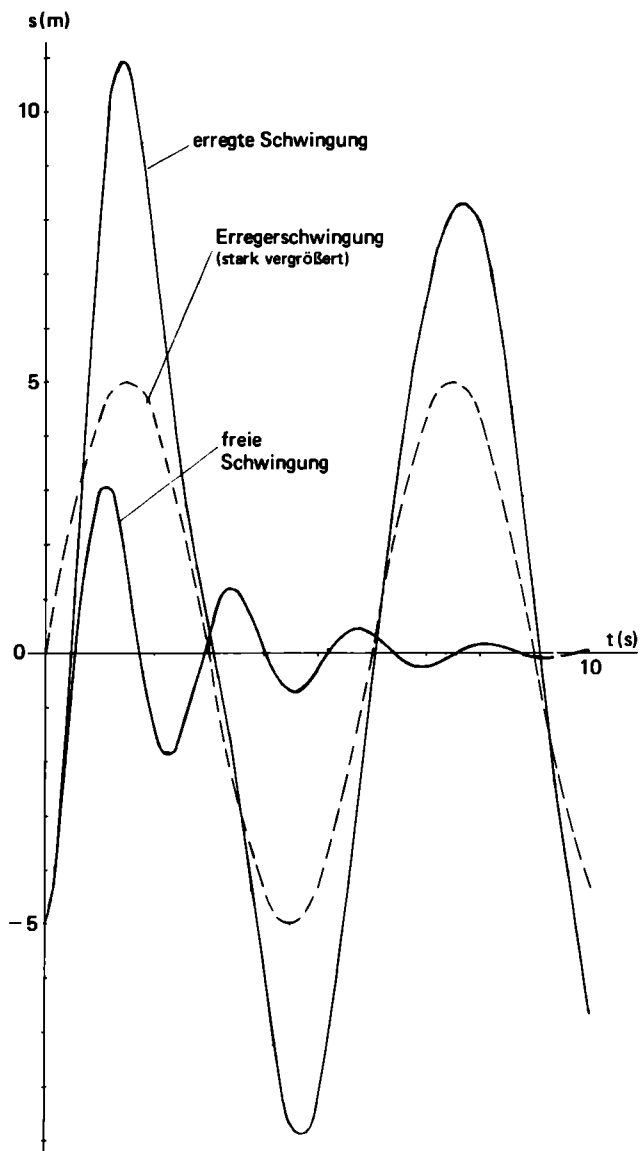


Bild 4.69
Schwingungsvorgang

Daher bezeichnet man ψ als Phasenwinkel. Er ergibt sich aus

$$\tan \psi = \frac{2 m d}{f - m \omega^2}. \quad (4.3.49)$$

Der Höchstausschlag A bestimmt sich durch

$$A = \frac{m_1 r \omega^2}{\sqrt{(f - m \omega^2)^2 + 4 m^2 d^2 \omega^2}}. \quad (4.3.50)$$

Bei Annäherung der Erregerfrequenz ω an die Eigenfrequenz des Schwingungssystems

$$\omega_k = \sqrt{\frac{f}{m}} \quad (4.3.51)$$

strebt A gegen ∞ . Dies veranschaulicht Bild 4.70. Daher bezeichnet man ω_k auch als kritische Winkelgeschwindigkeit. Der Vorgang selbst heißt Resonanz. Maschinenteile, die als elastische Bauteile gelten können, müssen auf diesen Resonanzfall hin untersucht werden. Er kann zur Zerstörung des Bauteils führen. Zur Vermeidung gestaltet man $\omega \gg \omega_k$. Umlaufende Wellen sind solche Teile. Hier stimmen kritische Winkelgeschwindigkeit und Eigenschwingungszahl überein. Mit der statischen Durchbiegung

$$y_0 = \frac{mg}{f}, \quad (4.3.52)$$

folgt

$$\omega_k = \sqrt{\frac{f}{m}} = \sqrt{\frac{g}{y}}. \quad (4.3.53)$$

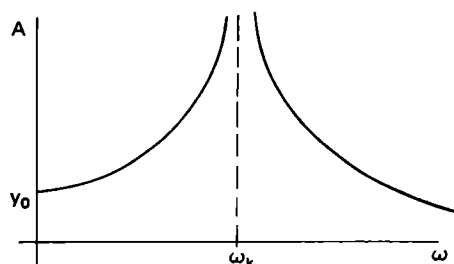


Bild 4.70 Schwingungsausschläge

— 6 —

Dieses Beispiel soll einen Vergleich zwischen einer Schwingung, angeregt durch einen rotierenden Erreger und einer Schwingung, angeregt durch einen rotierend-oszillierenden Erreger darstellen. Dazu benutzen wir das Schwingungssystem aus — 5 —. Zusätzlich wird die Schubstangenlänge $l = 0.3$ m angenommen.

Achtung!
Zuvor 12 (Eingabewerte)
eingeben

| | | | | | |
|----------|----------------|-------------------|---------------|---------------|---------------|
| Eingabe: | 0, 3 | l | 8, 148487918 | -6, 98789366 | 9, 184477334 |
| | 20, | m ₁ | -4, 018418821 | 8, 8432576 | 2, 257060809 |
| | 0, 05 | r | 2, | 5, | 8, |
| | 60, | ω | | | |
| | 70, | m | 5, 799436941 | -2, 369067021 | 7, 78055852 |
| | 500, | f | -5, 137761671 | 8, 485798253 | -6, 406105975 |
| | 0, 4 | d | 2, 5 | 5, 5 | 8, 5 |
| | -5, | s ₀ | | | |
| | 0, | v ₀ | | | |
| | 0, | t ₀ | 2, 311272375 | , 5363096864 | 2, 324928475 |
| | 0, 1 | Δt | -8, 640844241 | 4, 005096384 | -13, 2227797 |
| | 0, 5 | Δt _{prt} | 3, | 6, | 9, |
| Ausgabe: | | | | | |
| | - , 3142700809 | s _i | -3, 243881186 | 1, 871634716 | -4, 544801052 |
| | 14, 03739354 | v _i | -12, 23339025 | 2, 459980593 | -13, 00821416 |
| | 0, 5 | t _i | 3, 5 | 6, 5 | 9, 5 |
| | 6, 673286165 | | -8, 671037228 | 3, 792855275 | -9, 13737234 |
| | 11, 7667563 | | -8, 741861797 | 5, 057065121 | -5, 994379908 |
| | 1, | | 4, | 7, | 10, |
| | 9, 395443469 | | -10, 15920698 | 6, 942146828 | |
| | 1, 282700042 | | 1, 224486043 | 6, 554386408 | |
| | 1, 5 | | 4, 5 | 7, 5 | |

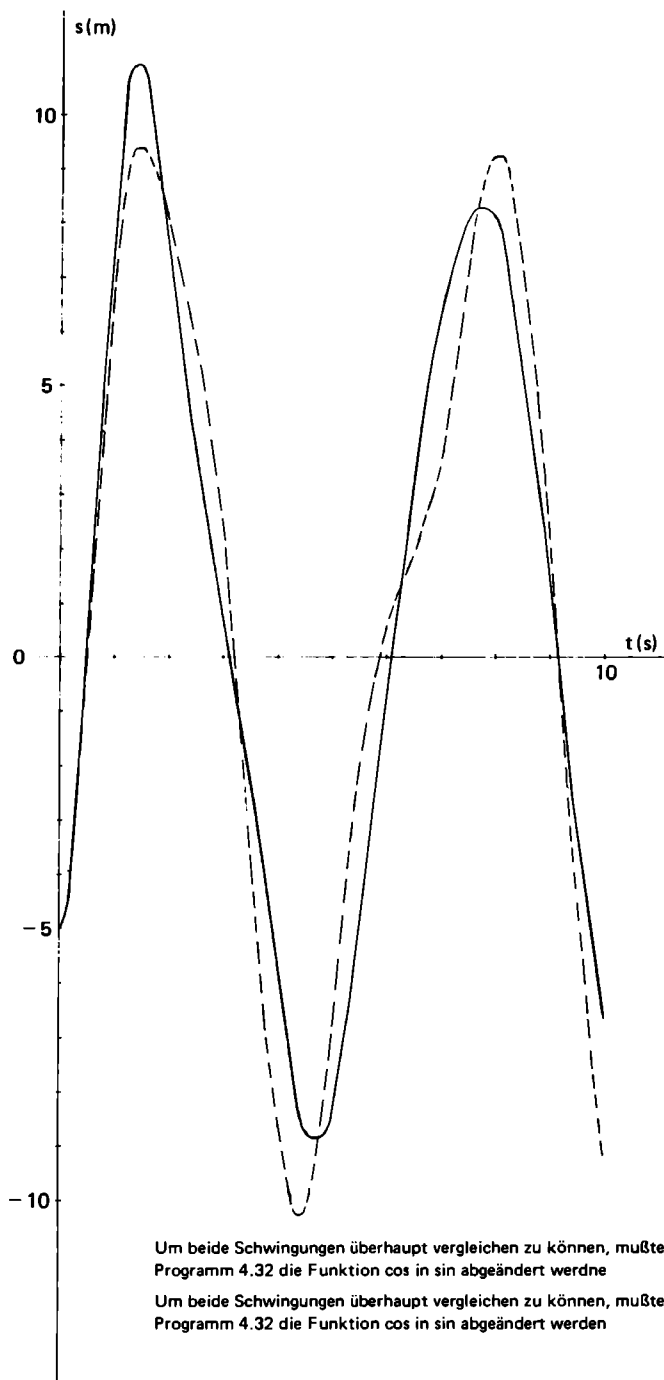


Bild 4.71
Schwingungsvorgang

Auf einem Träger auf zwei Stützen, Stützweite 3 m, wird mit einer neuen starren Stützvorrichtung, nach Bild 4.72, die Last von 1500 kg abgesetzt. Als Hauptträger werden 2 Doppel-T-Profile, für $\sigma_{bzul} = 8000 \text{ N/cm}^2$, verwendet. Gesucht ist die Eigenfrequenz des Systems und der Schwingungsverlauf.

Zunächst ergibt sich aus der zulässigen Biegespannung das notwendige Widerstandsmoment

$$W = \frac{Mb}{\sigma_{bzul}} = 69 \text{ cm}^3$$

Unter Berücksichtigung, daß hier zwei Träger nebeneinander liegen, ergibt sich aus einem der üblichen technischen Tabellenbücher der Träger

$$I_{120}, W_x = 54.7 \text{ cm}^3, I_x = 328 \text{ cm}^4, m = 33.3 \text{ kg}$$

Damit ergibt sich für den in Bild 4.72 dargestellten Belastungsfall

$$v_m = \frac{F l^3}{8 E I} \left(1 - \frac{4 a^2}{3 l^2} \right) = 0.413 \text{ cm}$$

Nach Gleichung (4.3.27) folgt

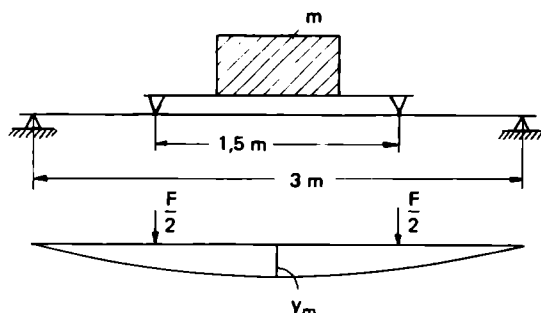
$$f = \frac{F}{v_m} = 35630 \frac{\text{N}}{\text{cm}}$$

Damit ergibt sich die Eigenfrequenz nach (4.3.51) zu

$$\omega_k = \sqrt{\frac{f}{m}} = 48.7 \text{ s}^{-1}$$

Den Bewegungsablauf zeigt Bild 4.73.

Bild 4.72
Schwingender Träger



Achtung!
Zuvor 8 (Eingabewerte)
eingeben

| | | | | | | | |
|----------|--------------|-------------------|--------------|--------------|------|--------------|------|
| Eingabe: | 1516.78 | m | | | | | |
| | 3560000. | f | .0019700334 | -.0010921711 | | .0001579566 | |
| | 0. | d | 0.187793503 | -.1994765197 | | .2008672386 | |
| | -0.00413 | s ₀ | 0.04 | | 0.1 | | 0.16 |
| | 0. | v ₀ | | | | | |
| | 0. | t ₀ | .0041371776 | -.0039308911 | | .0035217843 | |
| | 0.005 | Δt | .0454897741 | -.0886324332 | | .1272019657 | |
| | 0.02 | Δt _{prt} | 0.06 | | 0.12 | | 0.18 |
| Ausgabe: | | | | | | | |
| | -.0019141438 | s _i | .0026984586 | -.0033435422 | | .0038161106 | |
| | .1664209916 | v _i | -.1364617333 | .0994615219 | | -.0573294403 | |
| | 0.02 | t _i | 0.08 | | 0.14 | | 0.2 |

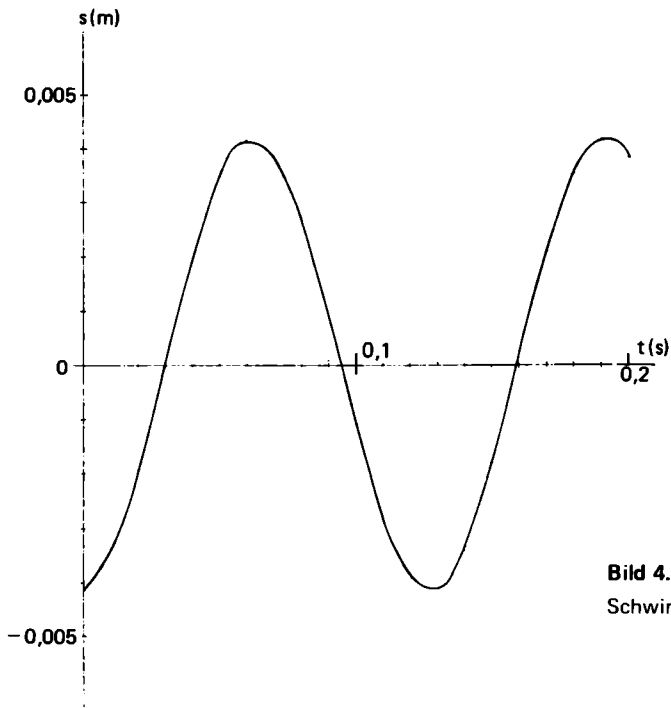


Bild 4.73
Schwingungsverlauf

— 8 —

Gesucht ist das Schwingungsverhalten des in Bild 4.74 dargestellten Systems.

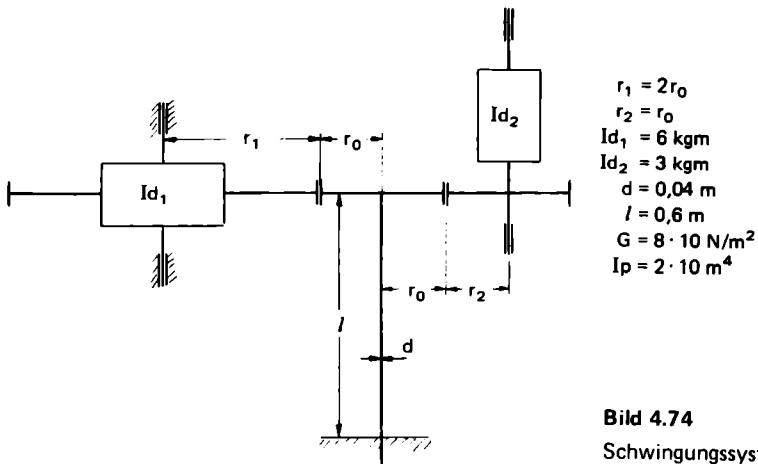


Bild 4.74
Schwingungssystem

Zur Betrachtung werden die Massen der Drehwellen auf ein Ersatzsystem nach Bild 4.75 reduziert.
Nach Gleichung (4.2.23) folgt

$$Id_{10} = Id_1 \left(\frac{r_0}{r_1} \right)^2 = \frac{1}{4} Id_1$$

$$Id_{20} = Id_2 \left(\frac{r_0}{r_1} \right)^2 = Id_2$$

$$Id_0 = Id_{10} + Id_{20} = 4.5 \text{ kg m}$$

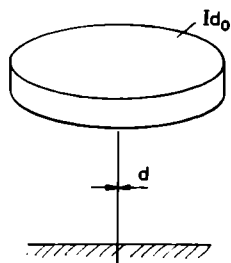


Bild 4.75
Ersatzsystem

Achtung!
Zuvor 9 (Eingabewerte)
eingeben

| | | | | | |
|-----------------|---------------|------------------|---------------|---------------|---------------|
| Eingabe: | 8. 10 | G | -4. 030060757 | -. 3501562824 | 4. 07526234 |
| | 2. -07 | Ip | -13. 50739405 | -311. 9694273 | 53. 77944594 |
| | 0. 6 | I | 0. 04 | 0. 1 | 0. 16 |
| | 4. 5 | Id | | | |
| | 4. | φ_0 | . 5246493021 | -4. 067726841 | . 0004524935 |
| | 0. | ω_0 | 313. 1315119 | -40. 42206509 | -307. 9134381 |
| | 0. | t_0 | 0. 06 | 0. 12 | 0. 18 |
| | 0. 005 | Δt | | | |
| | 0. 02 | Δt_{prt} | | | |
| Ausgabe: | | | 4. 05265033 | . 1750141206 | -4. 075242858 |
| | -. 6981696933 | φ_i | 26. 98974723 | 310. 2289938 | -67. 03712702 |
| | -313. 7130933 | ω_i | 0. 08 | 0. 14 | 0. 2 |
| | 0. 02 | t_i | | | |

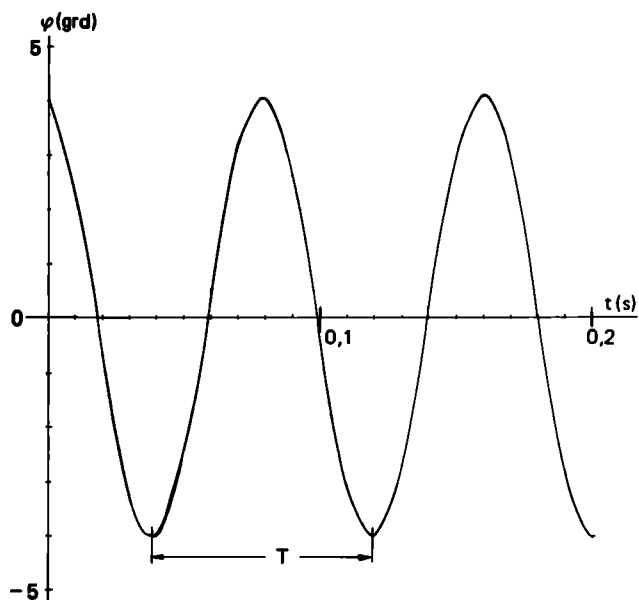


Bild 4.76
Schwingungsvorgang

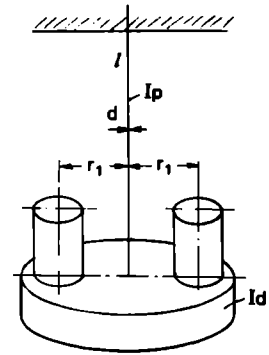
Eine Grenzwertbetrachtung liefert

$$T = 2\pi \sqrt{\frac{I Id}{G Ip}}$$

$$T = 0.0812 \text{ s} \quad (4.3.54)$$

Bild 4.77

Torsionspendel zur Feststellung eines I_d



Abschließend sei noch erwähnt, daß in der Praxis ein Torsionspendel mitunter zur Feststellung des Massenträgheitsmomentes eines beliebigen Körpers benutzt wird. Den Versuchsaufbau zeigt Bild 4.77. Der Vorteil liegt darin, daß lediglich die Massen m_1 , der Radius r_1 und die Schwingzeiten des Systems T und T_1 bekannt sein müssen. Die Zeit T ohne aufgesetzte Massen, beträgt nach Grenzwertbetrachtungen

$$T = 2\pi \sqrt{\frac{I Id}{G Ip}}. \quad (4.3.54)$$

Mit aufgesetzten Massen beträgt sie, unter Berücksichtigung des Steinerschen Satzes

$$T_1 = 2\pi \sqrt{\frac{I (Id + 2 m_1 r_1^2)}{G Ip}}. \quad (4.3.55)$$

Daraus folgt durch Gleichsetzung und Umstellung

$$Id = \frac{2 m_1 r_1^2}{\left(\frac{T_1}{T}\right)^2 - 1}. \quad (4.3.56)$$

Wenn Sie eines der üblichen Stopuhrprogramme für Taschenrechner benutzen und dieses mit Gleichung (4.3.57) verbinden, können Sie Ihren Taschenrechner zur Bestimmung eines I_d benutzen.

Literaturverzeichnis

- [1] *Hans Heinrich Gloistehn*: Programmieren von Taschenrechnern 3, Vieweg Verlag, Braunschweig, 1977/78
- [2] *Helmut Alt*: Anwendung programmierbarer Taschenrechner, Band 1, Vieweg Verlag, Braunschweig, 1979
- [3] *Eduard Pestel*: Technische Mechanik, BI-Hochschultaschenbuch, 1969
- [4] *K. Magnus/H. H. Müller*: Grundlagen der technischen Mechanik, Teubner Verlag, Stuttgart, 1974
- [5] *Hans Ziegler*: Vorlesungen über Mechanik, Birkhäuser Verlag, Basel, 1970
- [6] *K. A. Reckling*: Mechanik, Vieweg Verlag, Braunschweig, 1968
- [7] *István Szabo*: Repertorium und Übungsbuch der technischen Mechanik, Springer Verlag, Berlin-Heidelberg, 1972
- [8] *István Szabo*: Einführung in die technische Mechanik, Springer Verlag, Berlin-Heidelberg, 1966
- [9] *István Szabo*: Höhere Technische Mechanik, Springer Verlag, Berlin-Heidelberg, 1972
- [10] *H. Nahrstedt*: Algebraische oder Umgekehrt Polnische Notation – Arbeitsweise eines Taschenrechners, Deutsche Verlagsanstalt, Bild der Wissenschaft, Math. Kabinett Heft 6 + 7/79
- [11] *K. Zirpke/K. Kummer*: Technische Mechanik, Technik Tabellen Verlag, Darmstadt, 1969
- [12] *J. Kožesník*: Maschinendynamik, Carl Hanser Verlag, München, 1966
- [13] *H. Neuber*: Technische Mechanik, Teil 1–3, Springer Verlag, Berlin-Heidelberg, 1974
- [14] *G. Jordan-Engeln/F. Reutter*: Numerische Mathematik für Ingenieure, BI-Hochschultaschenbuch, 1973
- [15] *D. Rüdiger/A. Kneschke*: Technische Mechanik, Band 1–3, Verlag Harri Deutsch, Zürich-Frankfurt/M., 1966

Sachwortverzeichnis

- Akkumulator 4
Algebraische Notation 4
Algorithmus 1
Anwendungsbeispiele 23, 40, 53, 62, 82, 113, 133
AOS-Technik 4
Aperiodisches Schwingen 134
Arbeitsspeichereinheit 5
Axiale Massenträgheitsmomente 94
- Bahnkrümmung 57
Balkenneigung 20, 28
Ballistische Kurve 66, 82
Bewegung 56
— des Massenpunktes 66
Bewegungsdiagramme 5
Biegeschwingungen 130
Biegeträger 19
Blattfederpendel 130
Bogendifferential 57
- Cosinussatz 75
Cremonaplan-Verfahren 17
- Dämpfung 123, 134, 138
Deviationsmomente 102
Differentialquotient 55
Differenzenquotient 55
Dokumentation 6
Drehschwingungen 131, 144
Drehstoß 112
Dsz 4
Dynamie 9, 24
Dynamische Speicherverwaltung 4
- Eigenfrequenz 141
Einseitig eingespannter Träger 20
Elastische Linie 20
Ellipsenbahn 76
Erzwungene Schwingung 126 f.
Euler Cauchy-Verfahren 55
Exakte Lösung 34
Exzentrischer Stoß 112
Eytelweinsche Gleichung 52
- Fachwerke 16
Fadenpendel 71, 87
Federmasse 129
Flußdiagramm 1 f.
Freie Schwingungen 123, 133
Freier Fall 83
- Gerader Stoß 107
Geschwindigkeitspol 57
Gewindereibung 50, 54
Gleichgewicht 7, 11, 16, 71
Gleitmodul 132
Goniometrische Gleichung 36
Gravitation 73 f., 78
Gravitationsfeld 75
- Hodograph 57
Horizontalzug 31
Hyperbelbahn 76
- Impuls 78
Indikatordiagramm 106
- Keil 49, 53
Keplergesetze 75, 88 f.
Kinematik 55
Kinetik des Massenpunktes 66
— starrer Körper 92
Knotenpunktverfahren 16
Kolbenmotor 117
Kosmische Geschwindigkeit 5
Kräftegruppe 7
Kraft 7, 14, 24
Kreisbahn 76
Krümmungsradius 57
Kurbeltrieb 104
- Labels 1
Leitung 40
Lineares Gleichungssystem 14, 17
Lösung 34
Logarithmisches Dekrement 135
- Marken 1
Massenausgleich 104
Massenkräfte 104, 120
Massenpunkt 56, 62, 66
Massenträgheitsmoment 93, 113
Mathematisches Pendel 71
Mechanische Schwingungen 123
Mediumdichte 66
Moment 7, 24, 28
Momentanbeschleunigung 57 f.
Momentangeschwindigkeit 56
Momentenvektor 9

Normalkomponente 57, 71
 Normalkraft 49
 Numerische Behandlung von Differential-
 gleichungen 55
 – Lösung 55
 Nutzlast/Brennstoff-Quotient 78

 Optimierung 5
 Ortsvektor 9, 56
 Oszillierende Masse 105, 127

 Parabelbahn 76
 Phasenwinkel 140
 Physikalisches Pendel 99, 116
 Planetenbewegung 73, 88
 Problemanalyse 1
 Programm 1
 Programmdokumentation 6
 Programmentwicklung 1
 Programmiergrundlagen 5
 Punktlast 20, 28

 Raketenbewegung 78
 Reduktion einer räumlichen Kräftegruppe 7
 Reduzierte Masse 100
 Reibung 49
 Resonanz 141
 Richtung eines Vektors 9
 Richtungswinkel 9, 14, 24
 Rotation 50
 Rotationssymmetrische Körper 95, 114
 Rotierende Masse 105, 127

 Satellitenbahn 76, 88
 Satz von Steiner 95
 Schiefe Ebene 49, 53
 Schiefer Stoß 112
 – Wurf 66
 Schmiegungebene 5
 Schraubenlinie 62
 Schwingende Träger 130, 143

 Schwingungen 123, 126 f., 129, 137
 Schwungmoment 100
 Seil unter Eigenlast 30
 – unter Einzellast 37
 Seilbahn 43
 Seilelement 30
 Seilkraft 52
 Seilkurve 45, 49
 Seilkurve als Variationsproblem 31
 Seilreibung 52
 Seiltheorie 30
 Sinkgeschwindigkeit 85
 Sinussatz 75
 Solid-State-Software 14, 17
 Speichereinheit 5
 Statik starrer Körper 7
 Stoß fester Körper 107, 122
 Stoßzahl 111
 Streckenlast 20, 28
 Struktur eines Computers 4
 Strukturierte Programmierung 5
 Stützkkräfte in Tragwerken 1

 Tangentialkomponente 57, 71
 Torsionspendel 131, 145 f.
 Trägheitsradius 100
 Tragwerke 16, 26
 Translation 50
 Triebwerk 105

 Umschlingungswinkel 52

 Variationsproblem 31

 Widerstandsbeiwert 66

 Zentralkraft 73
 Zerlegung einer Kraft 14
 Zuweisungszeichen 4

Taschenrechner-Literatur

Peter Kahlig

Mathematische Routinen der Physik, Chemie und Technik für AOS-Rechner

Teil I. Mit 71 Abb., 129 Beispielen und 34 Tabellen. 1979. VI, 178 S. DIN C 5 (Anwendung programmierbarer Taschenrechner, Bd. 3/I). Kart.

Inhalt: Gamma- und Beta-Funktion, Kombinationen (Binomialkoeffizienten), Variationen (permutations, factorial powers) und ihre Logarithmen – Digamma-Funktion und ihre ersten sechs Ableitungen (Polygamma-Funktionen), Beta-Funktion und ihre ersten sechs Ableitungen – Exponentialintegrale, Integrallogarithmus, Integralsinus und -cosinus, hyperbolischer Integral-sinus und -cosinus.

Dieser Band enthält 13 ausgefeilte AOS-Programme für 30 oft benötigte Funktionen aus den Bereichen der Physik, Chemie und Technik. Zur Auflockerung und zur zusätzlichen Information dienen 71 Abbildungen, die fast alle vom Rechner selbst gezeichnet wurden, ferner 129 Beispiele und 34 Tabellen. Der Tuning Kit im Anhang enthält 8 komfortable, universell verwendbare Sonderprogramme zum Zeichnen und Drucken.

Teil II. Mit 137 Beispielen, 71 Abb., 16 Tab. und einem Anhang: Logarithmisches Plotten und Erzeugung von Fehlerkurven. 1980. VIII, 180 S. DIN C 5. Kart.

Inhalt: zeta-, xi- und Xi-Funktion von Riemann – eta-, kappa- und rho-Funktion, L-Funktion von Dirichlet – Polylogarithmen, chi-Funktionen von Legendre – Arcustangens-Integrale – Clausen-Integrale und Glaisher-Funktionen – Anhang: Arithmetische Funktionen – Logarithmisches Plotten von Kurven – Plotten der Ordinatenachse mit logarithmischer Teilung und mit inverser logarithmischer Teilung – Erzeugung von Referenzwerten und Fehlerkurven – Fehlerkurven zu Funktionsroutinen dieses Bandes.

14 ausgefeilte AOS-Programme für 21 oft benötigte spezielle Funktionen. Zur Veranschaulichung und zusätzlichen Information dienen 71 Abbildungen, die fast alle vom Rechner selbst gezeichnet wurden, ferner 137 Beispiele und 16 Tabellen.

Hans-Joachim Ludwig

Programmoptimierung für Taschenrechner (AOS)

2., durchges. Aufl. 1980. X, 102 S. 12 X 19,5 cm (Programmieren von Taschenrechnern, Bd. 5). Kart.

Inhalt: Wozu dient Programmoptimierung? – Techniken der Programmoptimierung – Rationalisierung der Programmherstellung – Steigerung der Effektivität – Erhöhung der Betriebssicherheit – Verbesserung des Bedienungskomforts – Förderung der Flexibilität – Verringerung des Programmspeicherbedarfs – Verringerung des Datenregisterbedarfs – Verkürzung der Rechenzeit – Programmbeispiele.

Ziel des Buches ist es, dem Benutzer von Taschenrechnern das geschickte Ausnutzen des Gerätes bis an die Grenzen seiner Möglichkeiten zu zeigen und dadurch die Leistungsfähigkeit eines Programms wesentlich zu erhöhen. Diese Anleitung zur optimalen Programmierung setzt keine speziellen Kenntnisse voraus.

Lehr- und Lernsystem Mechanik und Festigkeitslehre von Alfred Böge



Mit dem **Lehr- und Lernsystem Mechanik und Festigkeitslehre** liegt ein nach modernen didaktischen und methodischen Erkenntnissen gestaltetes Lehrwerk vor, das allen Ansprüchen, die heute von Dozenten und Studierenden gestellt werden, in jeder Beziehung gerecht wird.

Alfred Böge

Mechanik und Festigkeitslehre

Unter Mitarbeit von Walter Schlemmer und Wolfgang Weißbach. Mit 605 Abb., 26 Arbeitsplänen, 20 Lehrbeispielen und 16 Tafeln. 17., überarb. Auflage 1979. XIV, 381 S. DIN C 5 (Viewegs Fachbücher der Technik). Gbd.

Alfred Böge und Walter Schlemmer

Aufgabensammlung zur Mechanik und Festigkeitslehre

Unter Mitarbeit von Wolfgang Weißbach. Mit 516 Abb. und 907 Aufgaben. 7., überarb. Auflage 1979. XII, 211 S. DIN C 5 (Viewegs Fachbücher der Technik). Kart.

Alfred Böge

Formeln und Tabellen zur Mechanik und Festigkeitslehre

Unter Mitarbeit von Walter Schlemmer. 9., überarb. und erg. Auflage 1980. V, 49 S. DIN C 5 (Viewegs Fachbücher der Technik). Kart.

Alfred Böge und Walter Schlemmer

Lösungen zur Aufgabensammlung Mechanik und Festigkeitslehre

Unter Mitarbeit von Wolfgang Weißbach. Mit 738 Abb. 2., überarb. Auflage 1979. 176 S. DIN C 5 (Viewegs Fachbücher der Technik). Kart.

Anwendung programmierbarer Taschenrechner

Diese Reihe bietet den Benutzern programmierbarer Taschenrechner eine reichhaltige Palette von Aufgabenstellungen aus den Anwendungsgebieten der Natur- und Wirtschaftswissenschaften an, für die Programme zur numerischen Lösung entwickelt werden.

Jeder Band behandelt ein in sich abgeschlossenes Themengebiet: Nach einer kurzen Einführung in die Theorie der jeweiligen Problemstellung wird der Lösungsalgorithmus entwickelt, das Programm dargestellt und kommentiert.

Neben der direkten Nutzung der hier veröffentlichten Programme unterstützt diese Reihe den Leser wirkungsvoll bei der Ausarbeitung eigener Programmvarianten.

Band 4: Statik – Kinematik – Kinetik für AOS-Rechner

von **Harald Nahrstedt**

Band 4 der Reihe *Anwendung programmierbarer Taschenrechner* zeigt an 30 ausgetesteten Programmen für den TI-59 den Einsatz des programmierbaren Taschenrechners für wichtige Gebiete der Technischen Mechanik. Der Verfasser gibt zu jedem einzelnen Problem eine kurze Einführung in die Theorie und erklärt dann die Aufbereitung des Programms. Es folgen Beispiele für die Entwicklung eigener Programme.

Ing. (grad.) *Harald Nahrstedt* ist Dozent an der VHS Hamm
Anwendung programmierbarer Taschenrechner,
Mikrocomputer.

ISBN 3-528-04169-2